STRUTTURA PREPOSTA AL MONITORAGGIO | ANNO DI ESERCIZIO 2024-2025 | RELAZIONE SEMESTRALE N.2

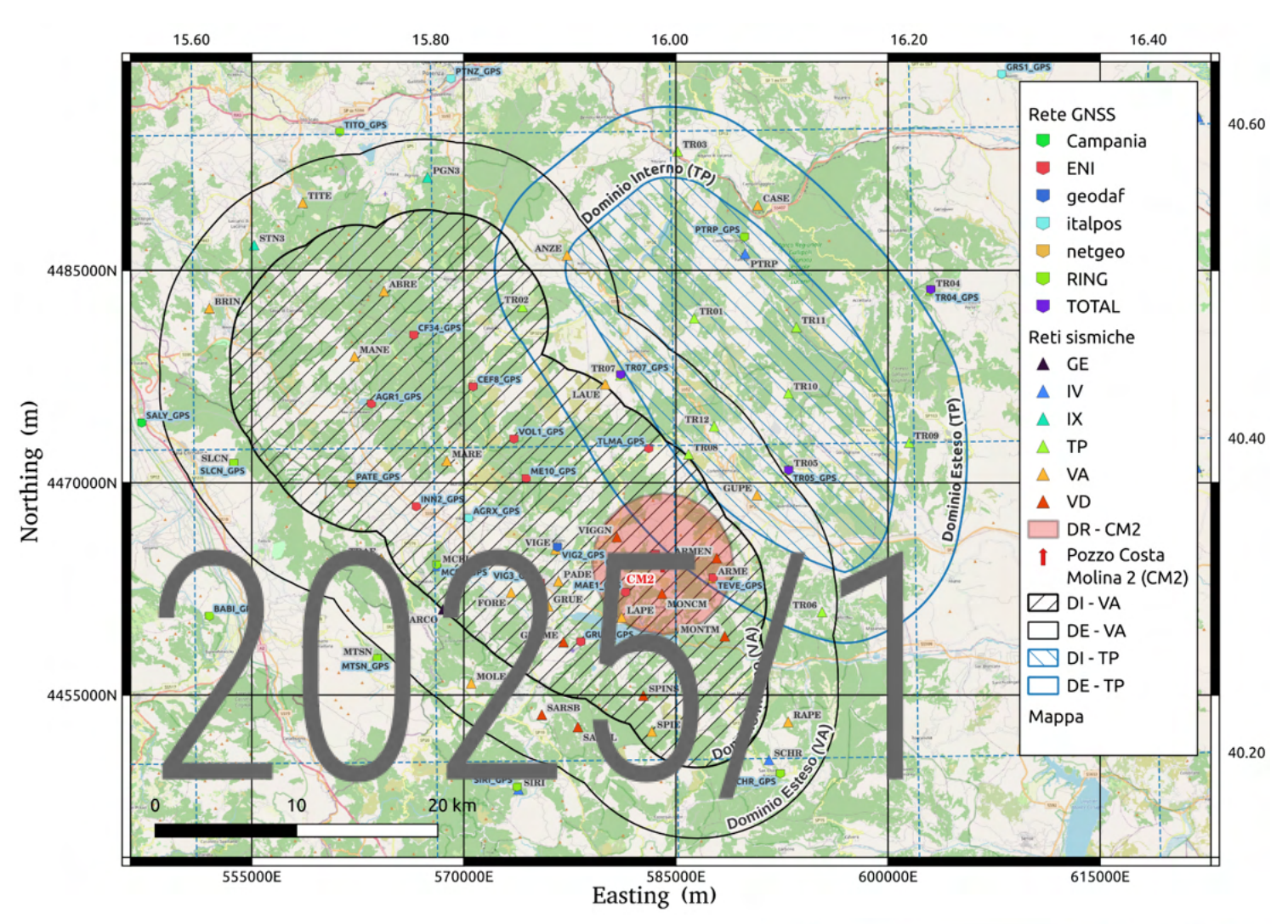
## Accordo Quadro 2024-2028

MiTE-DGIS, Regione Basilicata, INGV, ENI, TotalEnergies

# PROGETTO DI MONITORAGGIO INTEGRATO CONCESSIONI VAL D'AGRI E GORGOGLIONE

Responsabili di Progetto: Thomas Braun, Alexander Garcia e Letizia Anderlini Autori: L. Anderlini, A. Garcia, T. Braun, M. Errico, e G. Zerbinato

Revisione: L. Zaccarelli, G. Saccorotti





1 Premessa	5
1.1 Domini di monitoraggio di riferimento	6
2 Monitoraggio Sismico e Analisi di Dati	8
2.1 Descrizione della rete sismica	8
2.2 Modello di velocità	10
2.3 Controllo degli station.xml e il calcolo della PGA	11
2.3.1 Controllo degli station.xml	11
2.3.2 Calcolo della PGA	13
2.4 Aggiornamento sulla magnitudo di completezza	14
2.5 Disponibilità delle stazioni	17
2.6 Analisi della sismicità localizzata dalla SPM nei domini di monitoraggio (DE, DI) della concessione Val d'Agri: 15 Ottobre 2024 - 15 Aprile 2025	18
2.7 Eventi sismici sopra soglia (giallo) di febbraio 2025	23
2.7.1 Meccanismi focali	26
2.8 Valori di PGA e PGV di eventi nel DI della concessione Val d'Agri	27
2.9 Analisi della sismicità localizzata dalla SPM nei domini di monitoraggio (DE, DI) della concessione Gorgoglione: 15 Ottobre 2024 - 15 Aprile 2025	28
2.10 Sequenza sismica di gennaio 2025 nel DE della Concessione Gorgoglione	31
2.11 Valori di PGA e PGV misurati nelle stazioni della rete integrata	32
3 Monitoraggio Geodetico e Analisi dei dati	34
3.1 Descrizione della rete GNSS	34
3.2 Analisi di qualità dei dati	35
3.3 Elaborazione dati GNSS	38
3.4 Campo di velocità GPS	42
3.5 Dati di velocità InSAR	46
4 Analisi dei dati di pressione e portata	54
4.1 Produzione in VA	54
4.2 Pressione e portata in CM2	55
4.3 Produzione in TP	60
5 Analisi di ricorrenza della sismicità, propedeutica alla definizione di soglie per il DGOM	62
5.1 Considerazioni sulla distribuzione delle magnitudo degli eventi	62
5.2 Considerazioni in merito ai valori di PGA e PGV misurati	67
Appendice A: Bollettino di monitoraggio sismico (Val d'Agri e Gorgoglione)	70
A.1. Bollettino della sismicità localizzata nei diversi domini di Monitoraggio (tabelle allegate a fin documento):	ne 71
A.2. Descrizione del nome delle colonne nelle tabelle che contengono i bollettini di monitoraggio	71
Appendice B: Parametri di qualità per le stazioni delle reti GNSS	73
Appendice C: Serie temporali di spostamento delle stazioni GNSS	88
Appendice D: Sottodomini di riferimento considerati per le analisi di tassi di sismicità e probabilità	
superamento di soglie di magnitudo	101
GLOSSARIO	117
Bibliografia	118

## Accordo Quadro 2024-2028

MiTE-DGIS, Regione Basilicata, INGV, ENI, TotalEnergies

## PROGETTO DI MONITORAGGIO INTEGRATO CONCESSIONI VAL D'AGRI E GORGOGLIONE

## Relazione semestrale n.2

Letizia Anderlini<sup>1</sup>, Alexander Garcia<sup>1</sup>, Thomas Braun<sup>2,3</sup>, Maddalena Errico<sup>1</sup>, Giampaolo Zerbinato<sup>1</sup>

Versione revisionata

<sup>&</sup>lt;sup>1</sup> INGV, Sezione di Bologna, Italia; <sup>2</sup> INGV, Osservatorio Sismologico Arezzo Italia;

<sup>&</sup>lt;sup>3</sup> INGV, Sezione di Roma 1, Italia.

## 1 Premessa

La presente relazione descrive le attività nell'ambito del Progetto di Monitoraggio che l'Istituto Nazionale di Geofisica e Vulcanologia (INGV) è designato a svolgere in conformità agli "Indirizzi e Linee Guida per il Monitoraggio della sismicità delle deformazioni del Suolo e delle pressioni di poro nell'ambito delle attività antropiche" (ILG) nell'area di concessione della Val d'Agri.

Per completezza si ripercorre la cronologia essenziale:

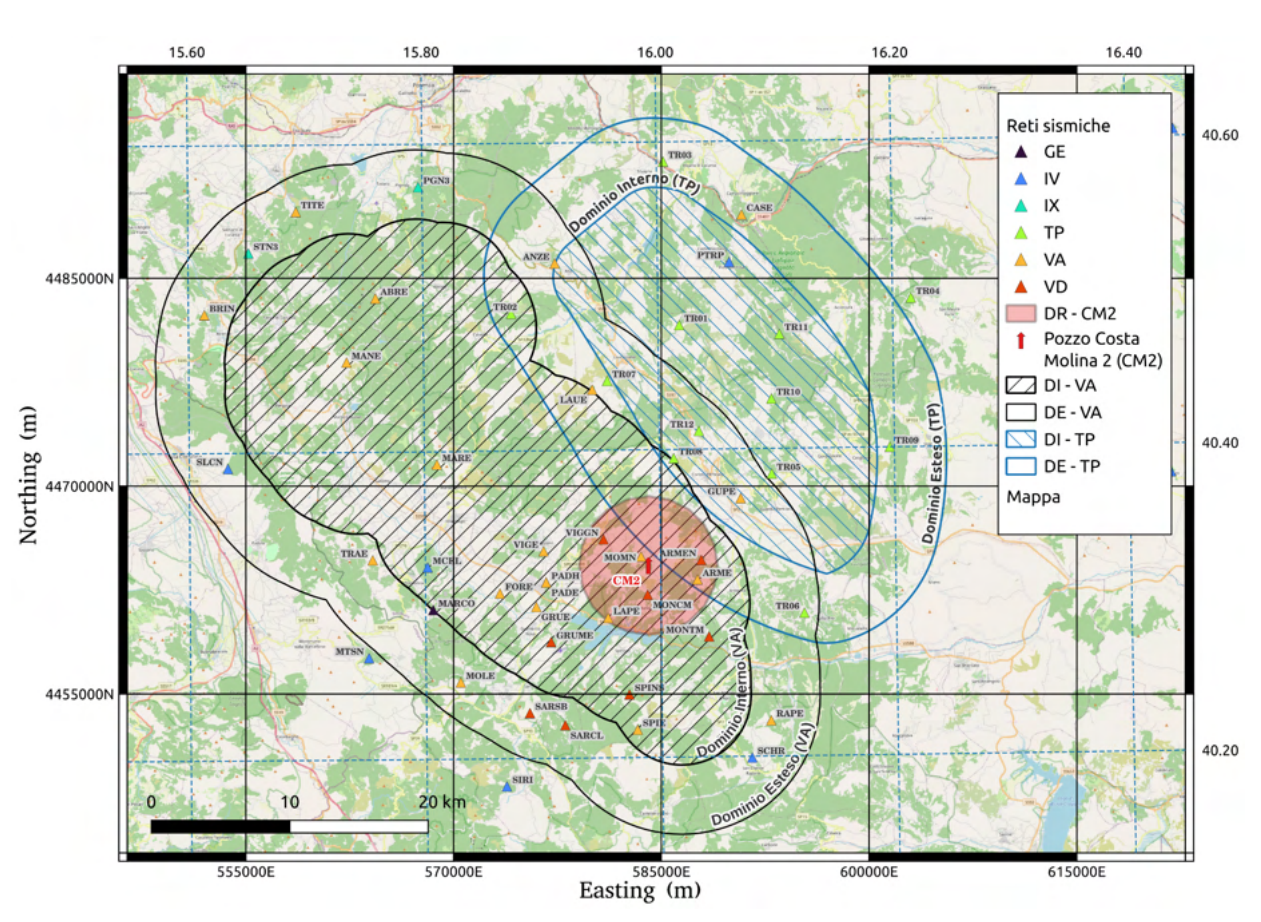
- In data 25/01/2017 è stato sottoscritto l'Accordo Quadro (AQ Rep n. 28) tra il Ministero dello Sviluppo Economico (MiSE), Regione Basilicata e INGV nel quale INGV viene nominato Struttura Preposta al Monitoraggio (SPM) per la concessione di idrocarburi in Val d'Agri (VA) da intendersi come da ILG.
- In data 30/03/2020 con nota di Prot. n. INGV 0003997, INGV ha recepito la proroga dell'AQ fino al 25/04/2022.
- Nel biennio 26/04/2019 25/04/2021 è stata realizzata la fase di sperimentazione degli ILG per la concessione VA. Causa situazione pandemica (COVID-19) è stato ritenuto opportuno, e di comune accordo tra i soggetti coinvolti, di estendere la fase di sperimentazione di ulteriori 12 mesi, fino al 25/04/2022 per assicurare continuità alle necessarie attività di monitoraggio.
- In data 29/03/2021 sono formalmente iniziati i turni di reperibilità presso la Sala di Monitoraggio del CMS per la sorveglianza sismica delle aree di concessione. L'obbligo del monitoraggio da parte della SPM termina in data 25/04/2022 con la fine del periodo della sperimentazione.
- In data 16/02/2022, nell'ambito della riunione di Comitato, il MiTE (ex MiSE) propone, e le parti presenti confermano la propria disponibilità, per l'unificazione dei Comitati per il monitoraggio delle concessioni attigue Val d'Agri e Gorgoglione, e la stipula di un Accordo Quadro congiunto.
- In data 19 Maggio 2023 viene firmato "l'ACCORDO QUADRO per l'applicazione integrata degli Indirizzi e Linee Guida per il monitoraggio della sismicità, delle deformazioni del suolo e delle pressioni di poro – (ILG) alle concessioni di coltivazione di idrocarburi denominate "Val d'Agri" e "Gorgoglione" in Basilicata".
- In data 11/04/2024, la Giunta Regionale firma l'approvazione dell'accordo "per l'applicazione integrata degli ILG alle concessioni di coltivazione di idrocarburi denominate "VAL D'AGRI" e "GORGOGLIONE" in Basilicata; approvazione schema di protocolli tra Regione, Concessionari e INGV. Tale data rappresenta l'inizio dell'applicazione degli ILG per il monitoraggio delle concessioni in Basilicata e la ripresa dei turni di reperibilità presso la Sala di Monitoraggio del CMS per la sorveglianza sismica delle aree di concessione

Trattandosi del secondo rapporto semestrale redatto nell'ambito dell'AQ in vigore a partire da aprile 2024, in questo documento sono presentati i risultati del monitoraggio per il secondo semestre del primo anno di progetto e un'analisi della sismicità registrata ai fini della definizione delle soglie per il "Documento di Gestione Operativa del Monitoraggio" (DGOM).

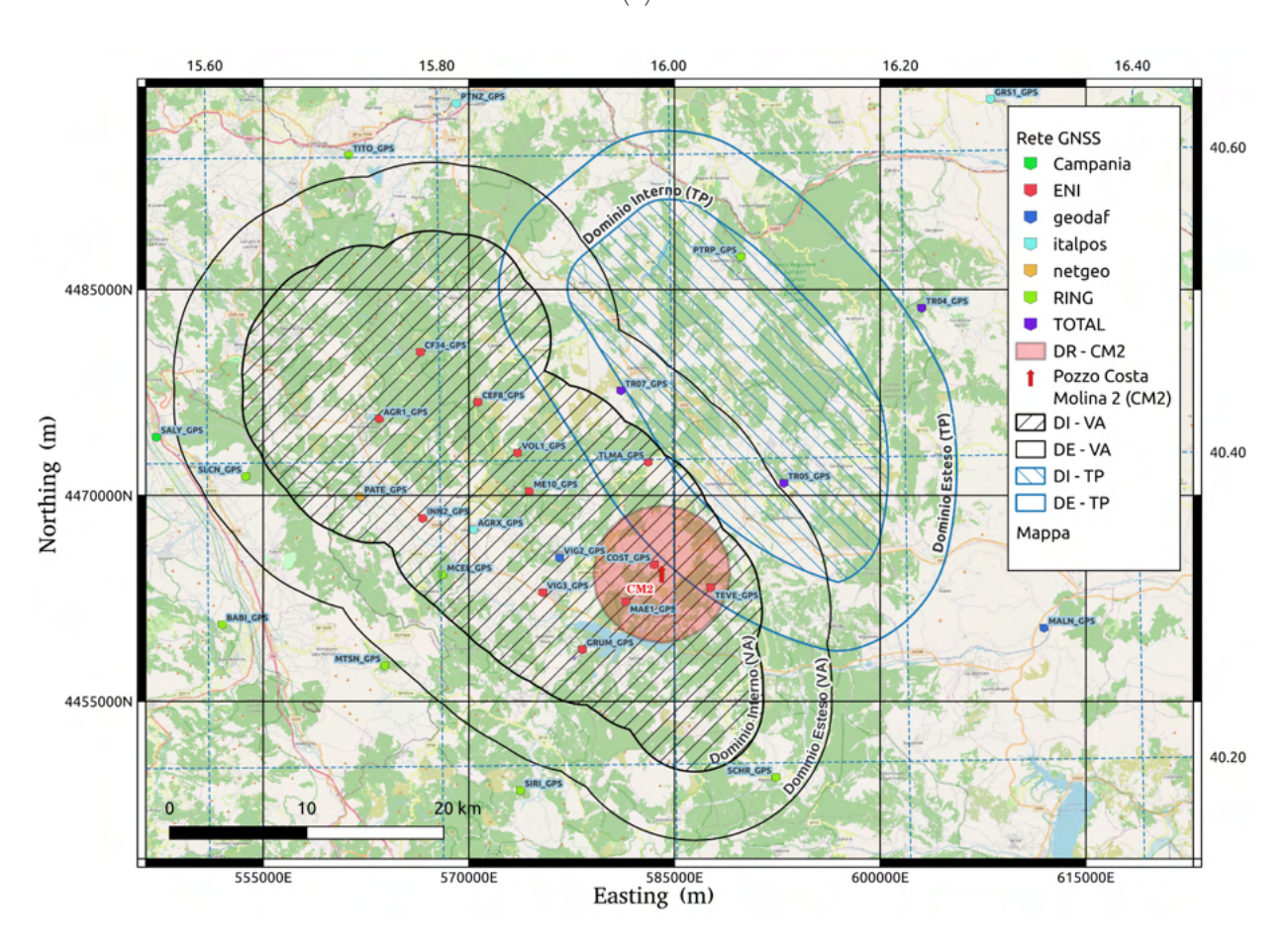
## 1.1 Domini di monitoraggio di riferimento

Come descritto nel Rapporto di monitoraggio n.1, nelle more della definizione del DGOM, sono stati adottati dei domini di monitoraggio prendendo in considerazione definizioni già esistenti. I domini considerati sono riportati nella **Figura 1.1.1**; in particolare, per la concessione Val d'Agri sono stati utilizzati i domini definiti nella fase di sperimentazione (e.g., vedere rapporti relativi a tale periodo), mentre per la concessione Gorgoglione sono stati adottati i domini preventivamente definiti dell'operatore TotalEnergies EP Italia (TEPIT). In questo caso, data la geometria del giacimento e nell'assenza di una definizione del "oil-water contact", l'operatore ha definito i domini prendendo in considerazione l'intersezione tra le faglie che delimitano il giacimento (Thrust W, Thrust E, F17, e F18), ed il top della piattaforma Apula. È importante sottolineare che una definizione condivisa dei domini di monitoraggio è rimandata in fase di preparazione dei DGOM.

(a)



(b)



**Figura 1.1.1** Localizzazione dei domini di monitoraggio considerati in questo rapporto, e della configurazione delle reti di monitoraggio in Basilicata: (a) rete sismica, e (b) rete geodetica.

## 2 Monitoraggio Sismico e Analisi dei Dati

### 2.1 Descrizione della rete sismica

In accordo con quanto disposto al paragrafo 5.3, punto 4 degli ILG, la SPM acquisisce in tempo reale presso la Sala di Monitoraggio del CMS i dati in continuo di tutte le reti pubbliche presenti nell'area, oltre a quelle delle reti sismiche installate dai concessionari. Allo stato attuale il monitoraggio sismico nei domini relativi all'Accordo Quadro per l'applicazione integrata degli ILG alle concessioni di coltivazione di idrocarburi "Val d'Agri" e "Gorgoglione", in Basilicata (nel seguito AQ), è costituita da 58 stazioni sismiche che appartengono a 6 reti diverse. L'elenco completo è riportato in **Tabella 2.1.1** e la loro posizione è visibile nella mappa di **Figura 1.1.1a**. Si tratta di 21 stazioni della rete VA (rete di proprietà Eni, dedicata al monitoraggio della concessione Val d'Agri, e di cui una, PADH, in pozzo), 12 stazioni della rete TP (rete di proprietà TotalEnergies dedicata al monitoraggio della concessione Gorgoglione), e altre 25 stazioni da altre reti pubbliche e/o di ricerca: 12 stazioni della rete IV, Rete Sismica Nazionale (RSN) dell'INGV; 8 stazioni della rete VD, High Agri Valley geophysical Observatory del CNR; 4 stazioni della rete IX (Gestite dall'Università Federico II di Napoli); e 1 stazione della rete GE (gestita dal GFZ - Potsdam)

Tabella 2.1.1 Stazioni sismiche utilizzate nel monitoraggio sismico in Basilicata

Stazione	Latitudine (°N)	Longitudine (°E)	Quota (m)	Rete
ABRE	40.5	15.7594	1542	VA
ANZE	40.5218	15.9125	999	VA
ARME	40.3153	16.0311	989	VA
BRIN	40.49	15.6136	935	VA
CASE	40.5522	16.0722	703	VA
FORE	40.3075	15.8631	570	VA
GRUE	40.2986	15.8939	550	VA
GUPE	40.3678	16.0686	674	VA
LAUE	40.4394	15.9433	1090	VA
LAPE	40.291	15.9549	568	VA
MANE	40.4586	15.7344	1188	VA
MARE	40.3917	15.8106	1061	VA
MOLE	40.25	15.8292	1153	VA
MOMN	40.3306	15.9834	1157	VA

$\vdash$	40.3144	15.9025	610	VA
PADH			010	VA
	40.3144	15.9025	470	VA
RAPE	40.2232	16.0923	769	VA
SPIE	40.2181	15.9789	1319	VA
TITE	40.5567	15.6922	676	VA
TRAE	40.3299	15.7553	714	VA
VIGE	40.3347	15.9006	816	VA
CGG3	40.542	15.5225	1067	IX
PGN3	40.5722	15.7967	882	IX
SRN3	40.4861	15.458	1067	IX
STN3	40.53	15.6515	832	IX
MARCO	40.2972	15.8063	890	GE
ARMEN	40.328	16.0345	880	VD
GRUME	40.2757	15.9062	602	VD
MONCM	40.3058	15.9886	802	VD
MONTM	40.2782	16.0404	652	VD
SARCL	40.2215	15.9175	881	VD
SARSB	40.2296	15.8876	745	VD
SPINS	40.2411	15.9722	882	VD
VIGGN	40.3421	15.9516	1043	VD
TR01	40.4808	16.018	1200	TP
TR02	40.4893	15.8749	1091	TP
TR03	40.5872	16.0058	511	TP
TR04	40.4968	16.2156	614	TP
TR05	40.3836	16.0953	718	TP
TR06	40.2929	16.1216	829	TP
TR07	40.4451	15.9561	850	TP
TR08	40.3943	16.012	723	TP
TR09	40.4	16.196	735	TP
TR10	40.4323	16.0958	877	TP
TR11	40.4743	16.1032	1212	TP
TR12	40.4119	16.0337	896	TP
MIGL	40.6044	16.441	440	IV
ACER	40.7867	15.9427	690	IV
CRAC	40.3814	16.435	384	IV
MCEL	40.3249	15.8019	960	IV
SCHR	40.1992	16.0759	968	IV
MTSN	40.2663	15.7515	1056	IV
	40.39	15.6328	986	IV

### 2.2 Modello di velocità

Le localizzazioni all'interno dei domini di monitoraggio sono state calcolate attraverso il sistema di acquisizione ed elaborazione SeisComP, con algoritmo di inversione *Hypo71* e modello di velocità 1D presentato in **Tabella 2.2.1**, come da Improta et al. (2017).

**Tabella 2.2.1** Modello 1D a strati su semispazio per la velocità Vp utilizzato presso la Sala di monitoraggio CMS per l'elaborazione dei dati di sismicità nell'area di monitoraggio in Basilicata (da Improta et al., 2017). Si riporta il valore Vp in km/s corrispondente al top di ogni strato e del semispazio. Il rapporto Vp/Vs è fissato a 1.9.

Profondità strato (top) [km]	Vp [km/s]
0.0	4.2
1.0	4.8
2.0	5.2
3.0	5.6
4.0	6.0
5.0	6.1
6.0	6.2
7.0	6.25
8.0	6.3
9.0	6.48
12.0	6.9
15.0	7.12
25.0	7.5

## 2.3 Controllo degli station.xml e il calcolo della PGA

#### 2.3.1 Controllo degli station.xml

Il calcolo dei parametri PGV, PGA e Magnitudo si basa sui parametri e *settings* della strumentazione utilizzata. Il segnale sismico registrato viene archiviato in *counts* (mseed) e deve essere corretto per le costanti strumentali del sensore sismico [V/(m/s)] e dell'acquisitore [counts/V] (vedi **Figura 2.3.1**).

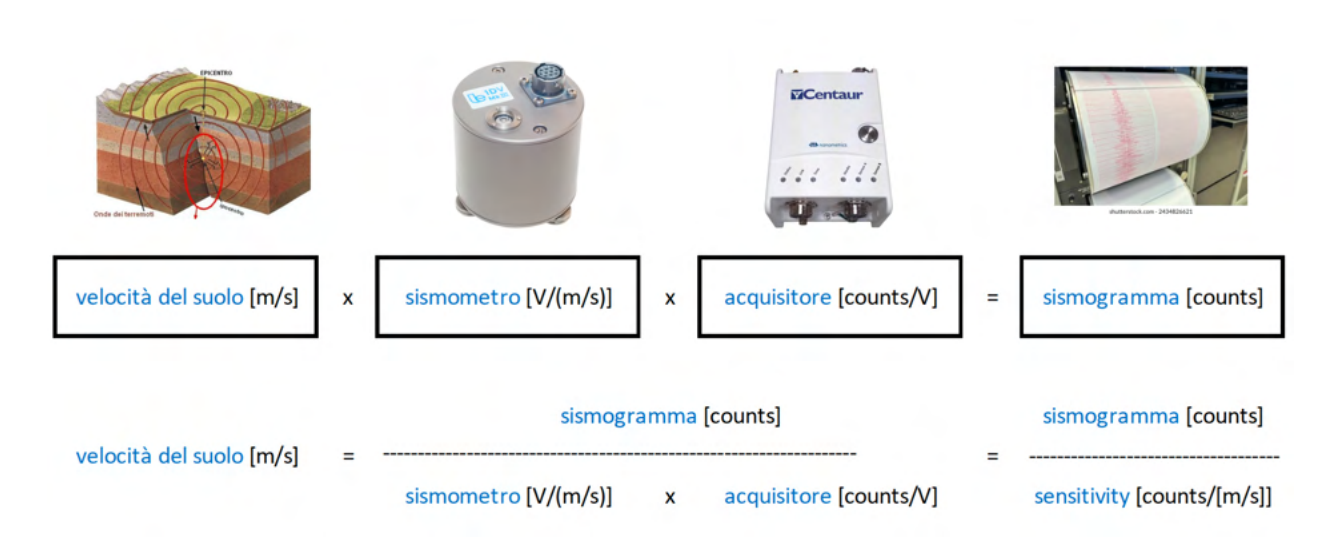
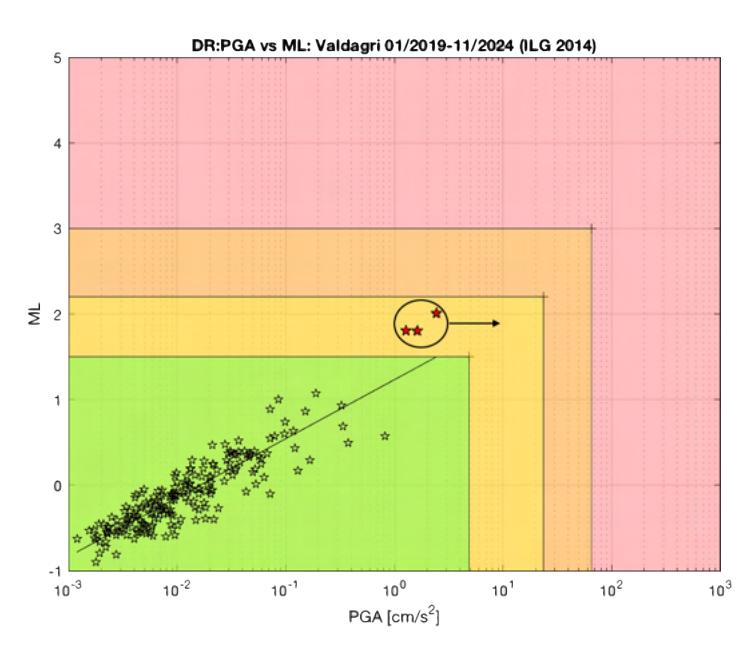


Figura 2.3.1 Schema della "catena strumentale" di registrazione del moto del suolo.

Nell'ambito del monitoraggio delle concessioni di produzione idrocarburi ubicate in Basilicata (Val d'Agri e Gorgoglione) il sistema a semaforo automatico (*TLS*, *Traffic Light System*) viene applicato esclusivamente al Dominio di Riferimento (DR) intorno al pozzo di reiniezione CM2. Al seguito del verificarsi all'interno del DR di tre eventi sismici sopra soglia verde/giallo, con magnitudo (1.5 < ML < 2.2) (descritti nel **Paragrafo 2.7**), sono emerse delle differenze tra i valori di PGV e PGA alla stazione VA.MOMN (vedi **Figura 1.1.1**, e **Tabella 2.1.1**), calcolati da ENI e SPM. Prendiamo l'esempio dell'evento di ML=2.0 del 23/02/2025 11:07 UTC:

Mentre per il calcolo della Magnitudo la ML\_ENI e la ML\_SPM assumono valori comparabili, le PGA calcolate da ENI e dalla SPM sulla base degli stessi dati, si distinguono di un fattore 3:

 $PGA_{ENI}(MOMN) = 0.022 \text{ m/s}^2 = 2.197 \text{ cm/s}^2$  e  $PGA_{SPM}(MOMN) = 0.0749 \text{ m/s}^2 = 7.49 \text{ cm/s}^2$ 



**Figura 2.3.2** ML vs. PGA degli eventi sismi registrati da ENI all'interno del DR. I tre simboli rossi nel cerchio nero rappresentano gli eventi con ML>1.5, verificatosi a febbraio 2025.

Essendo per il TLS degli ILG (**Tabella 9.4**, Dialuce et al., 2014) la soglia verde/gialla (ordinarietà/attenzione) definita come superamento del valore di accelerazione di PGA=0.4 cm/s², la correttezza della PGA è determinante per decidere se il TLS "scatta" soltanto per il superamento della Magnitudo, o anche per l'accelerazione massima del suolo. La **Figura 2.3.2** mostra la relazione tra ML e PGA per gli eventi sismici registrati all'interno del DR. Le tre stelle rosse rappresentano la PGA\_ENI dei tre eventi con M>1.5 verificatosi a Feb 2025 (vedi **Paragrafo 2.7**), che rimane al di sotto della soglia per la PGA\_ENI, mentre l'assunzione di valori PGA\_SPM più alti potrebbe portare ad uno shift dei valori PGA (freccia) oltre la soglia verde/gialla.

Un confronto con i colleghi di ENI ha portato alla conclusione che era necessario apportare delle modifiche alle curve di risposta usate per la correzione strumentale (*file* xml) correggendo i seguenti valori per la stazione a larga banda IV.MOMN (sensore Sara SL08 - 50s):

- > velocimetro: il campo *GAIN* risulta corretto su HHZ e non corretto per le componenti HHN/HHE: 33554320 anziché 1258299589 [counts/(m/s)]
- ➤ accelerometro: il gain non corretto di un fattore 100 per HNZ/HNN/HNE [cm/s², anziché m/s²]: 42781900.8 anziché 427819.008 [counts/(m/s²)]

Per le stazioni a breve periodo, allestite con sensore sismico Lennartz Le3D-1s MkII, le correzioni, applicate poi a tutte le stazioni della rete VA, sono:

- > velocimetro: la descrizione del sensore (campo: SENSOR), mentre il campo InstrumentSeismicity risultava corretto
- ➤ accelerometro: il gain non corretto di un fattore 100 per HNZ/HNN/HNE [cm/s², anziché m/s²]: 42781900.8 anziché 427819.008 [counts/(m/s²)]

#### 2.3.2 Calcolo della PGA

La massima accelerazione del suolo causata da un evento sismico può essere calcolata in due maniere:

- A. utilizzo dei dati registrati dal sismometro (in *counts*) con conversione in m/s e successiva differenziazione della traccia velocimetrica in valori di accelerazione (m/s²)
- B. utilizzo dei dati registrati dall'accelerometro (in counts) con conversione in m/s<sup>2</sup>

In caso che l'energia sismica sia tale da non far saturare il sensore sismico (eventi di bassa Magnitudo) la PGA può essere ottenuta calcolando la derivata della traccia velocimetrica (A). SeisComP utilizza il modulo, chiamato **scwfparam**, che esegue i seguenti passi:

- > Compute signal duration and check for aftershocks
- > Deconvolution using spectral division of FFT spectrum and transfer function
- > Apply optional sensitivity correction filter (low-, high- or bandpass)
- > Apply optional low-pass, high-pass or band-pass filter

In caso di evento sismico forte, che porta alla saturazione del sismometro, è utile disporre di una rete accelerometrica, che è meno sensibile alle accelerazioni lievi, ma ha una dinamica che consente di registrare accelerazioni massime di PGA = 2g.

Le3D MKII SaraSS08 SaraSA10 Dymas 24	velocim. velocim. acceler. digitizer	Sensitivity Sensitivity Sensitivity LSB		1.2583E+09	counts/(m/s) counts/(m/s) counts/(m/s^2) uV/counts	7.9473E-10	(m/s)/count (m/s)/count (m/s^2)/count	==>	2.3842E-07	g/counts		
					E	NI				CMS	manuale	t'
data	ora	ML	CH	counts_HH	PGV_HH(m/s)	counts_HN	PGA_HN(m/s^2)	CH	counts_HH	PGV_HH (m/s)	counts_HN	PGA_HN(m/s^2
15/02/25	04:21:41	1.60	Z				terminal terminal	Z	61398.3	4.880E-05	2597.49	6.071E-03
MOMN	SaraSS08	SaraSA10	N					N	110845.4	8.809E-05	1365.34	3.191E-03
			Ε		No. 12			E	82765.2	6.578E-05	1806.06	4.222E-03
12	7, 7			comunicato	1.03E-04	d/dt(PGV) =	4.27E-03				1	
23/02/25	11:07:36	2.00	Z	1.344E+05	1.068E-04	3.613E+03	8.445E-03	Z	151677	1.205E-04	3906.65	9.132E-03
MOMN	SaraSS08	SaraSA10	N	3.638E+05	2.891E-04	5.465E+03	1.277E-02	N	364264	2.895E-04	4491.21	1.050E-02
		4.0	E	4.660E+05	3.703E-04	9.400E+03	2.197E-02	Е	390813	3.106E-04	9505.90	2.222E-02
				comunicato	3.76E-04	d/dt(PGV) =	2.41E-02	_				
27/02/25	13:25:26	1.80	Z				100	Z	146063.7	1.161E-04	3794.84	8.870E-03
MOMN	SaraSS08	SaraSA10	N				100	N	307806.9	2.446E-04	4012.19	9.378E-03
			E					E	269064.1	2.138E-04	5170.59	1.209E-02
				comunicato	2.59E-04	d/dt(PGV) =	1.28E-02		calcolato	letto	calcolato	letto
<u> </u>				counts_SH	PGV_EH(m/s)	d/dt(PGV)	PGA_HN(m/s^2)		counts_HH	PGV_EH (m/s)		PGA_HN(m/s^2
18/03/25	09:01	4.2	Z					Z*)	447872	1.335E-03	12034	2.813E-02
VIGE	Le3D MKII	SaraSA10	N		4.220E-03	1.100E-01	1.120E-01	N*)	1479069	4.408E-03	48033	1.123E-01
			E					E*)	1146073	3.416E-03	36826	8.608E-02
								*) Le	3D 5s HiPas	s per simulazior	ne Le3D MKI	

**Figure 2.3.3:** Tabelle comparative tra PGV/PGA ENI e CMS per i quattro eventi sismici in oggetto. I counts con cifra decimale risultano dalla conversione da velocità in counts.

Seguendo le raccomandazioni degli ILG (Dialuce, 2014) è necessario adeguare la rete sismica alle prescrizioni governative. A partire del 2018 il concessionario della rete VA ha allestito i siti della rete sismica di monitoraggio con un sensore accelerometrico (Sara SA10 - 2g). A seguito delle correzioni apportate nei file di configurazione strumentale (station.xml) è stato fatto un confronto con i colleghi di ENI sui parametri utilizzati, applicando i due metodi A) e B) per:

- tre terremoti (1.6 ≤ MLbj ≤ 2.0) con ipocentro all'interno di DR (stazione più vicina MOMN, vedi Paragrafo 2.7)
- un evento sismico di 18/03/2025 (MLbj 4.2) fuori DE, con epicentro a Vaglio (stazione più vicina VIGE).

La **Figura 2.3.3** riassume il risultato di tale confronto. I dati di ENI (giallo) e del CMS (grigio) si distribuiscono rispettivamente su 4 colonne: Le due colonne a sinistra riportano i *counts* e la *PGV* risultando dalla traccia (HH\*, EH\*) del velocimetro e le due colonne a destra mostrano i *counts* e la *PGA* registrati dall'accelerometro (per ENI disponibili solamente dell'evento del 23/02/2025). I risultati dei calcoli di PGV/PGA per i tre eventi sismici sono colorati rispettivamente in verde e arancione.

Il quarto evento (MLbj 4.2) conferma i risultati ottenuti prima: la PGV di ENI (4.22E-03 m/s) è simile al valore calcolato dal CMS (4.408E-03 m/s). La PGA alla stazione VIGE sulla base della traccia accelerometrica risulta 1.12E-01 m/s², sia per CMS, che per ENI ed è identico alla PGA=1.1E-01 m/s² calcolata sulla base della derivata della traccia velocimetrica.

Riassumendo, il confronto con ENI ha portato alle seguenti conclusioni:

- L'attuale procedura operativa @CMS utilizza i dati dei velocimetri per calcolare la PGA degli eventi di bassa magnitudo; in caso di eventi più energetici, sarà necessario validare i risultati con misure prese direttamente dall'accelerometro.
- ➤ Il modulo **scwfparam** calcola la PGA derivando la traccia del velocimetro e usa quindi i parametri dello station.xml del velocimetro
- > In modo analogo, ENI calcola la PGA come derivata della traccia velocimetrica
- > Il calcolo della PGA sulla base dei dati registrati dall'accelerometro avviene manualmente
- ➤ I valori di PGA calcolati sulla base dei velocimetri si discostano leggermente dalle accelerazioni risultanti dalle registrazioni con sensore accelerometrico (HNZ/N/E).

## 2.4 Aggiornamento sulla magnitudo di completezza

I primi risultati delle analisi di completezza del catalogo sismico compilato come risultato delle attività di monitoraggio della SPM in Basilicata sono stati presentati nel Rapporto di monitoraggio n. 1 (relativo all'attività tra il 15 aprile ed il 15 ottobre 2024). Le stime della magnitudo di completezza (Mc) sono state effettuate utilizzando i metodi integrati nell'infrastruttura Europea EPOS (European Plate Observing System), Thematic Core Services "Anthropogenic Hazards" (TCS-AH, Orlecka-Sikora et al., 2020). In pratica, con l'obiettivo di avere una stima dell'incertezza epistemica nella stima di Mc, per ogni dataset analizzato è stato valutato un ensemble di soluzioni utilizzando diversi metodi frequentemente

usati in letteratura quali il metodo di massima curvatura (MaxC, Wiemer & Wyss 2000), il metodo di "Goodness of Fit" considerando due diverse significatività (gftN, Wiemer & Wyss 2000), e il metodo "Goodness of Fit modificato" (mgft, Leptokaropoulos et al. 2013). Prendendo la soluzione più conservativa possibile, la Mc è selezionata considerando il valore più alto tra tutti i metodi utilizzati.

Si ricorda che, in accordo con quanto previsto dagli ILG art 5.4 - "Configurazione 0", la Sala Sismica del CMS calcola la magnitudo locale secondo la relazione di Bakun e Joyner (1984), in questo Report contrassegnata con la notazione MLbj:

$$MLbj = logA + 1.00log(R/100) + 0.00301(R-100) + 3.0$$

dove A è la massima semi-ampiezza della traccia in mm, misurata sulle componenti orizzontali, dopo simulazione di un sismografo Wood-Anderson sintetico, e R la distanza ipocentrale in km.

Le prime stime della Mc per la concessione Val d'Agri sono state effettuate utilizzando il catalogo sismico con gli eventi registrati dal 01/01/2021 al 15/10/2024; i risultati (riportati nel Rapporto di monitoraggio n.1) considerando tutto il periodo di tempo indicano una magnitudo di completezza pari a 0.1 in entrambi i domini di monitoraggio della Val d'Agri (DE e DI).

Dall'inizio dell'acquisizione ed elaborazione dei dati in tempo reale, la SPM ha lavorato per migliorare le impostazioni del sistema di elaborazione dei dati; come risultato si è ottenuto un graduale miglioramento della performance del sistema di detezione ed identificazione degli eventi sismici. Questo miglioramento risulta evidente se prendiamo in considerazione l'evoluzione nel tempo della magnitudo di completezza nel DI ottenuta prendendo come riferimento diverse finestre temporali. La Tabella 2.4.1 e Tabella 2.4.2 mostrano i risultati della stima della magnitudo di completezza anno per anno dal 2021 al 2025 considerando tutti gli eventi nei domini DI e DR della concessione Val d'Agri. Nelle tabelle è possibile vedere come la magnitudo di completezza nei domini DI e DR della concessione Val d'Agri sia passata da 0.2 nel 2021 a -0.1/-0.2 negli ultimi anni. Tuttavia, è importante sottolineare che i tassi di sismicità osservati nell'area del DI non sono omogenei spazialmente (così come la densità di stazioni sismiche); infatti, come si può notare nella mappa della sismicità (vedere e.g., **Figura 2.6.1** in questo rapporto, e le mappe di sismicità nel Rapporto di monitoraggio n.1), ci sono aree, come la zona Sud del lago artificiale del Pertusillo (Monti della Maddalena), la zona centrale del DI, e la zona attorno al pozzo CM2, dove i tassi di sismicità sono significativamente più alti rispetto ad altre aree come la zona NW del DI. Le stime di magnitudo di completezza considerando tutto il DI sono fortemente condizionate dall'attività nelle zone più produttive di sismicità (in particolare Monti della Maddalena e CM2), come si può vedere nelle stime in sottodomini specifici considerati nel Capitolo 5. In particolare, prendendo in considerazione soltanto le zone con tassi più bassi (ad esempio la zona NW del DI, la magnitudo completezza risulta essere dell'ordine di 0.4 (comparabile con quella del DI di Gorgoglione), mentre la completezza del DI senza considerare le aree dei Monti della Maddalena e del Pozzo CM2 ha valori dell'ordine di 0.2 / 0.3. Future analisi saranno indirizzate verso l'identificazione di variazioni spaziali significative della completezza.

Considerando i dati presentati nella **Tabella 2.4.1**, le analisi della sismicità in tutto il DI della concessione Val d'Agri di questo rapporto prendono come riferimento la soglia di completezza di -0.1

(un esempio del diagramma frequenza-magnitudo nel DI per gli eventi accaduti nell'ultimo anno nella concessione Val d'Agri è mostrato nella **Figura 2.6.5** nel **Paragrafo 2.6**).

**Tabella 2.4.1** Stima della magnitudo di completezza nel DI della concessione Val d'Agri dal 2021 al 2025 (\*l'anno 2025 considerando soltanto i dati del primo quadrimestre dell'anno)

DI - Val d'Agri									
Anno	Мс	magnitudo minima	magnitudo massima	numero di eventi	numero di eventi sopra la completezza				
2021	0.2	-0.7	2.2	506	197				
2022	0.1	-0.9	1.7	337	148				
2023	0.0	-0.9	2.0	1666	704				
2024	-0.1	-1.3	2.4	864	364				
2025*	-0.2*	-0.9	2.0	209	118				

**Tabella 2.4.2** Stima della magnitudo di completezza nel DR della concessione Val d'Agri dal 2021 al 2025 (\*l'anno 2025 considerando soltanto i dati del primo quadrimestre dell'anno)

DR - Costa Molina 2 (Val d'Agri)									
Anno	Мс	magnitudo magnitudo minima massima		numero di eventi	numero di eventi sopra la completezza				
2022	0.1	-0.5	1.1	40	9				
2023	0.1	-0.9	1.1	52	15				
2024	-0.1	-1.3	1.9	145	65				
2025*	-0.2*	-0.9	2.0	73	34				

Considerando invece i dati della concessione Gorgoglione (**Tabella 2.4.3**), è possibile vedere che la completezza in questa zona è rimasta stabile a una Mc= 0.4; è importante notare che rispetto alla Val d'Agri, la densità di stazioni è relativamente più bassa; il numero di eventi registrati a Gorgoglione è relativamente minore (perciò il numero degli eventi disponibili per le stime di completezza sono molto più bassi).

**Tabella 2.4.3** Stima della magnitudo di completezza nel DI della concessione Gorgoglione dal 2021 al 2025 (\*l'anno 2025 considerando soltanto i dati del primo quadrimestre dell'anno)

TP - Gorgoglione									
Anno	Мс	magnitudo minima	magnitudo massima	numero di eventi	numero di eventi sopra la completezza				
2021 - 2022	0.4	-0.3	0.9	20	9				
2022 - 2023	0.4	-0.3	1.9	30	18				
2023 - 2024	0.4	-0.3	2.0	56	30				
2024 - 2025*	0.4	-0.3	2.0	52	24				

## 2.5 Disponibilità delle stazioni

La rete di monitoraggio sismico, composta da un totale di 58 stazioni è costituita sia da stazioni private che pubbliche. Al fine di garantire l'attività di monitoraggio, quotidianamente viene controllato che le stazioni siano in costante acquisizione. Le **Tabelle 2.5.1 e 2.5.2** riportano la percentuale di dati disponibili per quanto riguarda le reti di proprietà ENI e TotalEnergies, rispettivamente, degli ultimi 6 mesi; i dati mostrano come nei mesi invernali (gennaio in particolare) è visibile una leggera diminuzione della disponibilità delle stazioni in genere riconducibili a problemi di alimentazione (dovuto principalmente al minore irraggiamento solare in questo periodo dell'anno), ma in alcuni casi anche a furti o danneggiamenti delle stazioni da parte di ignoti.

Tabella 2.5.1 Percentuale della disponibilità dei dati delle stazioni della rete VA negli ultimi sei mesi

Stazione	% dati novembre	% dati dicembre	% dati gennaio	% dati febbraio	% dati marzo	% dati aprile
ABRE	97.0	99.3	92.0	99.8	100.0	100.0
ANZE	-	-	-	99.7	99.5	99.7
ARME	99.9	100.0	93.1	99.9	99.6	99.9
BRIN	98.2	100.0	93.1	99.8	99.6	99.4
CASE	99.9	99.9	92.5	99.3	100.0	100.0
FORE	100.0	100.0	89.9	98.8	100.0	100.0
GRUE	100.0	100.0	93.1	100.0	99.8	100.0
GUPE	99.5	100.0	92.4	100.0	99.4	100.0
LAPE	99.9	100.0	93.1	99.5	99.9	99.8
LAUE	100.0	99.1	91.3	100.0	99.7	99.3

MANE	100.0	99.9	92.9	99.8	99.9	99.8
MARE	97.0	91.1	77.5	99.5	99.2	99.8
MOLE	98.5	99.5	93.1	99.8	100.0	100.0
MOMN	99.3	99.9	93.0	99.9	99.9	99.9
PADE	100.0	100.0	93.1	100.0	100.0	100.0
PADH	100.0	100.0	92.8	99.8	99.6	99.9
RAPE	99.6	99.5	92.6	99.8	99.9	99.4
SPIE	99.5	90.8	62.6	100.0	99.5	100.0
TITE	99.2	99.8	91.5	99.9	100.0	99.8
TRAE	99.2	99.3	93.0	99.9	99.9	100.0
VIGE	100.0	100.0	93.1	99.9	99.4	99.5

Tabella 2.5.2 Percentuale della disponibilità dei dati delle stazioni della rete TP negli ultimi sei mesi

Stazione	% dati novembre	% dati dicembre	% dati gennaio	% dati febbraio	% dati marzo	% dati aprile
TR01	100.0	100.0	97.8	100.0	100.0	100.0
TR02	100.0	100.0	93.4	100.0	100.0	100.0
TR03	100.0	100.0	98.5	100.0	100.0	100.0
TR04	100.0	100.0	98.5	100.0	100.0	100.0
TR05	100.0	100.0	97.8	100.0	100.0	100.0
TR06	100.0	91.3	89.8	100.0	100.0	100.0
TR07	100.0	100.0	93.8	100.0	100.0	100.0
TR08	100.0	100.0	98.6	100.0	100.0	100.0
TR09	100.0	100.0	97.8	100.0	100.0	100.0
TR10	100.0	100.0	97.8	100.0	99.9	99.9
TR11	100.0	100.0	73.8	100.0	99.7	99.5
TR12	100.0	100.0	94	100.0	100.0	100.0

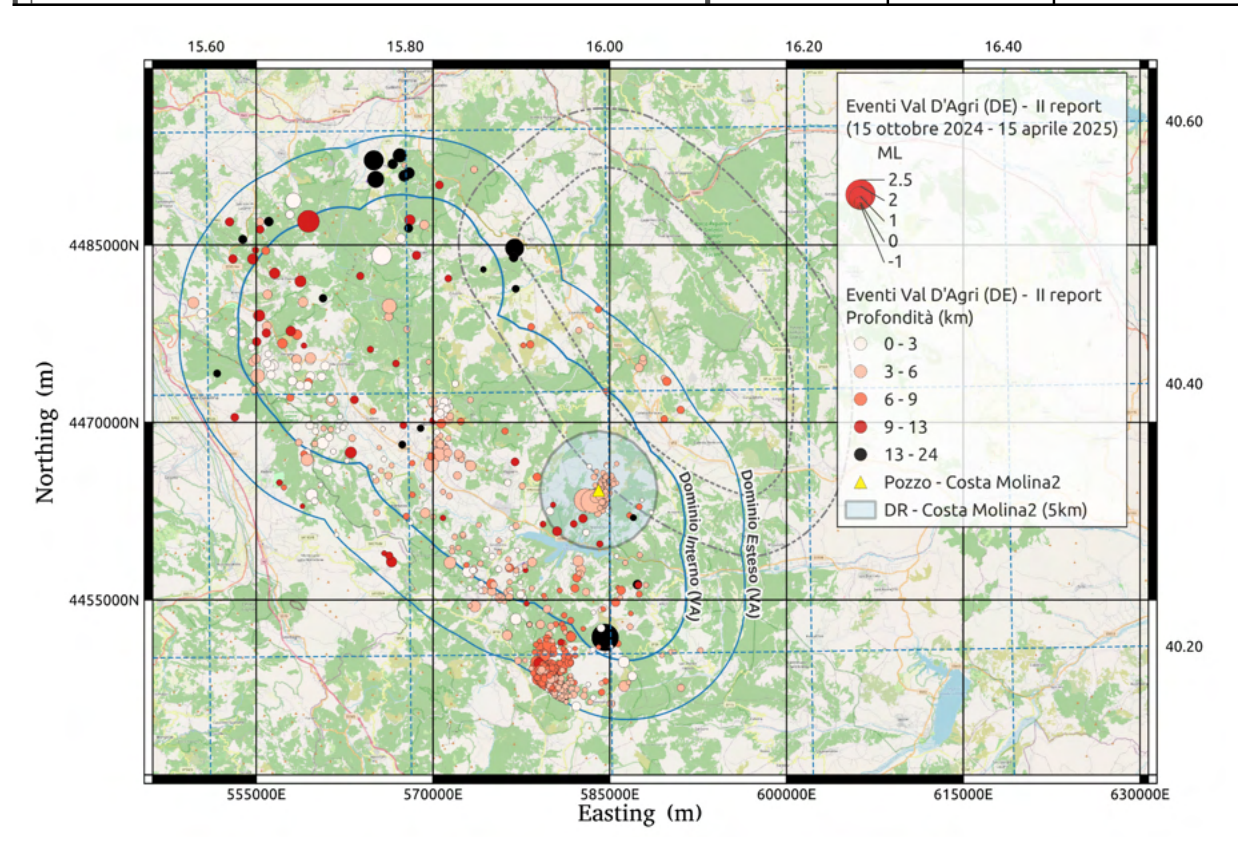
## 2.6 Analisi della sismicità localizzata dalla SPM nei domini di monitoraggio (DE, DI) della concessione Val d'Agri: 15 Ottobre 2024 - 15 Aprile 2025

Considerando l'intervallo di tempo relativo a questo rapporto di monitoraggio (15/10/2024 - 15/04/2025), sono stati localizzati 827 eventi dentro al DE (1948 dall'inizio del monitoraggio in aprile 2024), dei quali 309 eventi all'interno del DI (656 dall'inizio del monitoraggio). La **Tabella 2.6.1** mostra alcuni valori significativi per i due domini di monitoraggio. La **Figura 2.6.1** mostra gli epicentri della sismicità rilevata e localizzata nei domini della concessione Val d'Agri nel periodo di riferimento di

questo rapporto (15 ottobre 2024 - 15 aprile 2025); il Bollettino completo degli eventi localizzati dalla SPM è descritto in Appendice A e riportato nelle tabelle allegate al report.

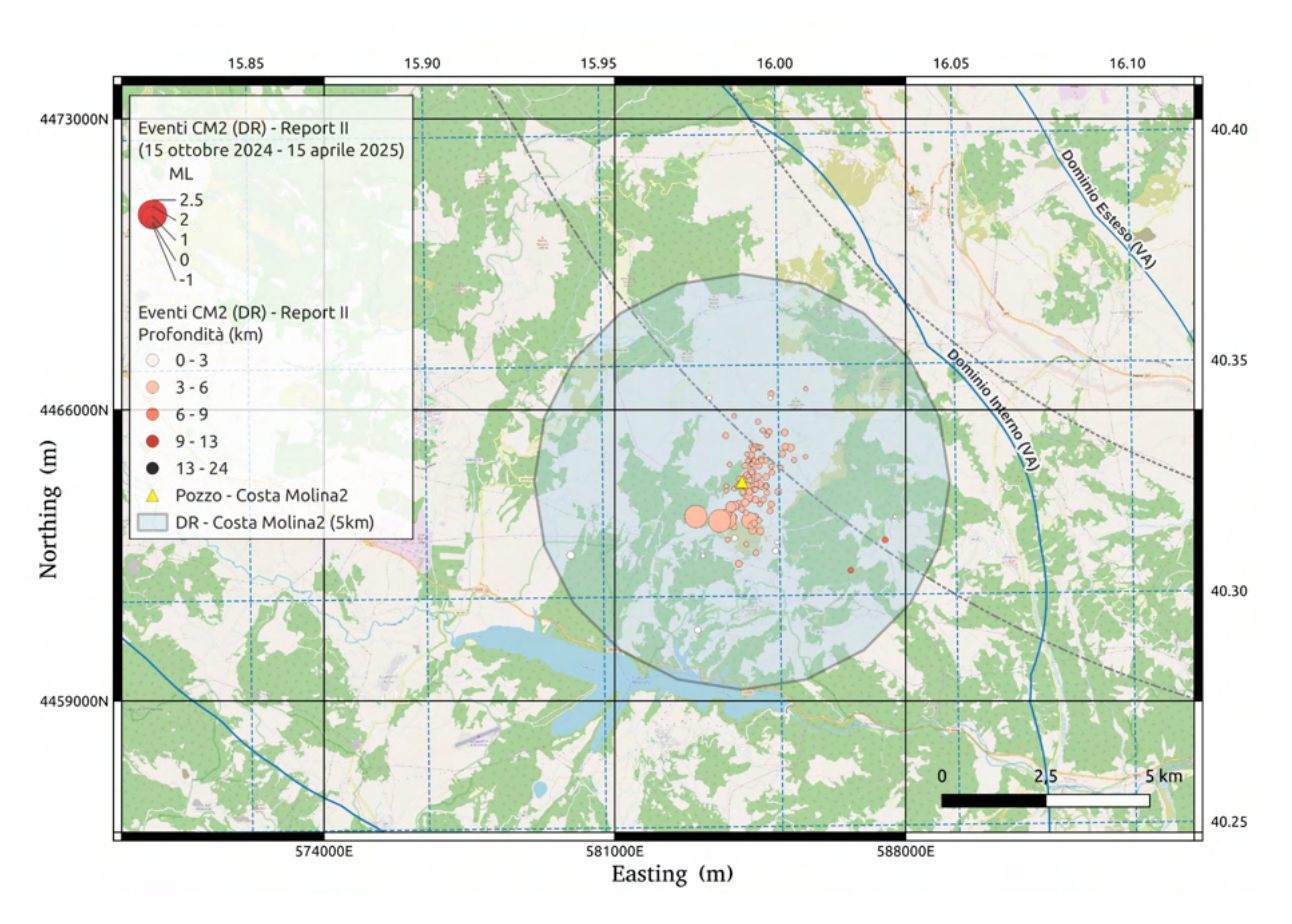
**Tabella 2.6.1** Riassunto del numero di eventi registrati nei domini di monitoraggio della concessione Val d'Agri (incluso il DR associato al pozzo di reiniezione CM2), nel periodo di riferimento di questo rapporto.

Concessione: Val d'Agri									
Periodo di riferimento: 15/10/2024 - 15/04/2025	Dominio Interno	DI+Dominio Esteso	DR (CM2)						
Numero di eventi localizzati - sala sismica CMS, nel periodo di riferimento del rapporto	312	836	114						
Numero di eventi localizzati - sala sismica CMS, dall'inizio del monitoraggio (ad aprile 2025)	681	2053	204						
MLbj minima nel periodo di riferimento	-1.3	-1.3	-1.3						
MLbj massima nel periodo di riferimento	2.0	2.0	2.0						
Numero di eventi sopra la magnitudo di completezza [considerando Mc=-0.1 nel DI e nel DR, e 0.0 per il DE], nel periodo di riferimento	149	396	42						



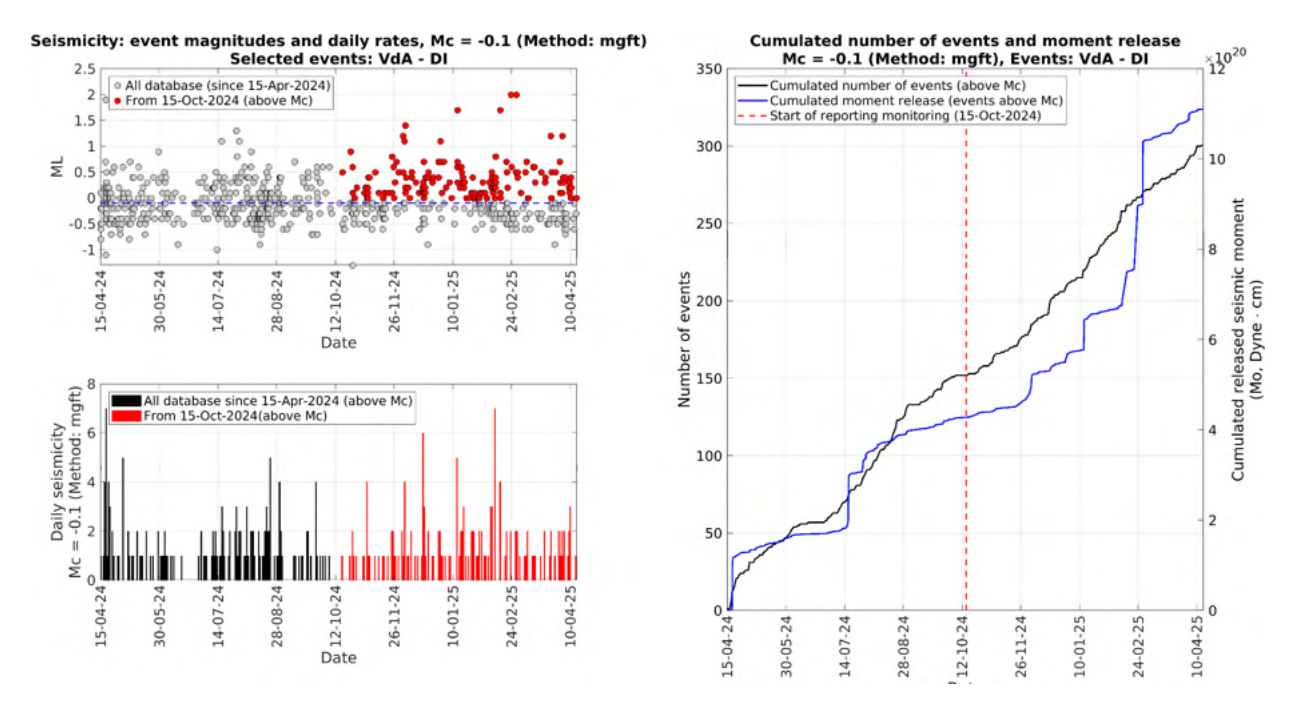
**Figura 2.6.1** Mappa degli epicentri degli eventi sismici localizzati dalla SPM nel periodo 15/10/2024 - 15/04/2025. I perimetri dei Domini Interno ed Esteso della Concessione Val d'Agri sono disegnati in blu. Il Dominio di Riferimento di raggio 5 km attorno alla postazione del CM2 è segnalato in azzurro. I domini di monitoraggio di Gorgoglione sono mostrati per riferimento con linee tratteggiate grigie.

I colori dei cerchi indicano la profondità dell'evento, mostrando in nero gli eventi che ricadono sotto il limite del dominio esteso (i.e., z>13km); le dimensioni dei cerchi sono scalati in funzione della magnitudo. La **Figura 2.6.2** mostra un ingrandimento della mappa nell'area del pozzo di reiniezione Costa Molina 2 (CM2), con la sismicità localizzata nel DR definito utilizzando un raggio di 5 km attorno al pozzo e un limite di profondità di 8 km.

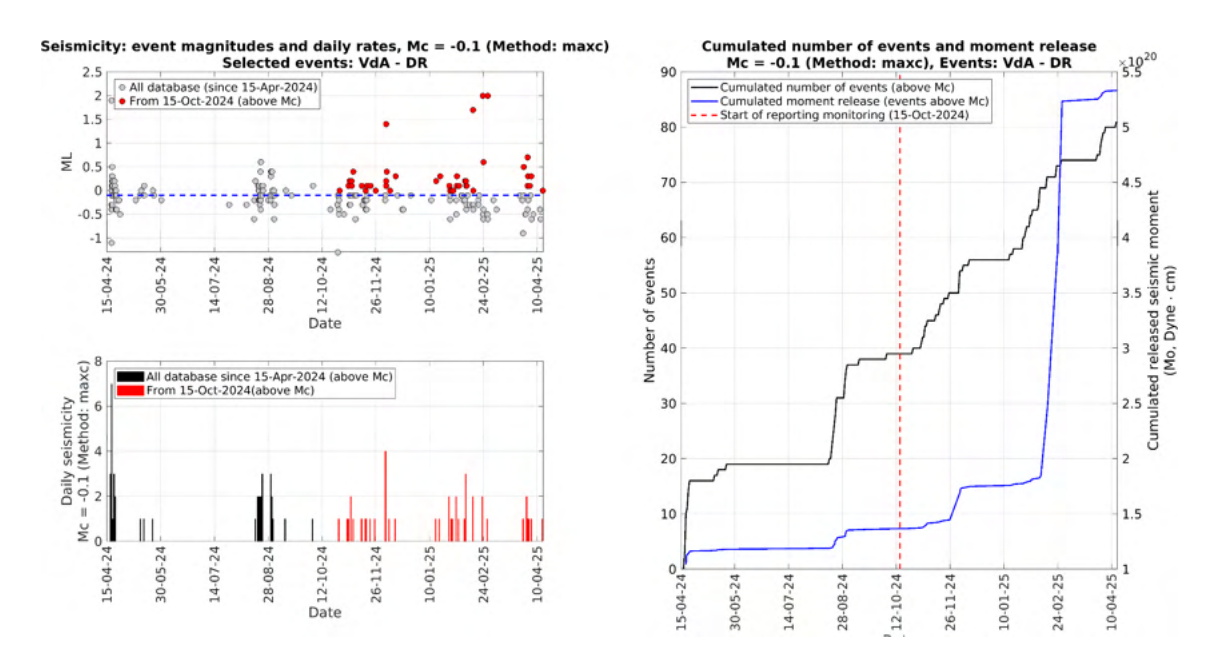


**Figura 2.6.2** Mappa degli epicentri degli eventi sismici localizzati dalla SPM dentro al DR del pozzo di reiniezione CM2 nel periodo 15/10/2024 - 15/04/2025. I perimetri dei Domini Interno ed Esteso della Concessione Val d'Agri sono disegnati in blu. Il Dominio di Riferimento di raggio 5 km attorno alla postazione del CM2 è segnalato in azzurro.

La **Figura 2.6.3** mostra la sismicità registrata nel Dominio Interno della concessione Val d'Agri per tutto il periodo di monitoraggio (aprile 2024 - aprile 2025). In modo analogo, la **Figura 2.6.4** mostra la sismicità registrata all'interno del DR di riferimento per il pozzo CM2. In entrambe le figure è possibile vedere la serie temporale degli eventi sia in funzione della MLbj (pannello a sinistra in alto, dove in rosso si mostrano gli eventi sopra la soglia di completezza relativi al periodo di tempo di questo rapporto) che considerando il numero giornaliero di eventi sopra la completezza (pannello a sinistra in basso). Inoltre, nel pannello a destra riportiamo il numero cumulato di eventi (sopra la completezza) ed il momento sismico cumulato rilasciato.

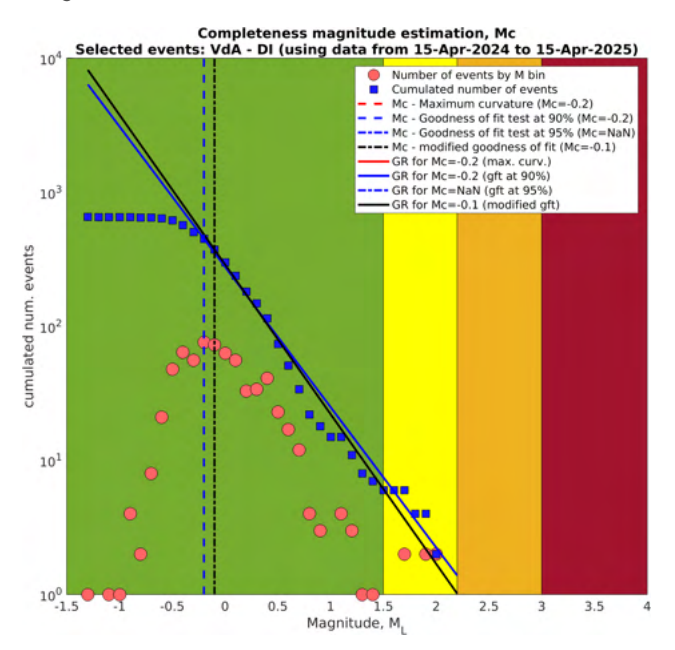


**Figura 2.6.3** Sismicità registrata nel DI della concessione Val d'Agri: Plot della magnitudo vs. tempo (sinistra-sopra), del numero giornaliero di eventi (sinistra-sotto), e del numero cumulato e momento sismico rilasciato cumulato (destra). Dati da gennaio 2021, quelli evidenziati in rosso (o dopo la linea tratteggiata rossa) sono relativi al periodo di riferimento di questo rapporto.



**Figura 2.6.4** Sismicità registrata nel dominio DR del CM2, Concessione Val d'Agri: Plot della magnitudo vs. tempo (sinistra-sopra), del numero giornaliero di eventi (sinistra-sotto), e del numero cumulato e momento sismico rilasciato cumulato (destra). Dati da gennaio 2021, quelli evidenziati in rosso (o dopo la linea tratteggiata rossa) sono relativi al periodo di riferimento di questo rapporto.

Osservando quest'ultimo pannello per tutto il DI (**Figura 2.6.3**) la linea nera (numero cumulato di eventi) mostra un andamento piuttosto costante nel tempo, è quindi possibile inferire che dall'inizio del monitoraggio (aprile 2024) i ratei di sismicità sopra la completezza considerata possono essere ritenuti stazionari; tuttavia, la curva cumulata del momento sismico rilasciato (linea blu) mostra evidenti gradini, ovvero incrementi improvvisi seguiti da periodi di rilascio più stazionario. Il gradino più significativo si osserva tra febbraio e marzo del 2025 in corrispondenza della serie di eventi con magnitudo sopra la soglia gialla di attenzione (1 evento con MLbj 1.7 e due eventi con MLbj 2.0, **Figura 2.6.4**, pannello in alto a sinistra) accaduti, rispettivamente, il 15, 23, e 27 febbraio 2025). Nella **Figura 2.6.4** si può notare come la sismicità all'interno del DR del pozzo CM2 mostri una tendenza a *clusterizzare* nel dominio del tempo. Nell'anno di monitoraggio nell'ambito di questo AQ (aprile 2024 - aprile 2025), è possibile osservare almeno 5 clusters di eventi, gli ultimi due accaduti tra gennaio ed aprile del 2025 e che includono i 3 eventi sopra soglia.



**Figura 2.6.5** Curva di Frequenza-magnitudo della sismicità registrata nel DI della concessione Val d'Agri nel primo anno di monitoraggio (15 aprile 2024 - 15 aprile 2025)

Infine, osservando i dati della curva frequenza-magnitudo degli eventi all'interno del DI della concessione Val d'Agri utilizzando i dati del primo anno di monitoraggio (15 aprile 2024 - 15 aprile 2025, **Figura 2.6.5**), è possibile notare come la frequenza di accadimento degli eventi più energetici registrati in quest'anno (quelli accaduti a febbraio 2025) mostri valori appena superiori rispetto a quanto ci si aspetterebbe considerando l'andamento della sismicità meno energetica, ~ML<1.5 (ovvero i punti per le ML>1.5 si posizionano tutti al di sopra della retta stimata come *best-fit*, linee blu e nera a seconda della metodologia utilizzata). Nel paragrafo successivo si presentano maggiori dettagli dell'attività sismica registrata tra febbraio ed aprile 2025.

## 2.7 Eventi sismici sopra soglia (giallo) di febbraio 2025

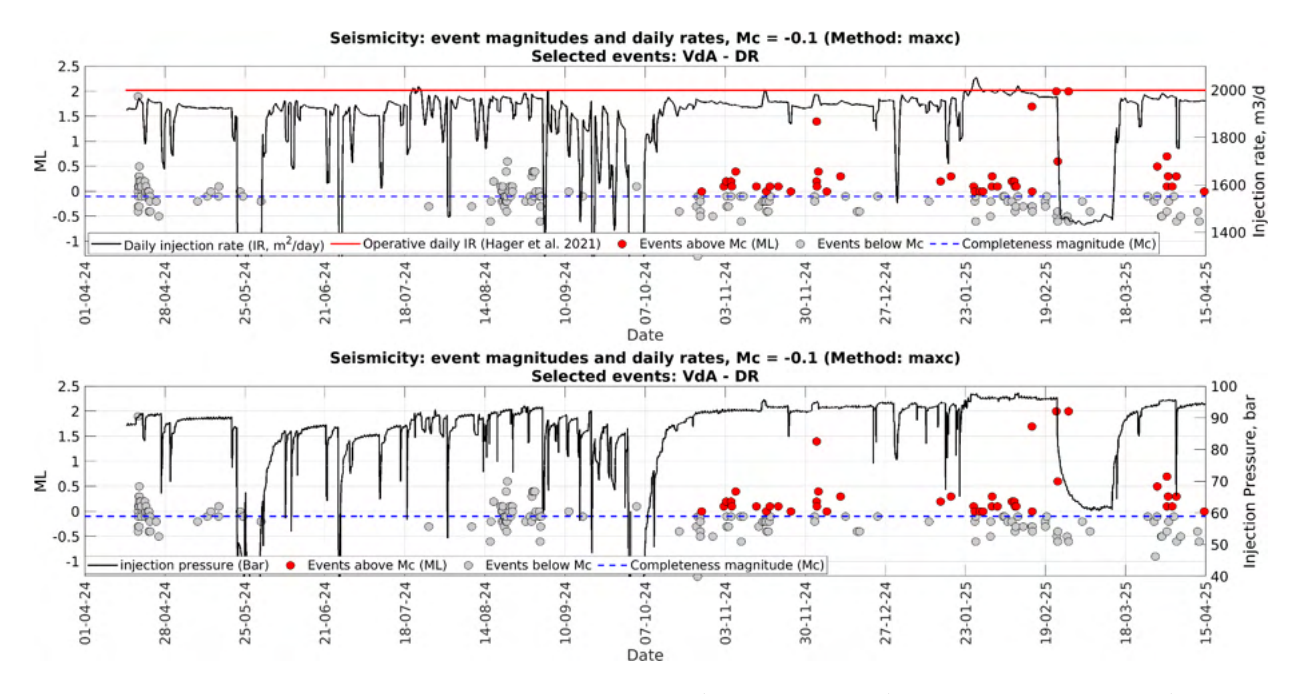
Il 15 Febbraio 2025 è iniziata una sequenza sismica di particolare interesse all'interno del DR del pozzo di reiniezione CM2. Tra il 15 febbraio e la data di chiusura di questo rapporto (15 aprile), sono stati registrati 3 eventi sismici con magnitudo MLbj > 1.5, considerata come soglia del livello di attenzione giallo nei valori di riferimento degli ILG:

- 15/02/2025 04:21:41 UTC, MLbj 1.7
- 23/02/2025 11:07:36 UTC, MLbj 2.0
- 27/02/2025 13:25:26 UTC, MLbj 2.0

Questi eventi sono stati localizzati circa 1 km a Sud-Sud-Ovest dal pozzo di reiniezione CM2, ad una profondità compresa tra 4 e 5 km (vedere per riferimento la **Figura 2.6.2**).

Gli eventi dei giorni 23 e 27 Febbraio 2025 (entrambi con MLbj 2.0) risultano essere i più energetici registrati dal 2019, inizio della sperimentazione degli ILG in Val d'Agri. In risposta a tali eventi, il Concessionario è intervenuto sulle portate di reiniezione secondo il seguente schema di azioni:

- 24 Febbraio 2025: riduzione del 25% della portata di reiniezione, passando dal precedente valore limite di 2000 m³/giorno al valore di 1500 m³/giorno, per un periodo di almeno 15 gg (v. comunicazione via mail al Comitato dell'Ing. Mileti del 25 Febbraio, 14:10 LT).
- 14 Marzo 2025: inizia l'aumento graduale della portata giornaliera di reiniezione, portandola da 1.500 m³/giorno (valori pre-anomalia) a valori attorno a 2000 m³/giorno.



**Figura 2.7.1** Eventi sismici registrati nel DR del pozzo CM2 (MLbj, punti rossi), e portata di reiniezione (sopra, in m³/giorno, aggiornato ogni ora), e pressione a testa pozzo (sotto, in bar). La linea rossa (sopra) indica la soglia operativa di 2000 m³/giorno, considerata dall'operatore come soglia di portata 'target' secondo quanto stimato da Hager et al., 2021)

L'andamento temporale di portata e pressione a testa pozzo per il CM2 è illustrato nella **Figura 2.7.1**, insieme alla magnitudo degli eventi sismici registrati nel DR. Per completezza, si presentano i dati da Aprile 2024, inizio delle attività di monitoraggio relativo all'AQ, includendo l'evento MLbj1.9 del 18 Aprile 2024. La linea rossa nella **Figura 2.7.1** (pannello superiore) rappresenta la soglia di 2000 m³/giorno, utilizzata come limite operativo per le attività di reiniezione nel pozzo CM2.

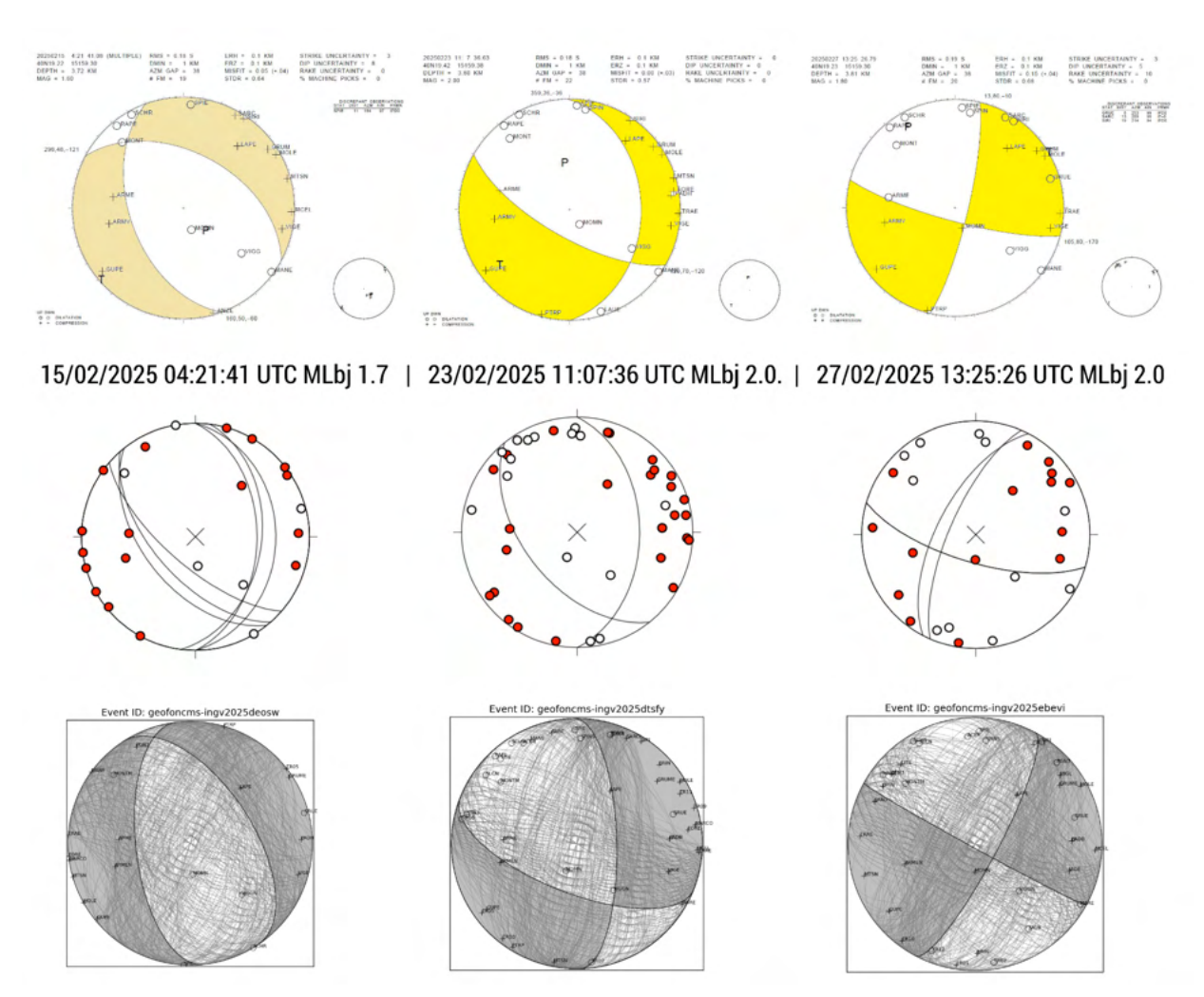
Come si può osservare nella **Figura 2.7.1**, tranne che in due sporadiche occasioni (luglio e agosto 2024), durante il 2024 la portata di reiniezione è sempre rimasta sotto il valore operativo di 2000 m³/giorno, con valori che in genere oscillano tra il 96 e 97% di tale soglia. Tuttavia, dal 23 gennaio 2025 la portata è stata aumentata, superando per alcuni sporadici periodi di tempo il predetto limite operativo, raggiungendo un massimo di circa 2052 m³/giorno il 27 gennaio 2025 (**Figura 2.7.1**). Nei giorni successivi, la reiniezione è stata caratterizzata da valori giornalieri leggermente maggiori a quanto osservato precedentemente, ma fondamentalmente rimanendo sotto al limite dei 2000 m³/giorno (**Figura 2.7.1**); in tale periodo, sono stati registrati 16 eventi sismici (inclusi i 3 eventi sopra soglia, uno dei quali accaduto nella fase di riduzione della portata).

Come si può vedere in **Figura 2.7.1**, dopo la riduzione della portata di reiniezione del 24 febbraio 2025, si osserva una riduzione della sismicità (solo pochi eventi sotto soglia di completezza dopo l'ultimo evento di MLbj 2.0). A partire dal 14 marzo 2025 è stata ri-aumentata la portata di reiniezione, attestandosi in pochi giorni attorno a valori compresi fra 1950 e ~2000 m³/giorno; la pressione a testa pozzo è aumentata gradualmente fino a raggiungere i valori di circa 96 bar il 30 marzo 2025. Questo processo è stato seguito, nel periodo 29 marzo - 15 aprile, da un aumento della sismicità all'interno del DR (il primo evento sismico dopo il 14 marzo 2025 è accaduto il 26 marzo, MLbj -0.1, dopo circa 12 giorni dall'aumento della portata della reiniezione); fino alla fine del periodo di riferimento di questo rapporto (15 aprile 2025), sono stati localizzati all'interno del DR 7 eventi al di sopra della Magnitudo di completezza (Mc = -0.1), ed una magnitudo massima Mmax = 0.7 (Figura 2.7.1).

In generale, nel passato si è notato come l'attività sismica nei dintorni del CM2 sia stata spesso conseguente all'aumento sensibile della portata di iniezione e/o delle pressioni a testa pozzo, come osservato già in precedenti studi (Stabile et al., 2014; Improta et al., 2015; Hager et al., 2021). Tuttavia, nel periodo antecedente al 2025 e riportato in Figura 2.7.1 è visibile, da un lato, un intervallo nel quale le portate o le pressioni di iniezione assumono valori superiori al limite operativo, senza essere tuttavia accompagnate da alcun significativo aumento della sismicità (luglio del 2024); dall'altro, l'evento del 27 febbraio del 2025 (di magnitudo MLbj 2.0), si registra dopo quasi 1 mese dal picco di portata, e a circa tre giorni dalla drastica riduzione dell'attività di reiniezione. Di conseguenza, nonostante esista l'evidenza di una risposta sismica in faglie locali a seguito di sensibili variazioni nei parametri di reiniezione sotto determinate condizioni (Hager et al., 2021), tale risposta è estremamente complessa nel tempo e nello spazio per essere interpretata univocamente utilizzando semplici metodi statistici, come ad esempio la correlazione. Tantopiù nel contesto attuale dove le variazioni ed in particolare gli aumenti della portata sono limitati, le correlazioni non risultano univoche.

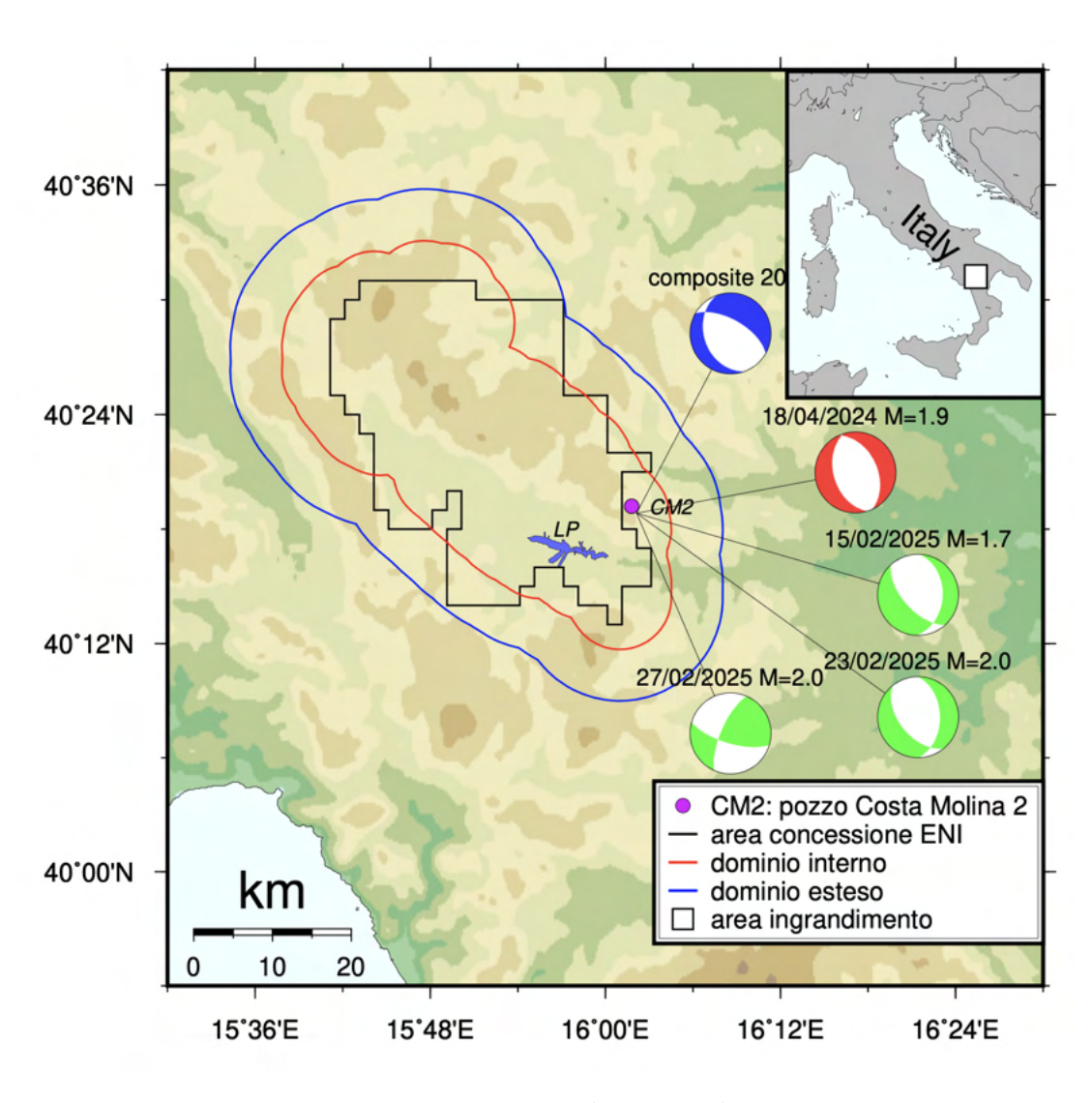
#### 2.7.1 Meccanismi focali

La **Figura 2.7.2** mostra i meccanismi focali calcolati sulla base dell'inversione della polarità delle fasi P per gli eventi del 15, 23 e 27 Febbraio 2025. Le soluzioni ottenute da ENI e SPM sono simili, anche se non ben vincolati. Gli eventi del 15 e 23/02/2025 sono prevalentemente di tipo normale, mentre il terremoto del 27/02/2025 è caratterizzato da una forte componente strike slip.



**Figura 2.7.2**. Meccanismi focali degli eventi sopra soglia verificatosi a Febbraio 2025 all'interno del DR. Prima riga: le soluzioni di ENI(giallo = compressione); le soluzioni della SPM: seconda riga (rosso/bianco = polarità UP/DOWN), terza riga calcolo del meccanismo con l'algoritmo HASH (grigio = compressione).

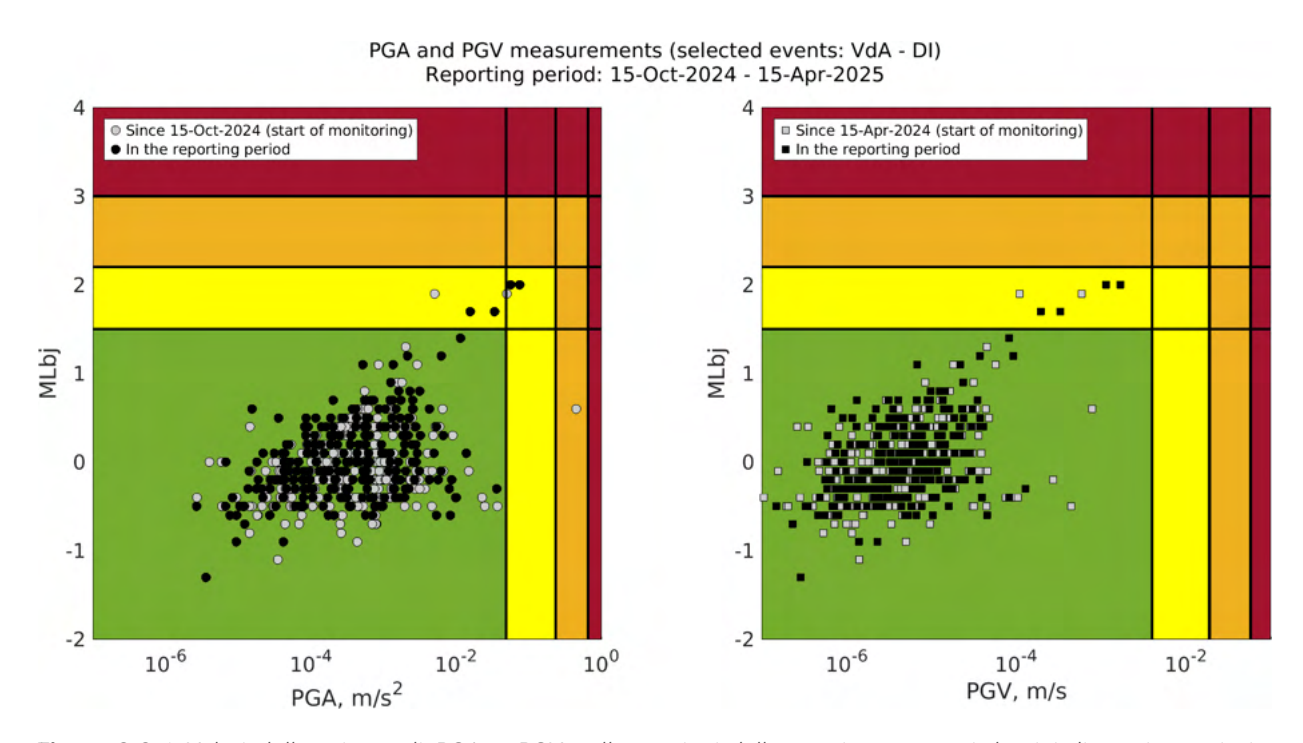
La **Figura 2.7.3** mostra i meccanismi focali degli eventi di febbraio 2025 con (i) il meccanismo composito, pubblicato da Improta et al. (2015) sulla base di 41 eventi, verificatisi nel 2006 nelle vicinanze del pozzo di reiniezione CM2 e (ii) con il meccanismo di sorgente calcolato per l'evento di ML 1.94 del 18/04/2024. Con eccezione del terremoto del 27/02/2025 si conferma un meccanismo focale di faglia normale con uno strike medio di ~160° (NNW - SSE).



**Figura 2.7.3**. Meccanismi focali degli eventi di cui sopra (Figura 2.7.2) comparato con il meccanismo focale composito dello sciame sismico del 2006 (Improta et al., 2015) e dell'evento di ML 1.94, verificatosi in data 18/04/2024 alle ore 22:00:40 (Garcia et al., 2024).

## 2.8 Valori di PGA e PGV di eventi nel DI della concessione Val d'Agri

La **Figura 2.8.1** mostra le misure di PGA e PGV in funzione della MLbj di eventi localizzati nel DI della concessione Val d'Agri; i valori mostrati sono, per ogni evento, la misura massima in una delle stazioni della rete integrata di monitoraggio in Basilicata. I valori di PGA (sinistra) variano in un rango di circa 4 ordini di grandezza, con misure che vanno da valori dell'ordine di  $10^{-6}$  m/s<sup>2</sup> fino a valori in maggioranza dell'ordine di  $1 \times 10^{-2}$  m/s<sup>2</sup>; inoltre, è possibile vedere due superamenti di soglia gialla di eventi accaduti nella sequenza di febbraio 2025. I valori di PGV (destra) mostrano valori principalmente tra  $10^{-7}$  e  $10^{-4}$  m/s, e come si può vedere, nessuna misura supera le soglie critiche. Tutti i valori delle misure di PGA e PGV sono riportati nel bollettino sismico allegato al report.



**Figura 2.8.1** Valori delle misure di PGA e PGV nelle stazioni della rete integrata nei domini di monitoraggio in Basilicata, per eventi accaduti all'interno del DI della concessione Val d'Agri (15 aprile 2024 - 15 aprile 2025).

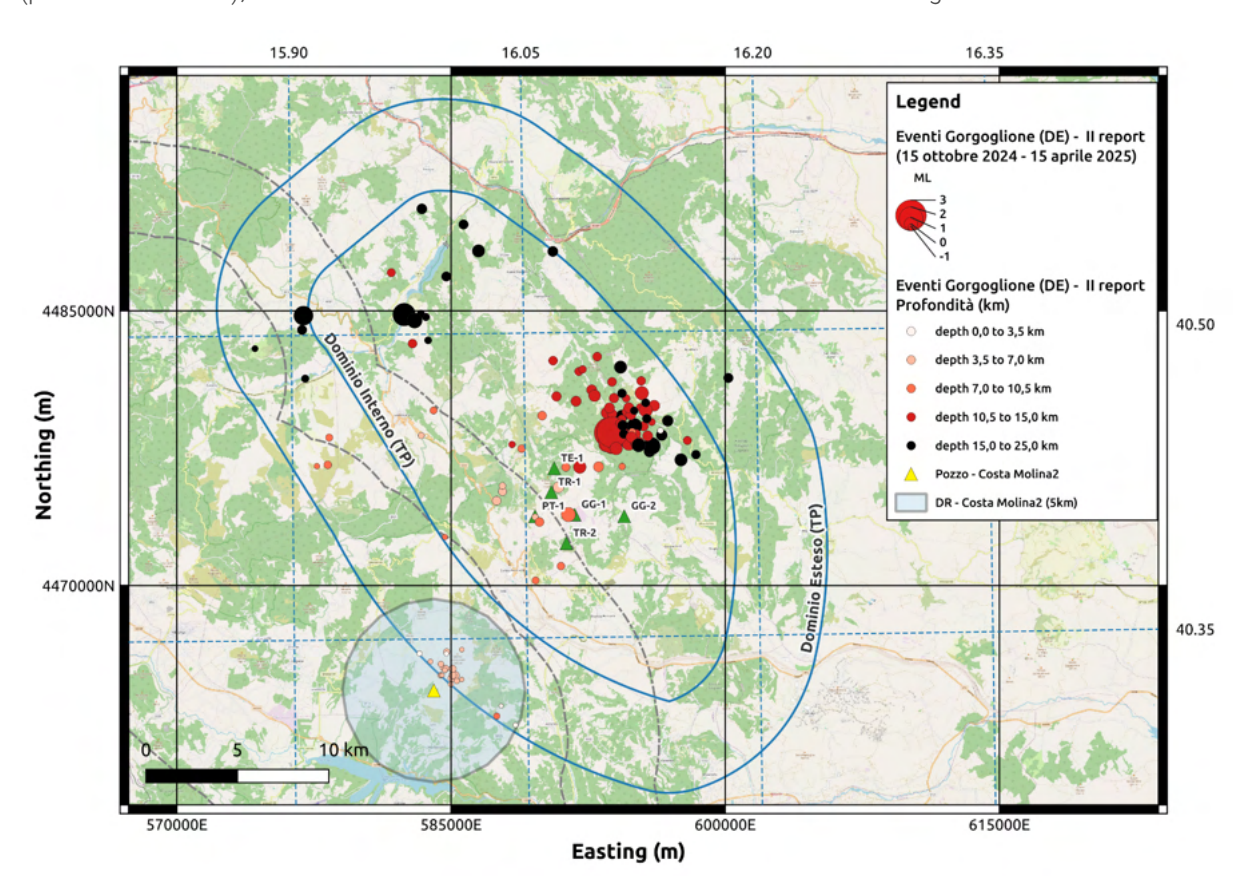
## 2.9 Analisi della sismicità localizzata dalla SPM nei domini di monitoraggio (DE, DI) della concessione Gorgoglione: 15 Ottobre 2024 - 15 Aprile 2025

Considerando l'intervallo di tempo relativo a questo rapporto di monitoraggio (15/10/2024 - 15/04/2025), sono stati localizzati 120 eventi dentro al DE (178 dall'inizio del monitoraggio in aprile 2024), di questi 25 sono all'interno del DI (42 dall'inizio del monitoraggio). La **Tabella 2.9.1** mostra alcuni valori significativi per i due domini di monitoraggio.

**Tabella 2.9.1** Riassunto del numero di eventi registrati nei domini di monitoraggio della concessione Gorgoglione nel periodo di riferimento di questo rapporto.

Concessione: Gorgoglione							
Periodo di riferimento: 15/10/2024 - 15/04/2025	Dominio Interno	Dominio Esteso					
Numero di eventi localizzati - sala sismica CMS, nel periodo di riferimento del rapporto	26	122					
Numero di eventi localizzati - sala sismica CMS, dall'inizio del monitoraggio (ad aprile 2025)	43	183					
MLbj minima (CMS) nel periodo di riferimento	-0.3	-1.3					
MLbj massima (CMS) nel periodo di riferimento	1.1	3.0					
Numero di eventi sopra la magnitudo di completezza (CMS) [Mc=0.4], nel periodo di riferimento	10	48					

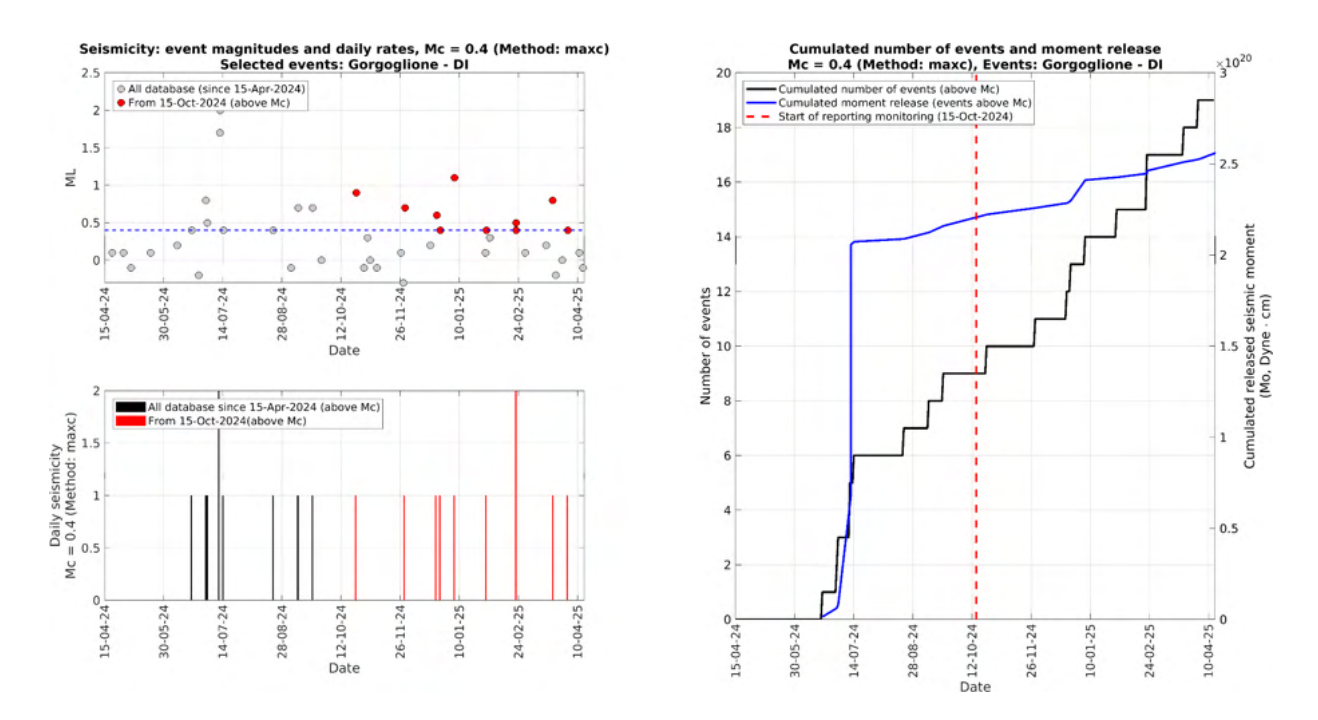
La **Figura 2.9.1** mostra gli epicentri della sismicità rilevata e localizzata nei domini della concessione Gorgoglione nel periodo di riferimento di questo rapporto, il Bollettino completo degli eventi localizzati dalla SPM è riportato nelle tabelle allegate alla fine del report. I colori dei cerchi indicano la profondità dell'evento, mostrando in nero gli eventi che ricadono sotto il limite del dominio esteso (profondità>15km); le dimensioni dei cerchi sono scalati in funzione della magnitudo.



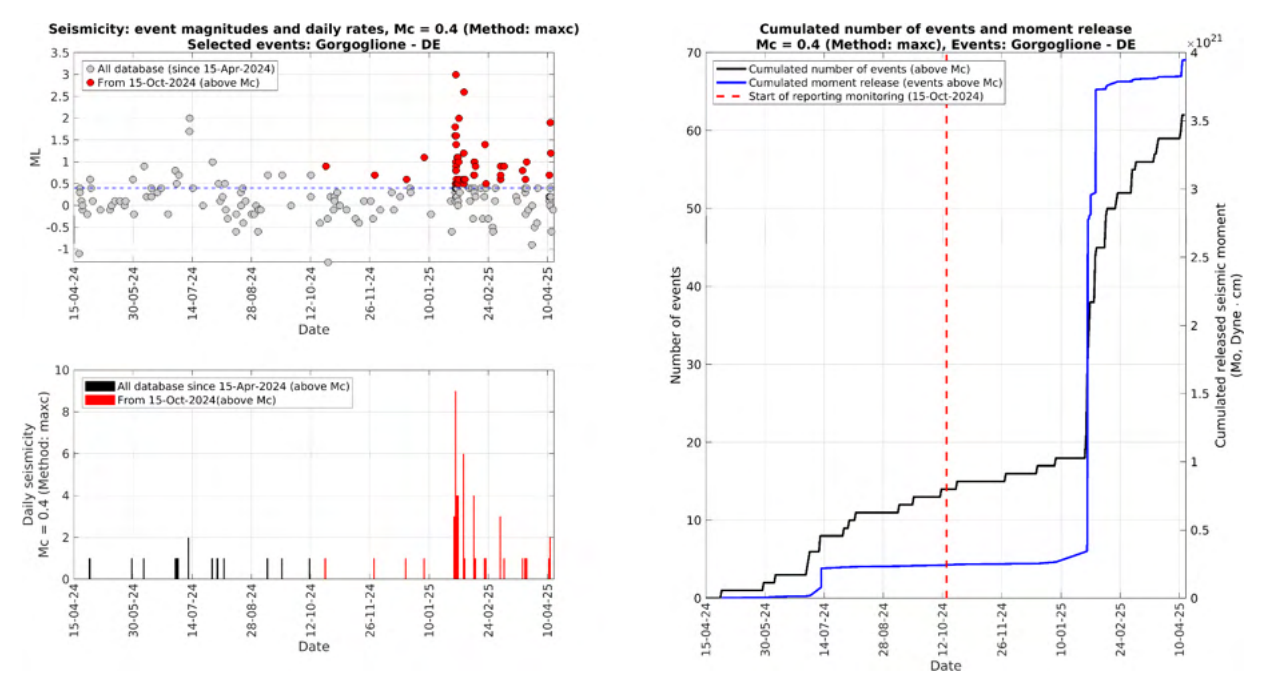
**Figura 2.9.1** Mappa degli epicentri degli eventi sismici localizzati nella zona della Concessione Gorgoglione dalla SPM nel periodo 15/10/2024 - 15/04/2025. I perimetri dei Domini Interno ed Esteso della Concessione Gorgoglione sono disegnati in blu. I domini di monitoraggio della Concessione Val d'Agri, ed il dominio di riferimento del pozzo CM2 sono mostrati per riferimento (con linee tratteggiate grigie e l'area azzurra, rispettivamente).

Le **Figure 2.9.2** e **2.9.3** mostrano, rispettivamente, la sismicità registrata nel Dominio Interno e nel Dominio Esteso della concessione Gorgoglione per tutto il periodo di attività di monitoraggio relativo all'Accordo Quadro in essere (15 aprile 2024 - 15 aprile 2025). In entrambe le figure è possibile vedere la serie temporale degli eventi sia in funzione della MLbj (pannello a sinistra in alto, dove in rosso si mostrano gli eventi sopra la soglia di completezza, Mc=0.4, relativi al periodo di tempo di questo rapporto), sia considerando il numero giornaliero di eventi sopra la completezza (pannello a sinistra in basso). Inoltre, nel pannello a destra riportiamo il numero cumulato di eventi (sopra la completezza) ed il momento sismico cumulato rilasciato. Considerando il numero cumulato di eventi (linea nera nel pannello a destra in entrambe le figure) è possibile inferire che, osservando l'attività registrata nel

Dominio Interno nel periodo di monitoraggio relativo a questo rapporto, i ratei di sismicità sopra la completezza possono essere considerati stazionari. Se si considera la sismicità più profonda (che in parte ricade nel Dominio Esteso), sia la curva cumulativa di eventi sia quella del rilascio di momento sismico mostrano un gradino importante associato a una sequenza sismica che si è attivata il 29/01/2025 con un evento di MLbj 1.8 localizzato a 12 km di profondità, nella quale è stato poi registrato un evento di MLbj 3.0 il 30/01/2025 (più dettagli di questa sequenza si trovano nel paragrafo successivo).



**Figura 2.9.2** Sismicità registrata nel Dominio Interno della concessione Gorgoglione: Plot della magnitudo vs. tempo (sinistra-sopra), del numero giornaliero di eventi (sinistra-sotto) sopra la completezza Mc=0.4, e del numero cumulato e momento sismico rilasciato cumulato (destra) per eventi sopra la completezza. Dati dall'inizio del monitoraggio (15 aprile 2024). Gli eventi evidenziati in rosso sono relativi al periodo di riferimento di questo rapporto (15/10/2024-15/04/2025).



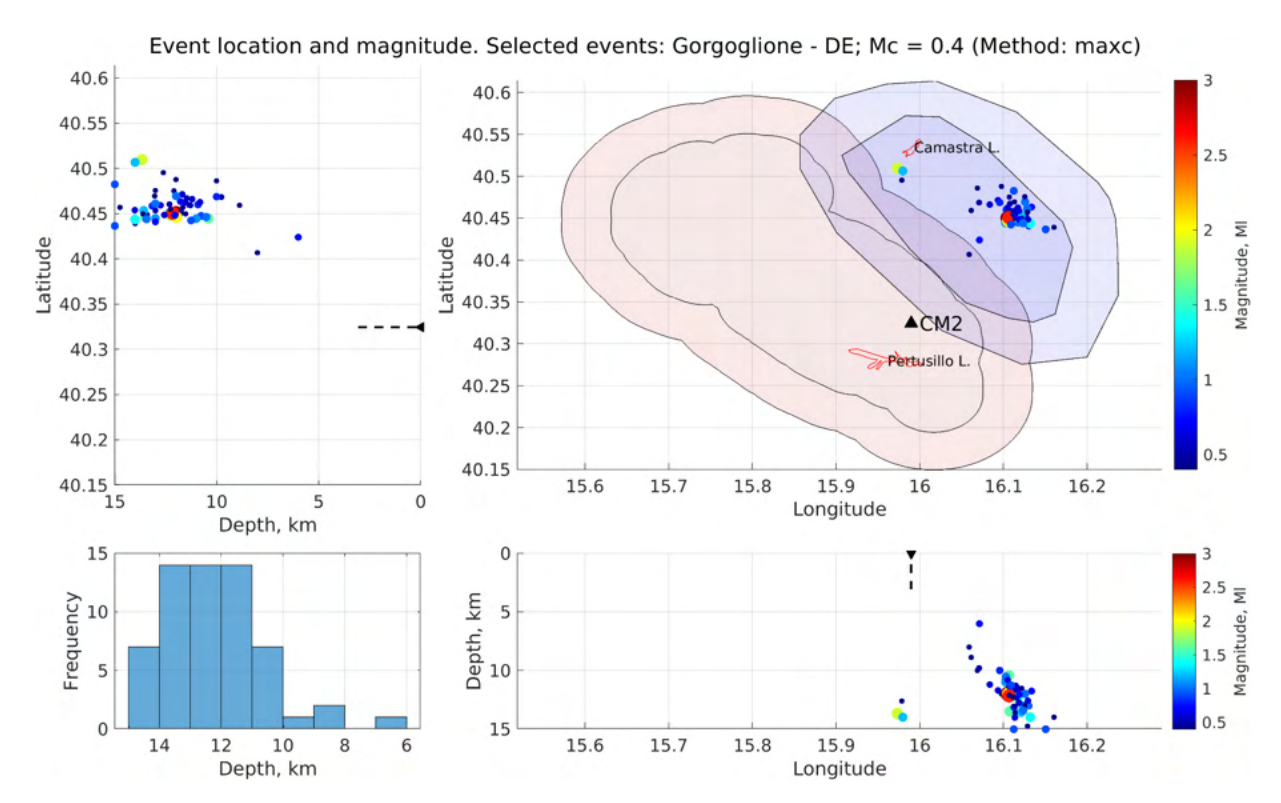
**Figura 2.9.3** Sismicità registrata nel Dominio Esteso della concessione Gorgoglione: Plot della magnitudo vs. tempo (sinistra-sopra), del numero giornaliero di eventi (sinistra-sotto) sopra la soglia di completezza Mc=0.4, e del numero cumulato e momento sismico rilasciato cumulato (destra). Dati dall'inizio del monitoraggio regolato dall'accordo Quadro in essere (15 aprile 2024). Gli eventi evidenziati in rosso sono relativi al periodo di riferimento di questo rapporto.

## 2.10 Sequenza sismica di gennaio 2025 nel DE della Concessione Gorgoglione

Il 29/01/2025 alle ore 15.30 (UTC) si è registrato un evento sismico di MLbj 1.8 localizzato a 12 km di profondità nella zona ovest del DI della concessione Gorgoglione. Questo evento ha segnato l'inizio di una sequenza di eventi sismici che sono stati localizzati a profondità tra 10 e 15 km principalmente (**Figura 2.10.1**). Il 30/01/2025 si è registrato un evento di MLbj 3.0 con i seguenti parametri:

- Data/tempo origine: 2025-01-30 06:20:42 UTC; 2025-01-30 07:20:42 ora italiana
- MLbj: 3.0 +/- 0.3
- PGV: 1.04 10<sup>-3</sup> m/s (stazione LAPE)
- PGA: 2.27 10<sup>-2</sup> m/s<sup>2</sup> (stazione MOMN)
- Lat: 40.4505N; Lon: 16.1047E; Profondità 12 km (±0.4km)
- RMS: 0.26 s

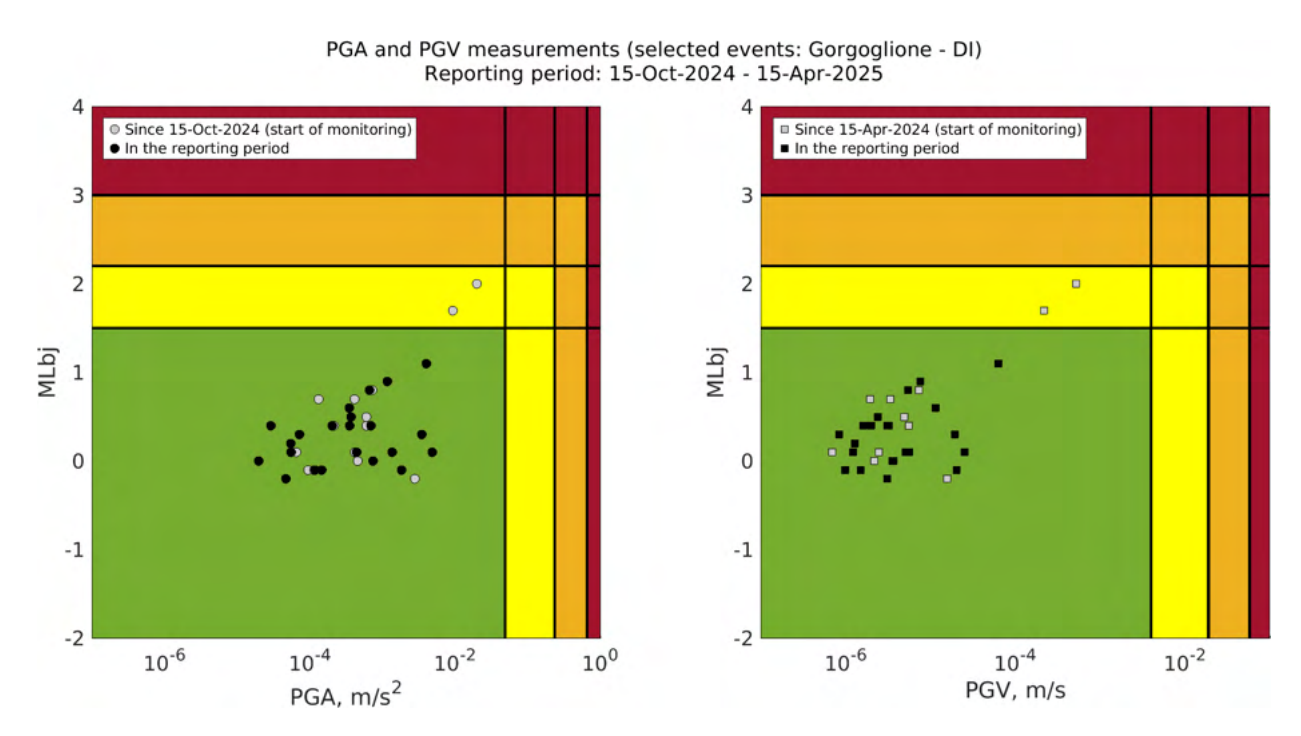
L'attività sismica principale si è concentrata tra il 30 gennaio ed il 13 febbraio 2025, registrando in media tra 4 e 6 eventi al giorno (sopra la magnitudo di completezza di 0.4) ed un picco massimo di 12 eventi il 30 gennaio (**Figura 2.9.3**).



**Figura 2.10.1** Sequenza sismica registrata nel DE della concessione Gorgoglione a partire dal 29 gennaio 2025 e fino al 13 febbraio 2025, si mostrano le localizzazioni degli eventi sopra la soglia di completezza (Mc=0.4): mappa dei domini delle concessioni e delle localizzazioni in alto a destra, i cerchi hanno diversi colori e dimensioni in base alla magnitudo stimata come indicato dalla scala a destra, i contorni rossi delimitano i laghi del Pertusillo e di Camastra; in alto a sinistra e in basso a destra vengono riportati gli eventi nelle sezioni latitudine-profondità e longitudine-profondità rispettivamente. Il triangolo nero mostra la posizione del pozzo CM2, e la linea tratteggiata la sua estensione in profondità, per riferimento. In basso a sinistra abbiamo riportato un istogramma con la distribuzione delle profondità ipocentrali.

## 2.11 Valori di PGA e PGV misurati nelle stazioni della rete integrata

La **Figura 2.11.1** mostra le misure di PGA e PGV in funzione della MLbj per gli eventi localizzati nel DI della Concessione Gorgoglione; i valori mostrati sono, per ogni evento, la misura massima in una delle stazioni della rete integrata di monitoraggio in Basilicata. I valori di PGA (sinistra) variano in un rango di circa 3 ordini di grandezza, con misure che vanno da valori dell'ordine di 10<sup>-5</sup> m/s² fino a valori nell'ordine di 1 x 10<sup>-2</sup> m/s². I valori di PGV (destra) mostrano valori tra 10<sup>-6</sup> e 10<sup>-4</sup> m/s. Come si può vedere nella figura, nessuna misura supera le soglie critiche. Tutti i valori delle misure di PGA e PGV sono riportati nel bollettino sismico allegato al report.



**Figura 2.11.1** Valori delle misure di PGA e PGV nelle stazioni della rete integrata nei domini di monitoraggio in Basilicata, per eventi accaduti all'interno del DI della concessione Gorgoglione (15 aprile 2024 - 15 aprile 2025).

## 3 Monitoraggio Geodetico e Analisi dei dati

### 3.1 Descrizione della rete GNSS

Il capitolo 6 degli ILG descrive la modalità di monitoraggio delle deformazioni del suolo della "porzione superficiale dei domini di rilevazione (interno ed esteso)" tramite prevalentemente misure GNSS e InSAR. Per il primo tipo di misure viene raccomandata la presenza di "una rete GPS in continuo, preesistente o di nuova realizzazione", composta "di stazioni permanenti di precisione (di tipo geodetico), distribuite opportunamente in funzione dell'estensione e delle caratteristiche dell'area da monitorare".

La **Figura 1.1.1b** mostra la posizione delle stazioni che compongono la rete di monitoraggio geodetico integrato per la concessione Val d'Agri (Eni) e la concessione Gorgoglione (TotalEnergies), composta da 15 stazioni in totale installate dalle concessioni, le cui caratteristiche sono riportate in **Tabella 3.1.1.** La tabella riporta per alcune stazioni un cambio di nome identificativo, ID, da parte della SPM, perché l'identificativo scelto era già in uso presso altre stazioni che vengono elaborate dal centro di analisi, e il secondo identificativo viene riportato soltanto in alcune delle figure mostrate in questo capitolo.

**Tabella 3.1.1:** Elenco delle stazioni GNSS installate per la concessione Val d'Agri (VA) e Gorgoglione (TP) con ID stazione, coordinate sito e data di installazione

Nome sito concessione	Nome sito INGV	Lon. (°E)	Lat. (°N)	Quota (m)	Data installazione	Concessione
AGR1	AGR2	15.7482	40.4282	899	26/11/2021	VA
CEF8	CEF8	15.8330	40.4385	1165	22/04/2022	VA
CF34	CF34	15.7840	40.4717	1305	26/05/2022	VA
COST	COSO	15.9833	40.3307	1218	26/11/2021	VA
GRUM	GRUM	15.9207	40.2755	660	25/11/2021	VA
INN2	INN2	15.7848	40.3626	647	19/06/2018	VA
MAE1	MAE1	15.9583	40.3067	653	06/04/2016	VA

ME10	ME10	15.8766	40.3798	1317	13/02/2024	VA
TEVE	TEVE	16.0313	40.3153	1036	03/10/2019	VA
TLMA	TLMA	15.9789	40.3981	1132	18/12/2018	VA
VIGG	VIG3	15.8874	40.3132	633	14/12/2016	VA
VOL1	VOL1	15.8669	40.4053	1295	12/10/2021	VA
TR04	TR04	16.2157	40.4969	616	18/09/2018	TP
TR05	TR05	16.0952	40.3832	713	18/09/2018	TP
TR07	TR07	15.9562	40.4452	850	19/09/2018	TP

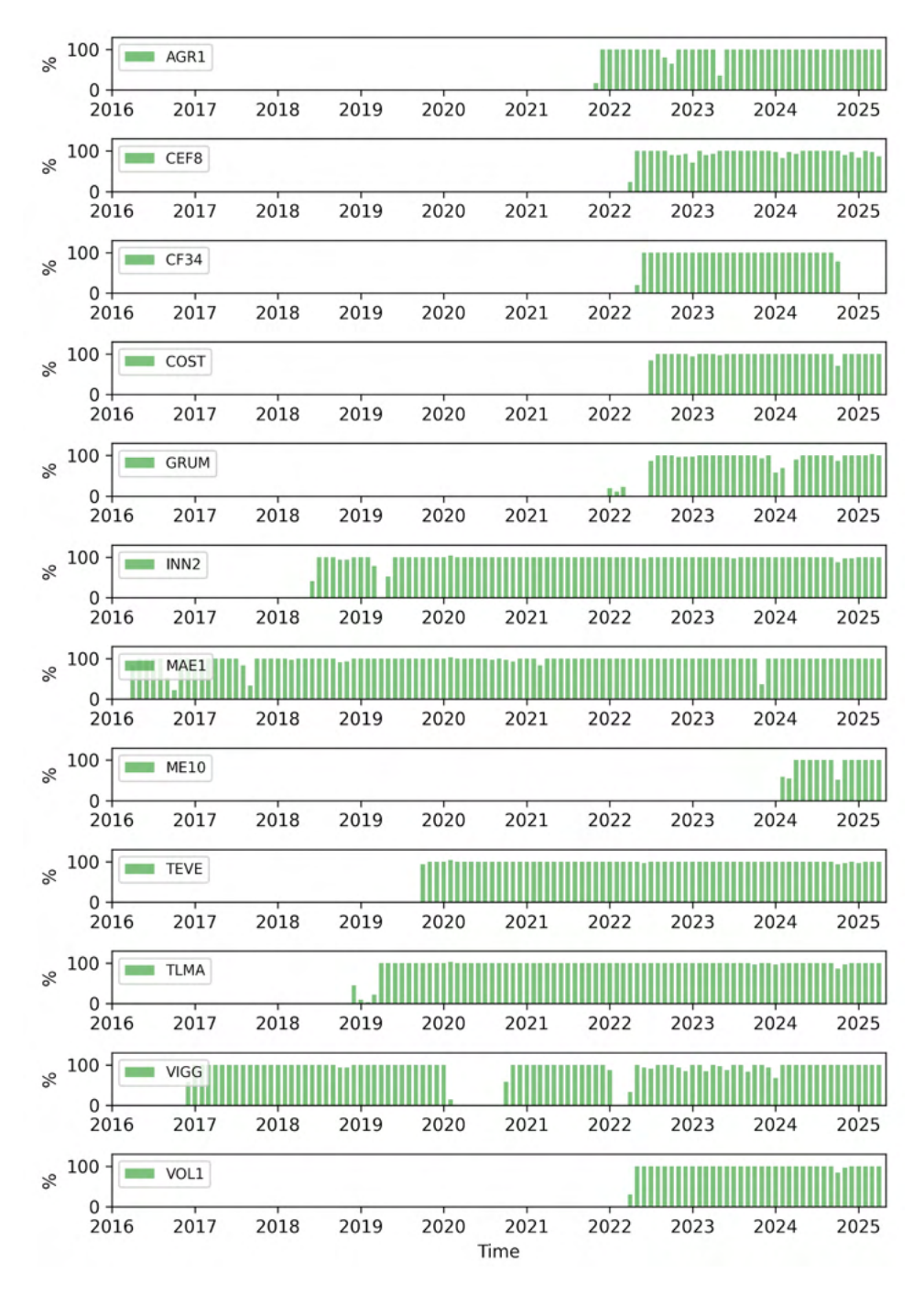
## 3.2 Analisi di qualità dei dati

Come già mostrato nel Rapporto di monitoraggio n. 1, per ottenere misure di precisione per scopi geofisici è necessario che la stazione GNSS acquisisca i dati per il maggior tempo possibile e che l'antenna della stazione sia installata al di sopra di eventuali ostacoli locali che potrebbero bloccare o degradare i segnali satellitari in arrivo, come rocce o fogliame. Quando possibile, l'antenna dovrebbe anche essere posizionata sopra qualsiasi superficie riflettente per ridurre il *multipath* (segnale satellitare riflesso indesiderato che riduce la precisione del GPS).

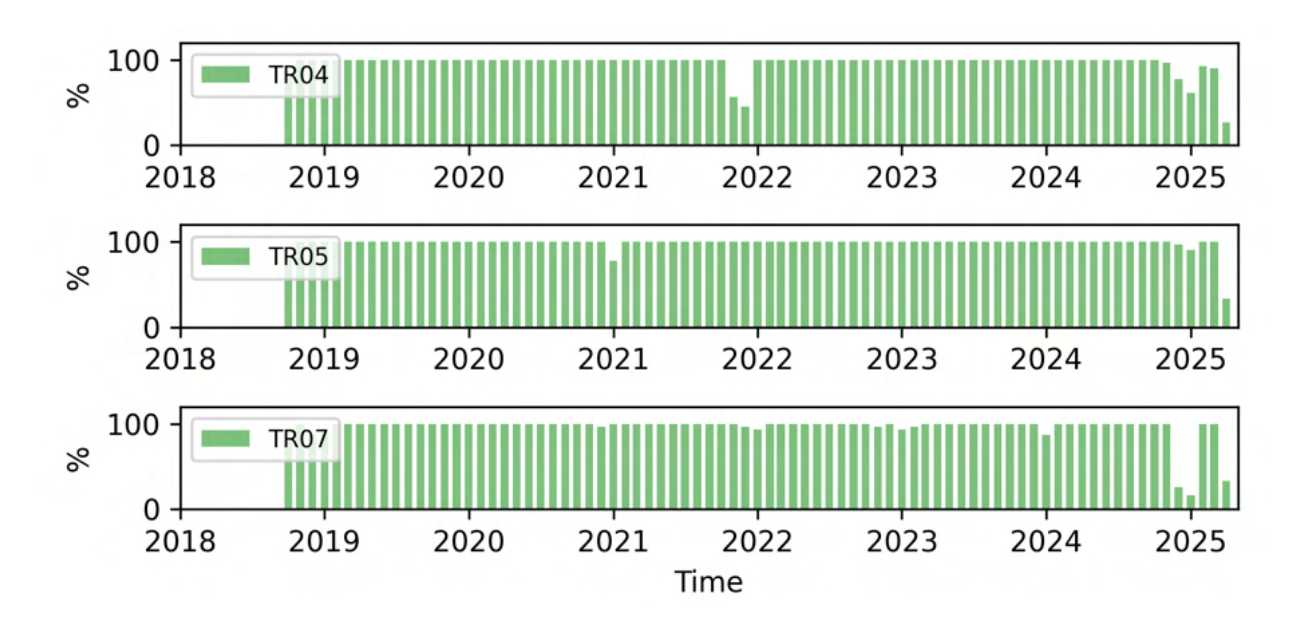
Per valutare perciò la qualità delle acquisizioni geodetiche giornaliere (file RINEX) è stato utilizzato il software TEQC (https://www.unavco.org/software/data-processing/teqc/teqc.html) ampiamente utilizzato per il trattamento standard di dati GNSS durante la fase di pre-processamento e sono state eseguite le seguenti analisi:

- 1. percentuale dei RINEX giornalieri disponibili per ciascun mese di acquisizione per ogni stazione della concessione Val d'Agri (**Figura 3.2.1**) e Gorgoglione (**Figura 3.2.2**) e il loro valore medio su tutto l'intervallo di acquisizione (**Tabella 3.2.1**).
- 2. valori medi giornalieri di multipath (ossia l'interferenza tra segnali satellitari diretti e riflessi) registrato per ciascuna portante del segnale satellitare (L1 e L2), in termini di MP1 e MP2, ossia

- la radice quadratica media, RMS, del multipath su ciascuna portante. In **Tabella 3.2.1** sono riportati i valori medi per ciascuna stazione per tutto il periodo di acquisizione.
- 3. percentuale di osservazioni satellitari (o epoche) presenti nei RINEX rispetto alle osservazioni attese nello stesso intervallo di tempo giornaliero durante il quale la stazione è stata funzionante i cui valori medi per tutto il periodo di acquisizione sono riportati in **Tabella 3.2.1**.



**Figura 3.2.1**: Percentuale di RINEX giornalieri disponibili per ciascun mese di acquisizione per ogni stazione GNSS della rete di Val d'Agri.



**Figura 3.2.2**: Percentuale di RINEX giornalieri disponibili per ciascun mese di acquisizione per ogni stazione GNSS della rete di Gorgoglione

**Tabella 3.2.1**: Tabella riassuntiva dei parametri di qualità per le acquisizioni disponibili delle stazioni ENI e TotalEnergies analizzate

Nome sito	Intervallo temporale (anni)	% RINEX giornalieri disponibili	Valore medio di MP1 (metri)	Valore medio di MP2 (metri)	% media di osservazioni presenti nelle 24h
AGR1 - ENI	3.37	97.0	0.22	0.32	94.3
CEF8 - ENI	2.97	95.9	0.28	0.33	93.6
CF34 - ENI	2.87	82.1	0.23	0.34	94.4
COST - ENI	2.84	96.1	0.19	0.31	99.7
GRUM - ENI	3.21	82.1	0.35	0.42	94.3
INN2 - ENI	6.81	97.7	0.25	0.27	99.1
MAE1 - ENI	8.85	99.0	0.22	0.24	97.5
ME10 - ENI	1.16	93.1	0.38	0.34	87.8
TEVE - ENI	5.52	99.9	0.24	0.27	99.8
TLMA - ENI	6.31	99.8	0.60	0.53	96.7
VIGG - ENI	8.32	87.7	0.54	0.49	96.3
VOL1 - ENI	2.97	99.5	0.25	0.27	96.0
TR04 - TEPIT	6.56	96.0	0.41	0.51	91.9
TR05 - TEPIT	6.56	97.9	0.34	0.36	97.2
TR07 - TEPIT	6.56	95.6	0.35	0.35	96.7

L'intervallo temporale su cui sono stati mediati tutti i parametri di qualità considerati (prima colonna di **Tabella 3.2.1**) è stato calcolato fino a metà aprile 2025 e considerando come epoca di inizio quella corrispondente al primo RINEX disponibile e non la data ufficiale di installazione delle stazioni (**Tabella 3.1.1**) perché alcune di esse in fase di installazione hanno avuto problemi di alimentazione e hanno cominciato ad acquisire qualche mese più tardi (come COST, GRUM e VOL1). Negli ultimi 6 mesi di monitoraggio si osserva che la maggior parte delle stazioni ha una buona continuità del dato, tranne la stazione CF34 che a partire dal 28 ottobre 2024 è stata disattivata per l'esecuzione di lavori di adeguamento della piazzola in cui è ubicata e la stazione TR07 che mostra un buco di dati tra dicembre 2024 e gennaio 2025.

I valori medi di MP1, MP2 e percentuale di acquisizioni satellitari mostrati in **Tabella 3.2.1** continuano a rientrare per la maggior parte delle stazioni negli intervalli di buona qualità (MP1 < 0.4 m, MP2 < 0.6 m e percentuale > 90%). Le uniche eccezioni sono date dalle stazioni TLMA e VIGG dove sono presenti problemi noti di riflessione da parte della vegetazione, che dove possibile deve essere rimossa. Per completezza nell'**Appendice B** viene mostrato l'andamento nel tempo di questi parametri per tutte le stazioni delle due reti, per verificare che nel tempo non avvengano variazioni particolari dei parametri che possano inficiare la qualità delle registrazioni.

### 3.3 Elaborazione dati GNSS

I dati giornalieri in formato RINEX delle stazioni GNSS per le concessioni di Val d'Agri e Gorgoglione sono stati elaborati dal centro di analisi INGV presso la sezione di Bologna all'interno di una soluzione geodetica molto ampia a scala euro-Mediterranea, come illustrato in Serpelloni et al. (2022). All'interno di questa elaborazione sono utilizzati i dati provenienti da più di 4000 stazioni GPS/GNSS attive, presenti sul territorio italiano ed europeo e gestite sia da enti pubblici (es., INGV, Università, regioni) che privati (es., Leica-Geosystem, GeoTop), sempre in virtù del "principio di valorizzazione dell'esistente" (ILG) e per massimizzare la copertura dell'area da monitorare. La procedura di analisi eseguita è suddivisa in tre passaggi, che consistono in:

- 1. Analisi delle osservazioni registrate (ossia le fasi dei segnali satellitari) dalle stazioni GPS di una sotto-rete che include le stazioni di Val d'Agri e Gorgoglione più altre stazioni GPS permanenti della rete IGS (International GNSS Service) e realizzazione di una soluzione di rete debolmente vincolata (posizioni, orbite, ecc...), utilizzando il pacchetto GAMIT del software per analisi dati GPS GAMIT/GLOBK (http://geoweb.mit.edu/gg, versione 10.71).
- 2. Combinazione delle soluzioni giornaliere ottenute per tutte le sotto-reti processate dalla SPM e allineamento delle soluzioni al sistema di riferimento globale IGb14 (Rebischung et al., 2020), utilizzando il pacchetto GLOBK del software GAMIT/GLOBK.
- 3. Analisi delle serie temporali di spostamento (nelle tre componenti Est, Nord e verticale) per la stima delle velocità di spostamento e le loro incertezze, realizzate nel sistema di riferimento

IGb14, con un modello "classico" di traiettoria lineare più componenti stagionali e possibili salti di posizione (Bevis & Brown, 2014).

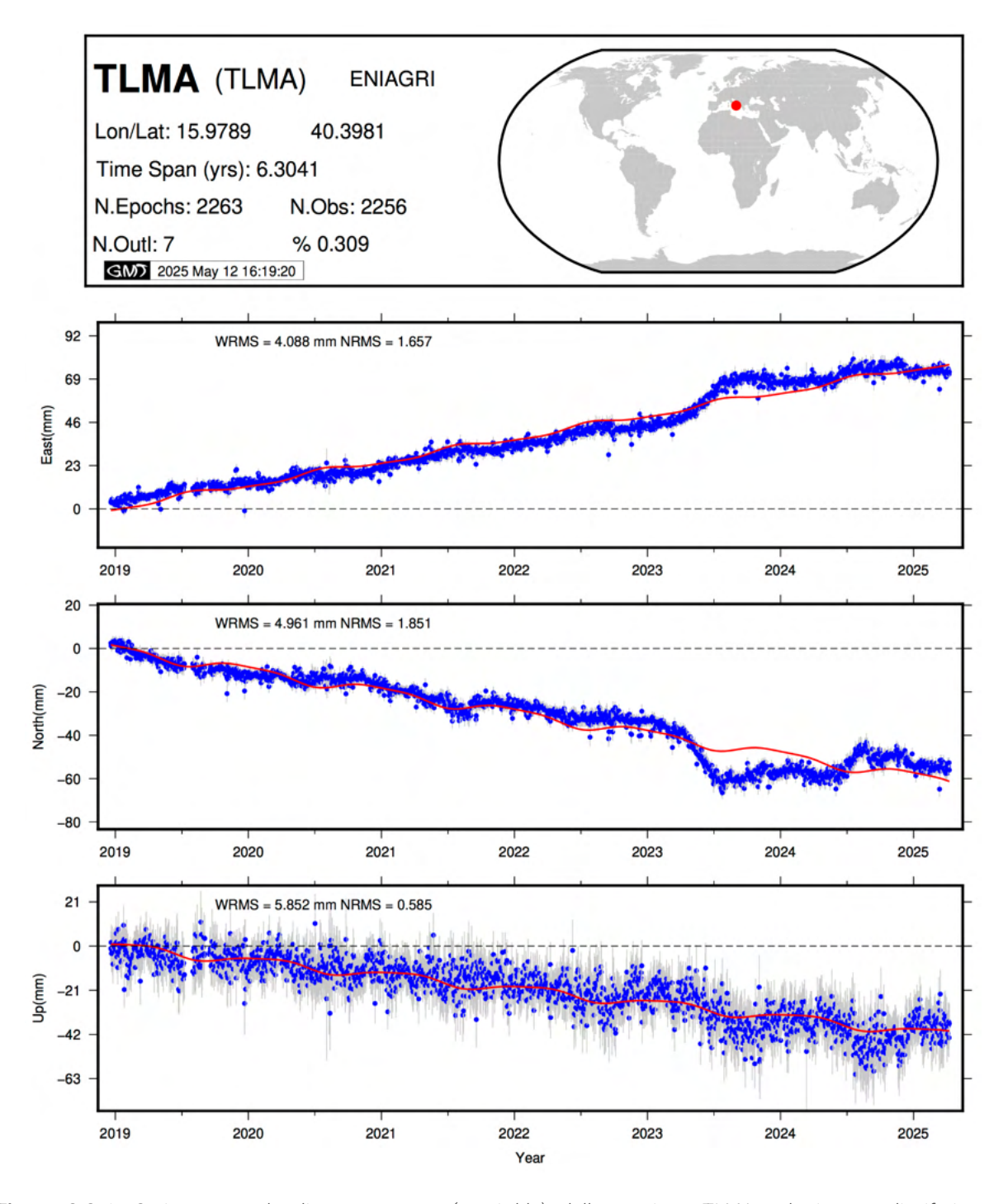
Uno dei vantaggi di questo approccio è che le serie temporali di spostamento omogenee e realizzate in modo uniforme offrono l'opportunità di studiare segnali/errori che possono essere comuni a tutte le stazioni, consentendo miglioramenti del rapporto segnale/rumore (Kreemer e Blewitt, 2021) e migliorano la nostra capacità di rilevare piccoli segnali di deformazione transitoria di origine sia tettonica che non tettonica, con importanti implicazioni per lo studio del ciclo sismico e delle proprietà meccaniche della Terra (Serpelloni et al., 2022).

Dall'ultimo passaggio della procedura di analisi sopra-esposta, si ottengono per ciascuna stazione GNSS le serie temporali di spostamento realizzate nel sistema di riferimento globale IGb14. Le serie così ottenute vengono poi modellate con un modello funzionale analitico atteso che considera gli spostamenti del suolo come la combinazione di: 1- un contributo lineare nel tempo (velocità), 2-componenti stagionali annuali e semi-annuali e 3- possibili salti di posizione dovuti a cambi strumentali ed eventuali salti di natura co-sismica.

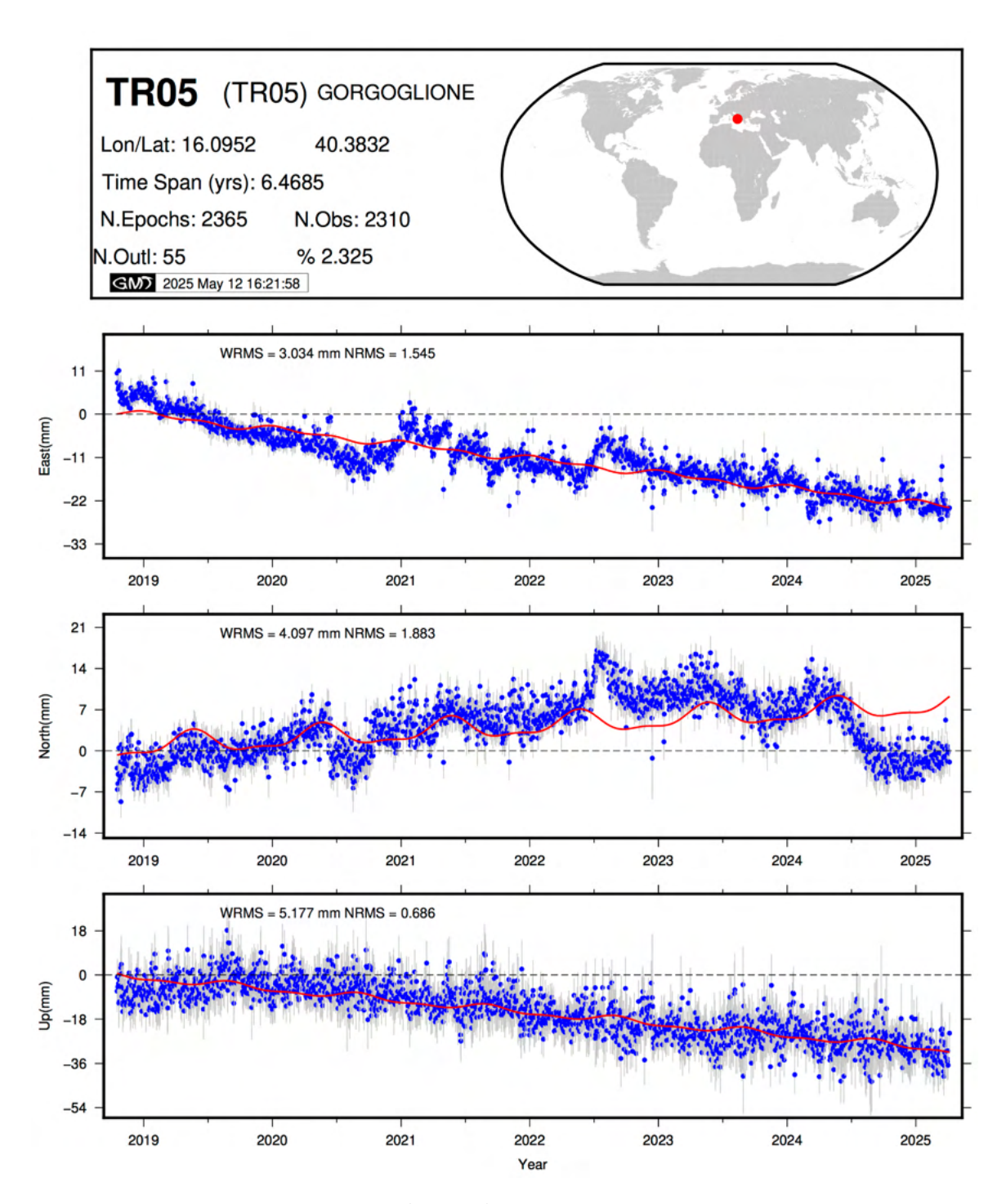
Le serie temporali riferite rispetto al sistema di riferimento globale IGb14 non ci permettono però di apprezzare le deformazioni a scala locale. Per evidenziare meglio i gradienti di velocità dell'ordine del mm/anno o inferiori, che sono tipici sia della tettonica attiva (che è presente, essendo un'area ad alta pericolosità sismica) sia delle deformazioni locali di tipo naturale o antropico, risulta necessario ruotare e riferire il campo di spostamento rispetto a un sistema di riferimento locale, ossia rispetto ad un blocco tettonico o una placca tettonica vicina assunta come rigida e fissa (plate-fixed). Nel nostro caso le serie temporali orizzontali GPS (quelle verticali rimangono riferite al sistema di riferimento globale IGb14) sono state poste rispetto alla placca Eurasia-fissa, utilizzando come polo di rotazione quello riportato da Altamimi et al. (2017). Per fare ciò vengono rimosse dalle serie di spostamento orizzontali assolute in IGb14 le velocità attese dal polo di rotazione scelto, ottenendo così serie temporali di spostamento residue utili per analizzare il campo di deformazione a scala locale per l'area di studio.

Le **Figure 3.3.1** e **3.3.2** mostrano le serie temporali di spostamento così ottenute a titolo di esempio per una stazione ad ognuna delle due concessioni (tutte le altre serie temporali sono riportate in **Appendice C**). Nelle immagini sono riportati gli spostamenti giornalieri (epoche, punti blu) per le componenti Est e Nord nel sistema di riferimento Eurasia fisso e per la componente verticale nel sistema di riferimento IGb14. Ogni epoca ha associata un'incertezza corrispondente ad una deviazione standard (1 $\sigma$ ) e viene riportato anche il modello funzionale atteso sopra descritto (linea rossa). Per ciascuna componente di spostamento sono riportati i residui rispetto il modello atteso in termini di WRMS (*Weighted Root Mean Square*) e NRMS (Normalized Root Mean Square), valori utili per avere un'indicazione della dispersione dei residui rispetto il modello considerato. Valori di NRMS maggiori di 1 suggeriscono la presenza di segnali di deformazione transienti non contemplati nel modello funzionale, indicando quindi la presenza di possibili sorgenti deformative di natura locale. La maggior parte delle stazioni della rete Val d'Agri mostra valori di NRMS minori di 1, tranne le componenti orizzontali di INN2 e TLMA (**Figure 3.3.1** e **C6** in **Appendice C**), e le componenti Est di AGR1, CEF8 e VOL1 (**Figure C1, C2** e **C11** in **Appendice C**), risultato che conferma già in parte ciò che è stato osservato nel Rapporto di

monitoraggio n. 1, soprattutto per le stazioni INN2 e TLMA, che sembrano essere caratterizzate da un possibile fenomeno franoso (TLMA) e da eventuali sorgenti deformative locali la cui natura deve essere indagata.



**Figura 3.3.1**. Serie temporale di spostamento (punti blu) della stazione TLMA nel sistema di riferimento Eurasia-fisso per le componenti Est e Nord e in IGb14 per la componente verticale. Le linee grigie indicano le barre d'errore (1 $\sigma$ ) per gli spostamenti e la linea rossa rappresenta il modello analitico atteso.



**Figura 3.3.2**. Serie temporale di spostamento (punti blu) della stazione TR05 nel sistema di riferimento Eurasia-fisso per le componenti Est e Nord e in IGb14 per la componente verticale. Le linee grigie indicano le barre d'errore (1 $\sigma$ ) per gli spostamenti e la linea rossa rappresenta il modello analitico atteso.

Per quanto riguarda invece la rete di Gorgoglione tutte le stazioni presentano elevati valori di NRMS (**Figure 3.3.2, C12** e **C13** dell'**Appendice C**), con le anomalie più evidenti registrate dalla stazione TR04,

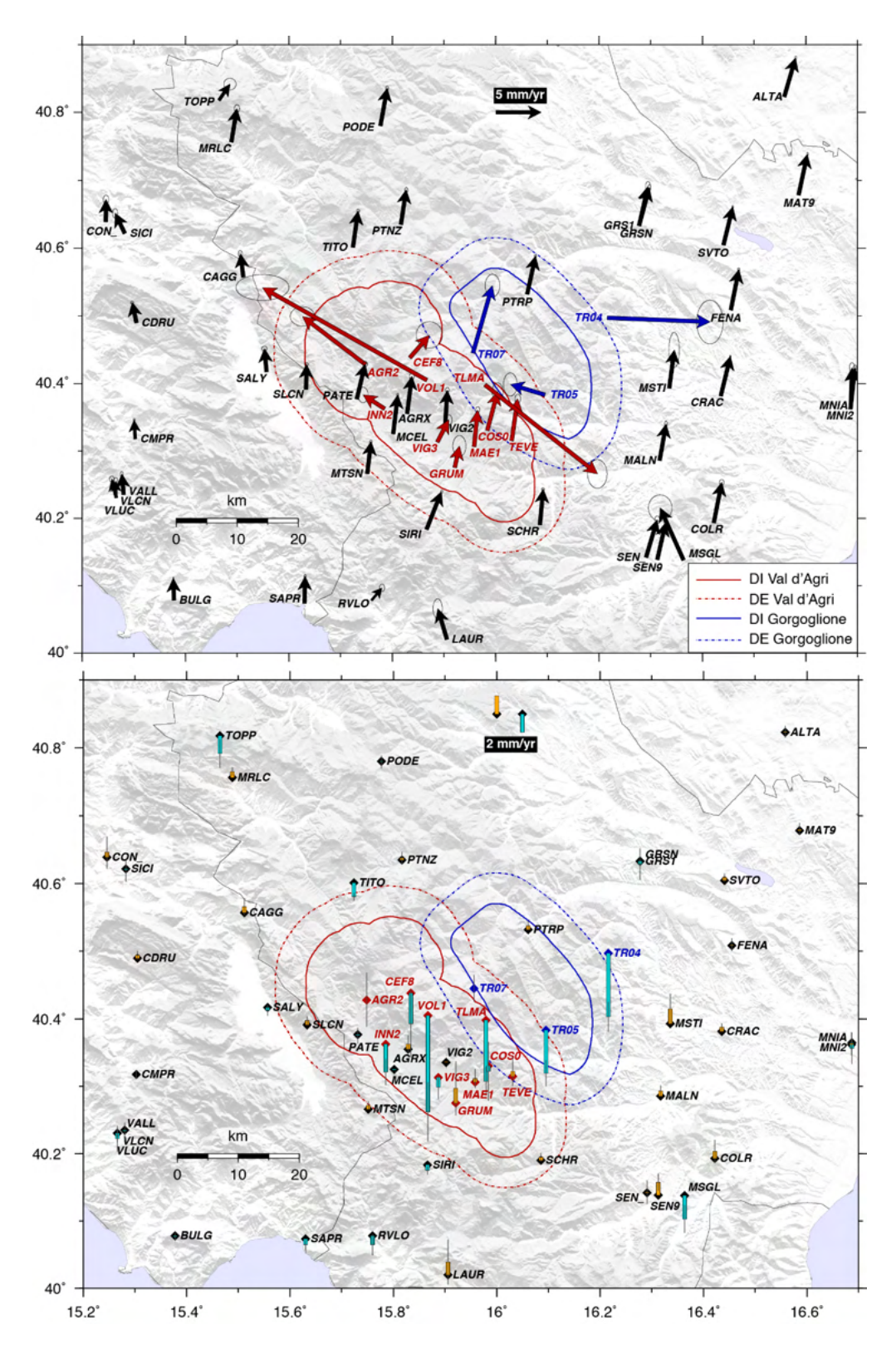
come già evidenziato nel Rapporto di monitoraggio n. 1. Queste anomalie suggeriscono la presenza di possibili sorgenti locali di instabilità di sito e/o di terreno delle stazioni interessate, valutando a questo scopo la ri-monumentazione dei siti. Questo tipo di anomalia si ripercuote per la maggior parte delle stazioni interessate anche sulla stima delle velocità di spostamento, identificando anch'esse comportamenti anomali come viene mostrato nel prossimo paragrafo.

### 3.4 Campo di velocità GPS

Dall'analisi delle serie temporali di spostamento di tutte le stazioni utilizzate nell'area di monitoraggio viene stimato il termine lineare, generando un campo di velocità di spostamento rispetto al sistema di riferimento locale Eurasia-fisso. Le misure così ottenute descrivono la deformazione a lungo termine in atto, che nell'area di studio è prevalentemente di natura tettonica estensionale attraverso la catena appenninica di circa 2 mm/anno in direzione SudOvest-NordEst (Palano et al., 2011). Pertanto un campo di velocità fornito da stazioni stabili e affidabili dovrebbe mostrare questo andamento comune e coerente tra le stazioni adiacenti, mostrando gradualmente l'estensione in atto da Sud-Ovest a Nord-Est. Il risultato di questa analisi è mostrato in **Figura 3.4.1**, sia per le componenti orizzontali che verticali, e i valori di velocità sono riportati in **Tabella 3.4.1**.

In questa analisi sono riportate le velocità di spostamento solo delle stazioni GNSS con almeno 2.5 anni di dati (Blewitt and Lavallée, 2002), valore considerato minimo per una prima valutazione attendibile della stima dei tassi di spostamento a lungo termine. E' bene tenere presente inoltre che studi recenti hanno dimostrato che per avere una stima stabile nel tempo delle velocità di spostamento servono serie temporali lunghe almeno 6-7 anni in media (Serpelloni et al., 2022). In virtù di questi riferimenti le velocità di spostamento stimate da serie temporali relativamente brevi (dai 2.5 ai 6 anni) possono fornire già una prima indicazione del grado di stabilità del sito e della sua affidabilità ai fini del monitoraggio delle deformazioni del suolo. Secondo la **Tabella 3.2.1**, quasi tutte le stazioni di Val d'Agri e Gorgoglione hanno raggiunto questo requisito, tranne ME10 e CF34 (ferma da novembre 2024) le cui velocità non sono riportate in questa analisi.

Dal campo di velocità orizzontale così ottenuto si può osservare come la maggior parte delle stazioni dell'area mostri un graduale aumento di intensità da Ovest verso Est di pochi mm/anno, che è rappresentativo della tettonica distensiva attiva lungo tutta la dorsale appenninica. Rispetto a questa caratteristica di riferimento si notano in modo evidente alcune stazioni della rete ENI con un comportamento anomalo (come AGR1, TLMA e VOL1) mostrando intensità e direzioni di velocità decisamente diverse dalle stazioni adiacenti. Si tratta di una caratteristica già evidenziata nei precedenti report (anche in fase di sperimentazione) per la stazione TLMA, che sembra essere influenzata da forti instabilità di sito. Analogamente per le stazioni AGR1 e VOL1, la stima preliminare di velocità (entrambe le stazioni hanno meno di 3 anni di dati) sembra indicare una forte instabilità per questi siti.



**Figura 3.4.1**. Sopra: campo di velocità orizzontale (frecce) nel sistema di riferimento locale Eurasia-fissa con ellissi di errore al 95%. Sotto: campo di velocità verticale dove le barre azzurre indicano subsidenza, le barre arancioni sollevamento e le barre grigie indicano l'intervallo di confidenza al 68%. In entrambi i pannelli i siti, le velocità e i domini di ciascuna concessione sono indicati in rosso per ENI e in blu per TEPIT.

**Tabella 3.4.1:** Velocità di spostamento nelle componenti Est (VE), Nord (VN), e verticale (VU) e relative incertezze (S\_VE, S\_VN e S\_VU) in mm/anno per le stazioni ENI e TEPIT nel sistema di riferimento locale Eurasia-fissa per le componenti orizzontali e in IGb14 per quelle verticali.

Stazione	VE (mm/anno)	VN (mm/anno)	VU (mm/anno)	S_VE (mm/anno)	S_VN (mm/anno)	S_VU (mm/anno)
AGR1 - ENI	-6.90	5.26	0.02	0.54	0.43	1.96
CEF8 - ENI	2.15	2.47	-3.33	0.59	0.59	2.45
COST - ENI	1.14	4.25	-0.60	0.24	0.38	2.14
GRUM - ENI	0.52	2.36	1.61	0.29	0.47	1.96
INN2 - ENI	-2.34	1.52	-3.04	0.22	0.34	0.95
MAE1 - ENI	0.39	4.02	0.38	0.09	0.13	0.68
TEVE - ENI	0.66	4.61	0.57	0.13	0.20	1.08
TLMA - ENI	12.31	-9.75	-6.69	0.44	0.64	1.03
VIGG - ENI	1.26	2.45	-1.06	0.14	0.22	0.86
VOL1 - ENI	-17.97	10.12	-10.57	1.19	0.58	2.15
TR04 - TEPIT	11.23	-0.44	-6.95	0.59	0.98	1.07
TR05 - TEPIT	-3.78	1.14	-4.69	0.31	0.52	0.96
TR07 - TEPIT	2.13	7.38	0.02	0.33	0.51	0.98

Come già visto nel Rapporto di monitoraggio n. 1, anche la rete di Gorgoglione sembra essere molto differente rispetto agli andamenti attesi a scala regionale, soprattutto per le stazioni TR04 e TR05 per tutte e tre le componenti di spostamento. Analogamente per il campo di velocità verticale, si osservano per la maggior parte delle stazioni analizzate delle velocità verticali variabili tra -1 e 1 mm/anno, mentre le stesse stazioni anomale appena evidenziate (tranne AGR1) registrano tassi di subsidenza di diversi mm/anno (**Tabella 3.4.1**), valori che sono caratteristici di possibili effetti locali di compattazione e assestamento di sito o di emungimento di acque.

Le uniche stazioni che sembrano mostrare un andamento coerente con il campo di velocità stimato per tutta l'area di monitoraggio sono MAE1, TEVE (caratteristica già osservata per entrambe nel Primo Rapporto di monitoraggio) e COST, che avendo una serie temporale relativamente breve sarà validata nelle future analisi. Tutte le altre stazioni (CEF8, GRUM, INN2 e VIGG) si discostano di pochi mm/anno dall'andamento regionale e potrebbe essere che il loro segnale sia influenzato da molteplici sorgenti di deformazione che potrebbero essere identificate attraverso tecniche di scomposizione dei segnali da applicare alle serie temporali di spostamento e che saranno oggetto di indagine nei prossimi report.

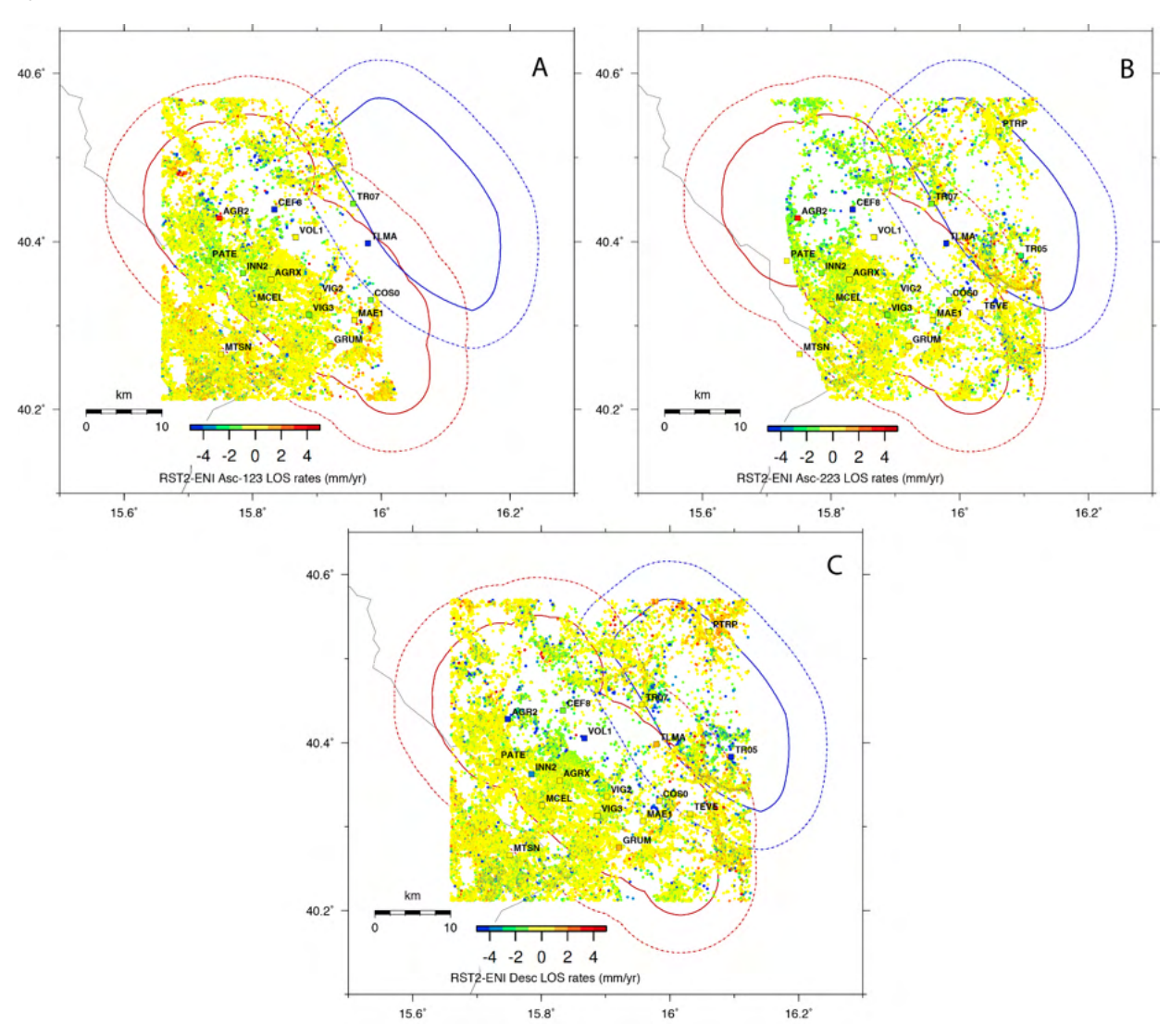
### 3.5 Dati di velocità InSAR

Ai fini del monitoraggio delle deformazioni del suolo, gli ILG evidenziano l'importanza di elaborare misure di spostamento del suolo da Interferometria satellitare SAR (Synthetic Aperture Radar), InSAR, e a questo proposito i concessionari ci hanno fornito numerose elaborazioni che coprono l'area di studio. La **Tabella 3.5.1** riporta le principali caratteristiche dei dati forniti, ossia le costellazioni satellitari e le orbite di acquisizione utilizzate, i metodi di elaborazione per l'estrazione dei punti di misura, il periodo analizzato e infine il grado di accordo con le velocità GNSS.

**Tabella 3.5.1**: Caratteristiche tecniche delle misure InSAR fornite dai concessionari e grado di accordo con i dati di velocità GNSS

Concessione	Costellazione Satellitare	Orbite / Scomposizione *	Elaborazione	Periodo	RMSE vs GNSS (mm/a)
	Sentinel-1 (S1)	Ascendente	DC (DCD)	10/2014 - 04/2024	1.5
		Discendente	PS (PSP)		1.6
		Est-Ovest *	_		2.0
		Verticale *	_		1.4
Val d'Agri	Radarsat 2 (RST2)	Ascendente (frame 123)		01/2012 - 04/2024	1.8
		Ascendente (frane 223)	SBAS	10/2011 - 04/2024	1.4
		Discendente		11/2011 - 04/2024	1.5
		Est-Ovest *	_	01/2012 -	1.7
		Verticale *	_	04/2024	1.4
Gorgoglione	Sentinel-1 (S1)	Ascendente	SPINUA-PS	10/2014 - 06/2024	1.0
			SPINUA-DS		1.7
		Discendente	SPINUA-PS		1.6
		Discendente	SPINUA-DS		1.7
		Est-Ovest *	_		2.3
		Verticale *	_		1.9

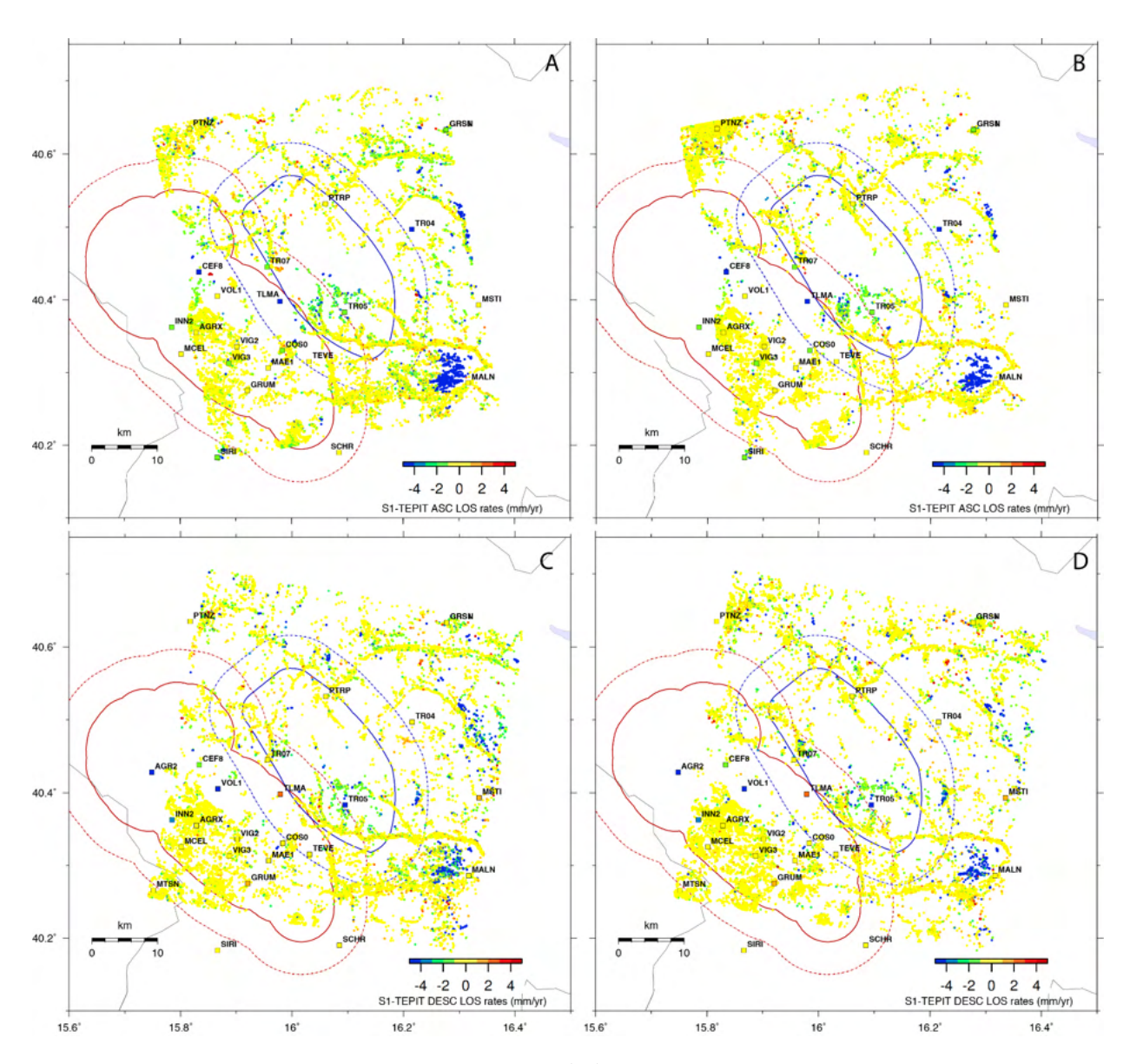
Le misure InSAR sono osservazioni satellitari che permettono di misurare lo spostamento del suolo lungo un'unica direzione che è la linea di vista (*Line Of Sight*, LOS) che congiunge il punto di misura e il sensore del satellite. Sono misure unidimensionali prevalentemente sensibili agli spostamenti lungo la verticale e la direzione Est-Ovest, mentre per motivi geometrici sono molto poco sensibili agli spostamenti in direzione Nord-Sud.



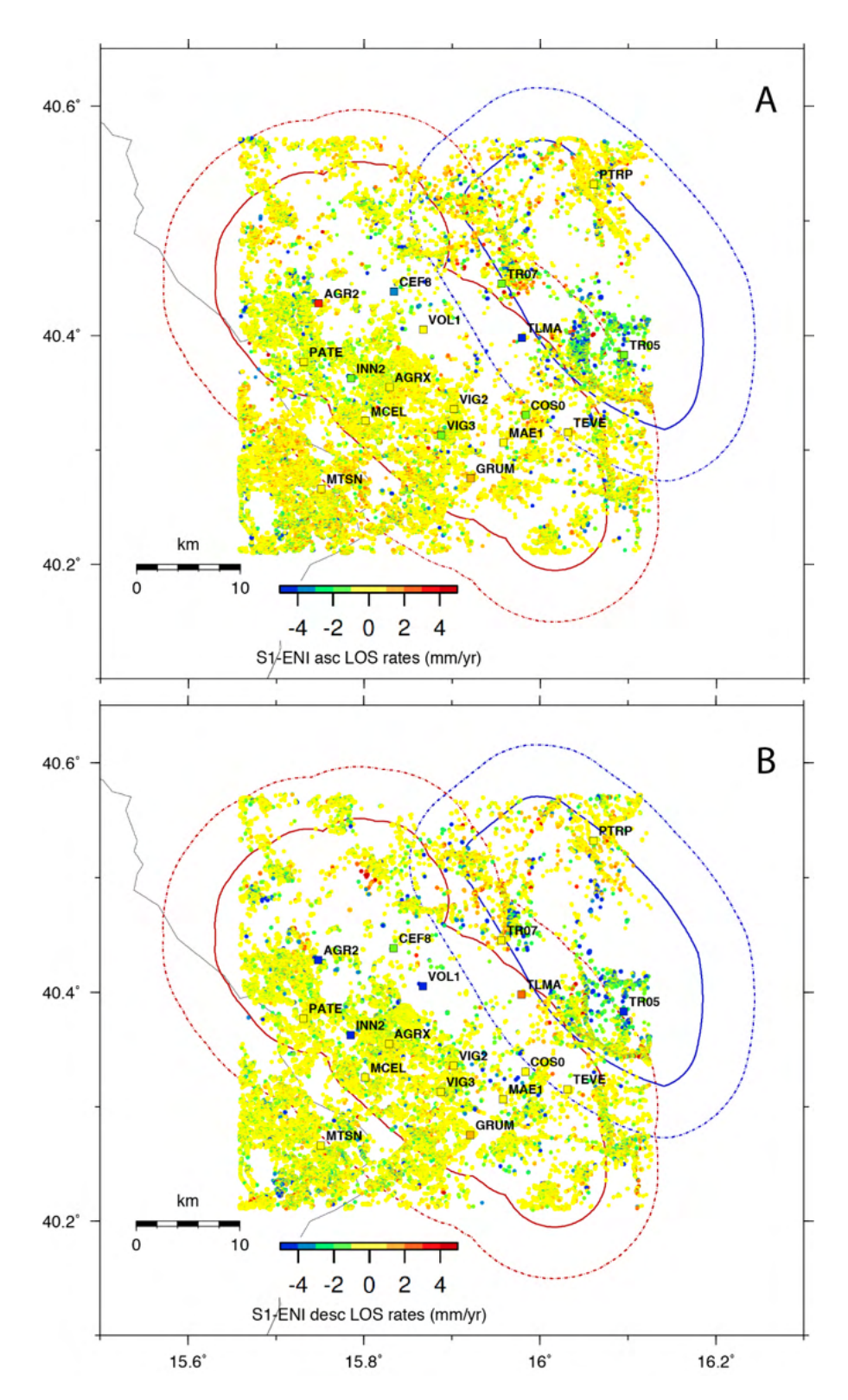
**Figura 3.5.1**. Campo di velocità InSAR da dati RADARSAT-2 (RST2) per la concessione Val d'Agri ottenuti lungo la linea di vista dell'orbita ascendente per il frame 123 (A), ascendente per il frame 223 (B) e discendente (C). I colori freddi indicano allontanamento dal satellite e i colori caldi indicano avvicinamento. I quadrati colorati rappresentano le velocità GNSS proiettate lungo la stessa linea di vista.

L'Interferometria SAR è una tecnica che permette di avere osservazioni per un elevato numero di punti densamente distribuiti nello spazio che necessitano di riflettere nel tempo in modo coerente il segnale radar del satellite (cosa più facile nelle aree urbanizzate, meno nelle aree vegetate). Le tecniche di elaborazione degli interferogrammi SAR cercano di ottimizzare al meglio l'estrazione di questi segnali

tramite due principali approcci: 1. il *Persistent Scatterer* (PS) identifica i punti che mostrano un grado di riflessione forte e costante nel tempo (e.g. Ferretti et al., 2001); 2. il *Distributed Scatterer* (DS) utilizza un gruppo sufficientemente ampio di pixel adiacenti che ha un comportamento statisticamente omogeneo aumentando la coerenza del segnale riflesso (Even & Schulz, 2018).



**Figura 3.5.2**. Campo di velocità InSAR da dati Sentinel-1 (S1) per la concessione Gorgoglione ottenuti lungo la linea di vista dell'orbita ascendente (pannelli A e B) e discendente (C e D) ed elaborati con entrambe le tecniche SPINUA-DS (A e C) e SPINUA-PS (B e D). I colori freddi indicano allontanamento dal satellite e i colori caldi indicano avvicinamento. I quadrati colorati rappresentano le velocità GNSS proiettate lungo la stessa linea di vista



**Figura 3.5.3**. Campo di velocità InSAR da dati Sentinel-1 (S1) per la concessione Val d'Agri ottenuti lungo la linea di vista dell'orbita ascendente (A) e discendente (B). I colori freddi indicano allontanamento dal satellite e i colori caldi indicano avvicinamento. I quadrati colorati rappresentano le velocità GNSS proiettate lungo la stessa linea di vista.

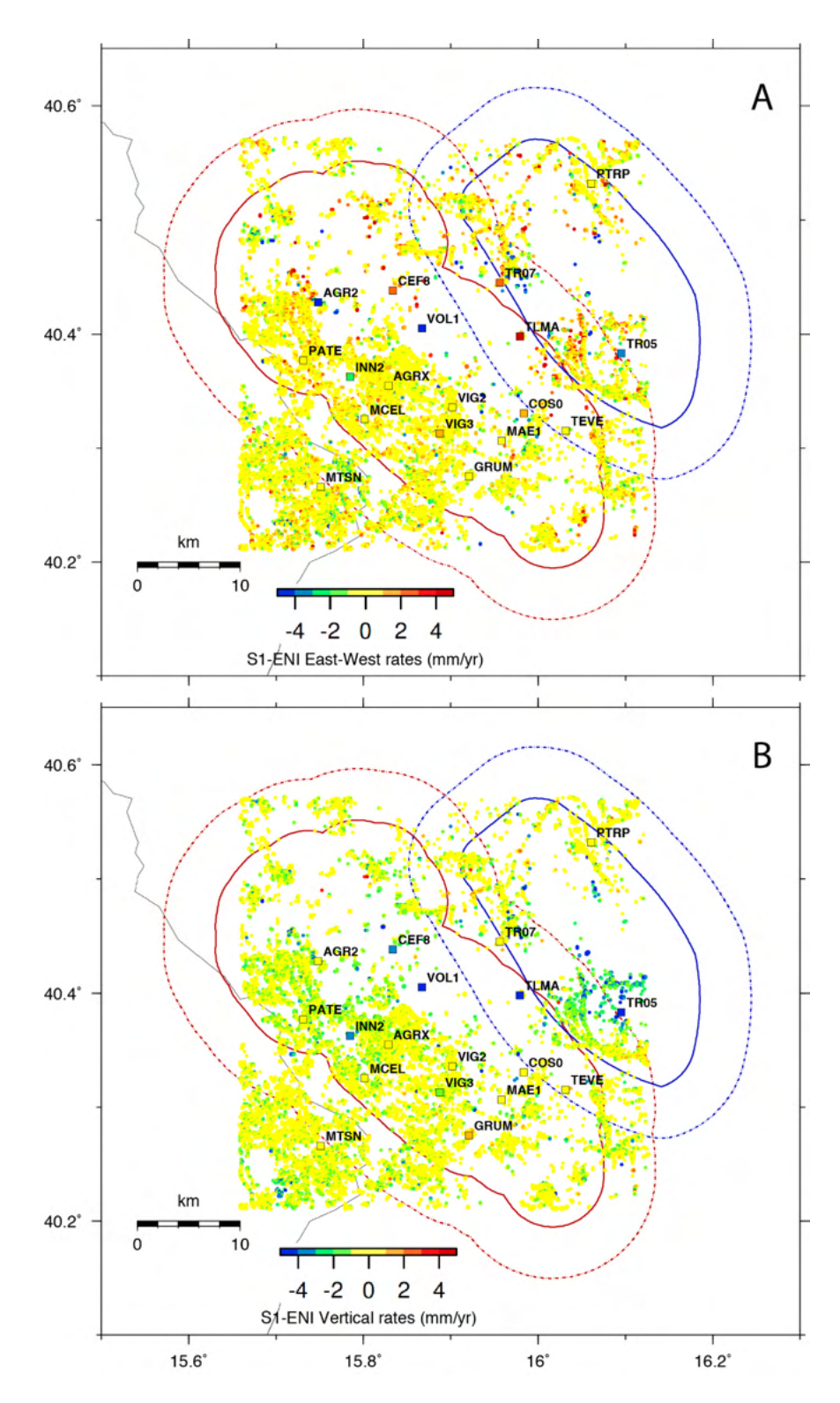
Si tratta di due metodi che hanno pro e contro: se il PS permette di identificare punti affidabili e coerenti, questo però è possibile per un numero non elevato di punti e un'estensione limitata dell'area da elaborare, mentre il DS è una tecnica che può identificare molti punti grazie al raggruppamento di pixel adiacenti e può essere estesa ad aree più grandi, ma non sempre la coerenza dei segnali è garantita. I dati a noi forniti (**Tabella 3.5.1**) sono stati ottenuti sia con tecnica PS, nello specifico PSP (*Persistent Scatterer Pairs*, Costantini et al., 2008), sia con tecnica DS, ossia SBAS (*Small BAseline Subset*, Berardino et al., 2002) e sia con tecnica SPINUA (*Stable Points INterferometry even over In-urbanised Areas*, Bovenga et al., 2004) che può generare elaborazioni sia per PS che per DS.

Figure 3.5.1-3 confrontati con le velocità di spostamento GNSS proiettate lungo la LOS di ciascuna orbita di acquisizione. Le misure InSAR sono fornite rispetto un punto di riferimento locale e per poter confrontare in modo omogeneo i due tipi di misure, le velocità GNSS sono state riferite rispetto lo stesso punto di riferimento. Per estrarre le caratteristiche principali dei campi di velocità InSAR così ottenuti, i dati acquisiti in LOS su entrambe le orbite satellitari sono stati interpolati e scomposti in modo da poter estrarre le corrispondenti velocità in direzione Est-Ovest e Verticale, assumendo che in direzione Nord-Sud il segnale sia trascurabile. Le velocità così ottenute sono mostrate nelle Figure 3.5.4-6 insieme alle corrispondenti velocità Est-Ovest e Verticale dei dati GNSS.

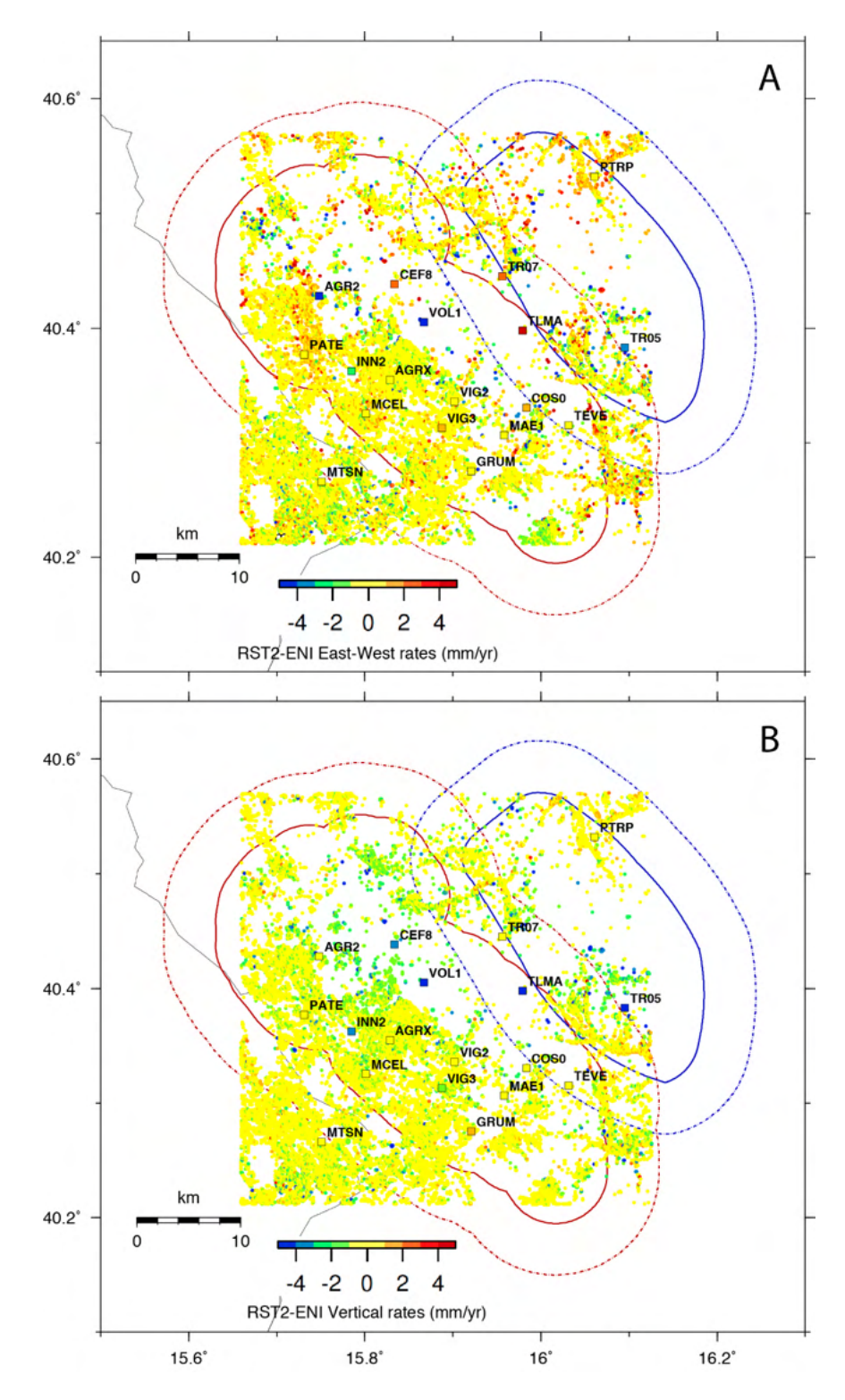
Per ciascun tipo di confronto è stato calcolato lo scarto quadratico medio (RMSE, **Tabella 3.5.1**) tra le due osservazioni per quantificare il grado di accordo tra i dati di velocità. Per questa analisi è stato scelto di utilizzare un raggio di 500 metri attorno a ciascuna stazione GNSS per la selezione dei pixel ed è stato calcolato il valore medio di velocità per eseguire il confronto quantitativo. In questa analisi non sono state considerate le stazioni GNSS TLMA, TR04 e VOL1, perché caratterizzate da velocità anomale rispetto al pattern regionale, come illustrato nel precedente paragrafo.

Dai risultati ottenuti si osserva che tra le velocità GNSS e InSAR sembra esserci un buon accordo per tutti i dataset forniti, soprattutto per le soluzioni fornite lungo la linea di vista (LOS) che mostrano in media un RMSE di circa 1.5 mm/anno, valore che è dello stesso ordine di grandezza delle incertezze associate alle velocità InSAR. Si osserva solo un leggero peggioramento di accordo per alcune delle velocità scomposte in direzione Est-Ovest, che è ragionevole dal momento che le misure InSAR sono un po' meno sensibili lungo quella direzione.

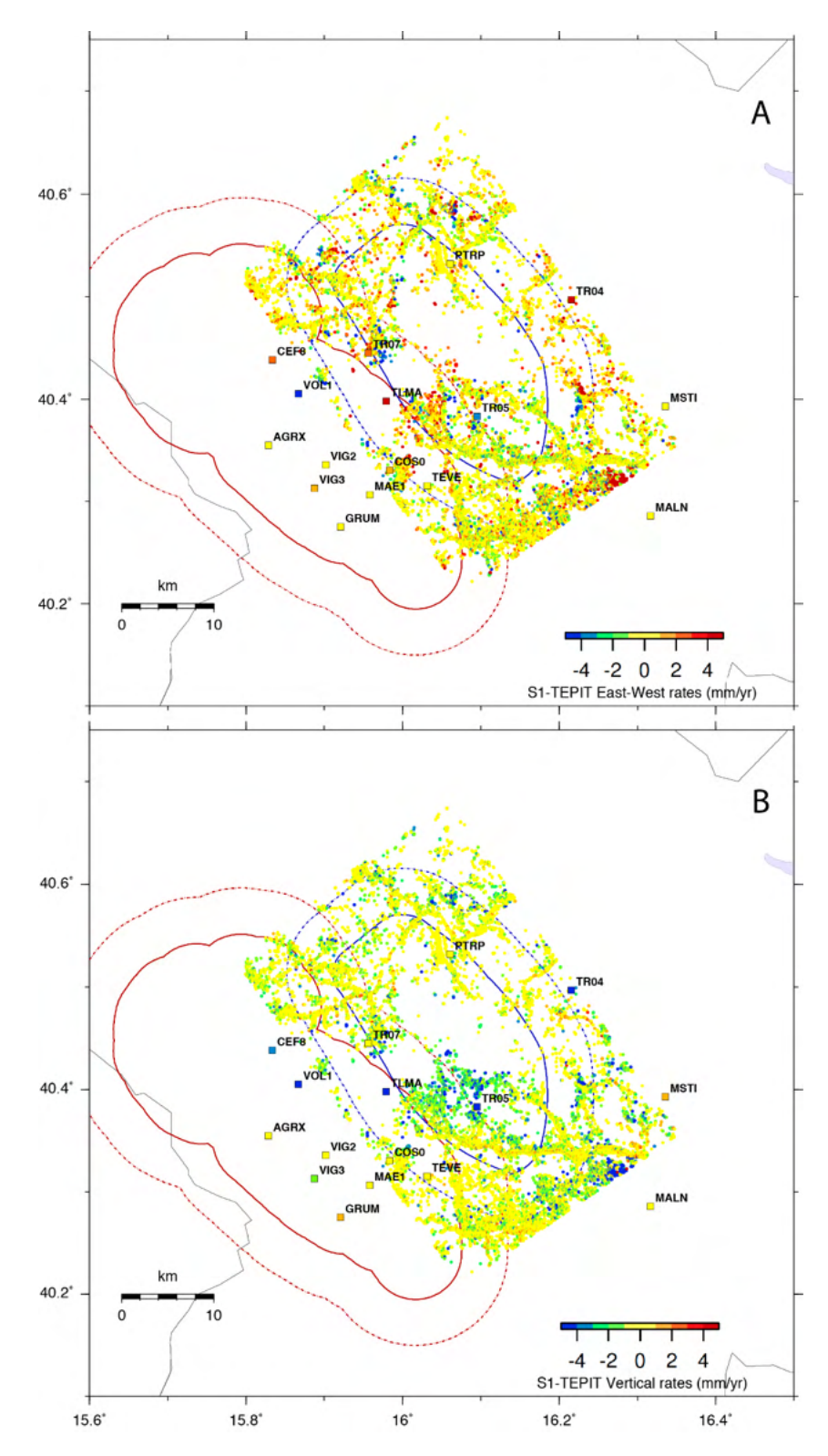
Infine osservando i campi di velocità InSAR scomposti per le aree monitorate di Val d'Agri e Gorgoglione non si nota nessun andamento particolare in direzione Est-Ovest mentre per la componente verticale si rileva in alcune zone una leggera subsidenza di 2-3 mm/anno comune a tutte e tre le soluzioni InSAR (aree verdi-blu nei pannelli B delle **Figure 3.5.4-6**) che riguardano in particolare la parte settentrionale della Val d'Agri e la parte centrale di Gorgoglione. Sono valori che non destano preoccupazione, ma che necessitano comunque di essere monitorati e indagati per valutarne l'andamento nel tempo e le possibili cause.



**Figura 3.5.4**. Campo di velocità InSAR da dati Sentinel-1 (S1) per la concessione Val d'Agri scomposto lungo la direzione Est-Ovest (A) e verticale (B). I colori positivi indicano spostamento verso Est (A) e innalzamento (B), mentre quelli negativi spostamento verso Ovest (B) e abbassamento (B). I quadrati colorati rappresentano le componenti Est-Ovest (A) e verticali (B) delle velocità GNSS (**Tabella 3.4.1**).



**Figura 3.5.5**. Campo di velocità InSAR da dati Radarsat-2 (RST2) per la concessione Val d'Agri scomposto lungo la direzione Est-Ovest (A) e verticale (B). I colori positivi indicano spostamento verso Est (A) e innalzamento (B), mentre quelli negativi spostamento verso Ovest (B) e abbassamento (B). I quadrati colorati rappresentano le componenti Est-Ovest (A) e verticali (B) delle velocità GNSS (**Tabella 3.4.1**).

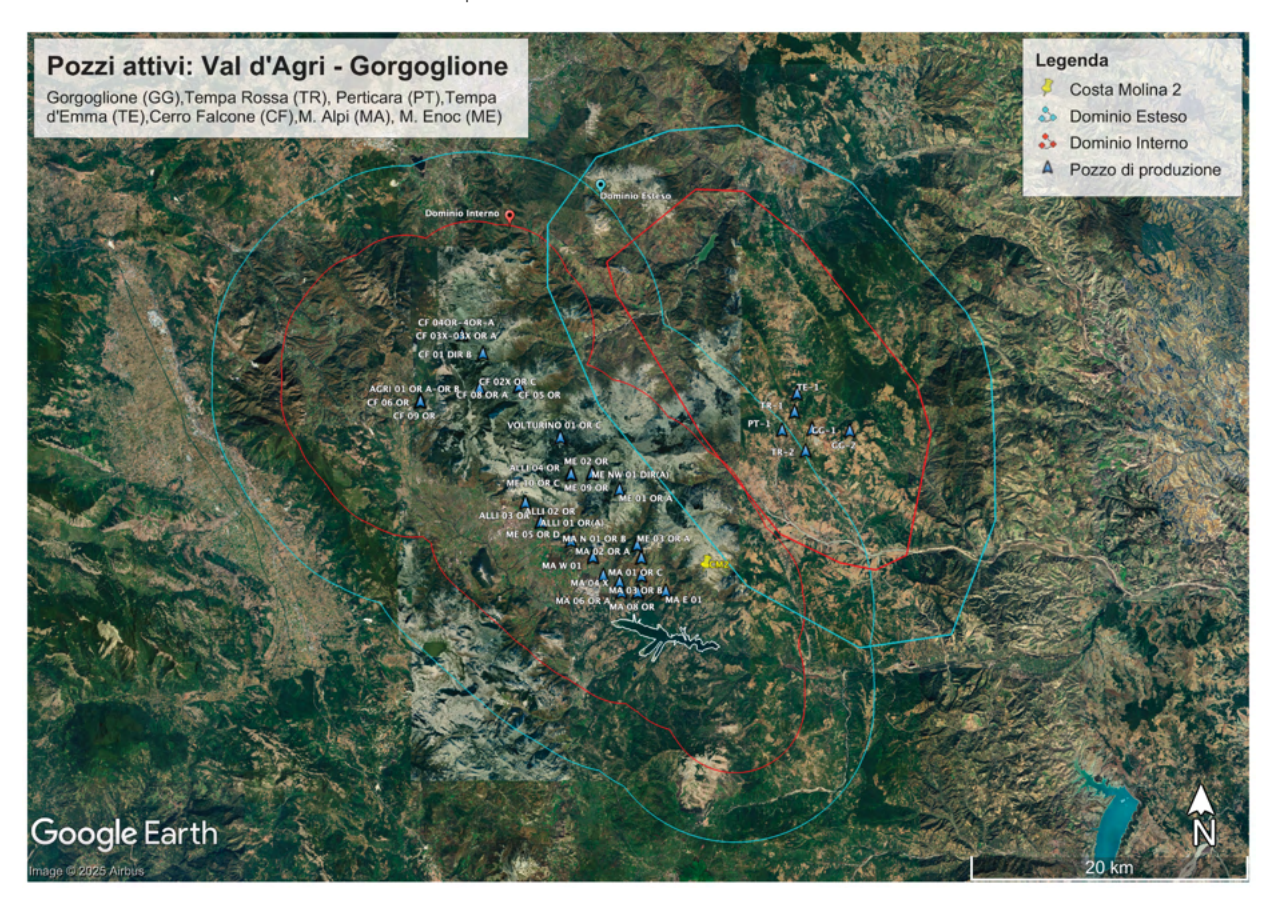


**Figura 3.5.6**. Campo di velocità InSAR da dati Sentinel-1 (S1) per la concessione Gorgoglione scomposto lungo la direzione Est-Ovest (A) e verticale (B). I colori positivi indicano spostamento verso Est (A) e innalzamento (B), mentre quelli negativi spostamento verso Ovest (B) e abbassamento (B). I quadrati colorati rappresentano le componenti Est-Ovest (A) e verticali (B) delle velocità GNSS (**Tabella 3.4.1**).

### 4 Analisi dei dati di pressione e portata

### 4.1 Produzione in VA

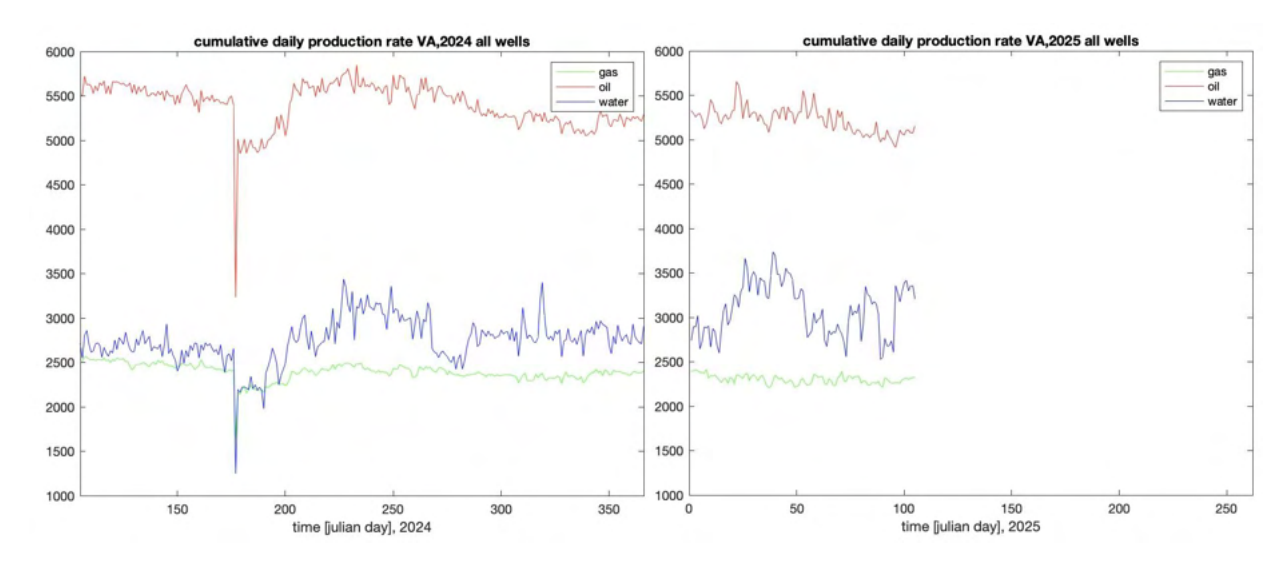
In **Figura 4.1.1** riportiamo la mappa delle due concessioni con i domini di monitoraggio, i pozzi produttivi e il pozzo di reiniezione CM2. Il concessionario invia quotidianamente alla SPM i dati di produzione giornaliera in VA di olio, gas e acqua per ogni pozzo via email. Dei 34 pozzi di produzione attualmente almeno 13 risultano non-produttivi.



**Figura 4.1.1** Mappa delle concessioni operanti in Basilicata con le posizioni geografiche dei pozzi di produzione olio, gas e acqua (triangoli blu) e del pozzo di reiniezione CM2 (giallo). Le linee chiuse rappresentano il DI (rosso) e il DE (azzurro) di monitoraggio.

La **Figura 4.1.2** mostra la produzione giornaliera di petrolio [m³], acqua [m³] e gas [kSm³] in maniera cumulativa per tutti i pozzi. Con eccezione del periodo tra fine giugno e metà luglio 2024 i valori della produzione di idrocarburi variano leggermente intorno a 5500 m³ con tendenza decrescente per il petrolio e 2500 kSm³ per i gas. Il volume di acqua di strato prodotto ogni giorno si colloca intorno ai 3000 m³/giorno e segue in generale l'andamento della produzione degli idrocarburi. Eccezione sono

delle variazioni più significative, con valori fino a 3700 m³ giornalieri nel periodo tra metà gennaio e fine febbraio 2025.



**Figura 4.1.2**. Produzione giornaliera di Olio, Gas e acqua dai pozzi della concessione VA per il periodo dal 15 Aprile 2024 ad 15 Aprile 2025.

### 4.2 Pressione e portata in CM2

Il concessionario trasmette con frequenza giornaliera alla SPM i dati dei volumi (VIR - Volume Injection Rate) e delle pressioni a testa pozzo (THP - Tubing Head Pressure) dei fluidi iniettati nel pozzo CM2 . I dati a disposizione sono delle medie mobili giornaliere aggiornate con frequenza oraria. La **Figura 4.2.1** mostra le medie giornaliere dei valori di VIR (rosso) e THP (blu) per il periodo 15/04/2024 – 15/04/2025 (stessi andamenti mostrati in **Figura 2.7.1**).

L'andamento delle pressioni e dei ratei di volume iniettato è caratterizzato da periodi brevi (da ore a decine di giorni) di forte calo/azzeramento. Tali interruzioni di iniezione (fermi generali) sono interventi programmati da parte del concessionario, per motivi di controllo e/o manutenzione (*well integrity*). Eccetto questi picchi in negativo, si nota che a regime normale i valori di iniezione sono mediamente THP  $\sim 90 \pm 5$  bar con picchi fino a 98 bar e VIR  $\sim 1900 \pm 100$  Sm³/giorno con valori massimi fino a 2060 m³/giorno. Modellizzazioni teoriche della variazione di stress di Coulomb comparate con la sismicità registrata nei pressi del CM2, indicano che un tasso di iniezione fino a 2000 m³/giorno è sostenibile dal contesto geologico senza (ri-) attivare sismicità significativa (Hager et al., 2021).

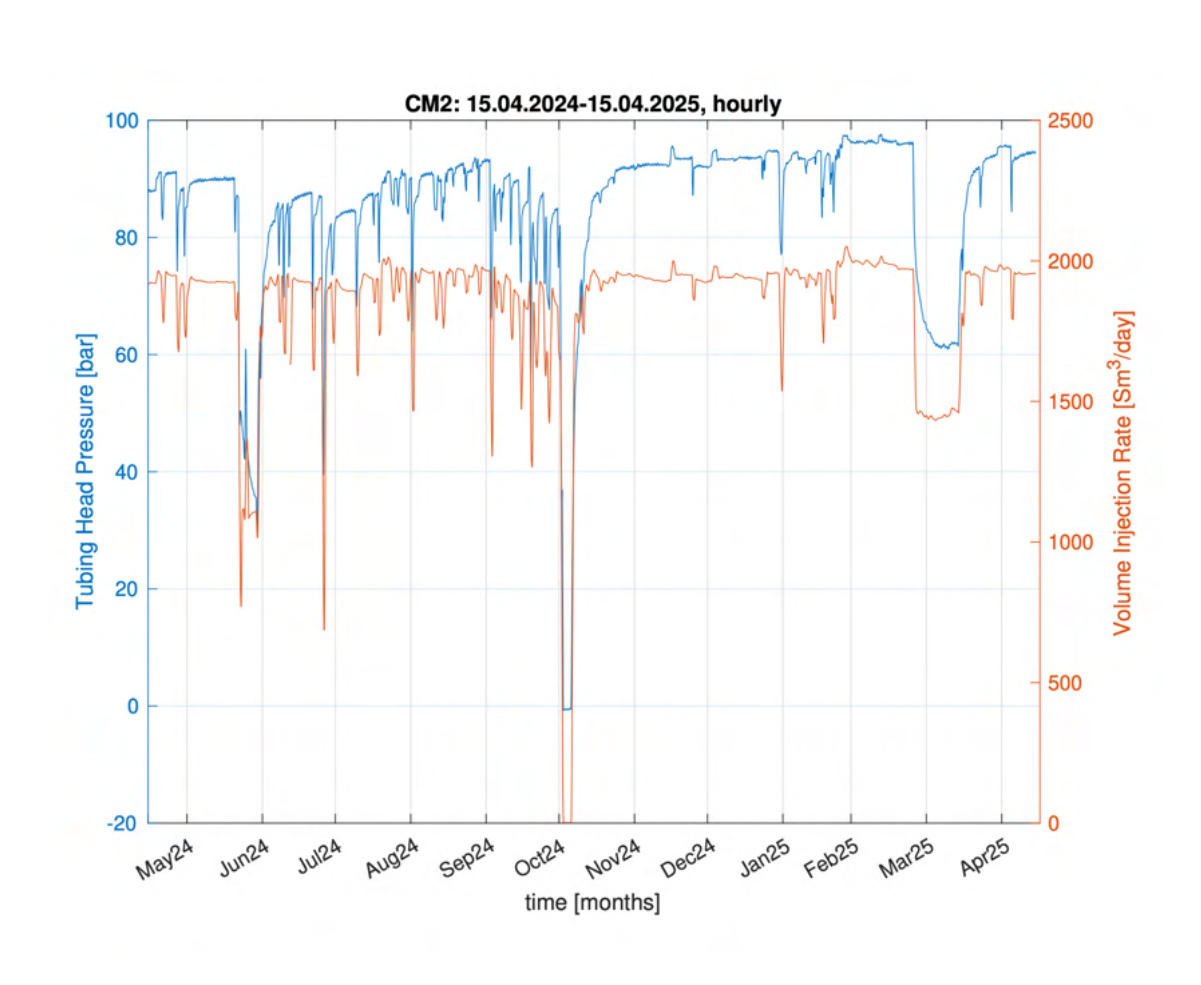
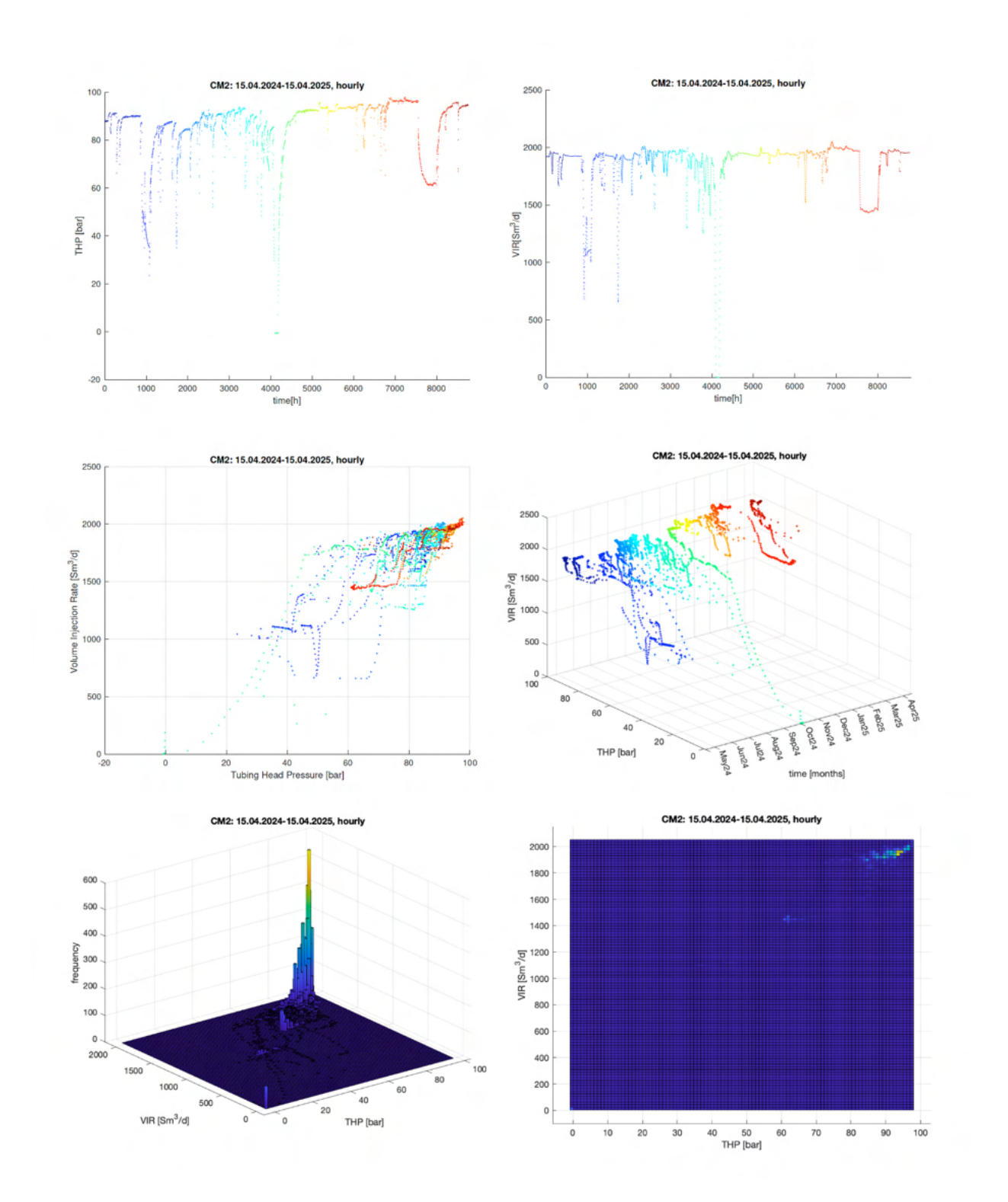


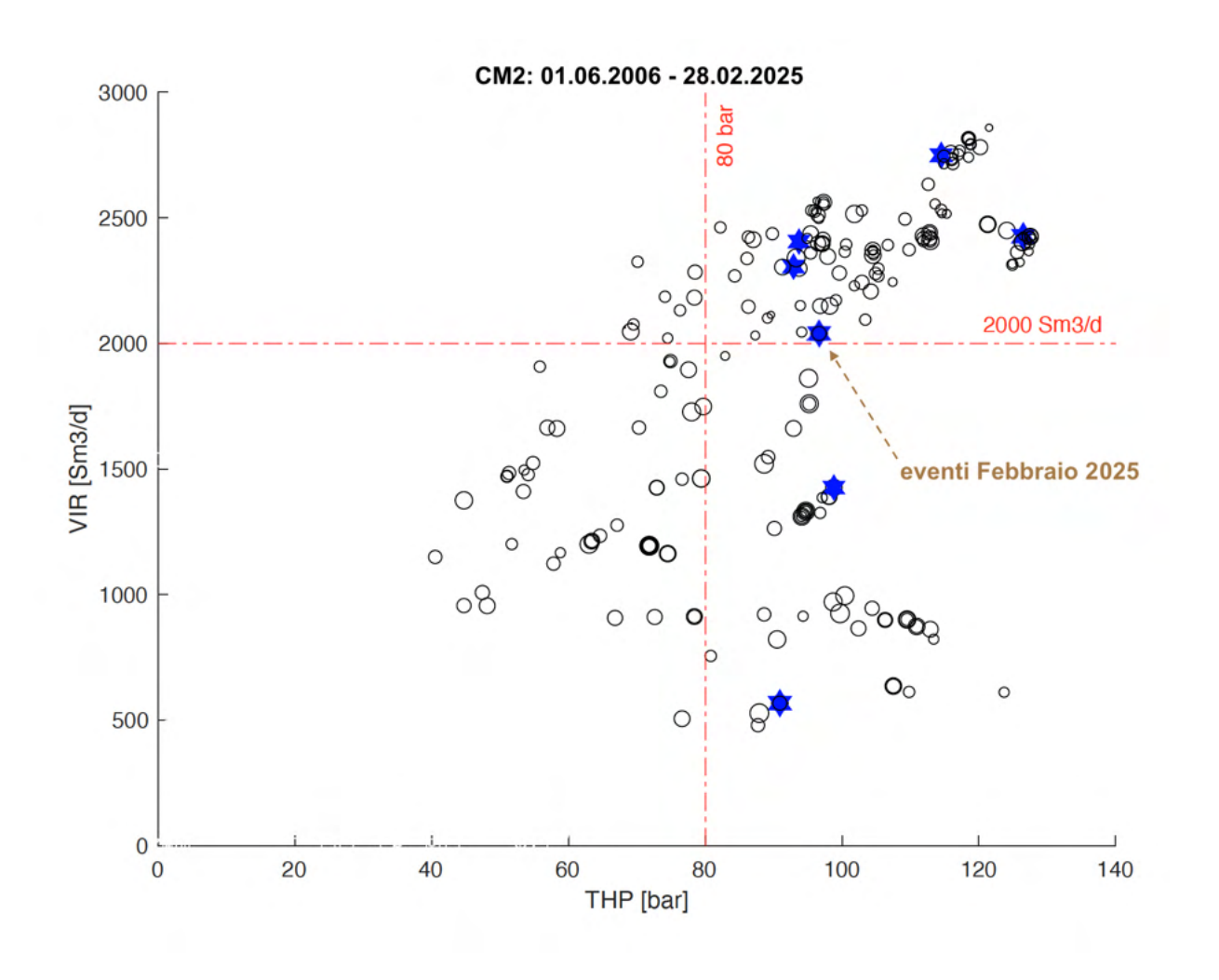
Figura 4.2.1. Variazioni temporali di VIR e THP per il periodo 15/04/2024 – 15/04/2025

Come evidente dalla **Figura 4.2.2**, le variazioni temporali di VIR e THP mostrano una forte correlazione. Per un diretto confronto tra le variazioni temporali della portata e le pressioni di reiniezione, la **Figura 4.2.2** mostra differenti rappresentazioni dei parametri di produzione per il periodo 15/04/2024 - 15/04/2025 con intervallo di campionamento orario. La codifica a colori della scala temporale (da blu-Apr 2024 a rosso - Apr 2025) permette di confrontare graficamente pressione e volume del fluido iniettato in 2-D (c) e 3-D (d), conservando l'informazione del tempo. Le **Figure 4.2.2** (e,f) mostrano rispettivamente l'istogramma 3-D e 2-D dell'incidenza dei valori operativi di pressione e volume del fluido iniettato e confermano dal punto di vista statistico i valori di THP e VIR nominati sopra. L'istogramma 3D rispecchia quindi la frequenza di occorrenza delle combinazioni di parametri di esercizio applicati - o meglio - più alte sono le barre, più frequente viene operata l'iniezione con tali parametri (THP, VIR).

Per valutare le condizioni della reiniezione in termini di pressione di portata nel momento del verificarsi degli eventi sismici sopra soglia è stato proposto un grafico (v. Braun et al., 2022, Braun & Danesi, 2024) che proietta i terremoti nel diagramma VIR in funzione della THP (v. **Figura 4.2.2 c-f**). Gli eventi sismici localizzati all'interno del DR sono stati proiettati sui valori corrispondenti di VIR e THP: cerchi ML<1.5, asterischi ML>1.5.



**Figura 4.2.2.** Decomposizione della Figura 4.2.1 (periodo di reiniezione: 15/04/2024 - 15/10/2025): variazione temporale (codificato a colore) dei parametri (a) pressione testa pozzo THP e (b) volume del fluido iniettato VIR; (c) VIR vs THP; (d) presentazione 3D dei dati mostrati in (a) e (b); (e,f) istogramma 3D e 2D dei parametri THP e VIR.



**Figura 4.2.3.** Proiezione degli eventi localizzati nel DR sui corrispondenti valori di VIR/THP: eventi sismici con M < 1.5 (o), M >= 1.5 (\*). L'asterisco che fa riferimento agli eventi di Febbraio 2025 è indicato da una freccia marrone.

La **Figura 4.2.3** proietta gli eventi di febbraio 2025 in relazione agli eventi storici (vedi **Figura 7.13** nel Report Finale del Monitoraggio Concessione Val d'Agri, Braun et al., 2022), dove viene riportato come segue: "I valori massimi di portata e pressione vengono raggiunti tra il 2009 e il 2014, arrivando a valori di VIR=quasi 2900  $m^3$ /d, superando di quasi 50% la portata di sicurezza (2000  $m^3$ /d, Hager et al., 2021) che attualmente sono applicati ordinariamente dal concessionario (vedi linee tratteggiate in **Figura 7.13**). Eventi sismici significativi ( $M \ge 1.5$ ) si verificano a pressioni THP > 90 bar, e più frequentemente a valori di portata  $VIR > 2200 \, \text{m}^3$ /d.

Allo stato attuale i punti elencati rappresentano la risposta alla domanda iniziale: esiste una correlazione tra la pressione e/o la portata dei volumi iniettati e il verificarsi di eventi sismici all'interno del volume DR. Sulla base del monitoraggio realizzato durante il triennio 2019 - 2022, si può affermare che la precauzione adottata dal concessionario di rispetto ordinario del limite massimo dei valori di portata di 2500 m³/d è risultata efficace, non generando sismicità significativa all'interno del DR."

In relazione agli eventi sismici sopra soglia verde/giallo dl TLS (ILG, 2014), con magnitudo (1.5 < ML < 2.2), verificatisi all'interno del DR (vedi **Paragrafo 2.7**) a Febbraio 2025, si può concludere:

- (i) eventi sopra soglia "verde/giallo" (M>1.5) si verificano (fino ad oggi) esclusivamente per pressioni di reiniezione al di sopra di THP> 90 bar.
- (ii) a partire dagli ultimi dieci giorni di gennaio, le pressioni misurate a testa pozzo (THP) superano i 95 bar, assumendo i valori più alti rilevati dall'inizio del 2024 (vedi **Figura 4.2.1**).

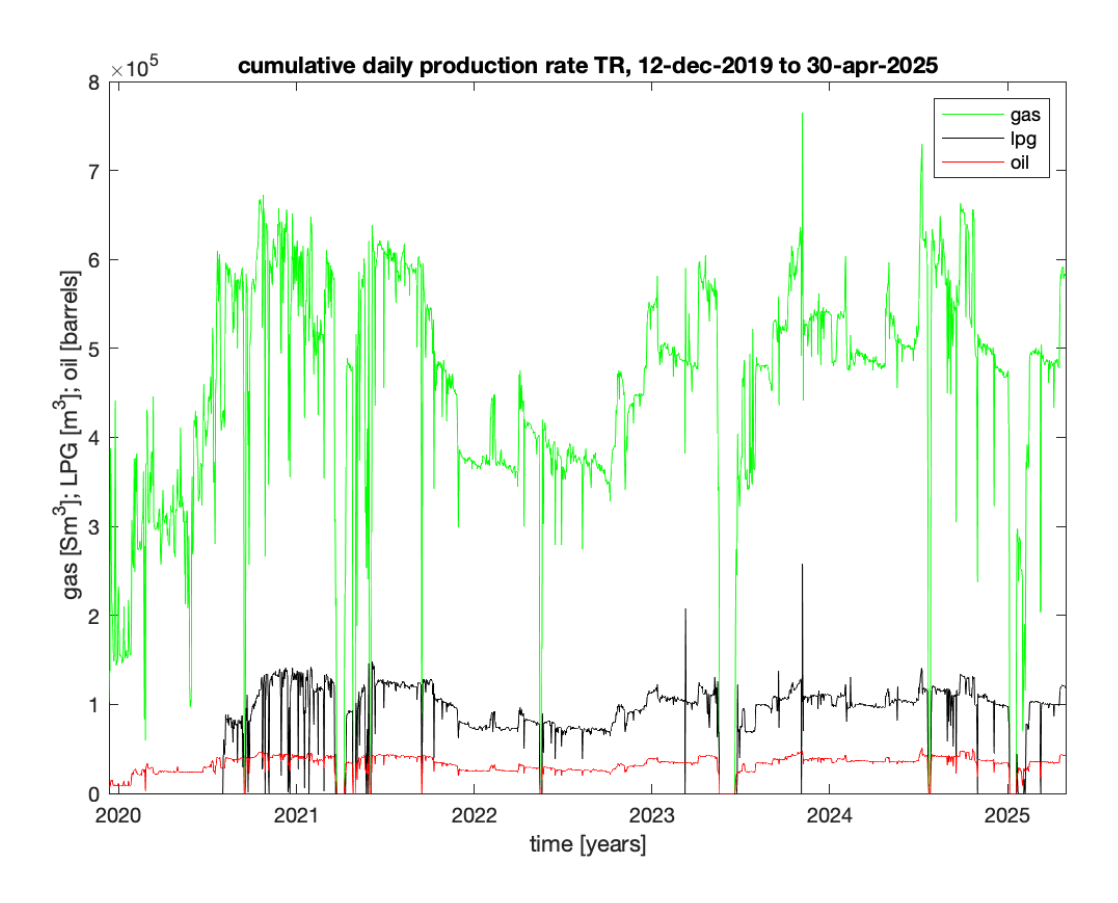
Anche se la pressione misurata a testa pozzo non è un parametro rappresentativo della pressione a fondo pozzo, sembra emergere che siano necessarie pressioni di re-iniezione crescenti per riuscire a mantenere una portata costante, probabile indicatore di una diminuzione di permeabilità nel pozzo medesimo. A seguito degli eventi sismici di Febbraio 2025 la portata e le pressioni di iniezione delle acque di strato nel pozzo CM2 sono state abbassate al 75% circa. A partire da metà Marzo 2025 THP e VIR sono stati lentamente aumentati per essere poi riportati ai valori precedenti.

### 4.3 Produzione in TP

Il concessionario ha inviato alla SPM i dati di produzione giornaliera a Gorgoglione, di olio, gas e GPL per ogni pozzo produttivo (TR-1, TR-2, TE-1PT-1, GG-1, GG-2, v. **Figura 4.1.1** e **Tabella 4.1**), dall'inizio delle attività del campo fino ad aprile 2025. La **Figura 4.3.1** mostra un esempio della variazione giornaliera dei dati di produzione cumulativa a Gorgoglione.

**Tabella 4.1.** Lista dei pozzi operativi nel campo di Gorgoglione: nome, abbreviazione, latitudine, longitudine, elevazione (m) e profondità (m).

Wellhead	Well_Short	Latitude	Longitude	Elevation
Gorgoglione-1	GG-1	40.4104	16.0815	1000
Gorgoglione-2	GG-2	40.4094	16.1135	1053
Tempa Rossa-1	TR-1	40.4216	16.0666	1009
Tempa Rossa-2	TR-2	40.3964	16.0760	1020
Perticara-1	PT-1	40.4099	16.0560	734
Tempa d'Emma-1	TE-1	40.4333	16.0687	984



**Figura 4.3.1.** Valori di produzione cumulativi a Gorgoglione per gas naturale (verde), gas propano liquido (nero) e petrolio (rosso) per il periodo dal 12/12/2019 al 30/04/2025.

# 5 Analisi di ricorrenza della sismicità, propedeutica alla definizione di soglie per il DGOM

### 5.1 Considerazioni sulla distribuzione delle magnitudo degli eventi

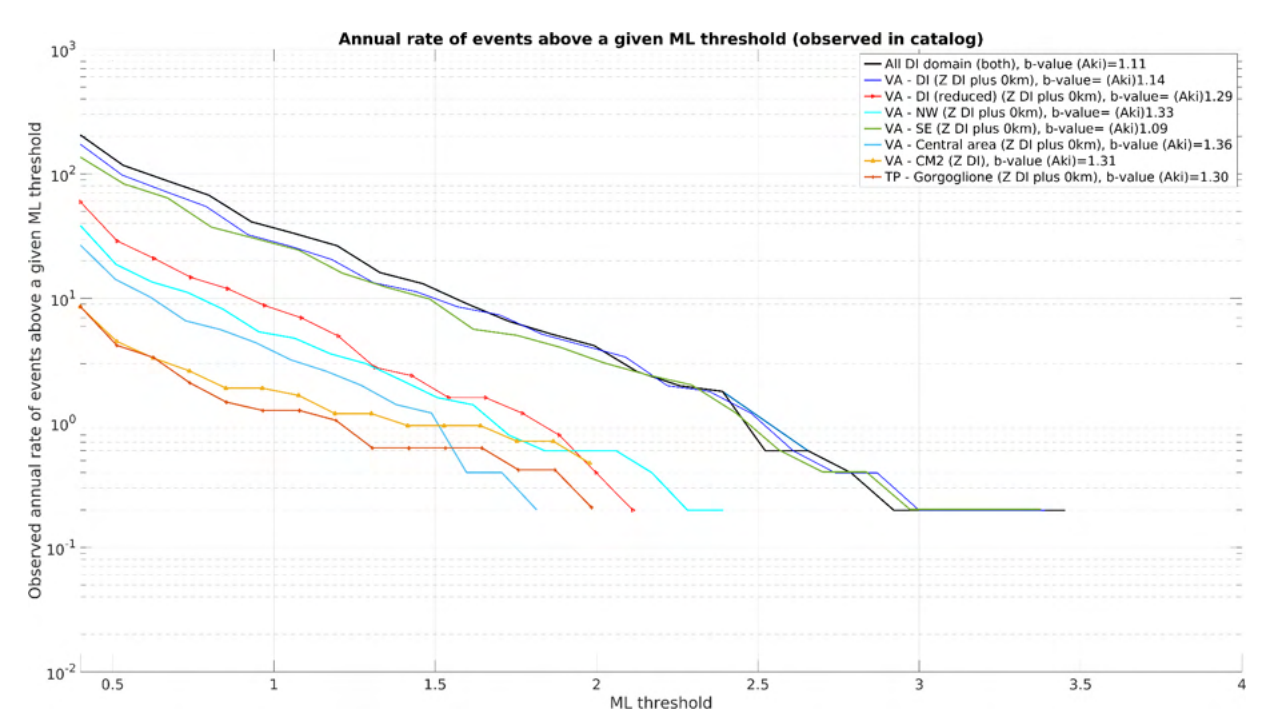
Considerando l'attività di monitoraggio sismico in Basilicata sia durante la sperimentazione che dall'inizio del monitoraggio relativo all'AQ in essere, è stato possibile compilare un catalogo sismico con un numero di eventi che permettono di eseguire alcune analisi di ricorrenza di eventi sismici per diverse soglie di magnitudo (in genere basate sugli eventi più piccoli e ricorrenti –data la lunghezza del catalogo di soltanto circa 4 anni–, ma vicino al rango di magnitudo di interesse per la gestione del sistema decisionale dei monitoraggi per l'applicazione degli ILG). Queste analisi di ricorrenza possono costituire una base di discussione per la definizione delle soglie da inserire nel Documento di Gestione Operativa del Monitoraggio (DGOM).

Come discusso nei capitoli relativi all'analisi della sismicità in Val d'Agri e Gorgoglione, i tassi di sismicità nei DI di monitoraggio non sono spazialmente omogenei, e per questo motivo, oltre alle variazioni temporali della completezza del catalogo, la completezza nello spazio può mostrare differenze importanti (vedere, ad esempio, le differenze di completezza tra i due DI di monitoraggio in Val d'Agri e Gorgoglione, e le stime di completezza in sotto-aree presentate nell'**Appendice D**).

La prima conseguenza diretta di questa osservazione è che la frequenza di accadimento di eventi con valori di magnitudo di interesse per il DGOM (ad esempio, eventi con magnitudo tra 1.5 e 3, che sono le soglie di riferimento riportate negli ILG) può essere molto diversa da una zona all'altra (per dettagli vedere le figure nell'**Appendice D**). La **Figura 5.1.1** mostra i tassi annui di sismicità osservati, per diversi valori di MLbj, tra gennaio 2021 e aprile 2025. In questa analisi si considera come magnitudo minima il valore  $M_{min}$ =0.4, corrispondente alla soglia di completezza più alta determinata nei domini interni o nei sottodomini di riferimento considerati per le analisi.

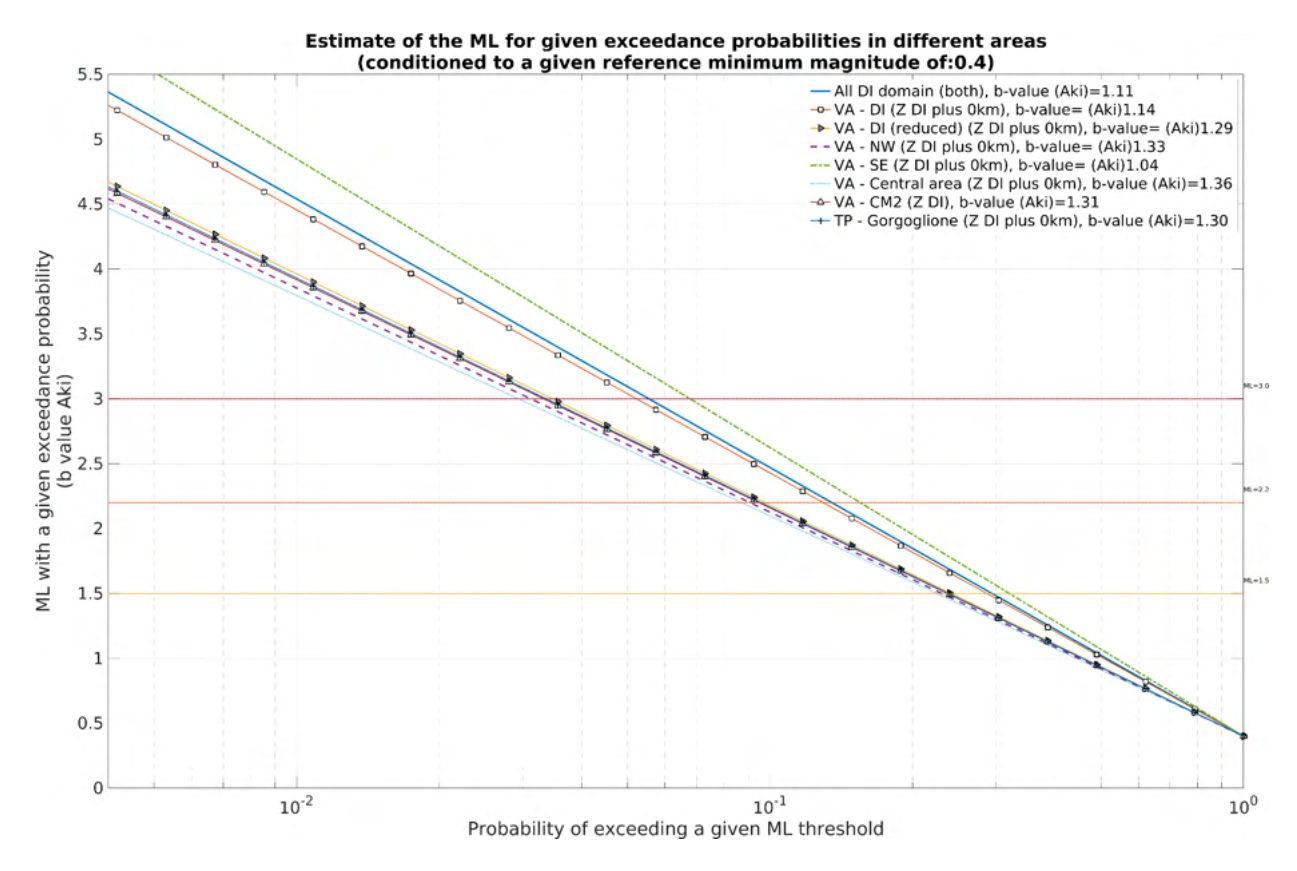
I domini/sottodomini considerati in questa analisi esplorativa sono in totale 8 (le mappe con le aree e la sismicità selezionata, e le analisi di completezza in ognuno di questi casi, si trovano nell'**Appendice D**):

- L' unione dei DI della Val d'Agri e di Gorgoglione ("all DI domain")
- DI della concessione Val d'Agri (VA DI)
- DI della concessione Gorgoglione (TP DI Gorgoglione)
- DI della concessione Val d'Agri "ridotto", i.e., DI senza l'area di CM2 e del cluster del Pertusillo (VA-DI reduced)
- Zona NW del DI della concessione Val d'Agri (VA NW)
- Zona SE del DI della concessione Val d'Agri, in particolare il cluster del Pertusillo (VA SE)
- Zona del cluster centrale del dominio della concessione Val d'Agri (VA Central area)
- Zona attorno al pozzo CM2 (VA CM2)



**Figura 5.1.1** Tassi annuali di sismicità registrati nelle 8 aree identificate per questa analisi: curve empiriche ricavate dal catalogo registrato tra gennaio 2021 e marzo 2025 (~4 anni di dati). Mmin di riferimento per tutte le aree: 0.4.

Il secondo elemento da considerare per le diverse aree individuate sono le possibili differenze nella distribuzione frequenza-magnitudo degli eventi sismici. La qualità della stima dei parametri della relazione freguenza-magnitudo (i.e., i parametri **a** e **b** della relazione di Gutenberg-Richter, **GR**) dipende fortemente dal numero di dati disponibili, perciò nelle aree ad alti tassi di sismicità (e.g., zona del Pertusillo, CM2) le incertezze sono minori rispetto ad altre aree con minori tassi di sismicità (ad esempio zona NW del DI - VA oppure il DI di Gorgoglione). Per valutare la dipendenza di gueste stime dal numero di eventi disponibili in ogni zona, i dati sono stati selezionati considerando un buffer di circa 1 - 2 km attorno ai limiti dei DI (per tener conto delle incertezze orizzontali nella localizzazione degli eventi); inoltre, sono stati presi in considerazione diversi limiti massimi di profondità, partendo dalla profondità definita per il DI e aggiungendo 1 km alla volta fino ad arrivare alla profondità del DE (quindi +5 km dalla profondità del DI). In questo rapporto si mostrano preventivamente i risultati preliminari considerando la profondità del DI (quindi  $Z_{DI}$  + 0 km) ed il caso  $Z_{DI}$  + 1 km. La **Figura 5.1.2** mostra, per ognuno degli 8 domini/sottodomini considerati, data l'occorrenza di un evento sismico con magnitudo maggiore o uguale alla M<sub>min</sub> selezionata (0.4), la probabilità di superamento di determinati valori di MLbj considerando la distribuzione in frequenza-magnitudo degli eventi (la M<sub>min</sub> corrisponde alla magnitudo di completezza più alta tra quelle stimate in tutti i sottodomini; per dettagli vedere l'**Appendice D**). Le differenze in queste curve dipendono fondamentalmente dalle differenze nel parametro **b** della GR (i valori sono riportati nella legenda della figura). Come si può vedere, a parità di magnitudo (per M>>  $M_{min}$ ), le curve relative a valori di  $\boldsymbol{b}$  più basso mostrano una maggiore probabilità di accadimento degli eventi; inoltre, la frequenza relativa di eventi "piccoli " (e.g., M<1) rispetto a quelli più grandi è maggiore nelle aree con valore di **b** maggiore.

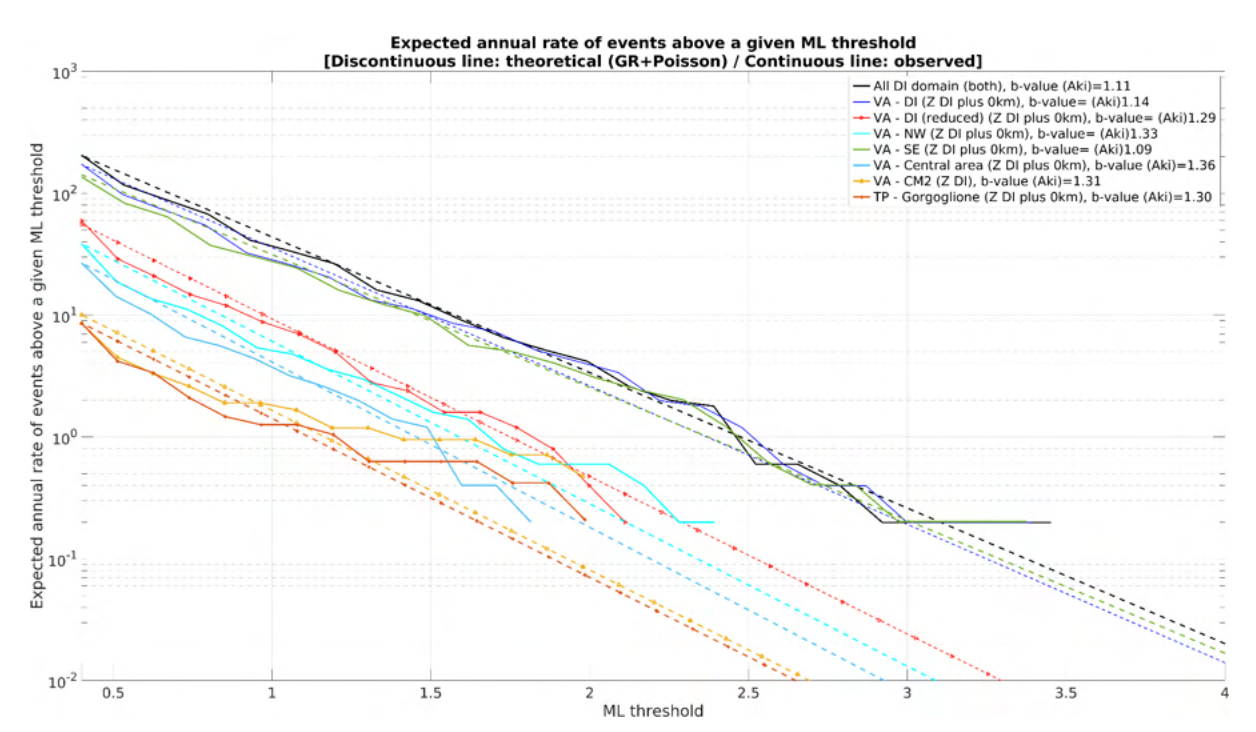


**Figura 5.1.2** Data l'occorrenza di un evento sismico con magnitudo maggiore o uguale alla  $M_{min}$  selezionata (0.4), stima della probabilità di superamento di un determinato valore di MLbj considerando la distribuzione Gutenberg-Richter delle magnitudo degli eventi nei diversi domini/sottodomini considerati nelle analisi. I valori di soglia di magnitudo di riferimento degli ILG sono riportati per confronto come linee orizzontali colorate: giallo arancione e rosso per le soglie che determinano il passaggio di livello di attenzione al medesimo colore nel TLS.

Infine per poter stimare la probabilità che in un dato intervallo di tempo (dt) si possa verificare un evento con magnitudo maggiore o uguale a un valore di soglia definito, possiamo combinare i tassi di sismicità stimati per le diverse aree con le distribuzioni di GR relative. Il modello più semplice per analizzare i tassi di sismicità nel dominio del tempo è il processo di Poisson, che implica l'assunzione sia di indipendenza degli eventi (quindi trascurando qualsiasi processi di innesco/interazione tra eventi), sia di stazionarietà (quindi il numero di eventi in un intervallo di tempo dipende solo dalla lunghezza dell'intervallo e non dalla loro posizione nel tempo); quest'ultima assunzione è di particolare interesse specialmente nei casi nei quali la sismicità mostra tendenza a clusterizzare nel tempo, come ad esempio nel DR di CM2, dove altra tipologia di modelli (e.g., dipendenti dal tempo) possono essere più adequati.

Tenendo presente queste assunzioni (e le rispettive limitazioni), in questa analisi iniziale abbiamo calcolato i tassi annuali teorici di sismicità maggiore o uguali di una certa magnitudo per ogni area combinando le distribuzioni di GR con i diversi processi di Poisson ottenuti dai tassi di sismicità stimati

per ognuna delle 8 aree. Riportiamo in **Figura 5.1.3** il confronto tra i valori osservati di **Figura 5.1.1** (linee continue) e i valori teorici così calcolati (linee tratteggiate).

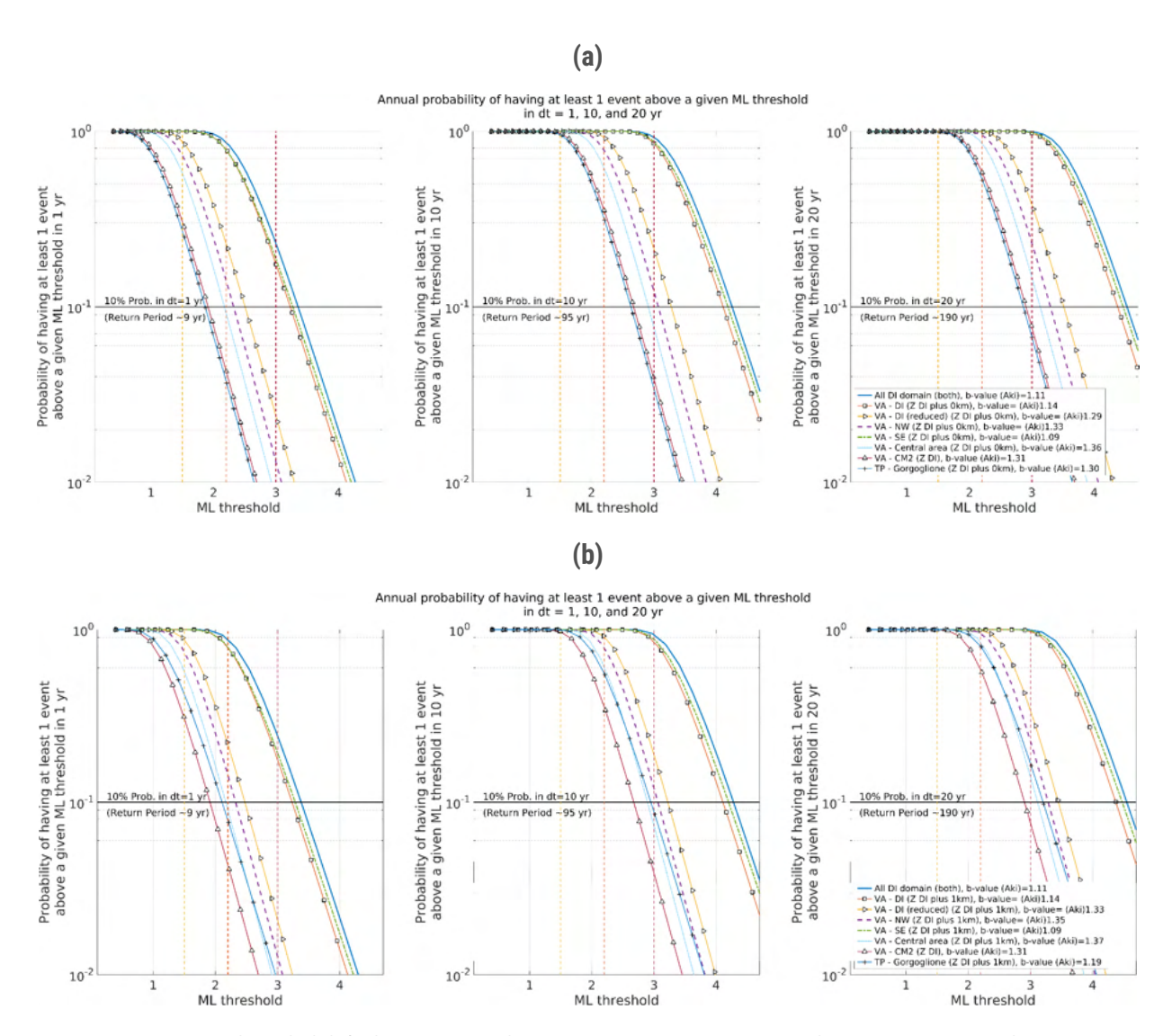


**Figura 5.1.3** Ratei annui attesi di eventi sopra determinate soglie di magnitudo. Le linee continue mostrano i valori empirici calcolati dal catalogo, mentre le linee tratteggiate i valori teorici attesi usando il modello di Poisson + GR.

Come si può vedere, prendendo insieme tutta la sismicità dei DI (linee nere e blu scuro), i ratei di sismicità sono ampiamente dominati dall'attività nella zona SE (i.e., la zona dei Monte della Maddalena a sud del Pertusillo, linee verdi); questi 3 casi si staccando da tutti gli altri, che quindi corrispondono grosso modo a un'analisi di dettaglio delle aree selezionate. Un'altra osservazione interessante è l'accordo tra i tassi teorici e quelli osservati in quasi tutte le aree, ad eccezione principalmente delle zona del CM2 e di Gorgoglione, dove il numero di eventi osservati sopra una MLbj di ~1.4 è leggermente superiore al numero di eventi atteso dal modello Poisson + GR. Nel caso della sismicità in CM2, questa deviazione è dovuta sia alla tendenza della sismicità a presentarsi in *clusters* nel dominio del tempo (quindi allontanandosi da un processo Poissoniano casuale), sia alla deviazione della relazione frequenza-magnitudo da quello della GR (influenzata dagli ultimi 3 eventi di ML>1.5). Dalle curve teoriche in **Figura 5.1.3** è possibile, ad esempio, stimare i valori di magnitudo per i quali ci si può aspettare di osservare almeno 1 evento all'anno in ognuna delle zone considerate (l'intersezione delle diverse curve con il tasso annuo di 10° (=1) eventi), e confrontarlo con il numero effettivamente osservato in circa 4 anni di monitoraggio.

Assumendo l'adeguatezza del modello di Poisson + GR per descrivere l'andamento della sismicità nelle zone analizzate (sottolineando che non sempre è il modello migliore, come ad esempio nel caso della sismicità clusterizzata del DR), è possibile calcolare curve di probabilità di superamento di determinate

soglie di magnitudo in diversi intervalli di tempo di esposizione (dt). Il risultato di questa analisi è presentato nella **Figura 5.1.4**, dove si mostrano, per ognuno dei domini/sottodomini considerati in questa analisi, le curve di probabilità di osservare almeno 1 evento sismico in 3 diversi tempi di esposizione presi ad esempio, ovvero dt=1, 10, e 20 anni (**Figura 5.1.4a** considerando eventi fino alla profondità del DI, e **Figura 5.1.4b** considerando eventi con profondità fino alla profondità del DI + 1 km).



**Figura 5.1.4** Curve di probabilità di osservare almeno 1 evento sismico in un determinato tempo di esposizione (dt=1, 10, e 20 anni, da sinistra a destra) per le diverse aree considerate in questa analisi, tenendo conto della sismicità in profondità (a) fino alla profondità del DI, e (b) profondità del DI + 1km (ad eccezione del DR). La linea orizzontale indica, ad esempio, i valori di ML con probabilità di superamento del 10% in dt (dt=1, 10, e 20 anni), e il corrispondente periodo di ritorno  $T = \sim 9$ ,  $\sim 95$ , e  $\sim 190$  anni.

La linea orizzontale in **Figura 5.1.4** mette in evidenza, nei punti dove interseca le curve di probabilità, i valori di ML con probabilità di superamento del 10% per le diverse finestre temporali di esposizione

corrispondente, approssimativamente, ad eventi con un *periodo di ritorno* T = ~9, ~95, e ~190 anni, rispettivamente. Infine, è importante sottolineare che questo primo tentativo di analisi assume che sia il modello di Poisson, sia la distribuzione di Gutenberg-Richter siano modelli validi per la sismicità osservata; tuttavia, in alcuni casi, sono evidenti clustering temporali della sismicità e deviazioni dalla legge di GR. È importante sottolineare che le analisi presentate in questo capitolo sono state replicate utilizzando un catalogo disponibile dal 2001 messo a disposizione da ENI, ed i risultati ottenuti sono in generale compatibili con i risultati presentati in questo rapporto. Saranno comunque necessarie analisi più dettagliate per tenere adeguatamente conto di queste caratteristiche (ad esempio, l'utilizzo di metodi di declustering, l'implementazione di modelli non-stazionari, e la verifica di modelli alternativi di distribuzione frequenza-magnitudo).

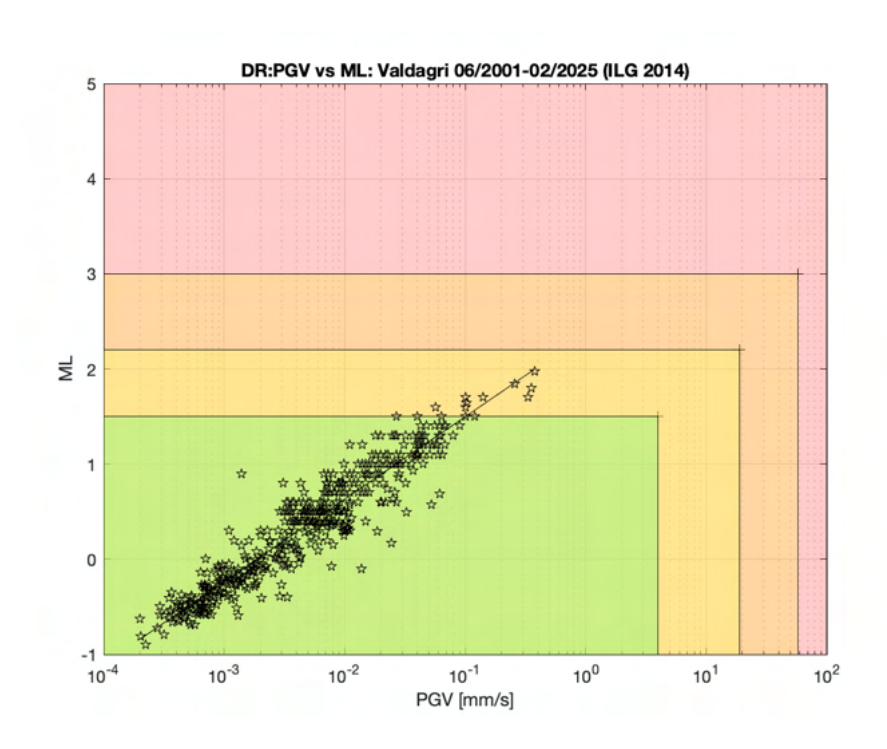
### 5.2 Considerazioni in merito ai valori di PGA e PGV misurati

Per quanto riguarda la sperimentazione del sistema a semaforo (TLS) proposto dagli ILG (Dialuce et al., 2014), si ritiene opportuno ribadire quanto già espresso nei report semestrali redatti nella fase di sperimentazione 2021/1 (Danesi et al., 2021) e 2022/1 (Braun et al., 2022): "Il sistema a semaforo TLS ha l'obiettivo di classificare ogni evento sismico localizzato secondo i seguenti parametri:

- l'ipocentro rispetto ai domini di monitoraggio DR, DI, DE
- la magnitudo (locale)
- PGV massima velocità del moto del suolo registrato
- PGA massima accelerazione del moto del suolo registrato

Mentre PGA e PGV sono misure fisiche, con rispettive unità di misura in %g (9.81 m/s²) e velocità (m/s), la magnitudo rappresenta un numero senza dimensione ed è soggetto ad una notevole incertezza, che dipende sia dalla formula applicata, sia dal numero e la qualità delle stazioni utilizzate."

Le **Figure 5.2.1-3 (5.2.4-6**) mostrano rispettivamente la magnitudo locale in funzione della PGV(PGA) per gli eventi localizzati in VA da ENI all'interno del dominio DR, DI e DE. Per tutti gli eventi sismici considerati, il parametro dirimente per il superamento dei livelli di allerta del sistema a semaforo è la sola magnitudo ML, mai la misura di PGV e PGA. Come già ribadito nel report finale della fase di monitoraggio sperimentale (Braun et al., 2022) la calibrazione dei valori di soglia del sistema a semaforo dovrebbe essere rivista congiuntamente per le 3 misure MI, PGA, PGV. La SPM suggerisce di considerare guesto importante risultato nella futura edizione degli ILG e o nel DGOM.



**Figura 5.2.1** La magnitudo locale in funzione della PGV per gli eventi localizzati in VA da ENI all'interno del dominio DR. Il parametro dirimente per il superamento dei livelli di allerta del sistema a semaforo è la magnitudo locale ML, mai la misura di PGV.

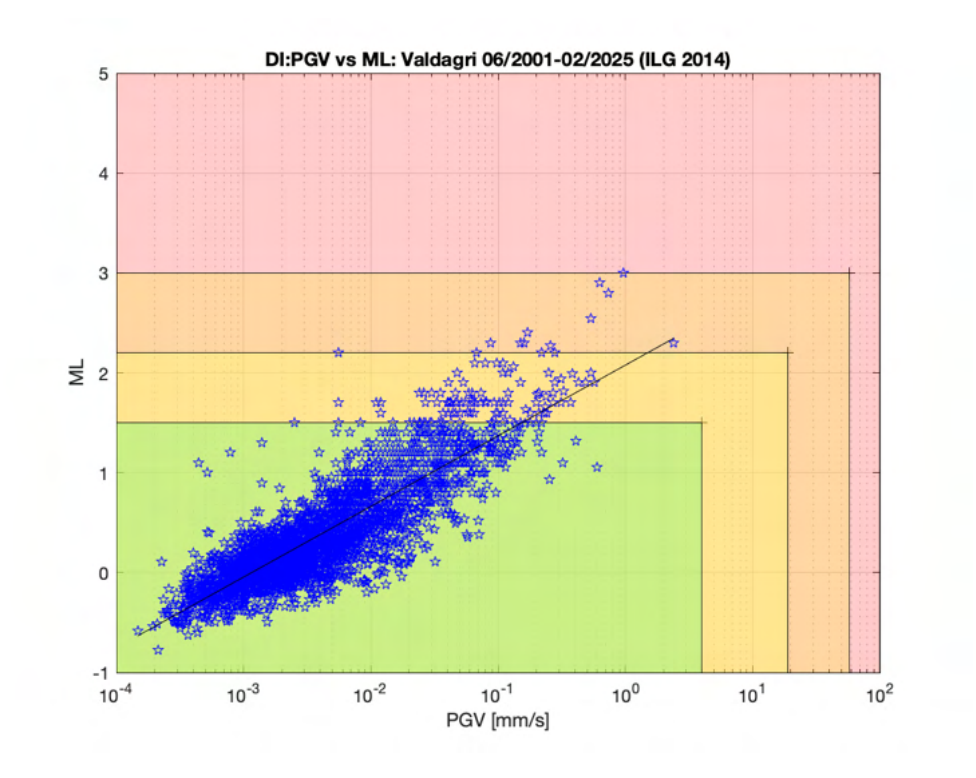


Figura 5.2.2 La magnitudo locale in funzione della PGV per gli eventi localizzati in VA da ENI all'interno del DI.

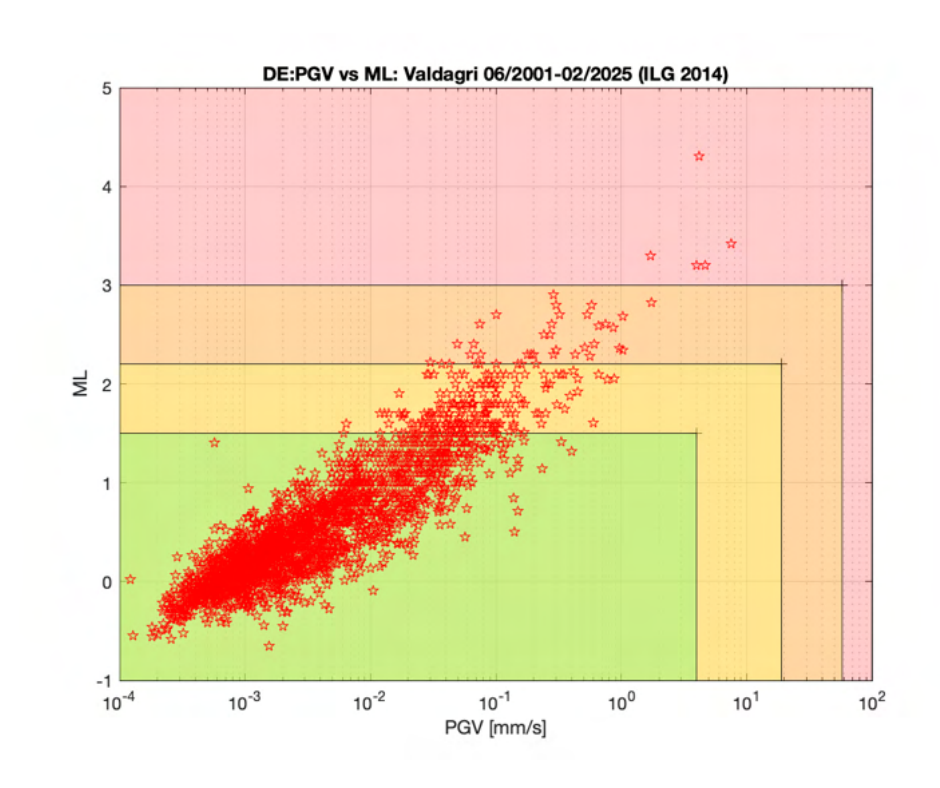
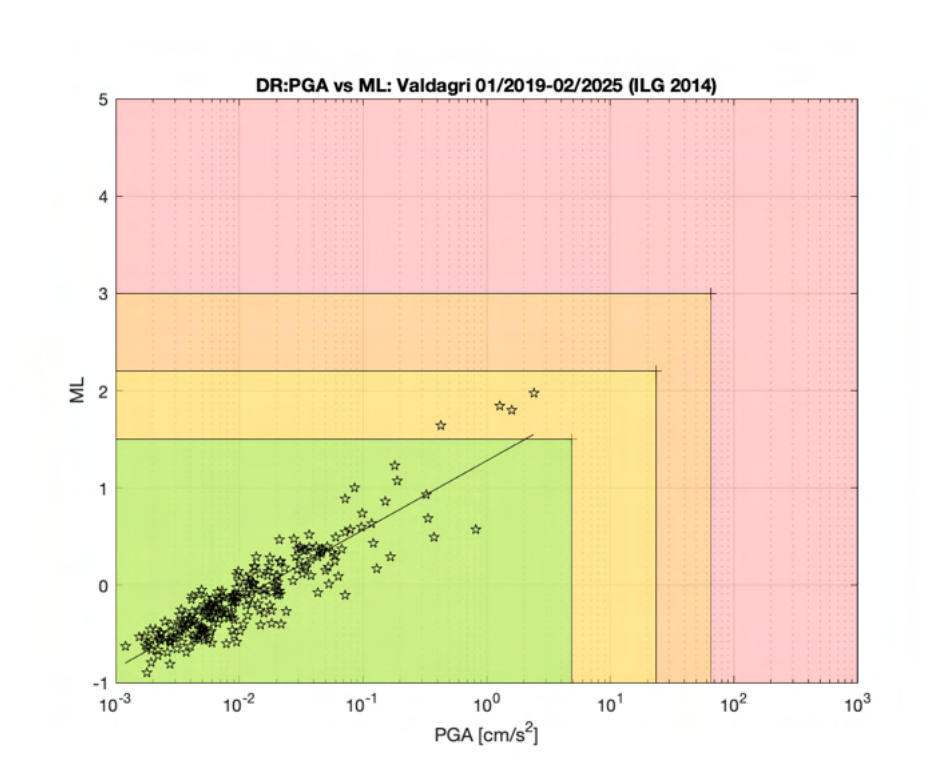


Figura 5.2.3 La magnitudo locale in funzione della PGV per gli eventi localizzati in VA da ENI all'interno del DE.



**Figura 5.2.4** La magnitudo locale in funzione della PGA per gli eventi localizzati in VA da ENI all'interno del dominio DR. Il parametro dirimente per il superamento dei livelli di allerta del sistema a semaforo è la magnitudo locale ML, mai la misura di PGA.

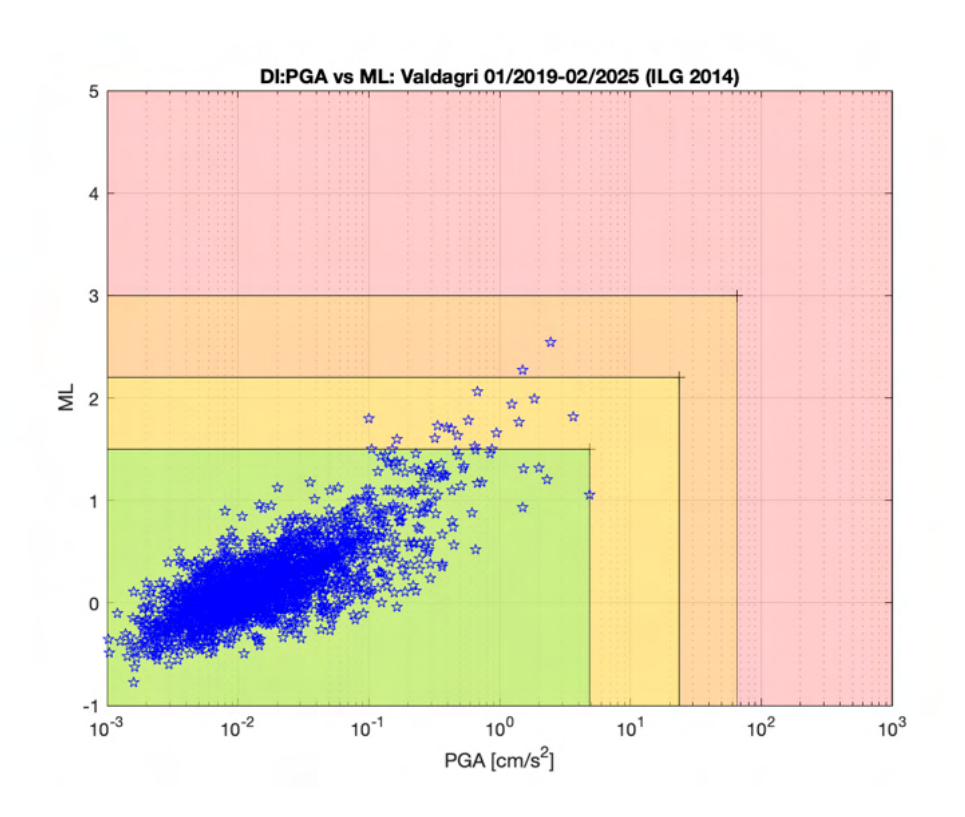


Figura 5.2.5 La magnitudo locale in funzione della PGA per gli eventi localizzati in VA da ENI all'interno del DI.

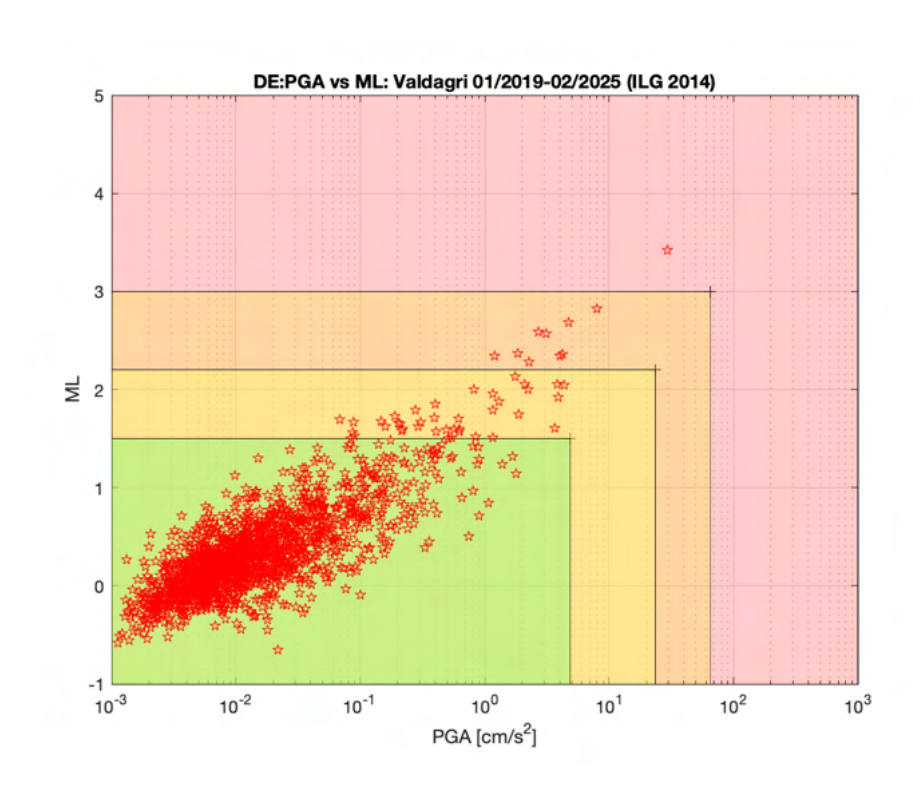


Figura 5.2.6 La magnitudo locale in funzione della PGA per gli eventi localizzati in VA da ENI all'interno del DE.

Appendice A: Bollettino di monitoraggio sismico (Val d'Agri e Gorgoglione)

A.1. Bollettino della sismicità localizzata nei diversi domini di Monitoraggio (tabelle allegate a fine documento):

### Val d'Agri

- > Allegato\_A\_VdA\_Dom\_DI\_DE\_Zmax\_8km\_from\_15-Oct-2024\_to\_15-Apr-2025\_allData
- > Allegato\_A\_VdA\_Dom\_DR\_Geom\_cylind\_Zmax\_8km\_from\_15-Oct-2024\_to\_15-Apr-2025\_allData

### Gorgoglione

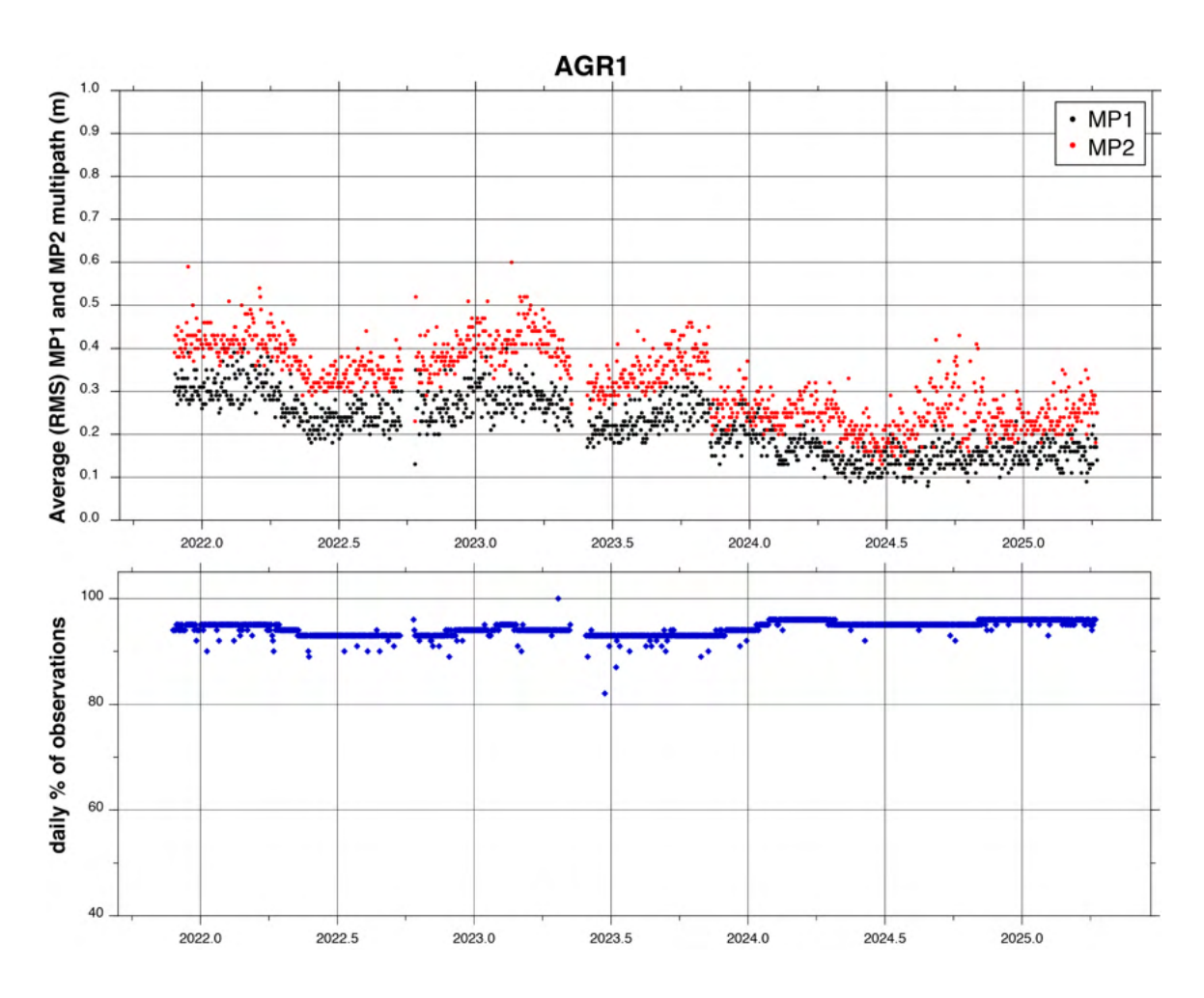
> Allegato\_A\_Gorgoglione\_Dom\_DI\_DE\_Zmax\_10km\_from\_15-Oct-2024\_to\_15-Apr-2025\_allData

# A.2. Descrizione del nome delle colonne nelle tabelle che contengono i bollettini di monitoraggio

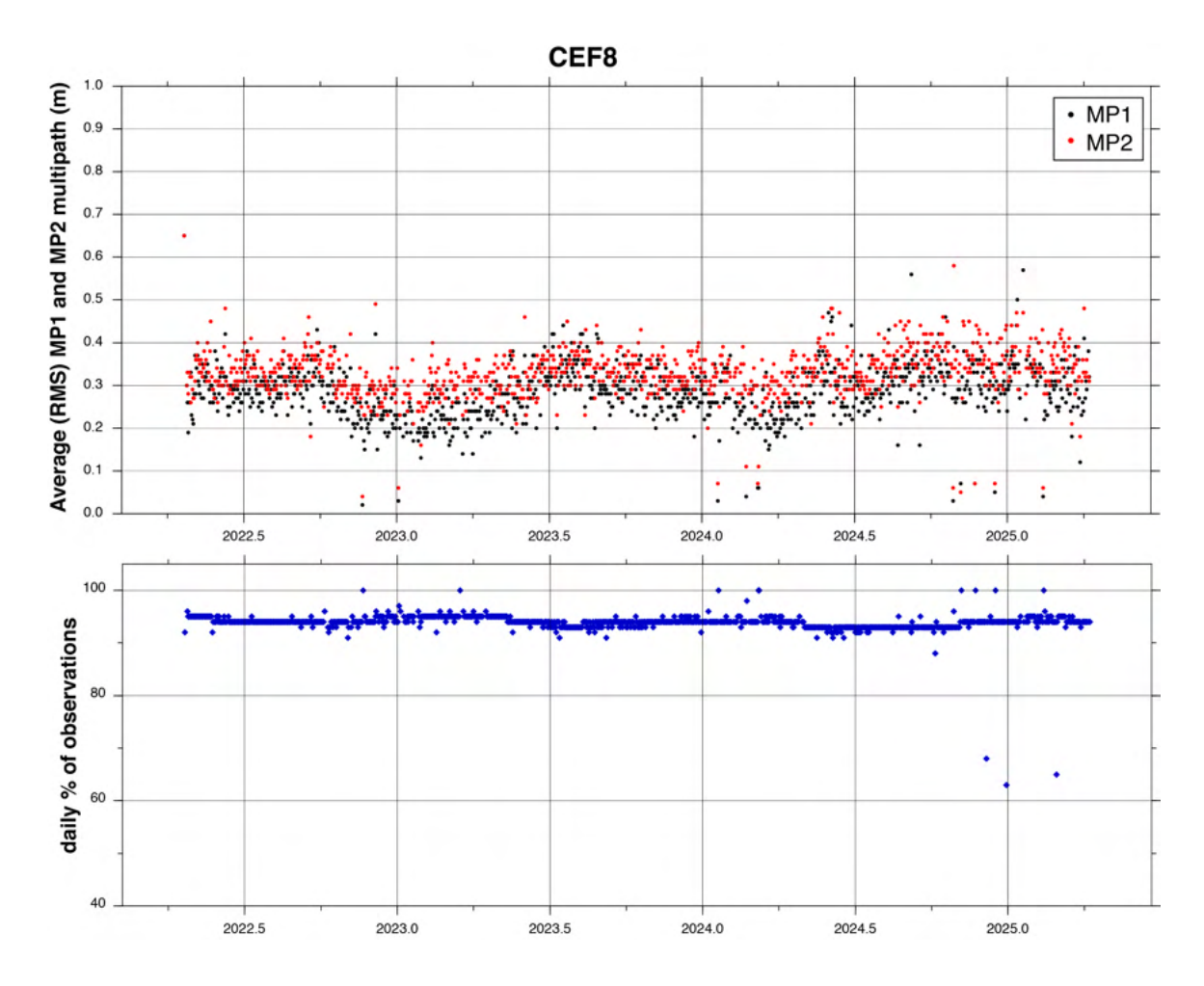
Nome Colonna	Descrizione
ID	ID dell'evento
Dominio_sel	Dominio nel quale ricade epicentralmente l'evento (DI/DE)
year	Anno (del tempo origine)
month	Mese (del tempo origine)
day	Giorno (del tempo origine)
hour	Ora (del tempo origine)
minute	Minuto (del tempo origine)
second	Secondo (del tempo origine)
Latitudine	Coordinate dell'evento (Latitudine)

Longitudine	Coordinate dell'evento (Longitudine)
Horiz_error	Errore orizzontale della soluzione (km)
MLbj	magnitudo locale (Bakun & Joyner, 1984)
Depth_km	Profondità dell'evento (km)
Depth_err	Errore della soluzione in profondità (km)
rms	(Root Mean Square) Radice Quadrata della Media dei Quadrati dei residui di tempo alle diverse stazioni
PGA_station	Nome della stazione nella quale è stata misurata la PGA (peak ground acceleration)
PGA_value	Valore della PGA
PGA_channel	Componente nella quale è stata misurata la PGA
PGV_station	Nome della stazione nella quale è stata misurata la PGV (peak ground velocity)
PGV_value	Valore della PGA (peak ground acceleration)
PGV_channel	Componente nella quale è stata misurata la PGA

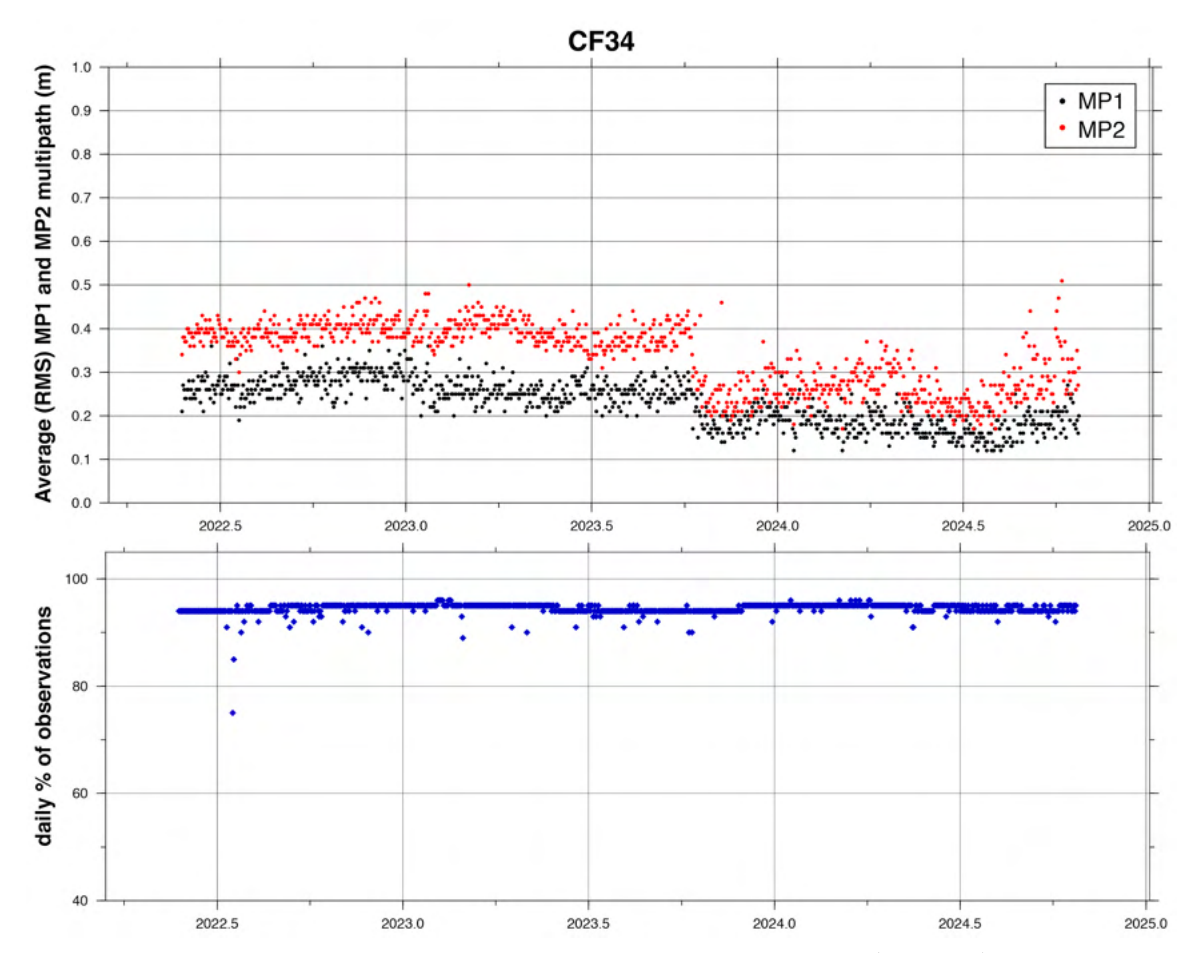
## Appendice B: Parametri di qualità per le stazioni delle reti GNSS



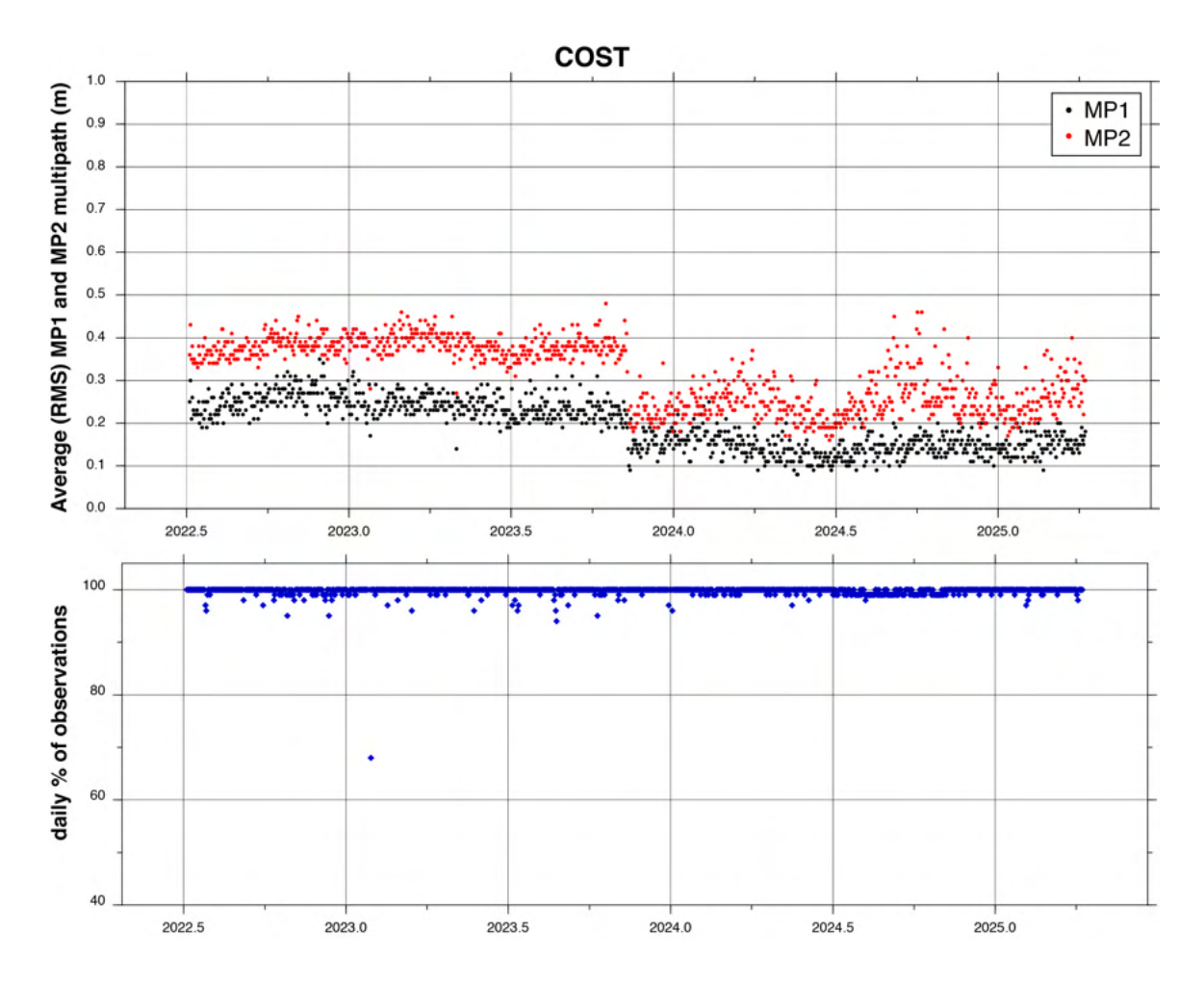
**Figura B1**: Analisi di qualità per ciascuna misura gionaliera della stazione AGR1 (Val d'Agri) in termini di valori di multipath MP1 in nero e MP2 in rosso (sopra), e di percentuale di osservazioni presenti nei RINEX giornalieri rispetto alle osservazioni attese nell'intervallo di tempo giornaliero di funzionamento effettivo (sotto).



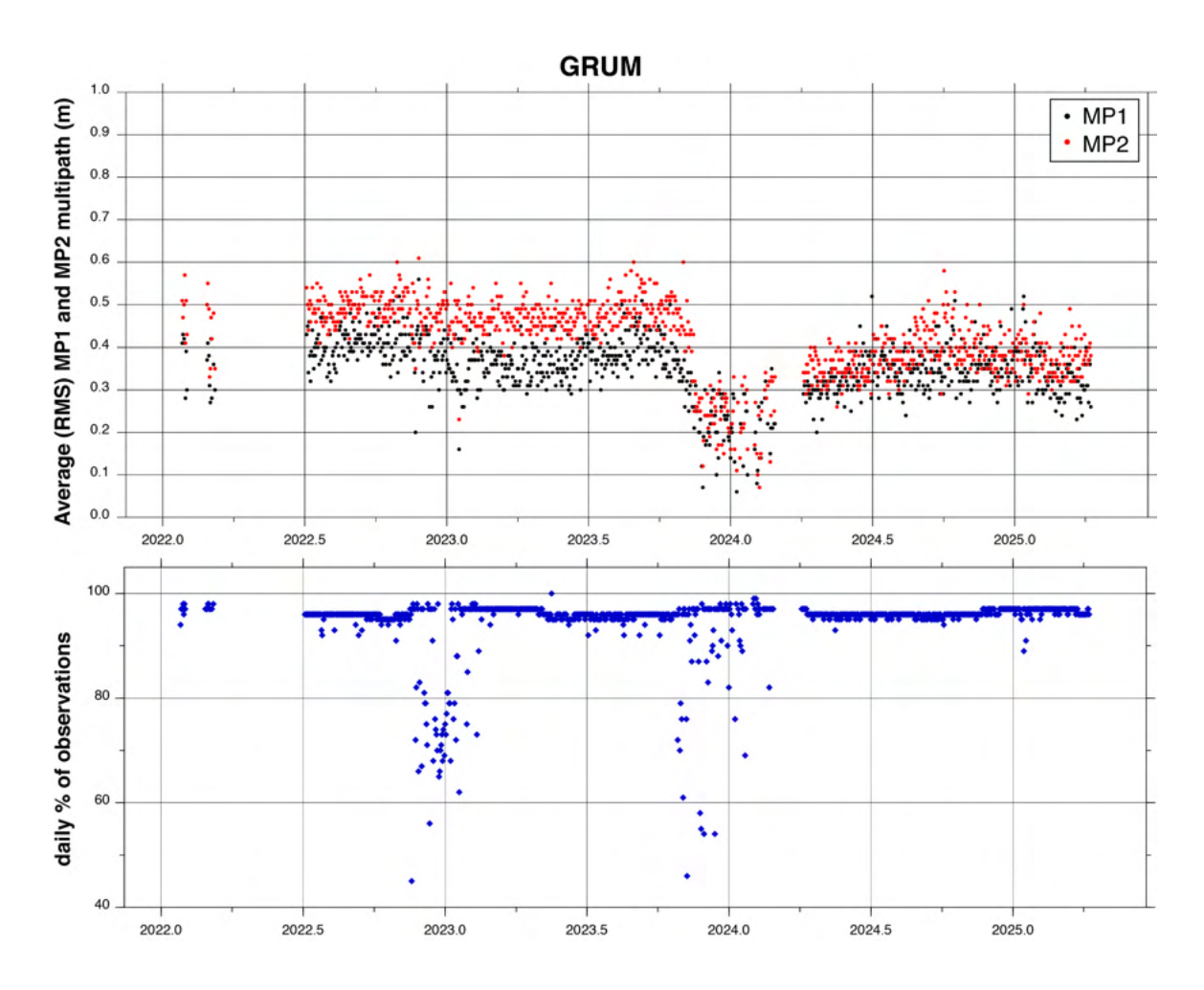
**Figura B2**: Analisi di qualità per ciascuna misura gionaliera della stazione CEF8 (Val d'Agri) in termini di valori di multipath MP1 in nero e MP2 in rosso (sopra), e di percentuale di osservazioni presenti nei RINEX giornalieri rispetto alle osservazioni attese nell'intervallo di tempo giornaliero di funzionamento effettivo (sotto).



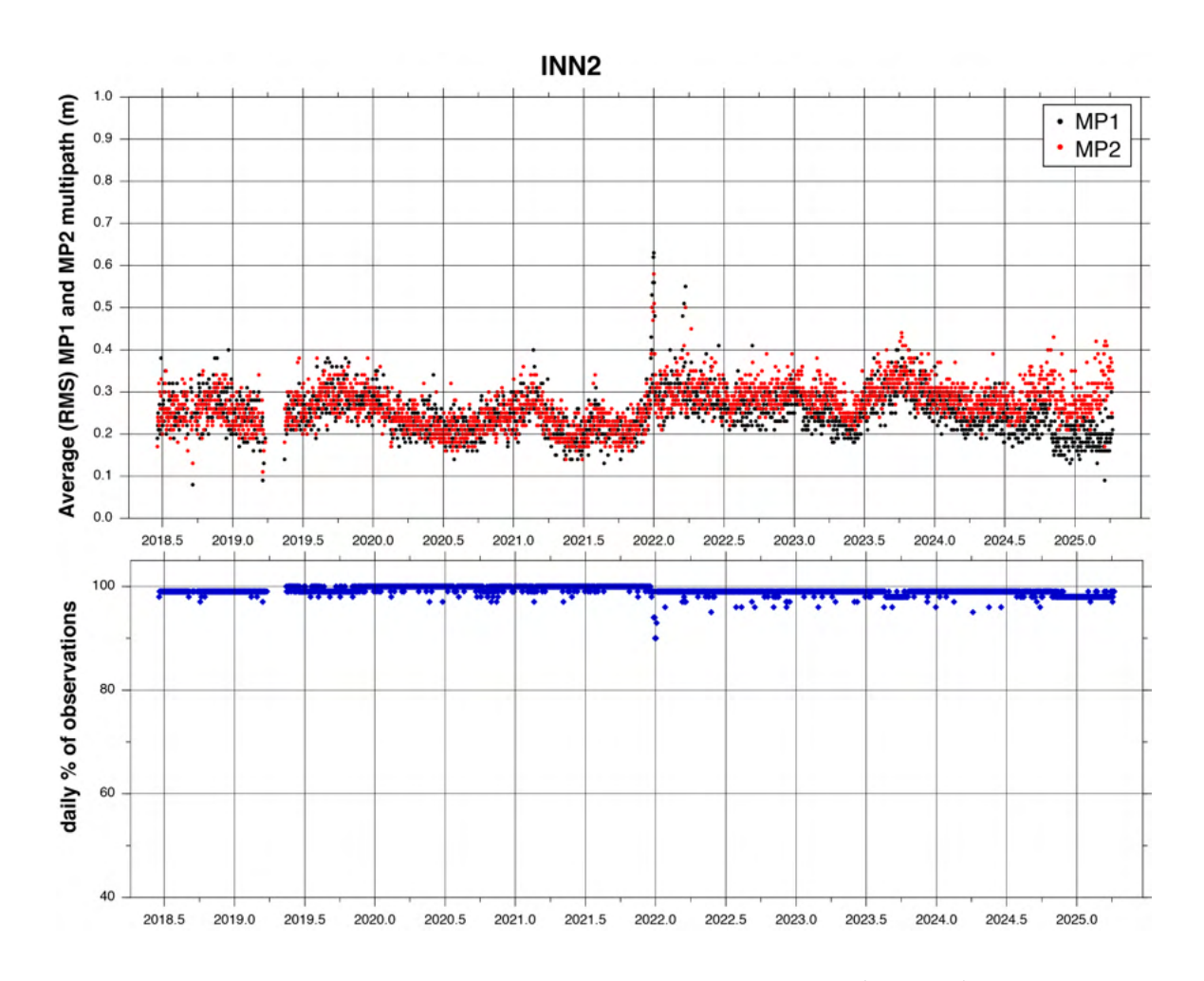
**Figura B3**: Analisi di qualità per ciascuna misura gionaliera della stazione CF34 (Val d'Agri) in termini di valori di multipath MP1 in nero e MP2 in rosso (sopra), e di percentuale di osservazioni presenti nei RINEX giornalieri rispetto alle osservazioni attese nell'intervallo di tempo giornaliero di funzionamento effettivo (sotto).



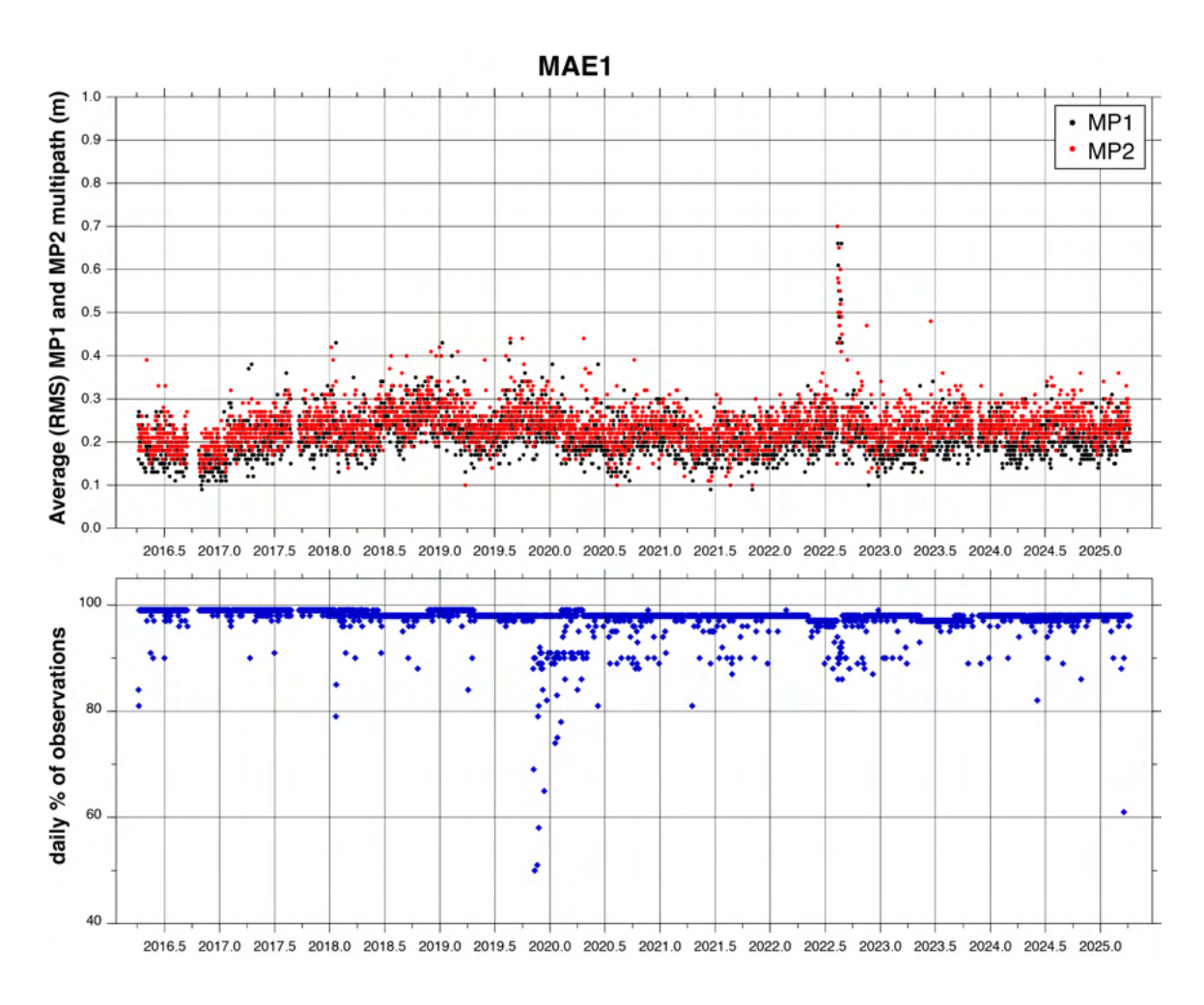
**Figura B4**: Analisi di qualità per ciascuna misura gionaliera della stazione COST (Val d'Agri) in termini di valori di multipath MP1 in nero e MP2 in rosso (sopra), e di percentuale di osservazioni presenti nei RINEX giornalieri rispetto alle osservazioni attese nell'intervallo di tempo giornaliero di funzionamento effettivo (sotto).



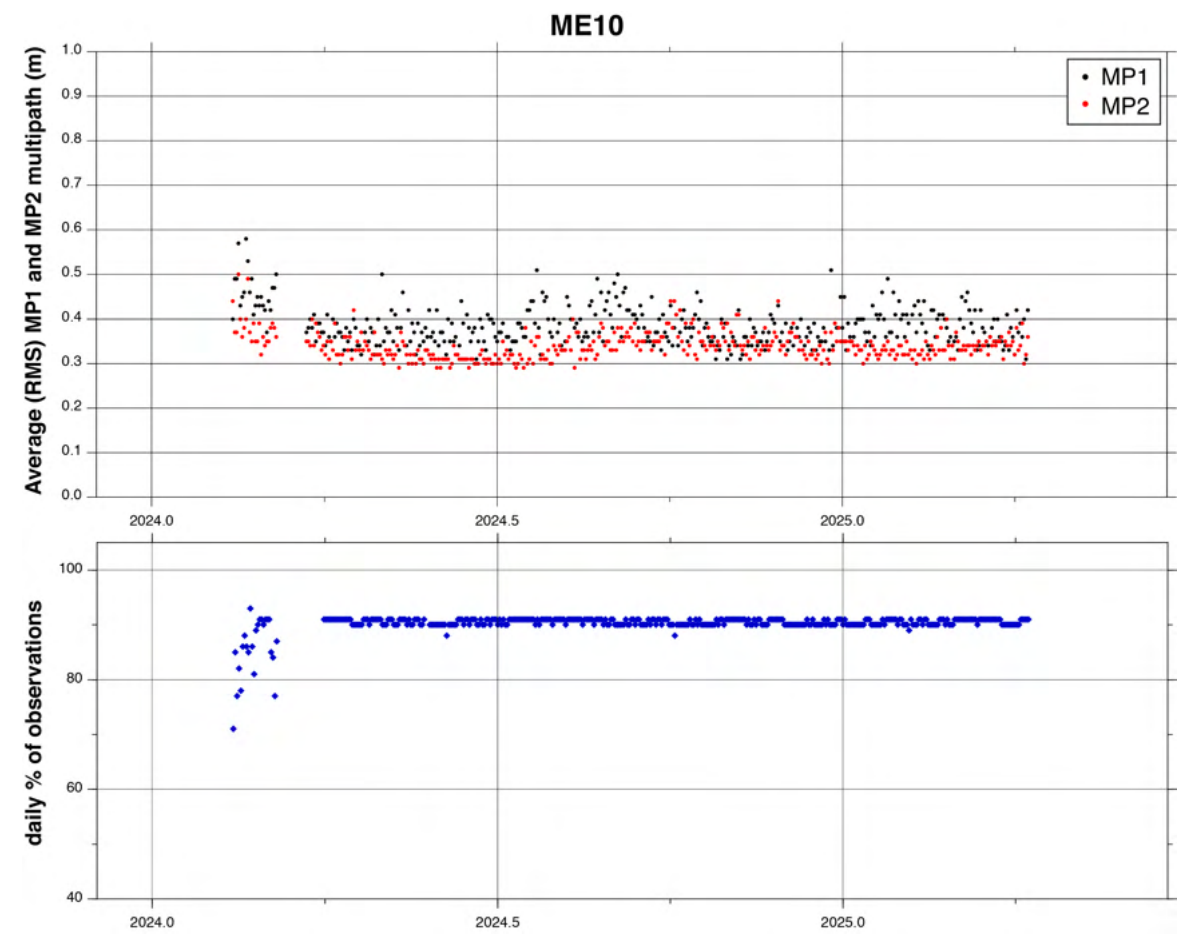
**Figura B5**: Analisi di qualità per ciascuna misura gionaliera della stazione GRUM (Val d'Agri) in termini di valori di multipath MP1 in nero e MP2 in rosso (sopra), e di percentuale di osservazioni presenti nei RINEX giornalieri rispetto alle osservazioni attese nell'intervallo di tempo giornaliero di funzionamento effettivo (sotto).



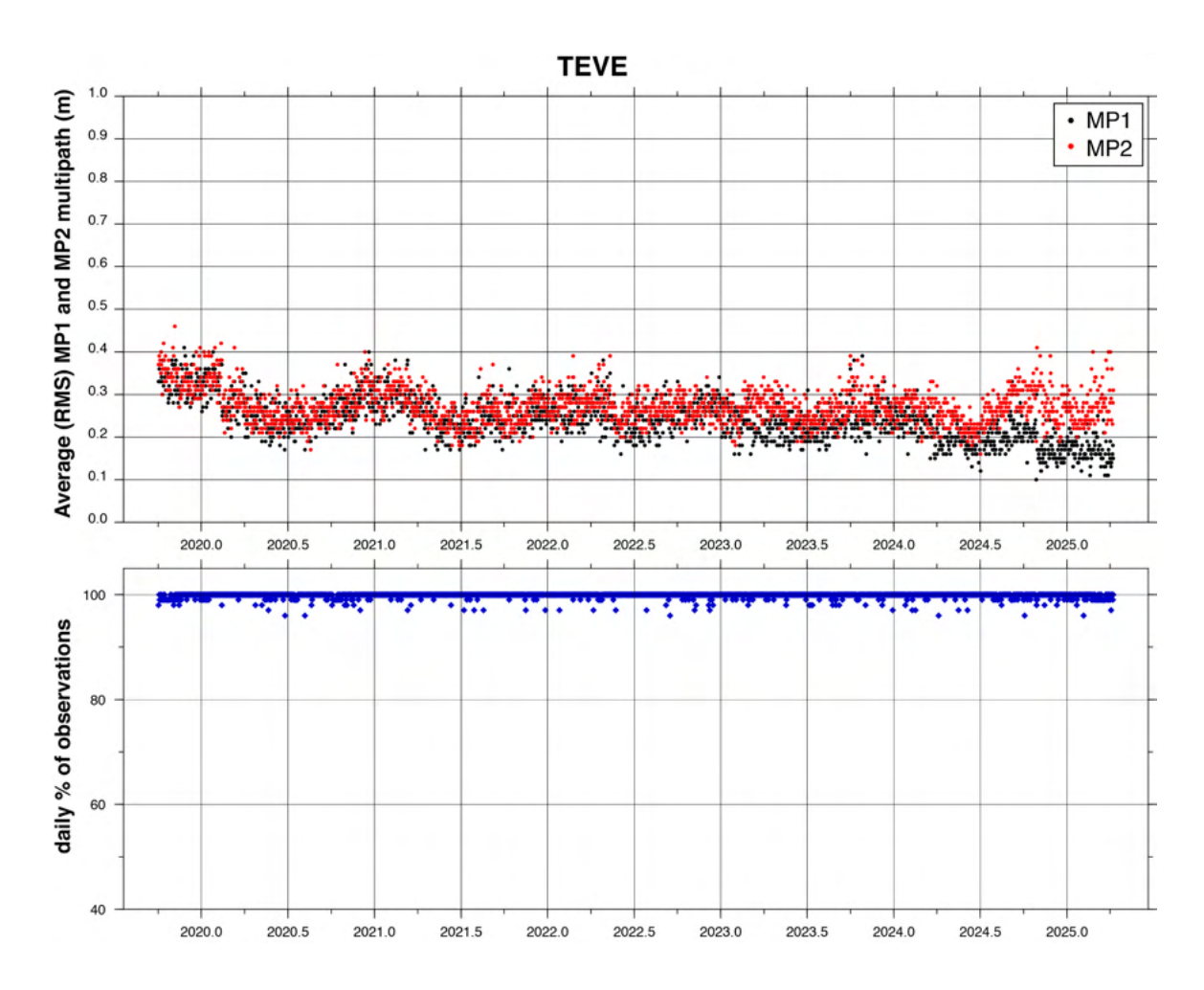
**Figura B6**: Analisi di qualità per ciascuna misura gionaliera della stazione INN2 (Val d'Agri) in termini di valori di multipath MP1 in nero e MP2 in rosso (sopra), e di percentuale di osservazioni presenti nei RINEX giornalieri rispetto alle osservazioni attese nell'intervallo di tempo giornaliero di funzionamento effettivo (sotto).



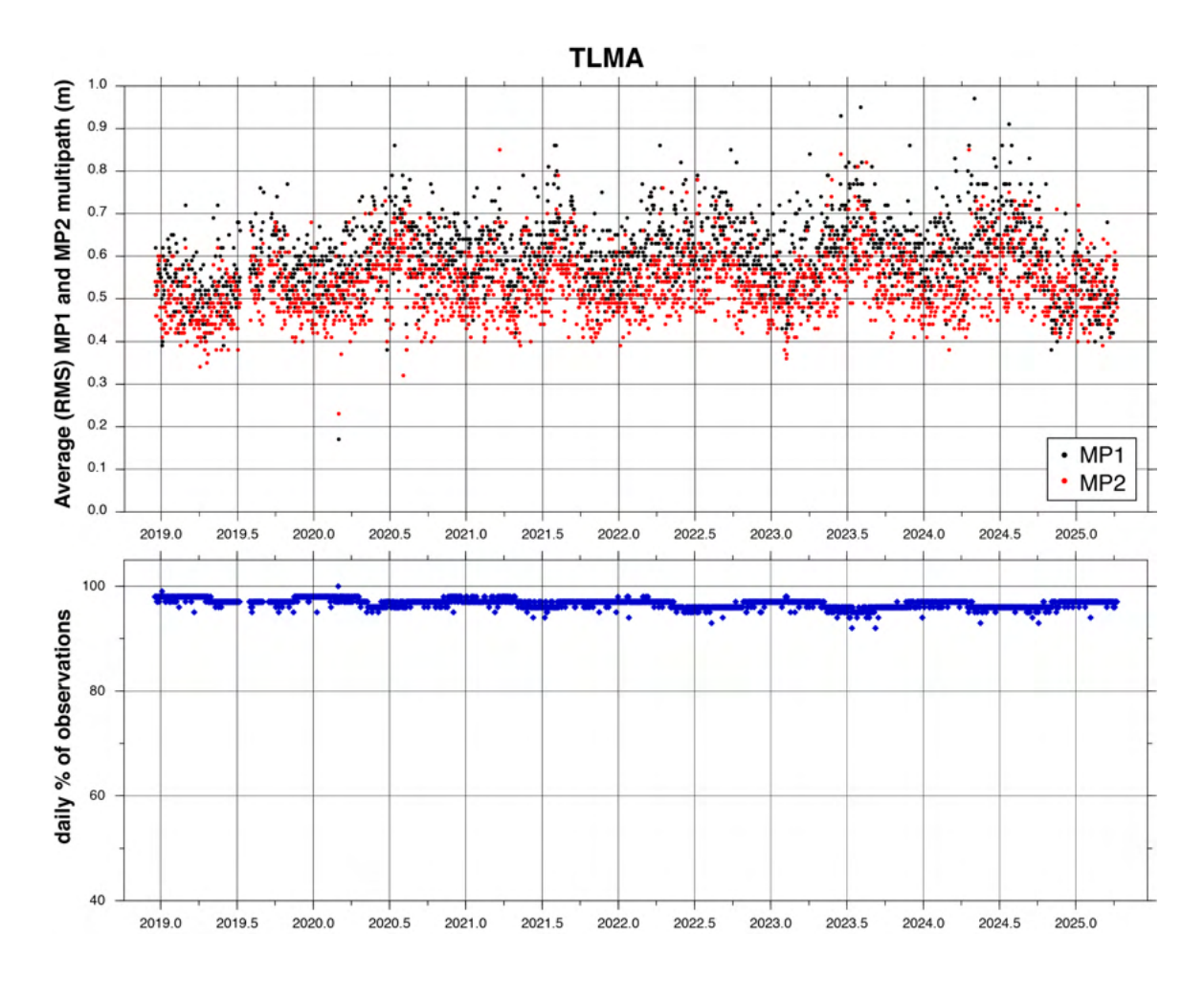
**Figura B7**: Analisi di qualità per ciascuna misura gionaliera della stazione MAE1 (Val d'Agri) in termini di valori di multipath MP1 in nero e MP2 in rosso (sopra), e di percentuale di osservazioni presenti nei RINEX giornalieri rispetto alle osservazioni attese nell'intervallo di tempo giornaliero di funzionamento effettivo (sotto).



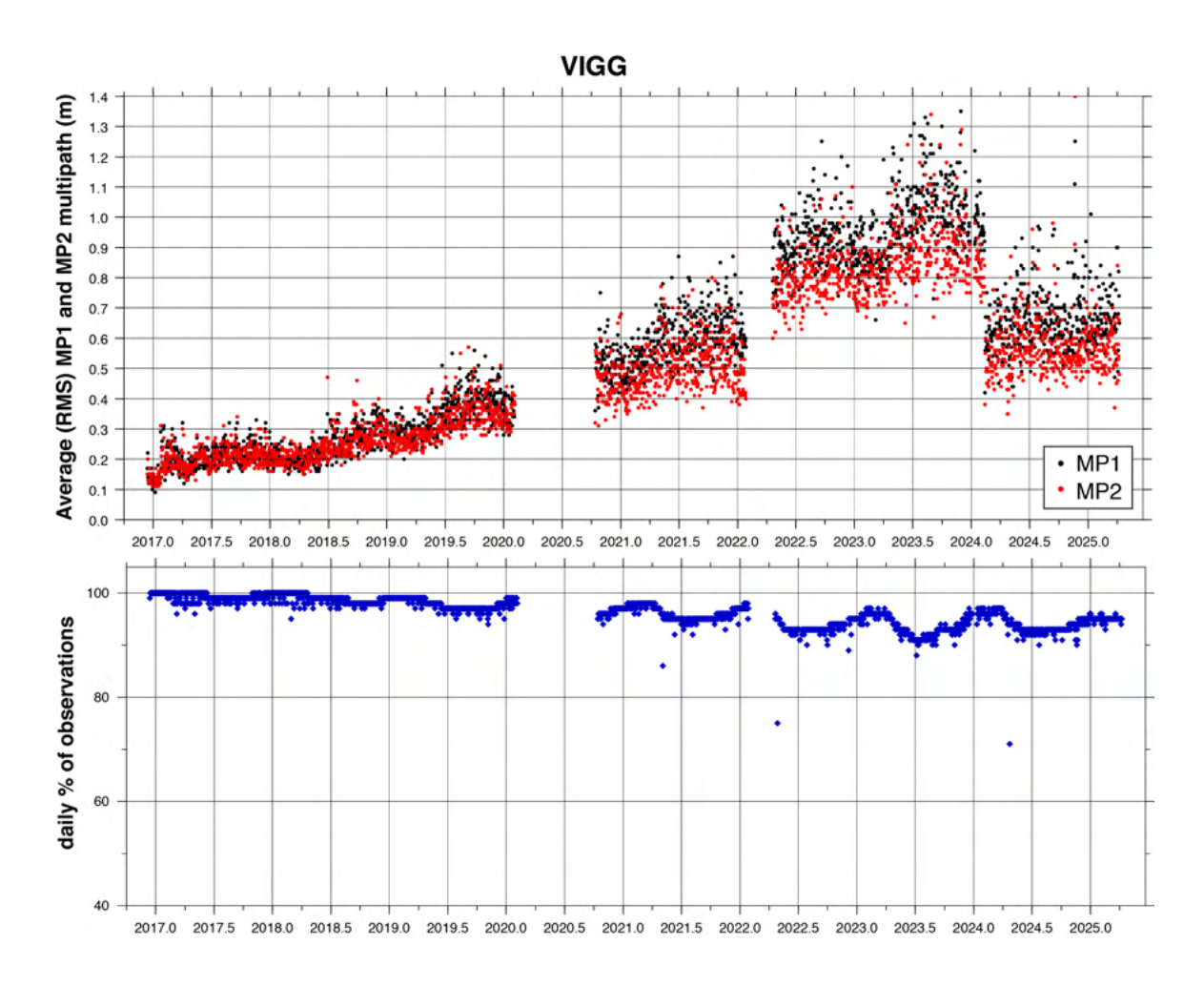
**Figura B8**: Analisi di qualità per ciascuna misura gionaliera della stazione ME10 (Val d'Agri) in termini di valori di multipath MP1 in nero e MP2 in rosso (sopra), e di percentuale di osservazioni presenti nei RINEX giornalieri rispetto alle osservazioni attese nell'intervallo di tempo giornaliero di funzionamento effettivo (sotto).



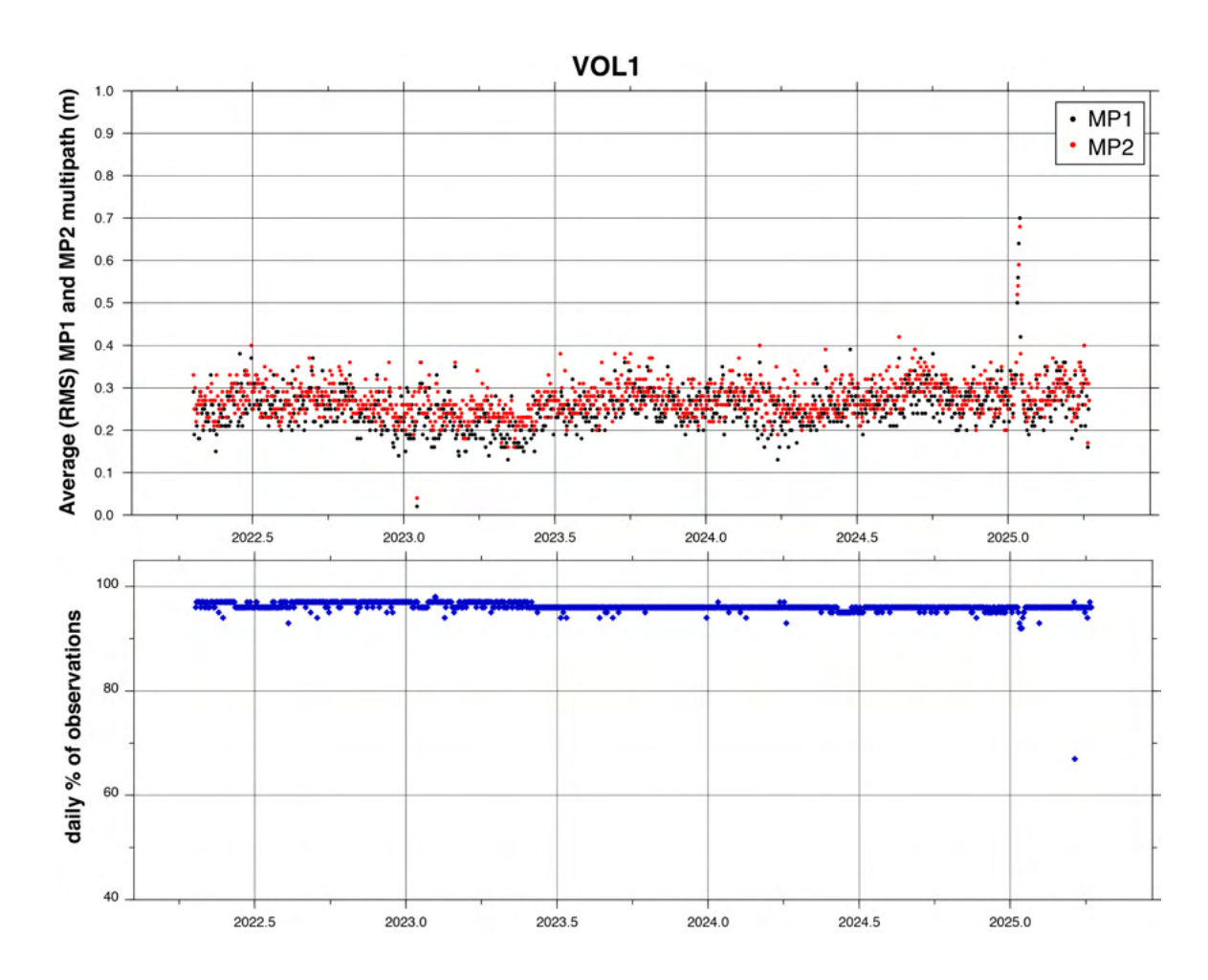
**Figura B9**: Analisi di qualità per ciascuna misura gionaliera della stazione TEVE (Val d'Agri) in termini di valori di multipath MP1 in nero e MP2 in rosso (sopra), e di percentuale di osservazioni presenti nei RINEX giornalieri rispetto alle osservazioni attese nell'intervallo di tempo giornaliero di funzionamento effettivo (sotto).



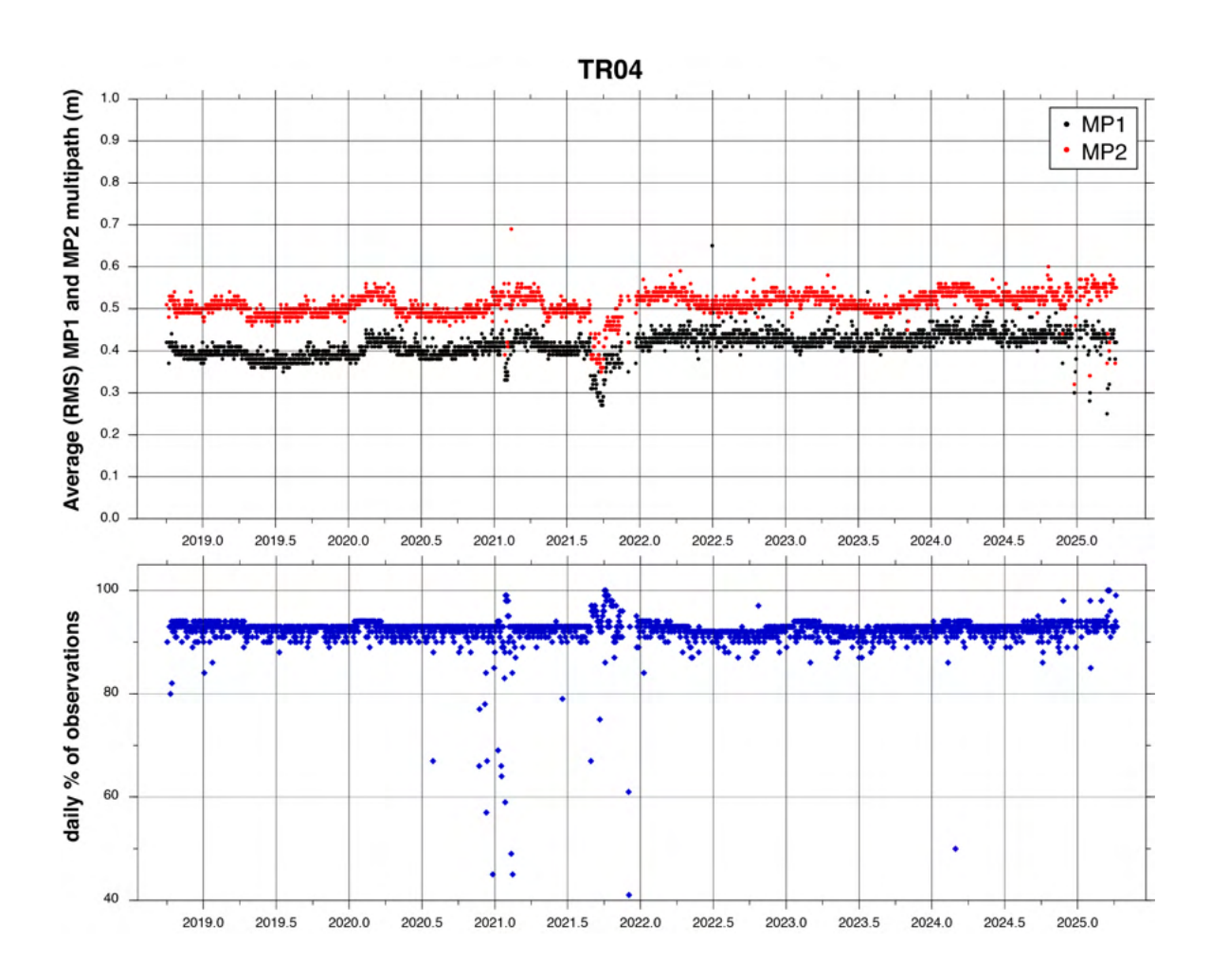
**Figura B10**: Analisi di qualità per ciascuna misura gionaliera della stazione TLMA (Val d'Agri) in termini di valori di multipath MP1 in nero e MP2 in rosso (sopra), e di percentuale di osservazioni presenti nei RINEX giornalieri rispetto alle osservazioni attese nell'intervallo di tempo giornaliero di funzionamento effettivo (sotto).



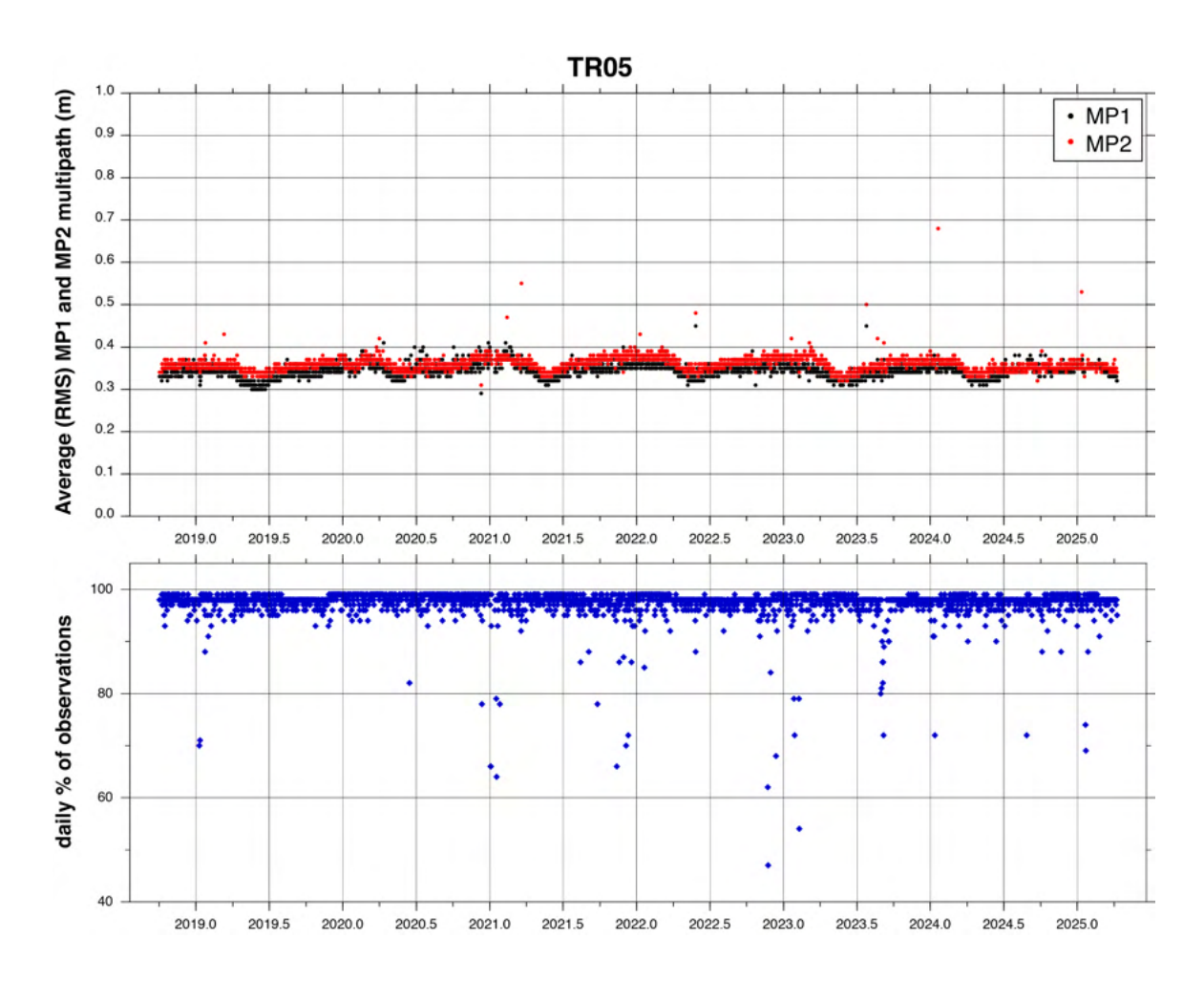
**Figura B11**: Analisi di qualità per ciascuna misura gionaliera della stazione VIGG (Val d'Agri) in termini di valori di multipath MP1 in nero e MP2 in rosso (sopra), e di percentuale di osservazioni presenti nei RINEX giornalieri rispetto alle osservazioni attese nell'intervallo di tempo giornaliero di funzionamento effettivo (sotto).



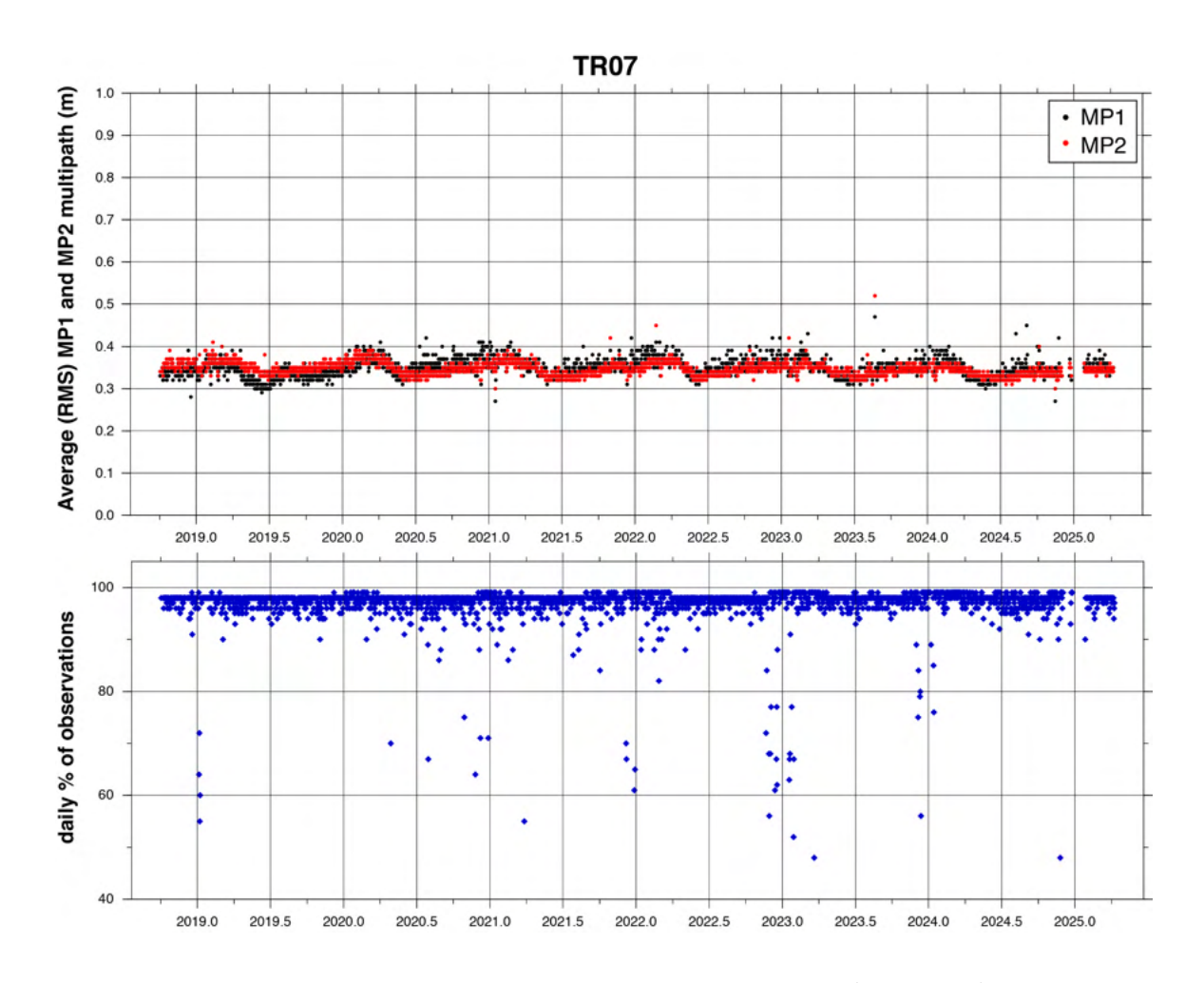
**Figura B12**: Analisi di qualità per ciascuna misura gionaliera della stazione VOL1 (Val d'Agri) in termini di valori di multipath MP1 in nero e MP2 in rosso (sopra), e di percentuale di osservazioni presenti nei RINEX giornalieri rispetto alle osservazioni attese nell'intervallo di tempo giornaliero di funzionamento effettivo (sotto).



**Figura B13**: Analisi di qualità per ciascuna misura gionaliera della stazione TR04 (Gorgoglione) in termini di valori di multipath MP1 in nero e MP2 in rosso (sopra), e di percentuale di osservazioni presenti nei RINEX giornalieri rispetto alle osservazioni attese nell'intervallo di tempo giornaliero di funzionamento effettivo (sotto).

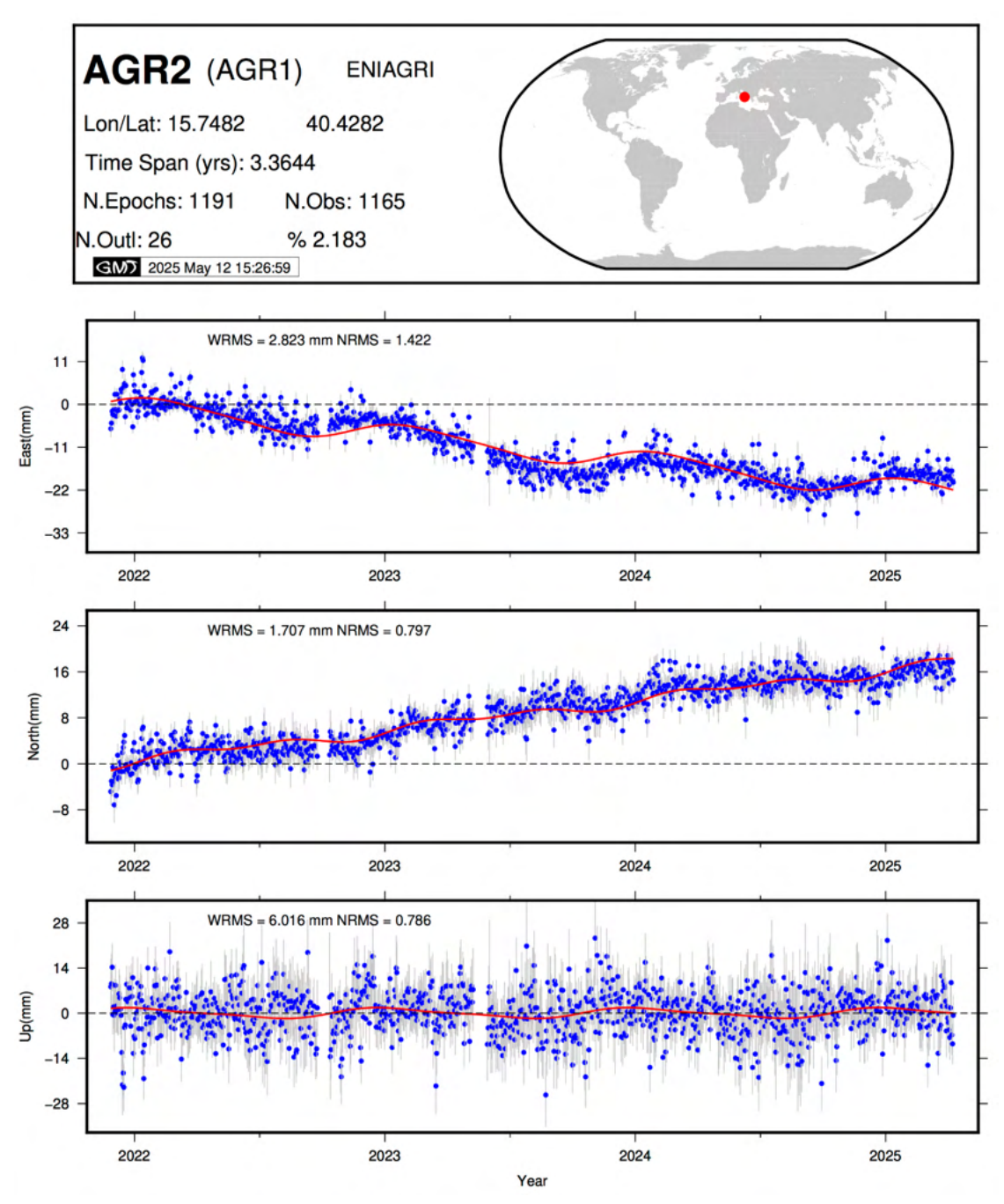


**Figura B14**: Analisi di qualità per ciascuna misura gionaliera della stazione TR05 (Gorgoglione) in termini di valori di multipath MP1 in nero e MP2 in rosso (sopra), e di percentuale di osservazioni presenti nei RINEX giornalieri rispetto alle osservazioni attese nell'intervallo di tempo giornaliero di funzionamento effettivo (sotto).

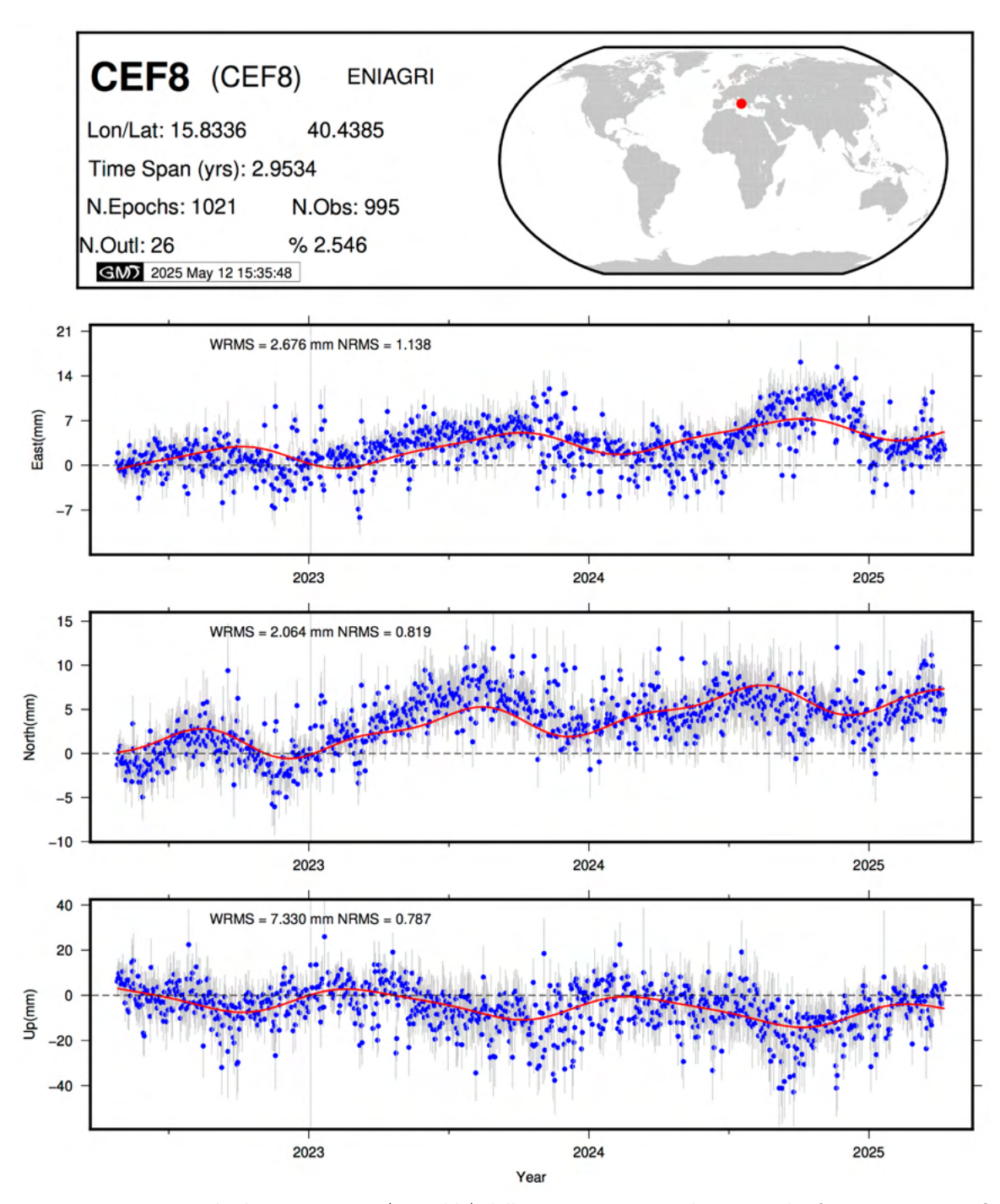


**Figura B15**: Analisi di qualità per ciascuna misura gionaliera della stazione TR07 (Gorgoglione) in termini di valori di multipath MP1 in nero e MP2 in rosso (sopra), e di percentuale di osservazioni presenti nei RINEX giornalieri rispetto alle osservazioni attese nell'intervallo di tempo giornaliero di funzionamento effettivo (sotto).

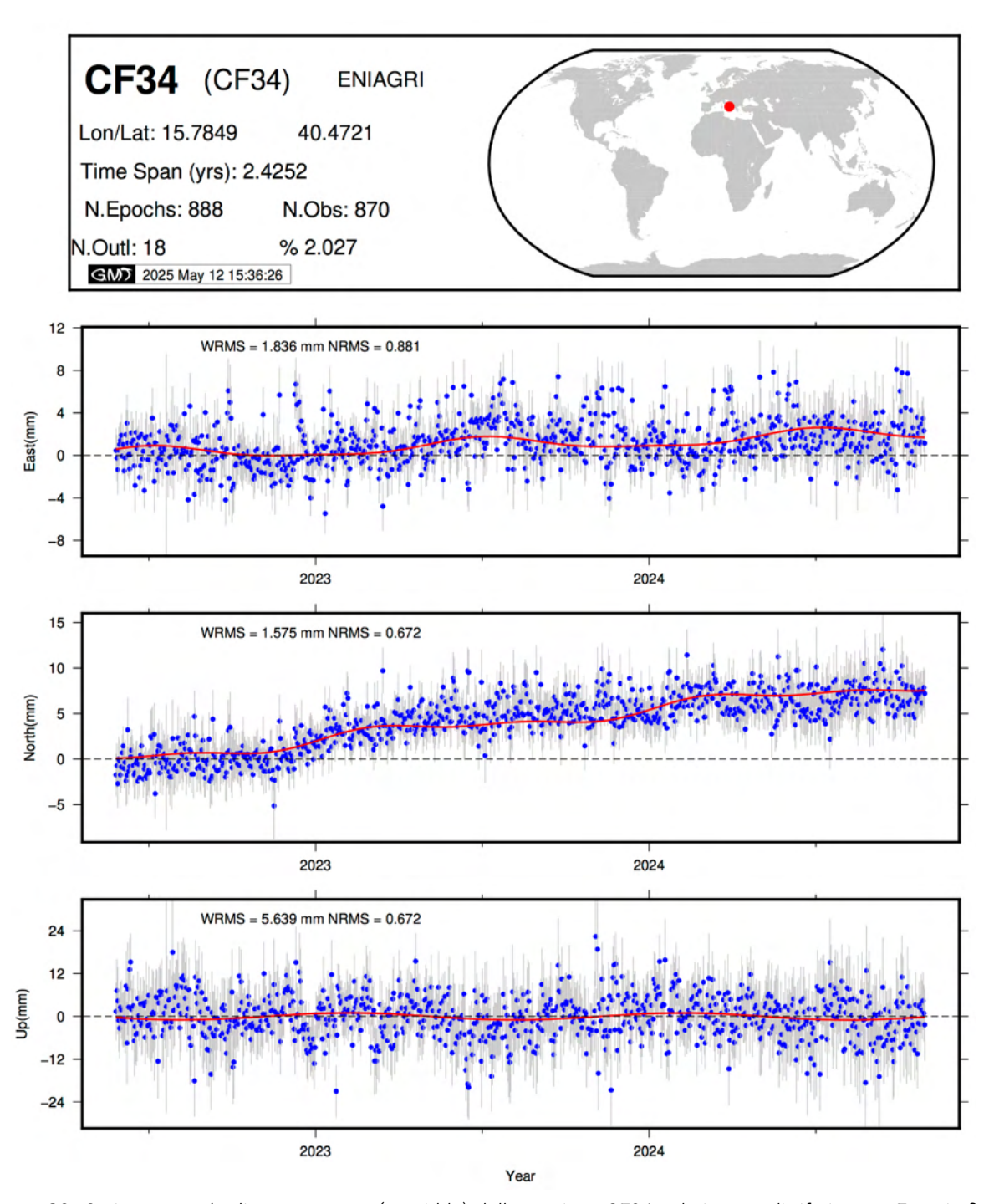
# Appendice C: Serie temporali di spostamento delle stazioni GNSS



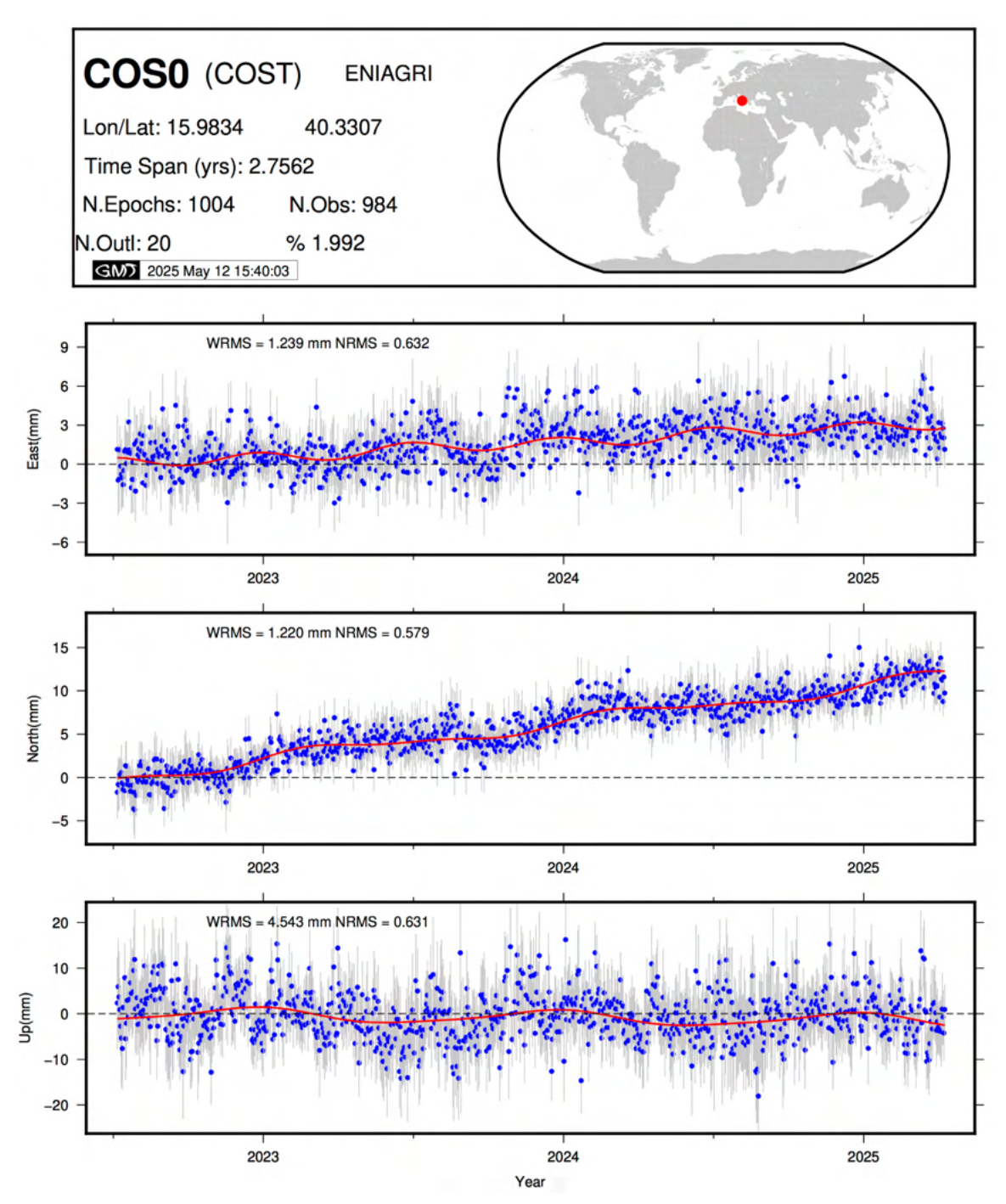
**Figura C1**. Serie temporale di spostamento (punti blu) della stazione AGR1 nel sistema di riferimento Eurasia-fisso per le componenti Est e Nord e in IGb14 per la componente verticale. Le linee grigie indicano le barre d'errore (1 $\sigma$ ) per gli spostamenti e la linea rossa rappresenta il modello analitico atteso.



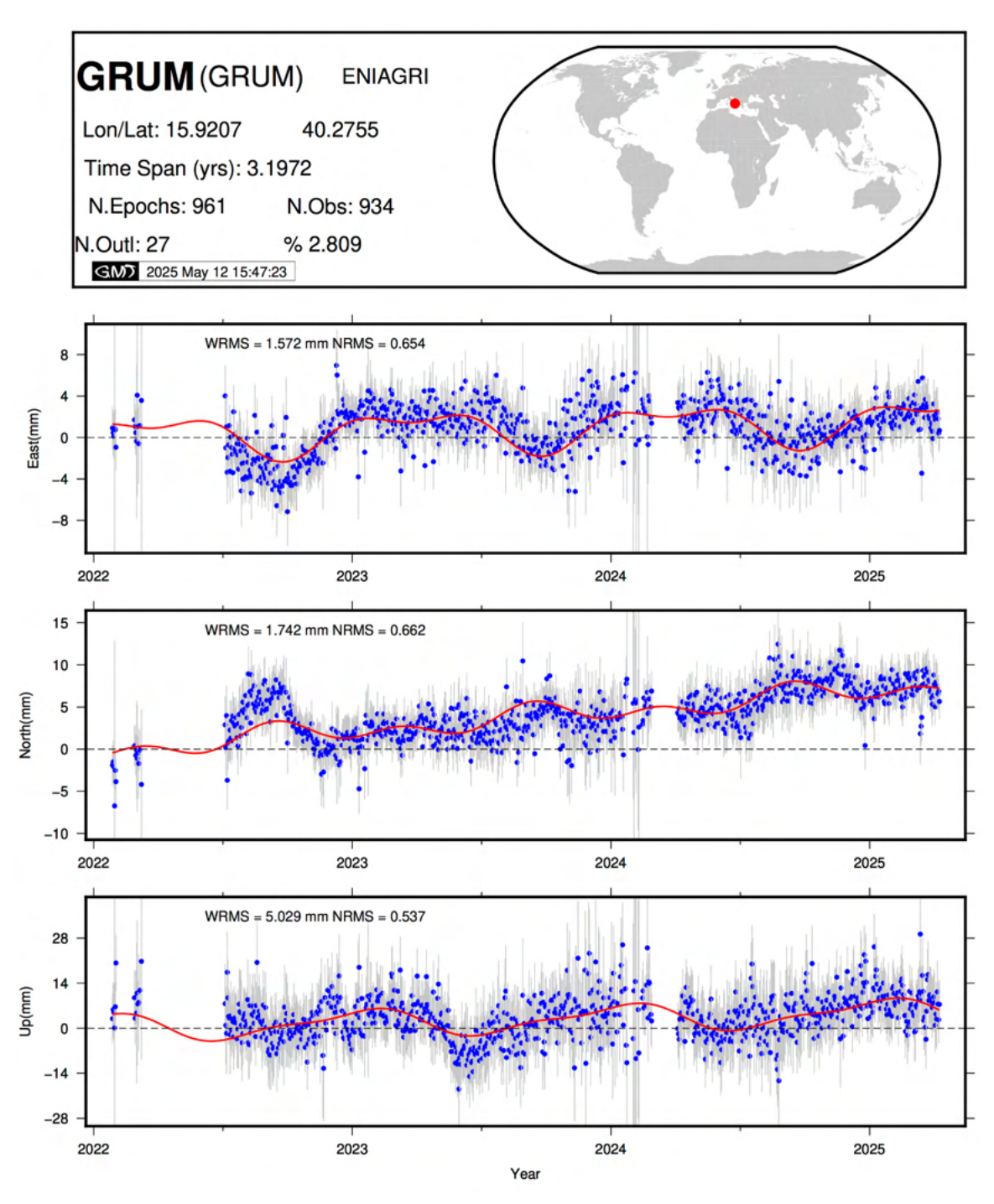
**Figura C2**. Serie temporale di spostamento (punti blu) della stazione CEF8 nel sistema di riferimento Eurasia-fisso per le componenti Est e Nord e in IGb14 per la componente verticale. Le linee grigie indicano le barre d'errore (1σ) per gli spostamenti e la linea rossa rappresenta il modello analitico atteso.



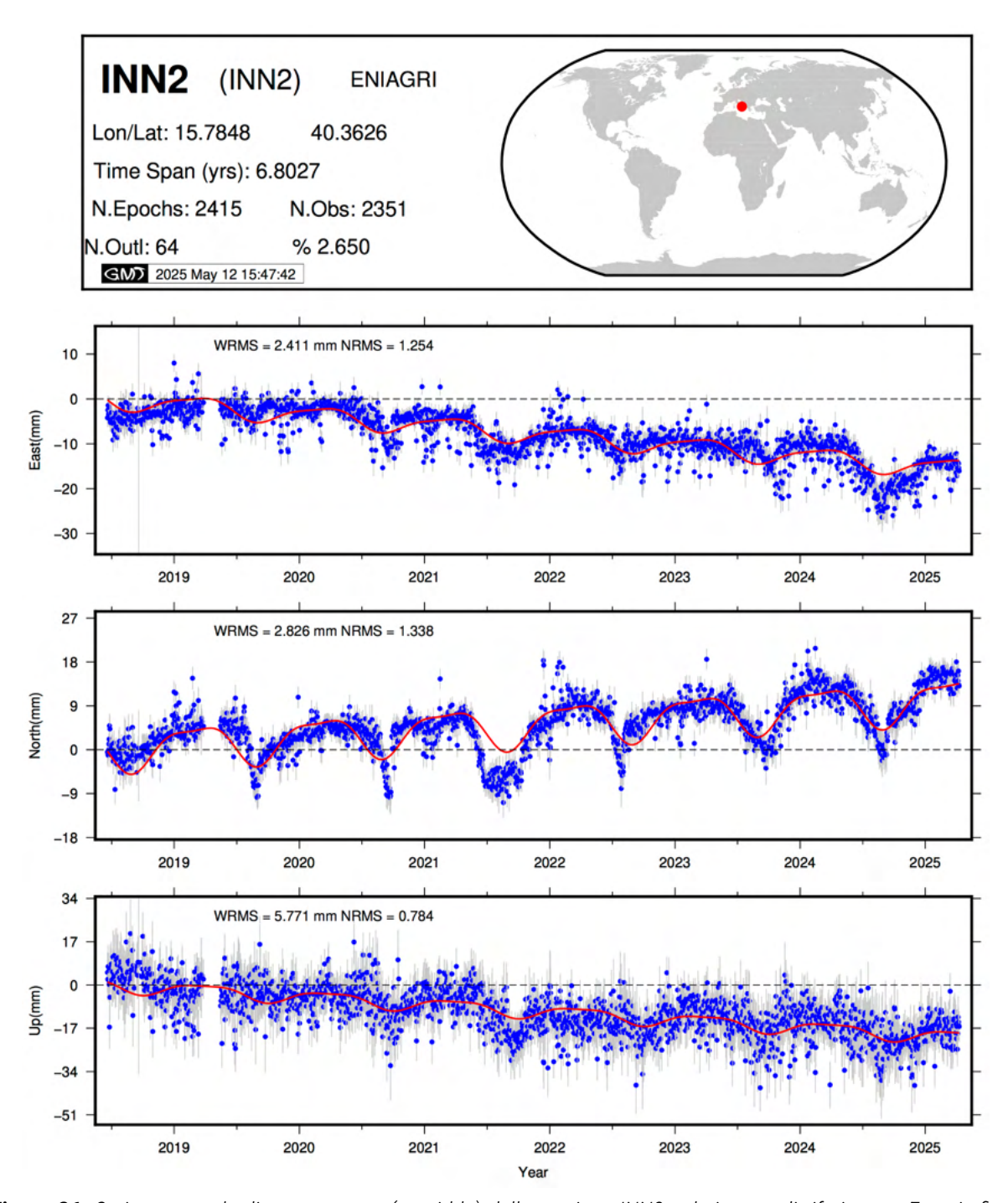
**Figura C3**. Serie temporale di spostamento (punti blu) della stazione CF34 nel sistema di riferimento Eurasia-fisso per le componenti Est e Nord e in IGb14 per la componente verticale. Le linee grigie indicano le barre d'errore (1 $\sigma$ ) per gli spostamenti e la linea rossa rappresenta il modello analitico atteso.



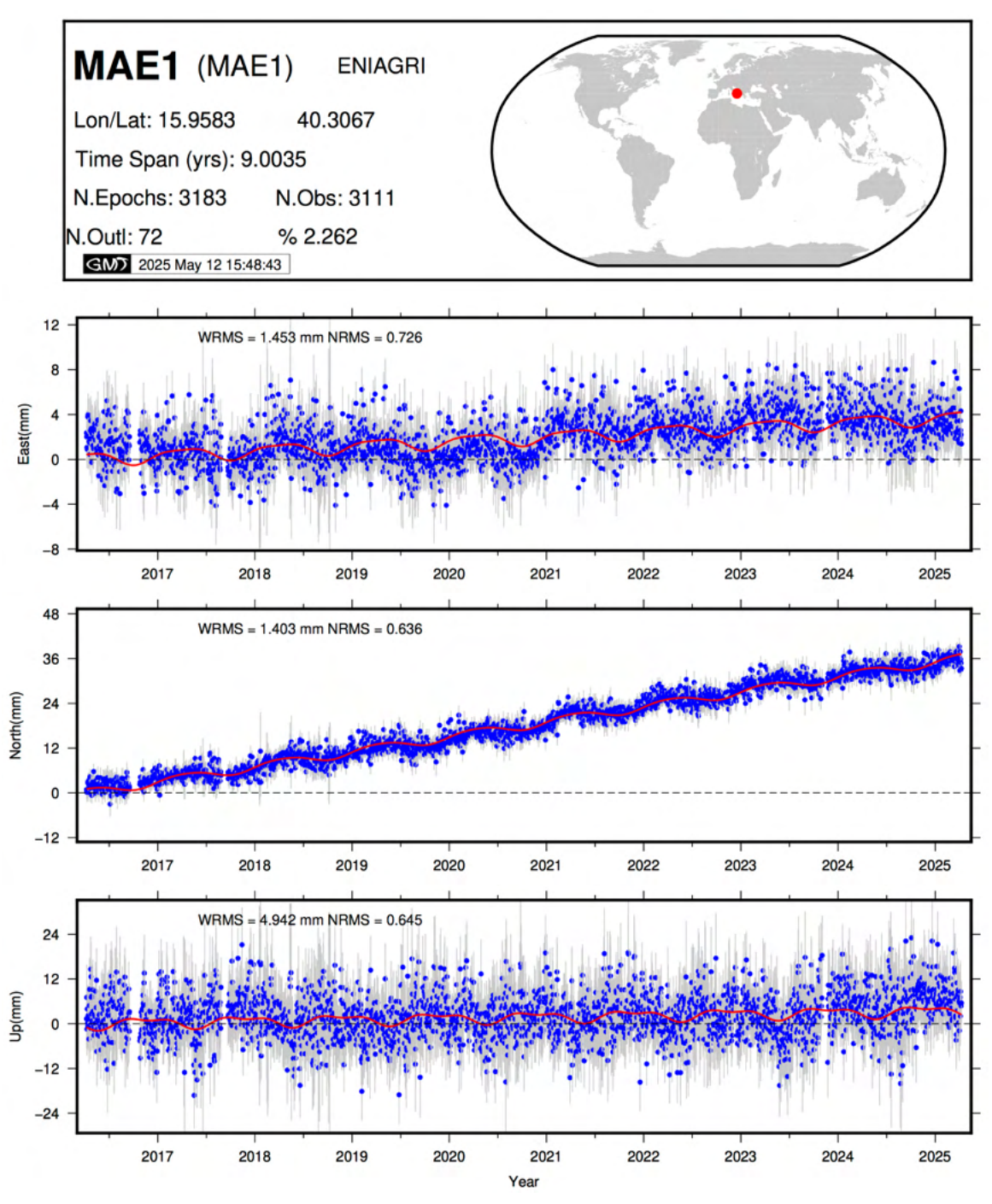
**Figura C4**. Serie temporale di spostamento (punti blu) della stazione COST nel sistema di riferimento Eurasia-fisso per le componenti Est e Nord e in IGb14 per la componente verticale. Le linee grigie indicano le barre d'errore (1σ) per gli spostamenti e la linea rossa rappresenta il modello analitico atteso.



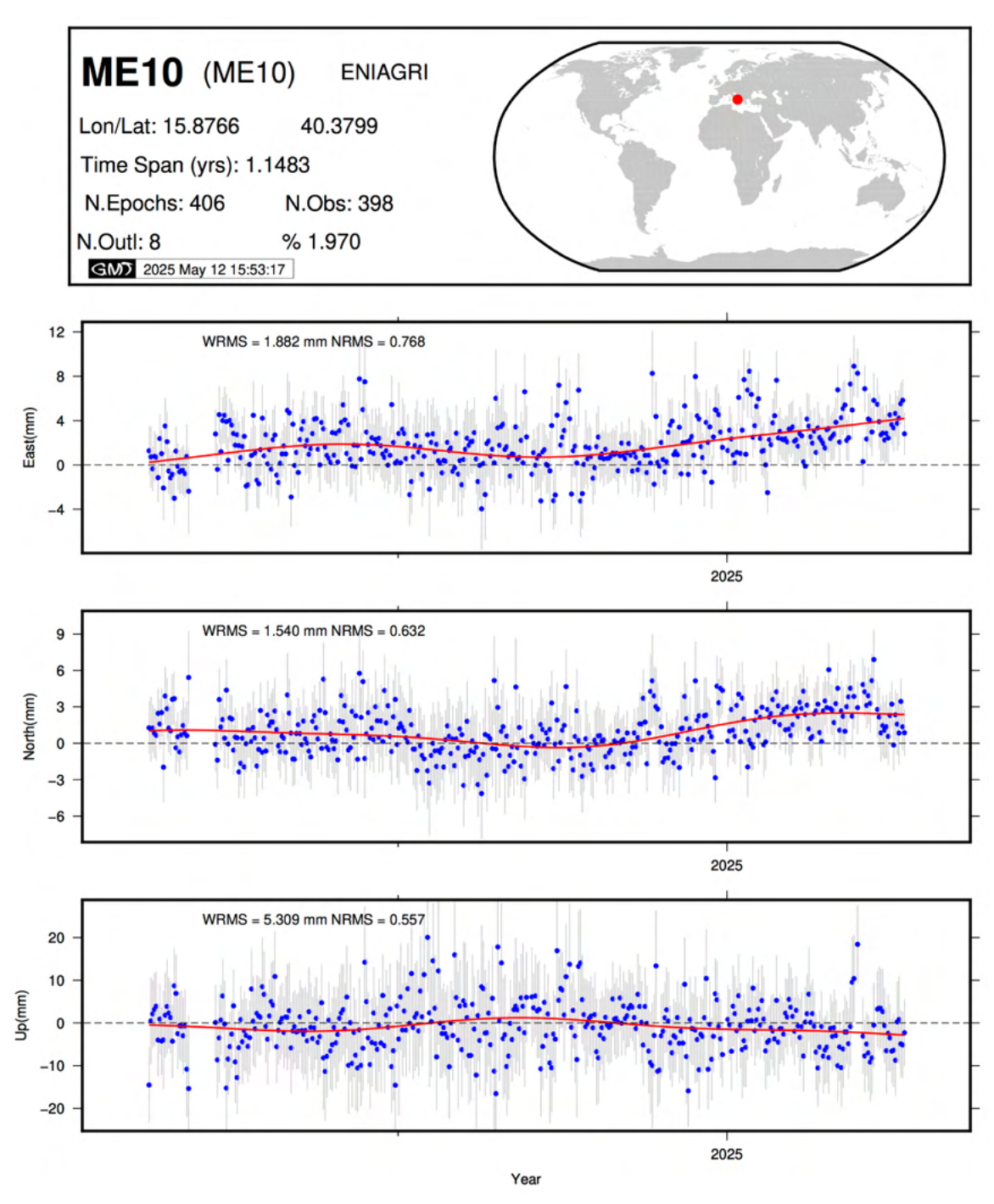
**Figura C5**. Serie temporale di spostamento (punti blu) della stazione GRUM nel sistema di riferimento Eurasia-fisso per le componenti Est e Nord e in IGb14 per la componente verticale. Le linee grigie indicano le barre d'errore (1σ) per gli spostamenti e la linea rossa rappresenta il modello analitico atteso.



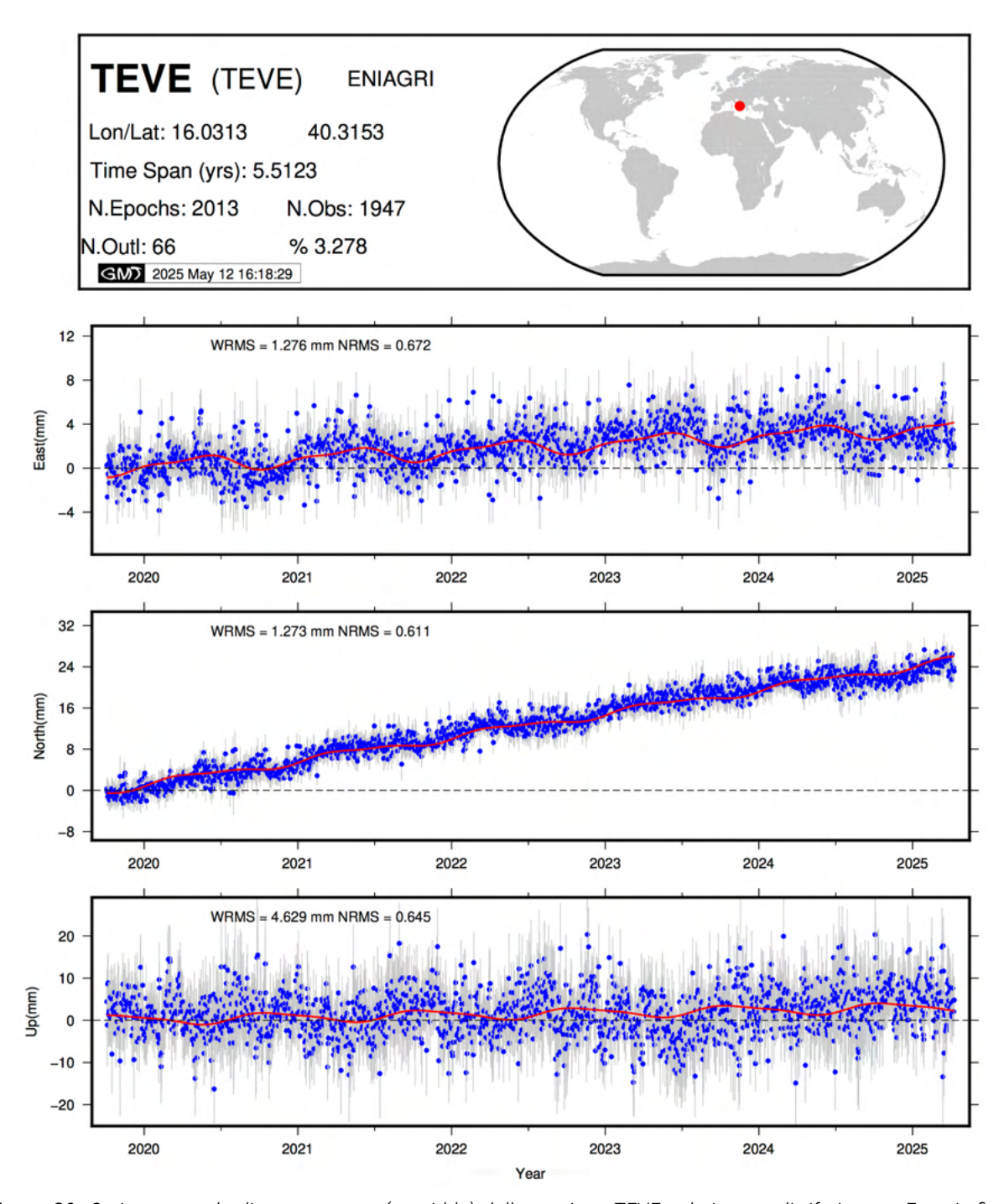
**Figura C6**. Serie temporale di spostamento (punti blu) della stazione INN2 nel sistema di riferimento Eurasia-fisso per le componenti Est e Nord e in IGb14 per la componente verticale. Le linee grigie indicano le barre d'errore (1 $\sigma$ ) per gli spostamenti e la linea rossa rappresenta il modello analitico atteso.



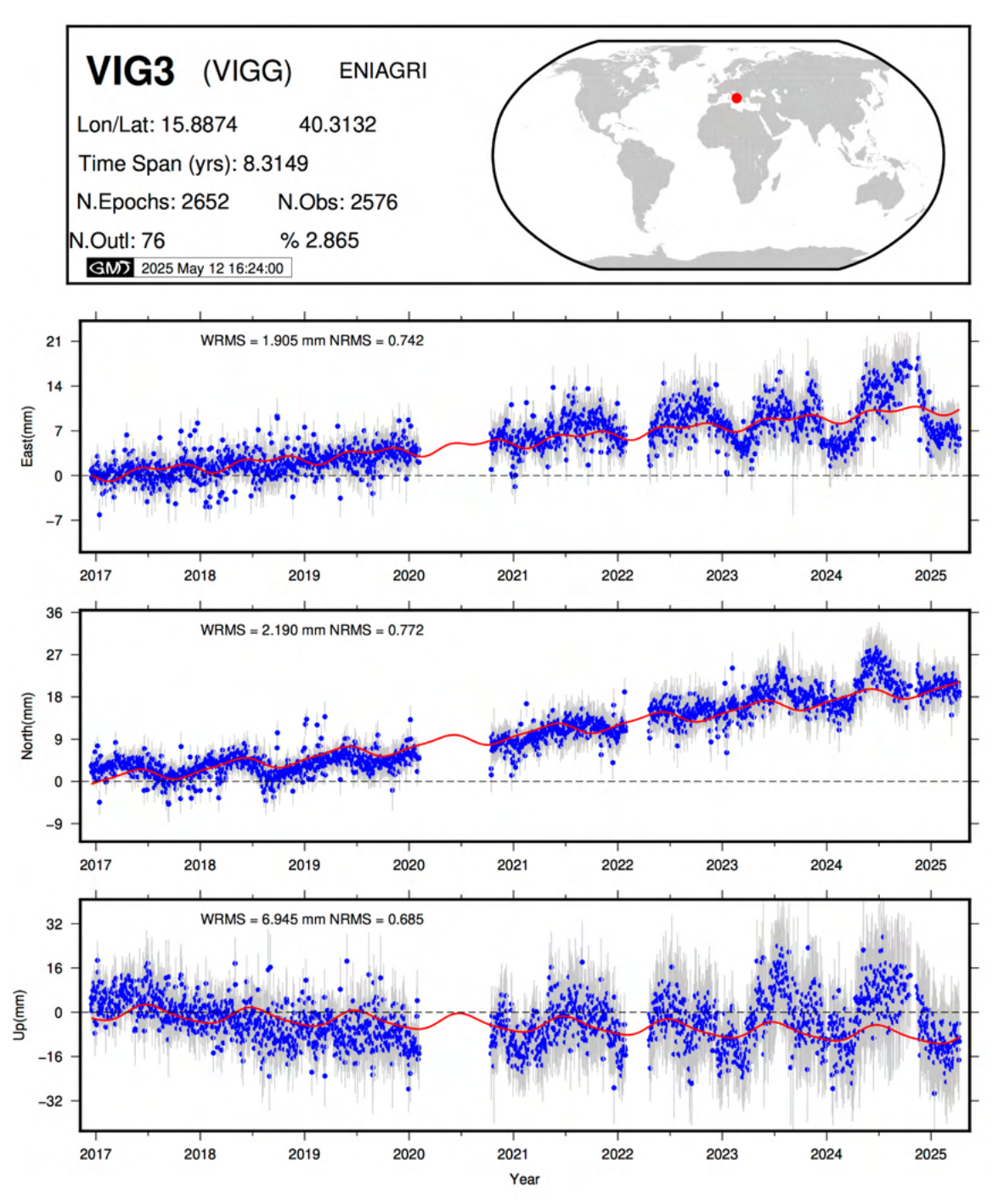
**Figura C7**. Serie temporale di spostamento (punti blu) della stazione MAE1 nel sistema di riferimento Eurasia-fisso per le componenti Est e Nord e in IGb14 per la componente verticale. Le linee grigie indicano le barre d'errore (1σ) per gli spostamenti e la linea rossa rappresenta il modello analitico atteso.



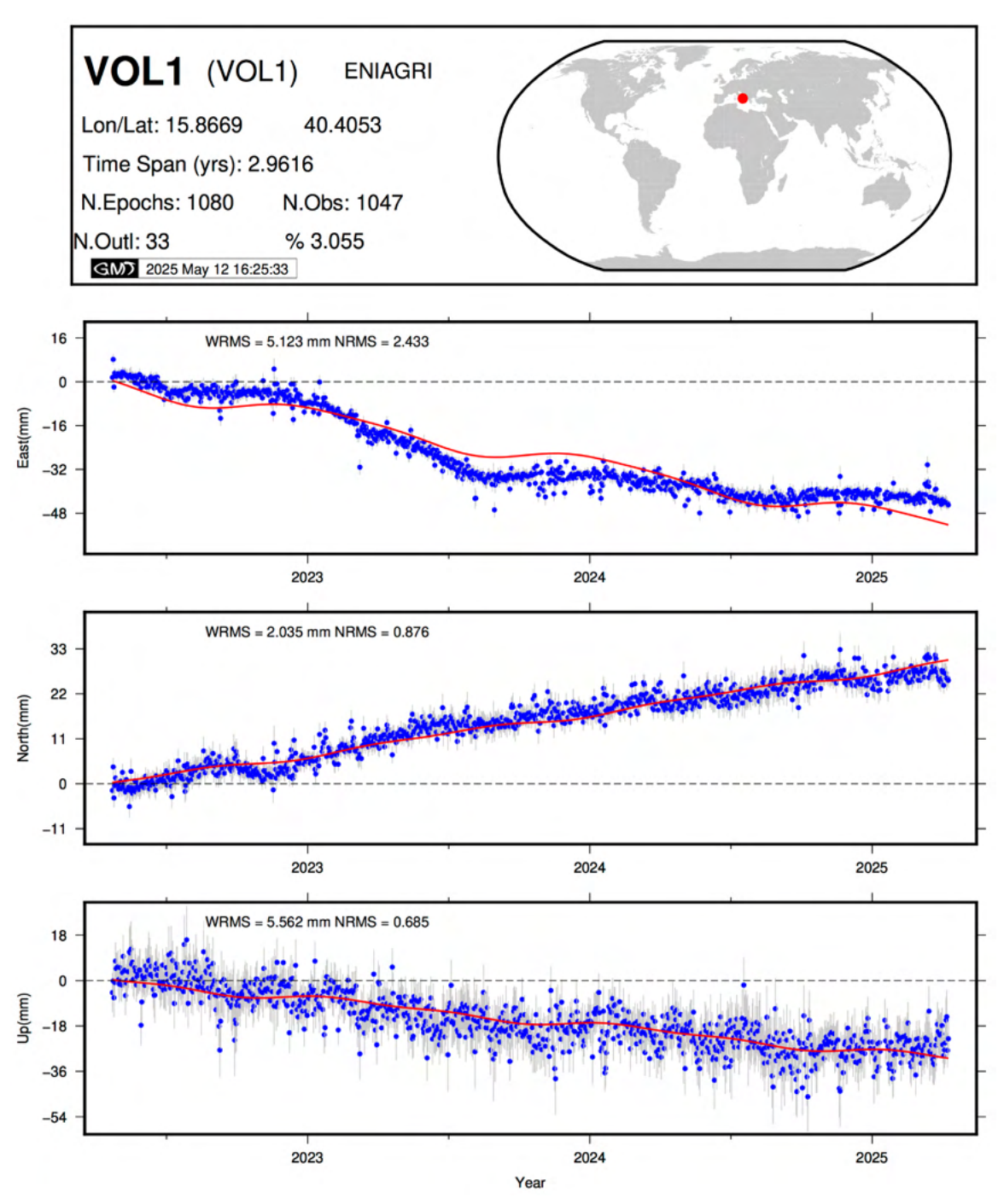
**Figura C8**. Serie temporale di spostamento (punti blu) della stazione ME10 nel sistema di riferimento Eurasia-fisso per le componenti Est e Nord e in IGb14 per la componente verticale. Le linee grigie indicano le barre d'errore (1σ) per gli spostamenti e la linea rossa rappresenta il modello analitico atteso.



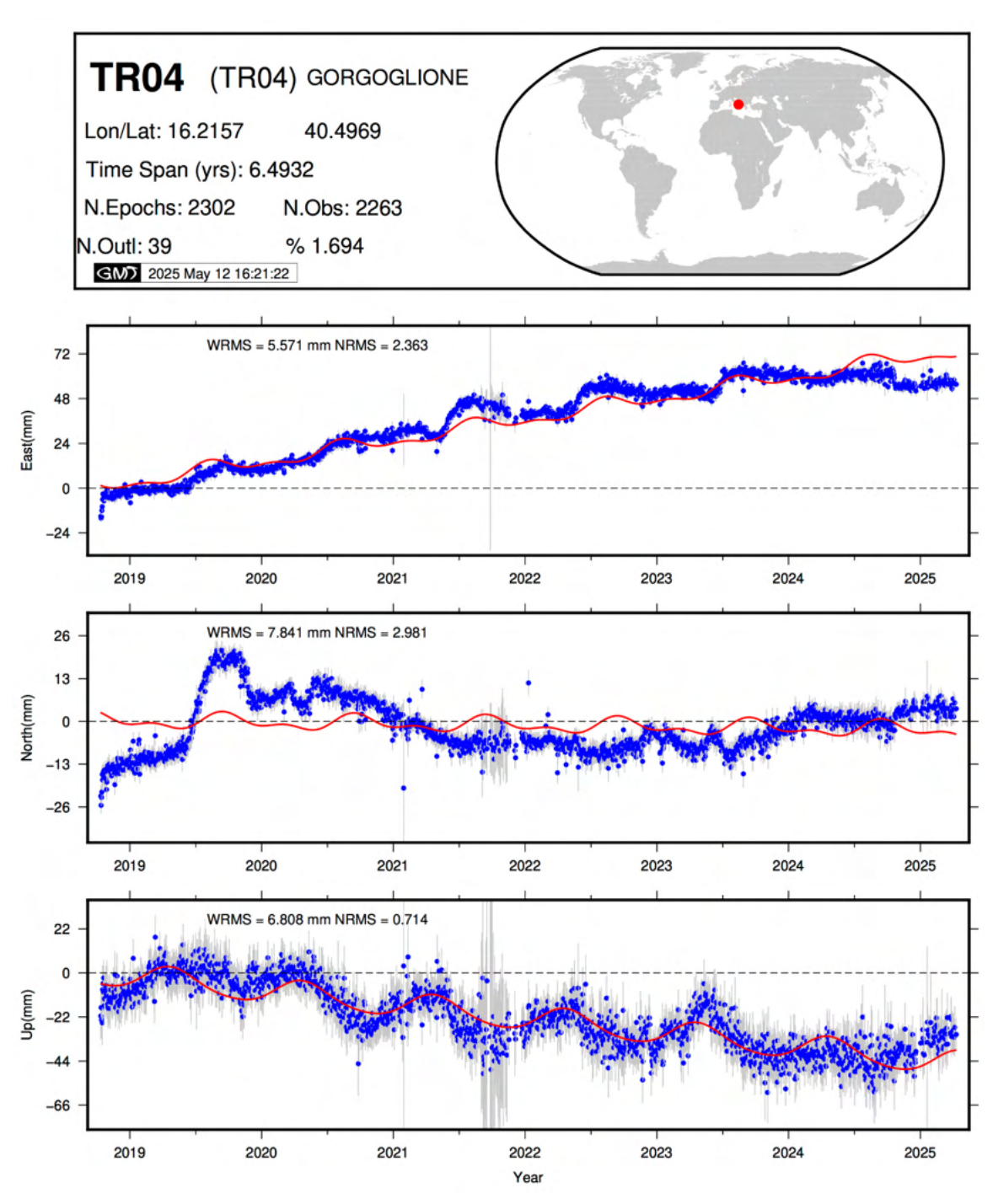
**Figura C9**. Serie temporale di spostamento (punti blu) della stazione TEVE nel sistema di riferimento Eurasia-fisso per le componenti Est e Nord e in IGb14 per la componente verticale. Le linee grigie indicano le barre d'errore (1 $\sigma$ ) per gli spostamenti e la linea rossa rappresenta il modello analitico atteso.



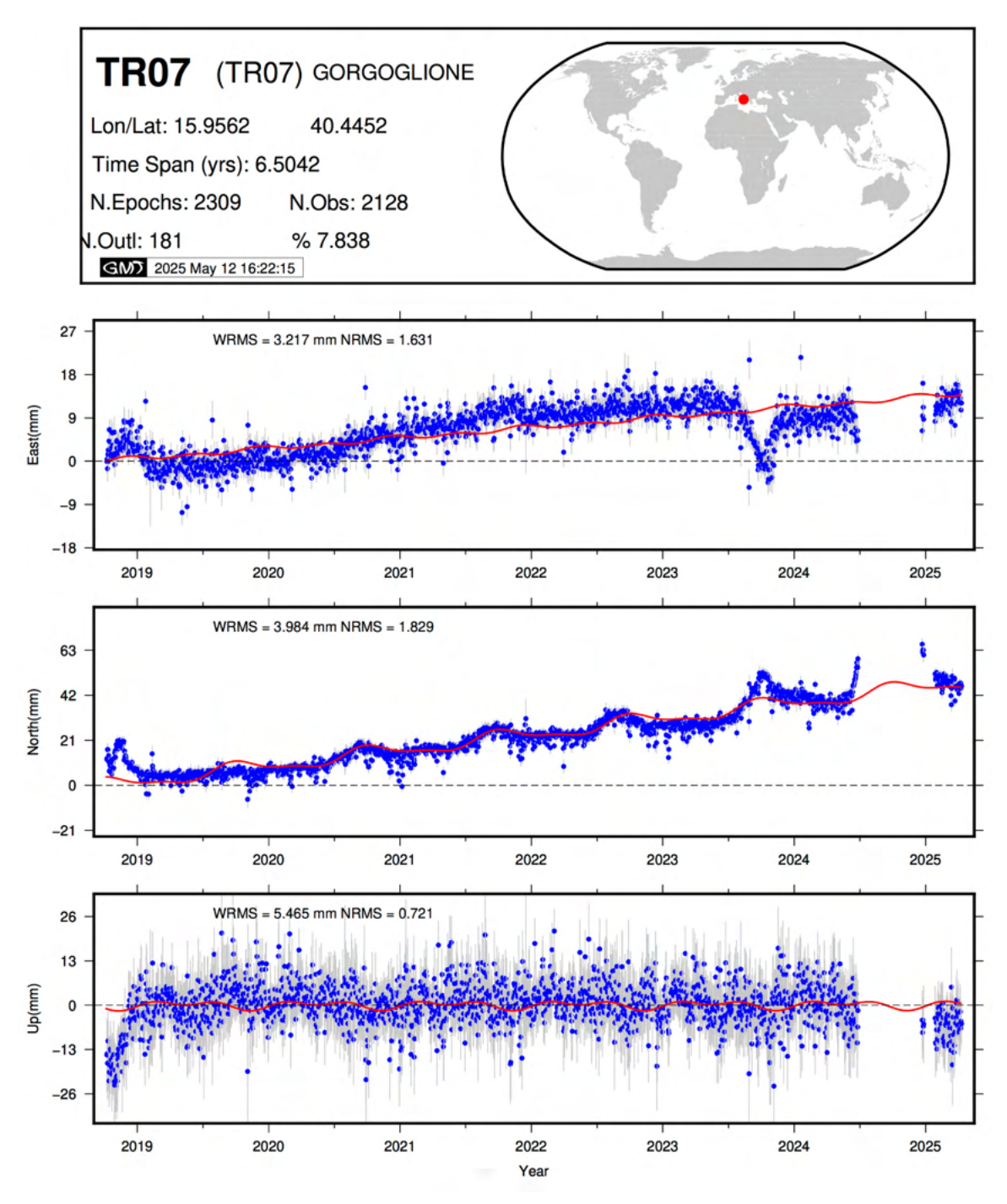
**Figura C10**. Serie temporale di spostamento (punti blu) della stazione VIGG nel sistema di riferimento Eurasia-fisso per le componenti Est e Nord e in IGb14 per la componente verticale. Le linee grigie indicano le barre d'errore (1σ) per gli spostamenti e la linea rossa rappresenta il modello analitico atteso.



**Figura C11**. Serie temporale di spostamento (punti blu) della stazione VOL1 nel sistema di riferimento Eurasia-fisso per le componenti Est e Nord e in IGb14 per la componente verticale. Le linee grigie indicano le barre d'errore (1 $\sigma$ ) per gli spostamenti e la linea rossa rappresenta il modello analitico atteso.



**Figura C12**. Serie temporale di spostamento (punti blu) della stazione TR04 nel sistema di riferimento Eurasia-fisso per le componenti Est e Nord e in IGb14 per la componente verticale. Le linee grigie indicano le barre d'errore (1σ) per gli spostamenti e la linea rossa rappresenta il modello analitico atteso.



**Figura C13**. Serie temporale di spostamento (punti blu) della stazione TR07 nel sistema di riferimento Eurasia-fisso per le componenti Est e Nord e in IGb14 per la componente verticale. Le linee grigie indicano le barre d'errore (1σ) per gli spostamenti e la linea rossa rappresenta il modello analitico atteso.

# Appendice D: Sottodomini di riferimento considerati per le analisi di tassi di sismicità e probabilità di superamento di soglie di magnitudo

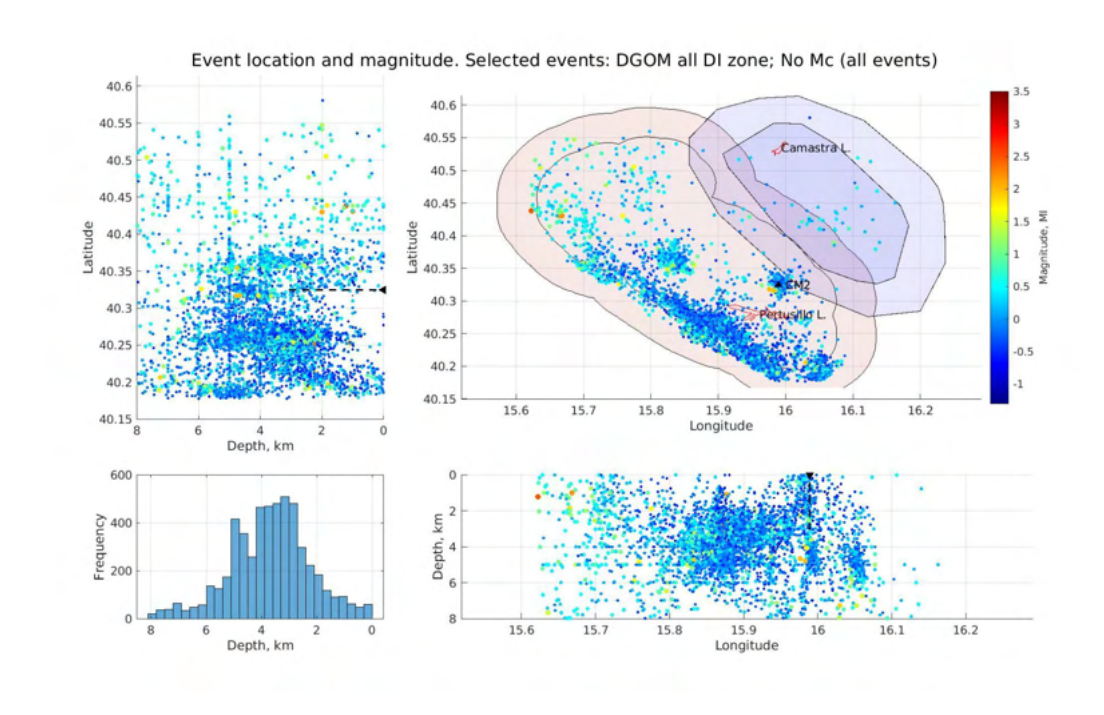
Le figure seguenti mostrano le aree, la sismicità, e la stima della completezza specifica per ogni sottodominio, considerando un buffer spaziale di circa 1 km attorno al perimetro dei DI. Per ogni area si presentano due casi:

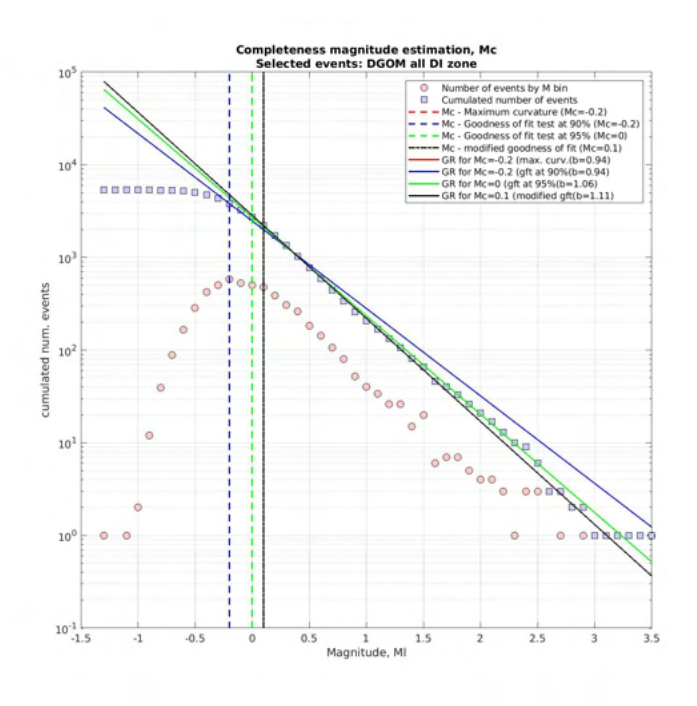
- 1) considerando eventi fino alla profondità massima del DI, e
- 2) aggiungendo 1 km alla profondità massima alla quale si selezionano gli eventi (ad eccezione del DR del Costa Molina 2).

Altri casi sono stati considerati (+2 km, +3 km, +4 km e +5 km in profondità) con risultati in genere simili a quelli prodotti con il caso +1 km presentato in questa appendice. Lo scopo di considerare un buffer orizzontale e l'incremento di almeno 1 km in profondità è quello di tener conservativamente conto delle incertezze nelle localizzazione degli eventi (considerando gli errori medi di localizzazione degli eventi di circa 400/500m, vedere report n. 1) ed avere a disposizione più eventi per le analisi.

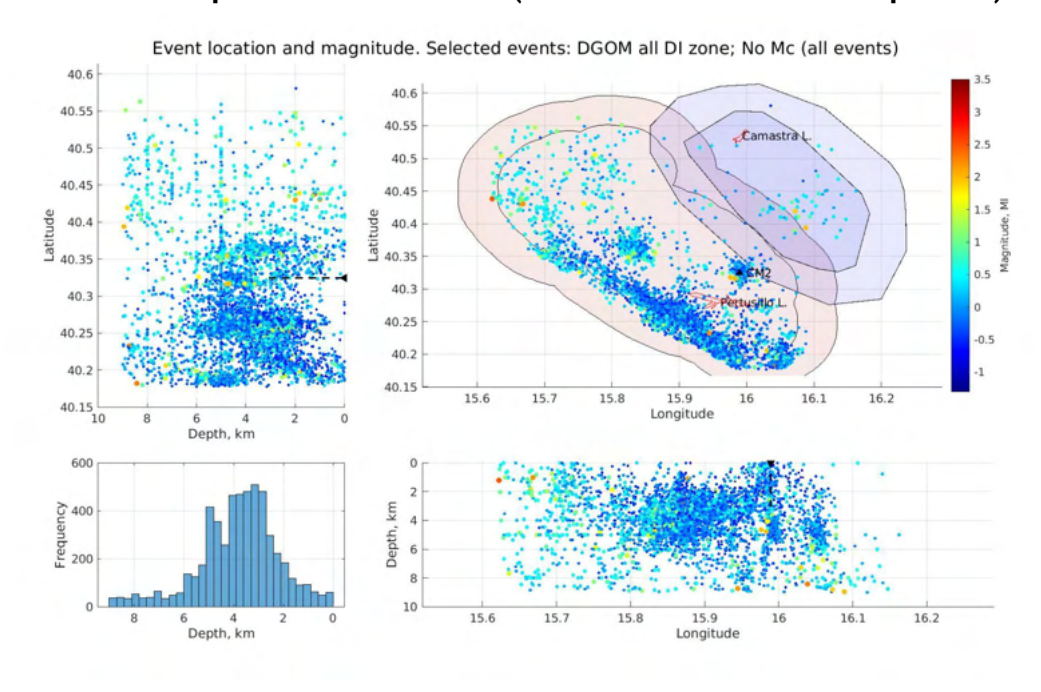
# D1. L' unione dei DI della Val d'Agri e di Gorgoglione ("all DI domain")

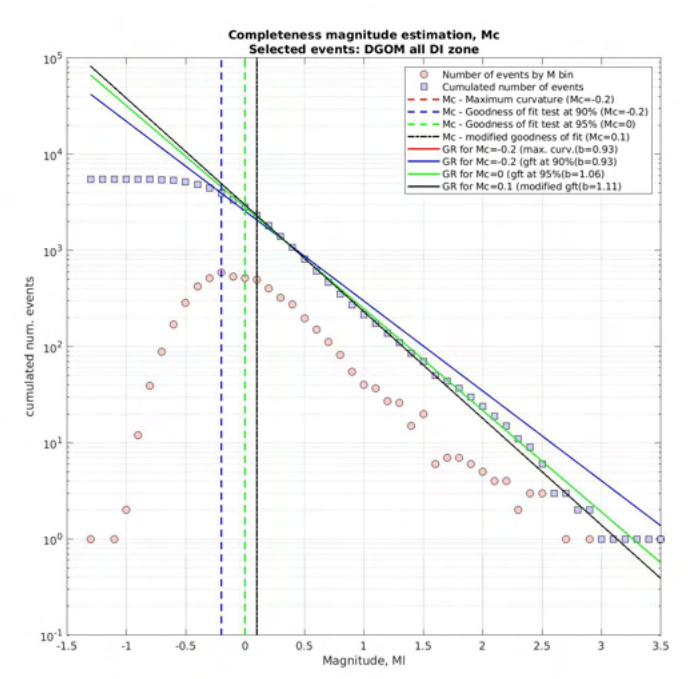
# D.1.1 Eventi con Zmax = profondità del DI (localizzazioni e analisi di completezza)





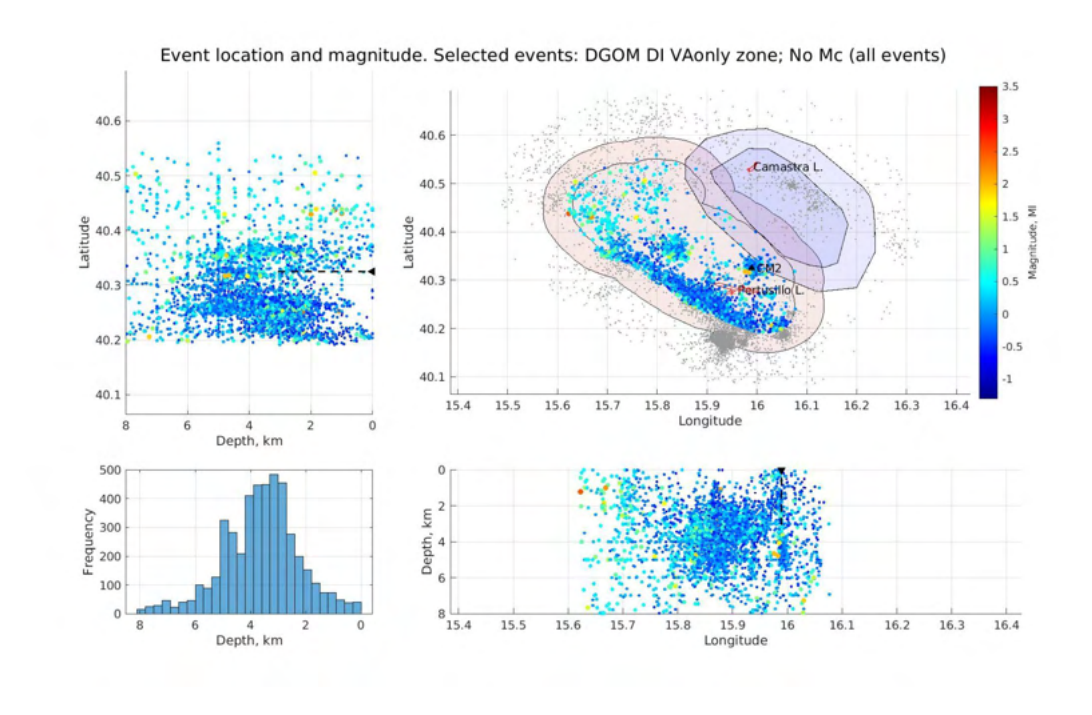
#### D.1.2 Eventi con Zmax = profondità del DI + 1 km (localizzazioni e analisi di completezza)

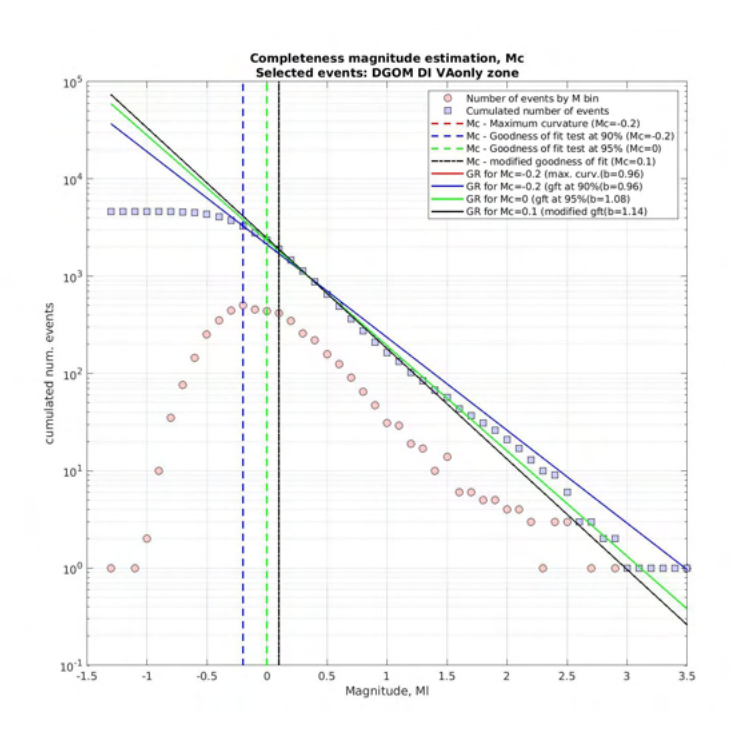




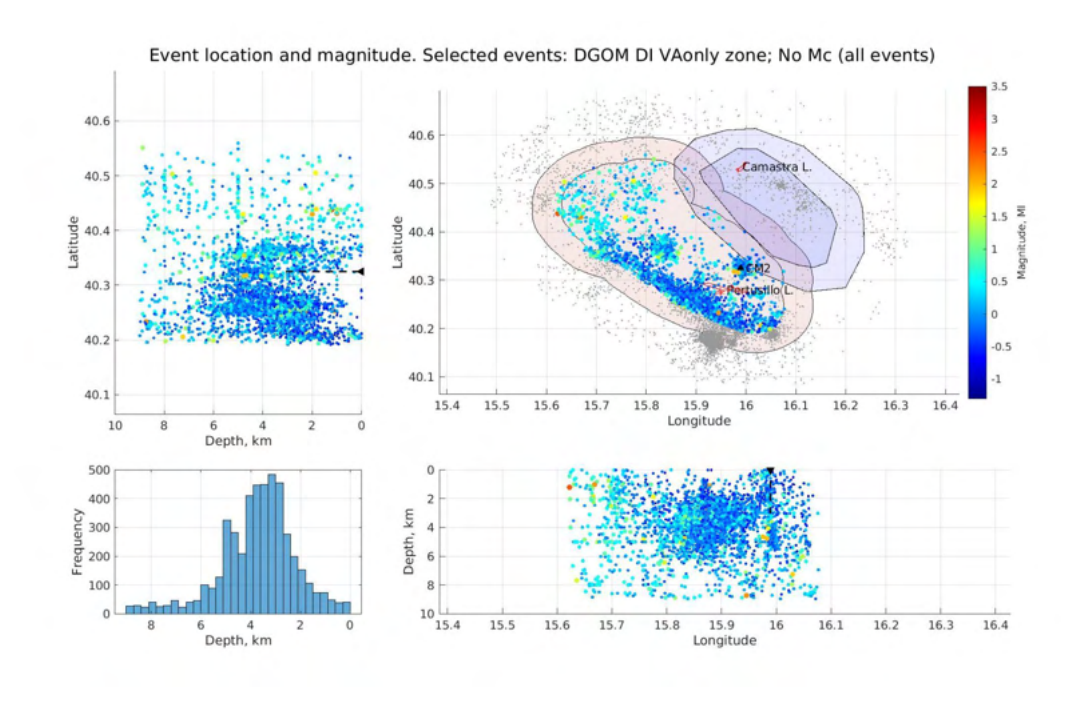
# D2. DI della concessione Val d'Agri (VA - DI)

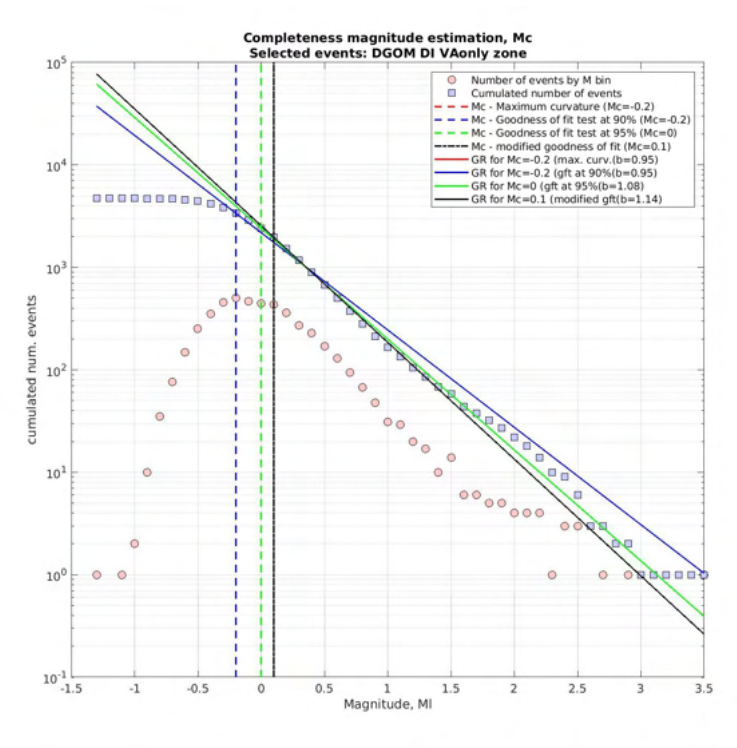
# D.2.1 Eventi con Zmax = profondità del DI (localizzazioni e analisi di completezza)





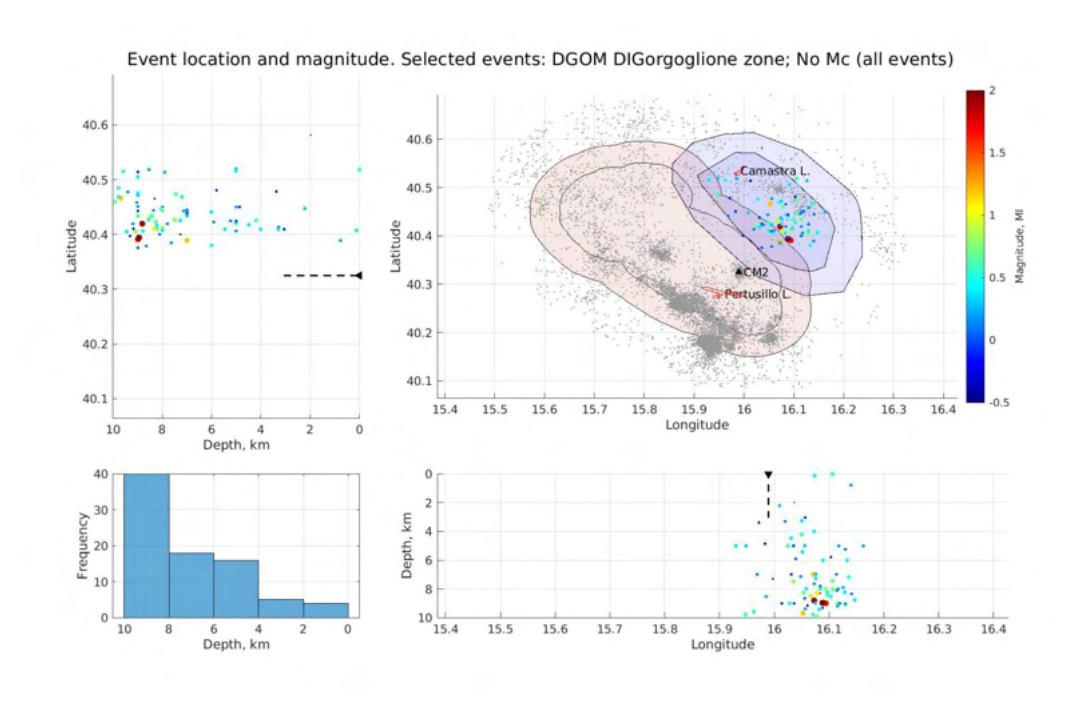
#### D.2.2 Eventi con Zmax = profondità del DI + 1 km (localizzazioni e analisi di completezza)

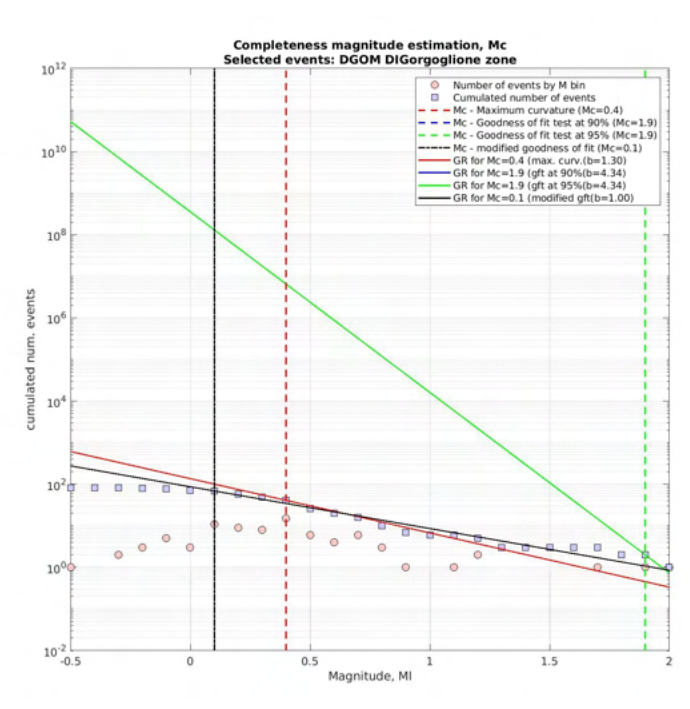




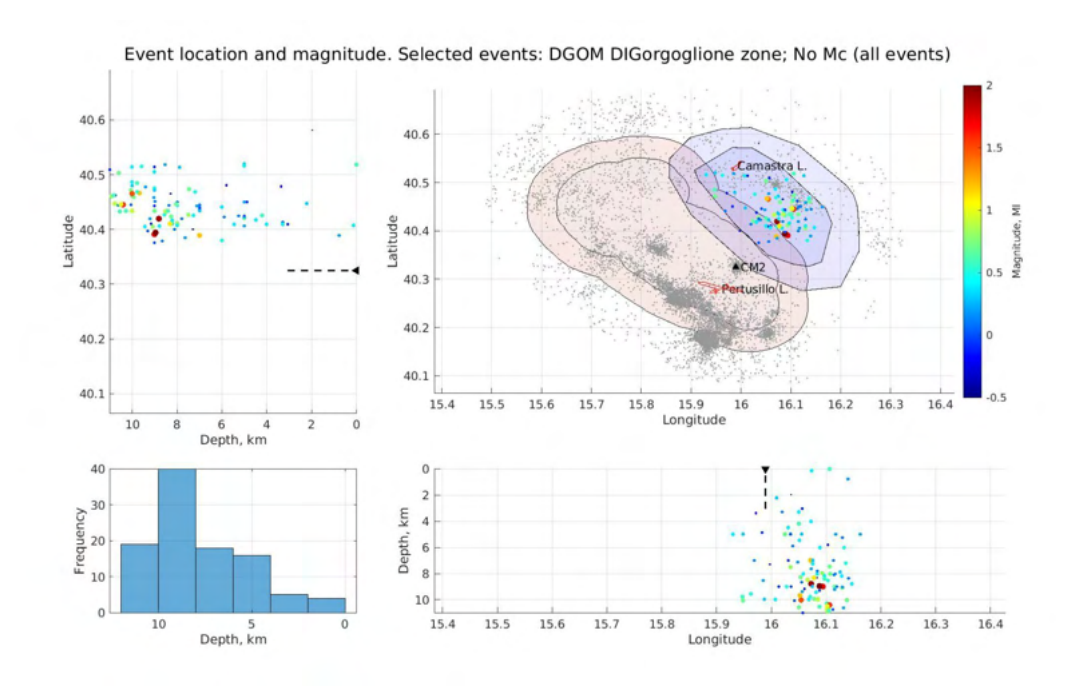
# D3. DI della concessione Gorgoglione (TP - Gorgoglione)

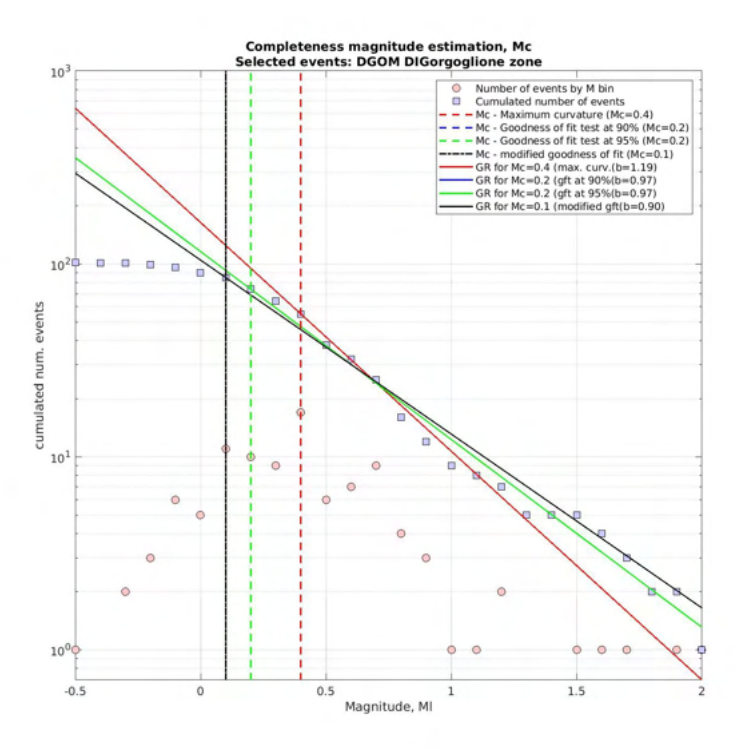
# D.3.1 Eventi con Zmax = profondità del DI (localizzazioni e analisi di completezza)





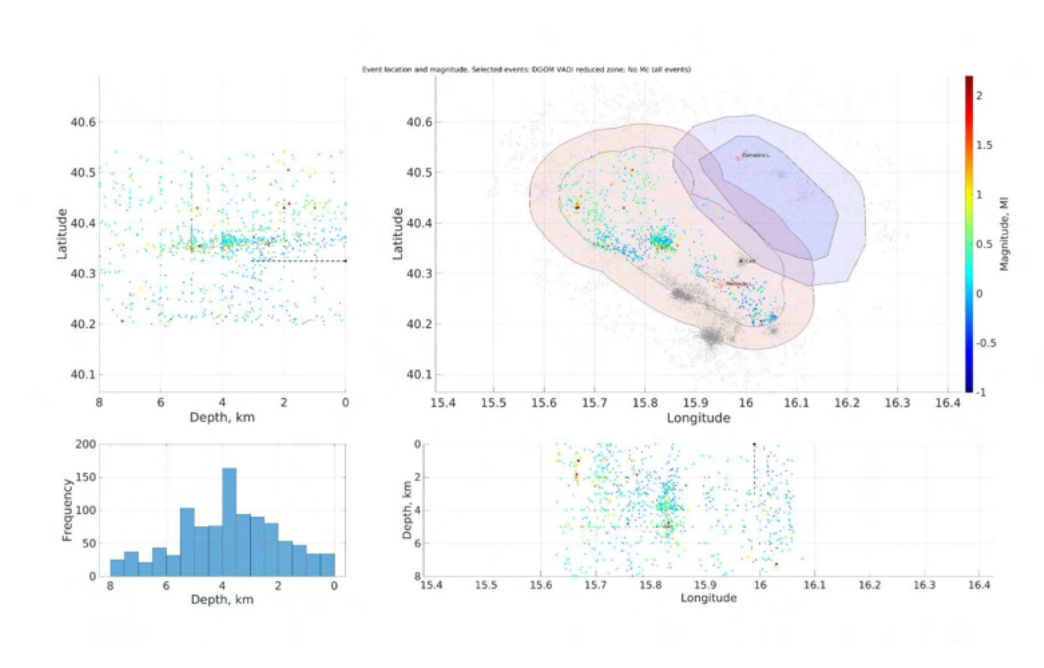
#### D.3.2 Eventi con Zmax = profondità del DI + 1 km (localizzazioni e analisi di completezza)

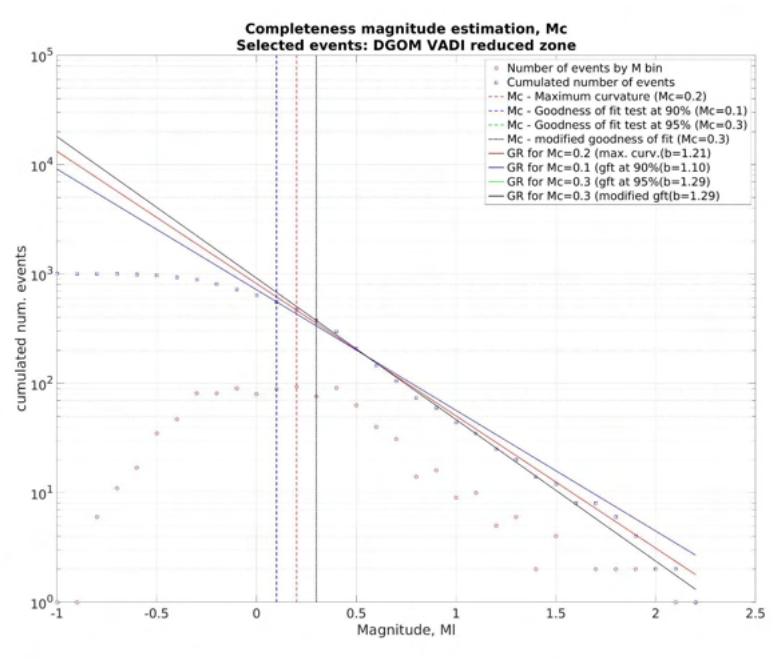




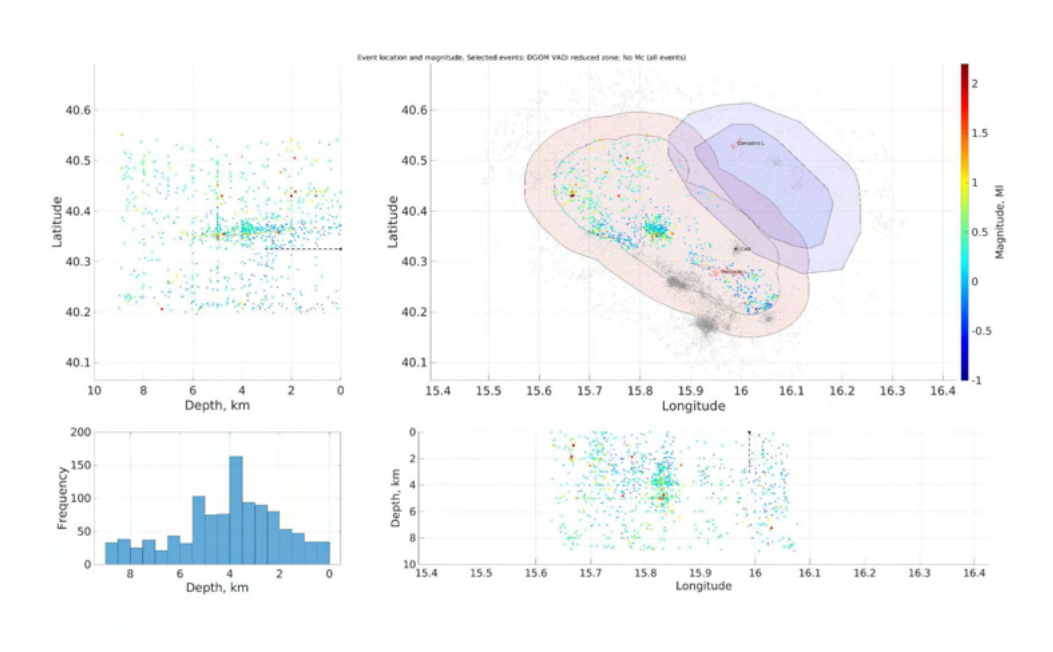
# D4. DI della concessione Val d'Agri "ridotto", i.e., DI senza l'area di CM2 e del cluster del Pertusillo (VA-DI reduced)

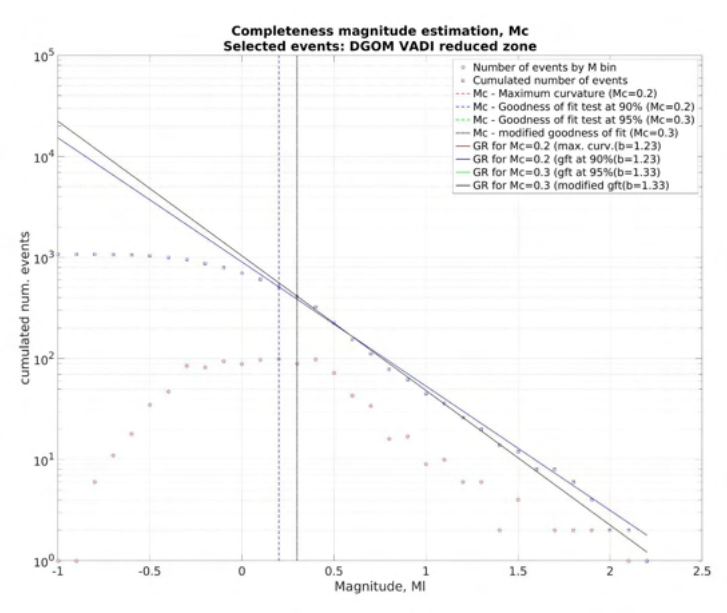
# D.4.1 Eventi con Zmax = profondità del DI (localizzazioni e analisi di completezza)





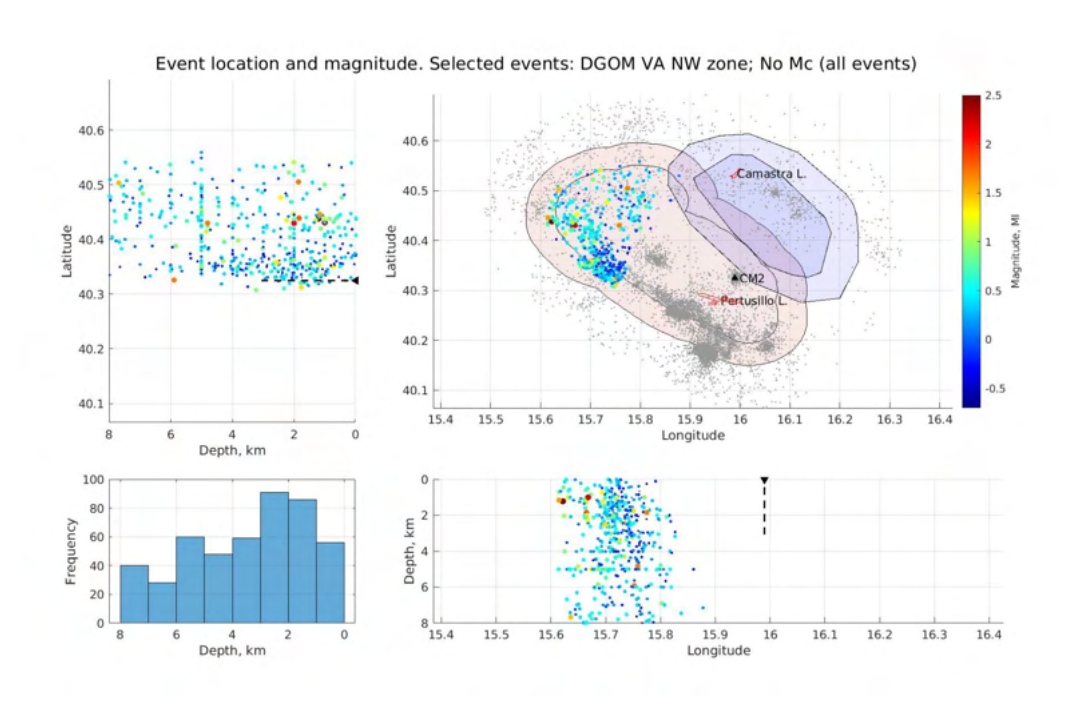
# D.4.2 Eventi con Zmax = profondità del DI + 1 km (localizzazioni e analisi di completezza)

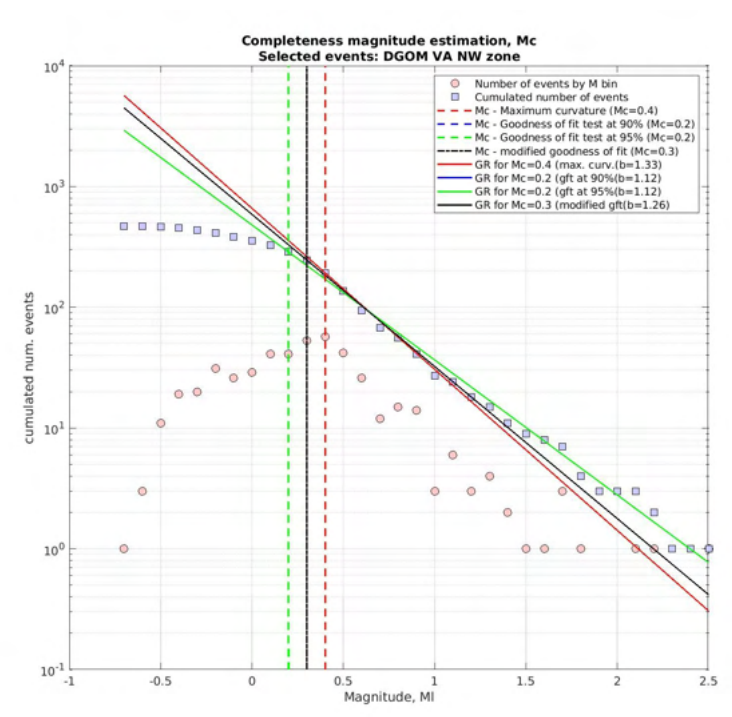




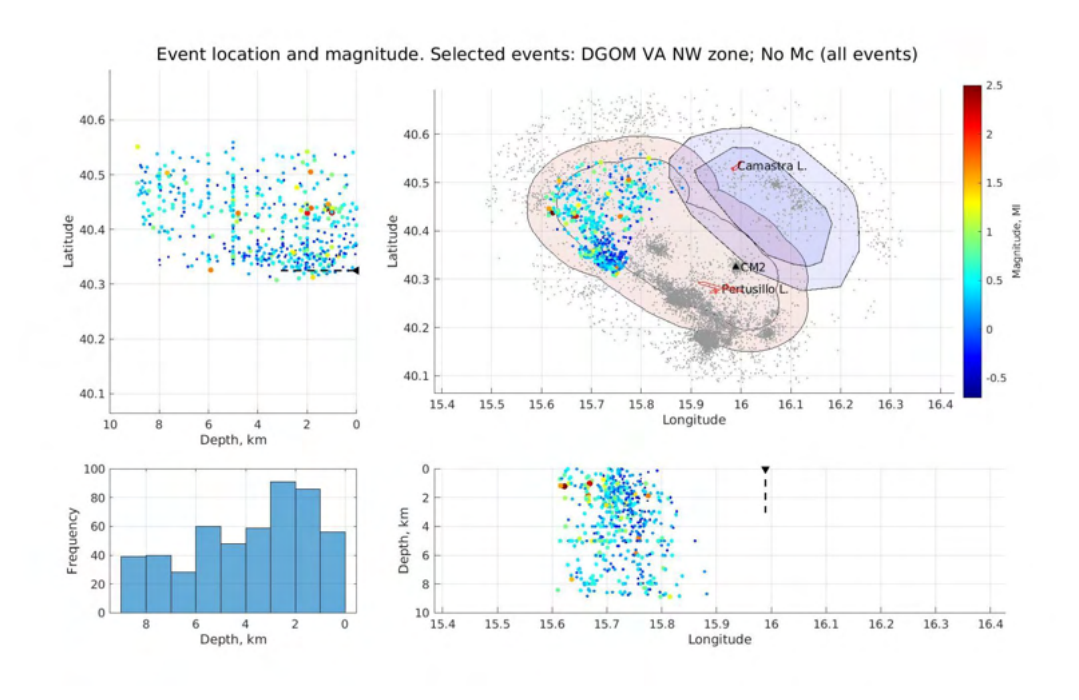
# D5. Zona NW del DI della concessione Val d'Agri (VA - NW)

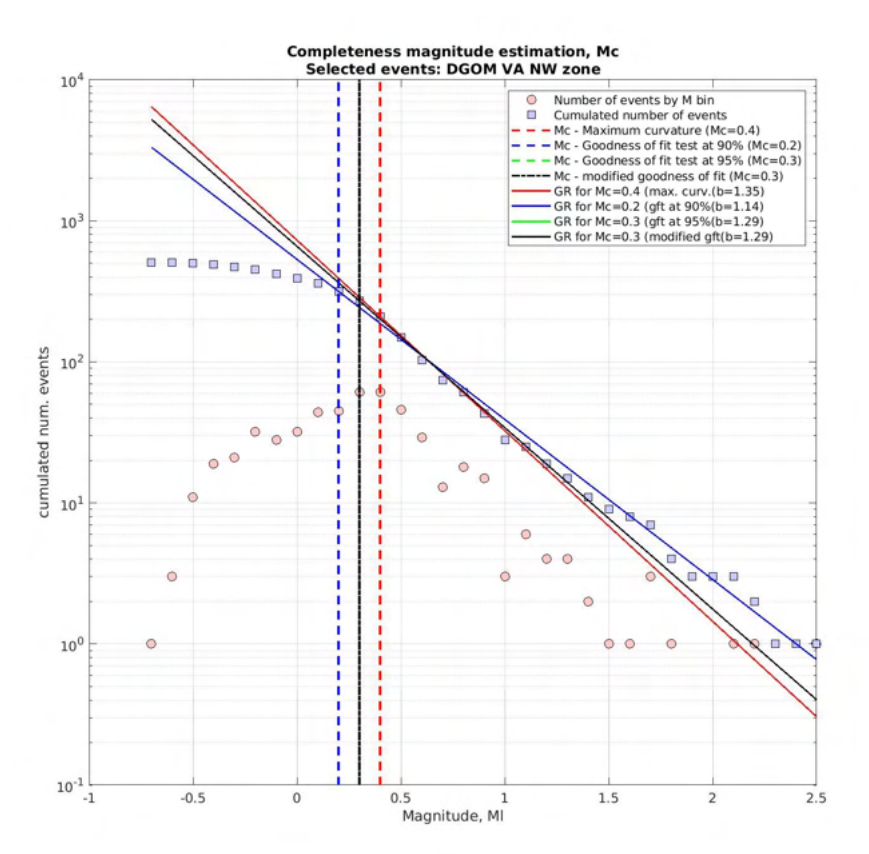
# D.5.1 Eventi con Zmax = profondità del DI (localizzazioni e analisi di completezza)





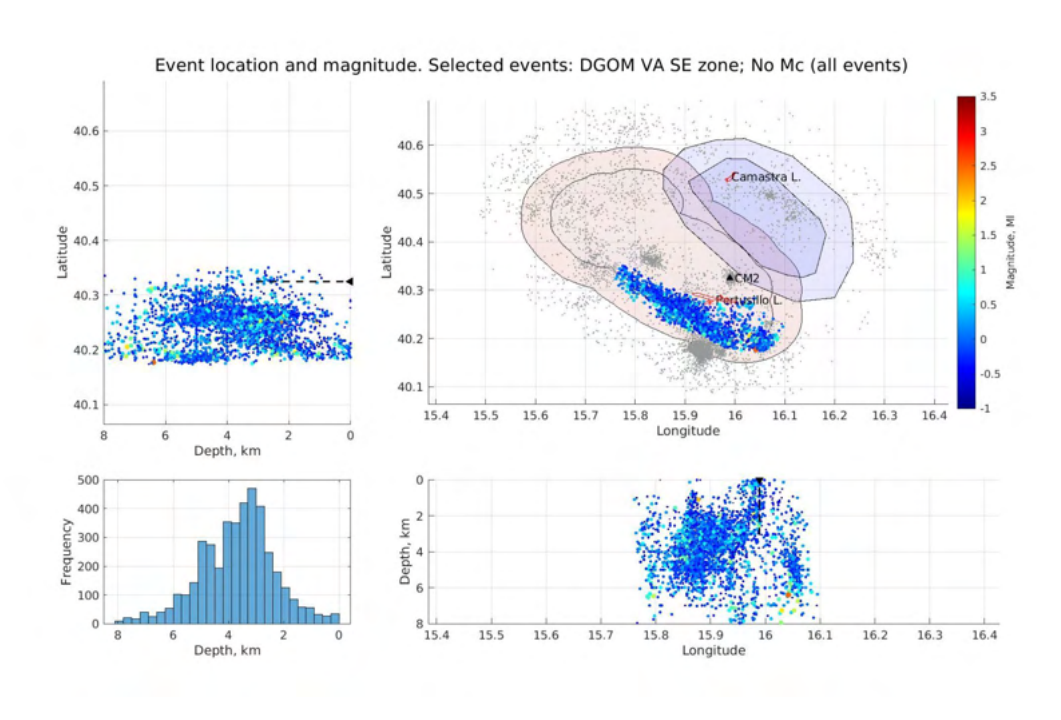
### D.5.2 Eventi con Zmax = profondità del DI + 1 km (localizzazioni e analisi di completezza)

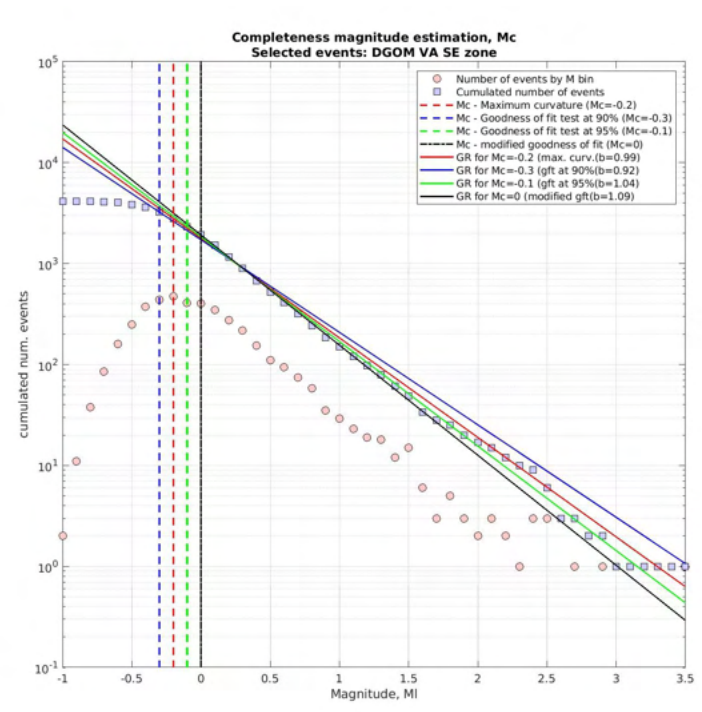




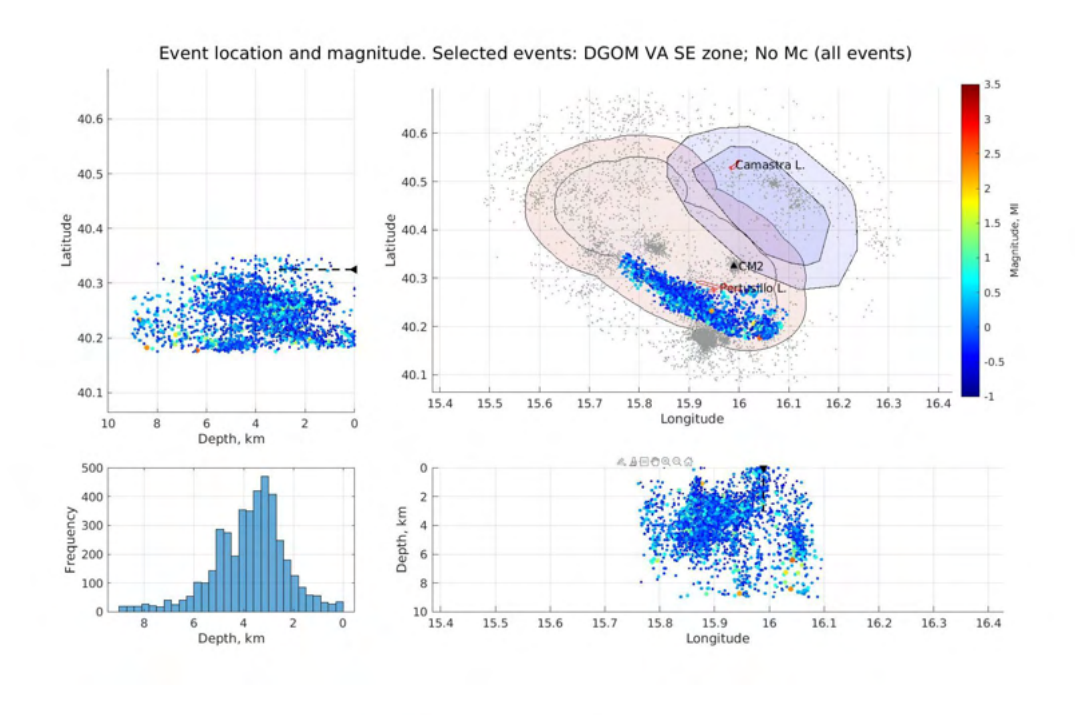
# D6. Zona SE del DI della concessione Val d'Agri, in particolare il cluster del Pertusillo (VA - SE)

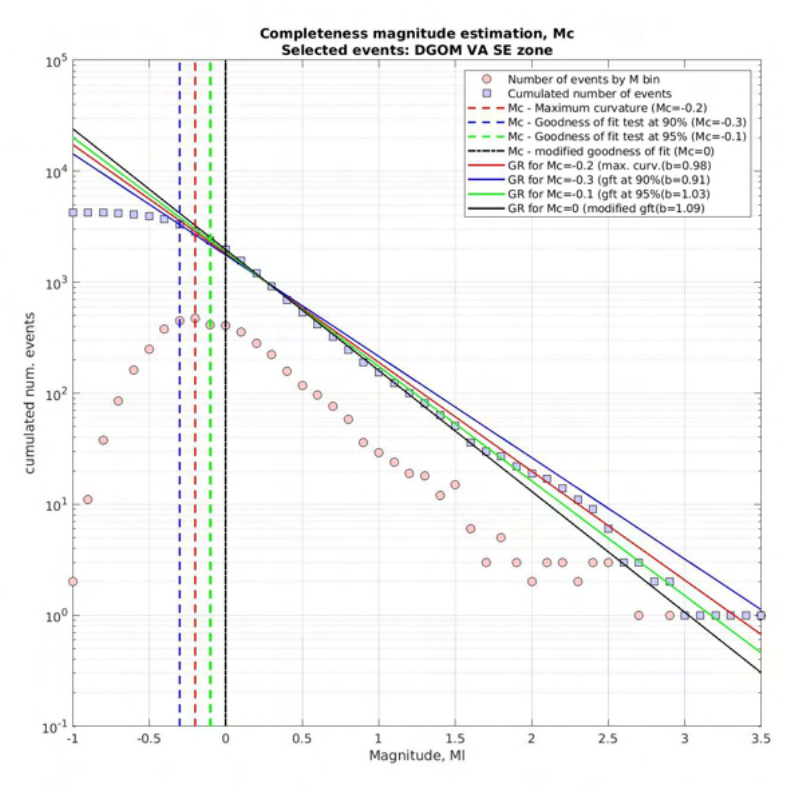
### D.6.1 Eventi con Zmax = profondità del DI (localizzazioni e analisi di completezza)





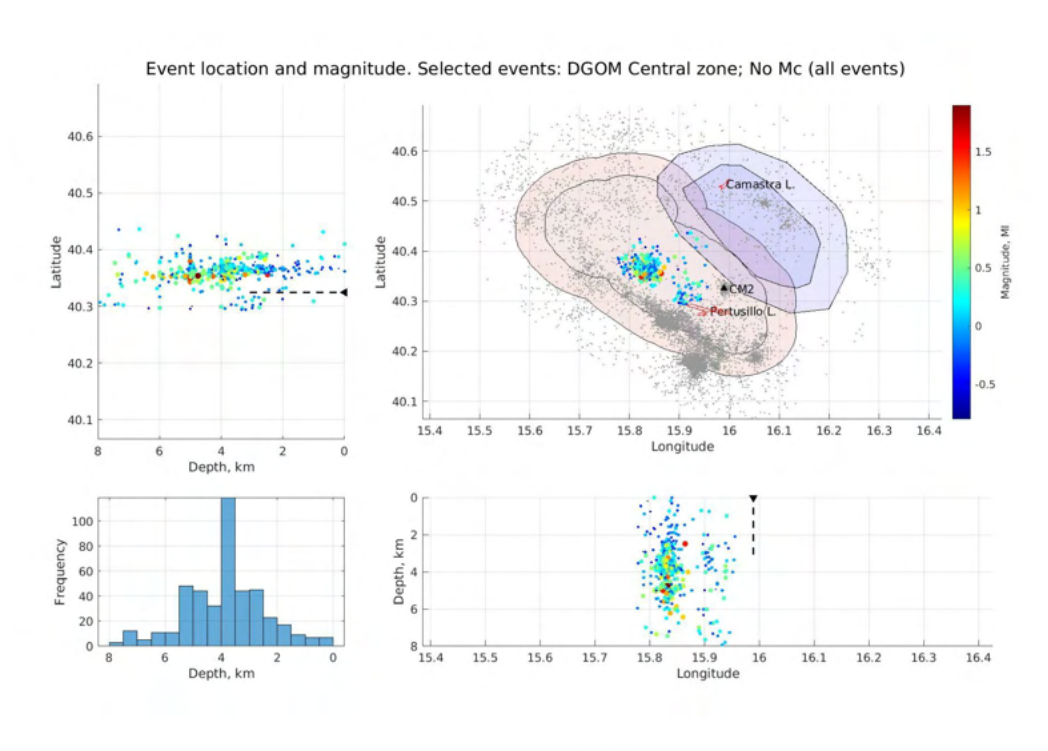
### D.6.2 Eventi con Zmax = profondità del DI + 1 km (localizzazioni e analisi di completezza)

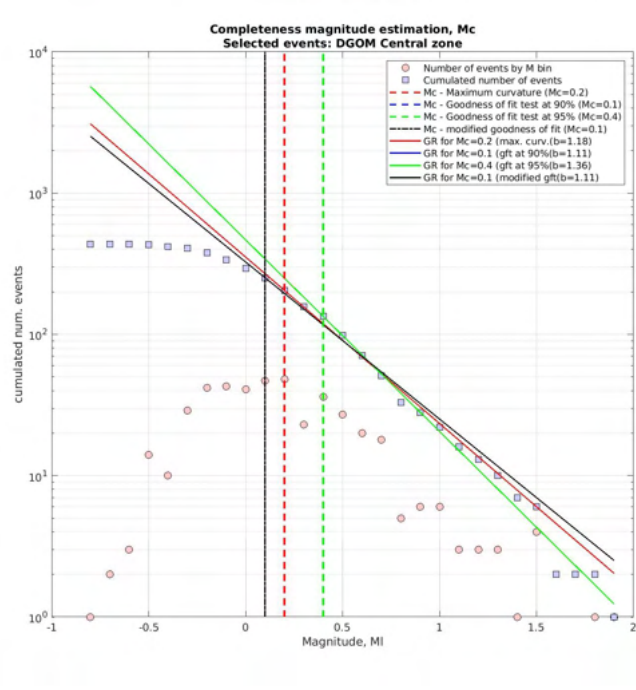




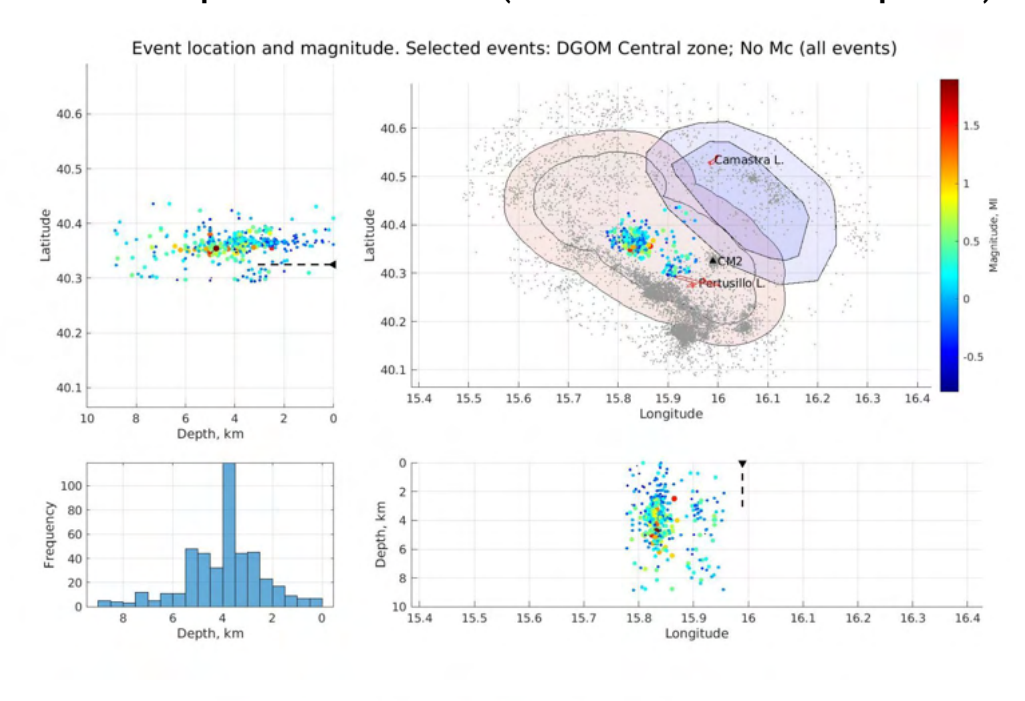
## D7. Zona del cluster centrale del dominio della concessione Val d'Agri (VA - Central area)

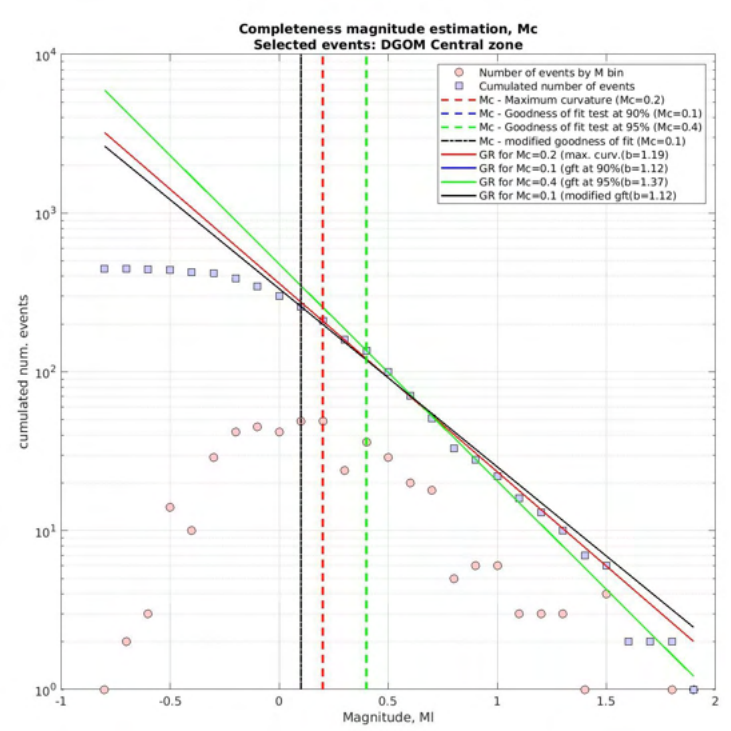
### D.7.1 Eventi con Zmax = profondità del DI (localizzazioni e analisi di completezza)





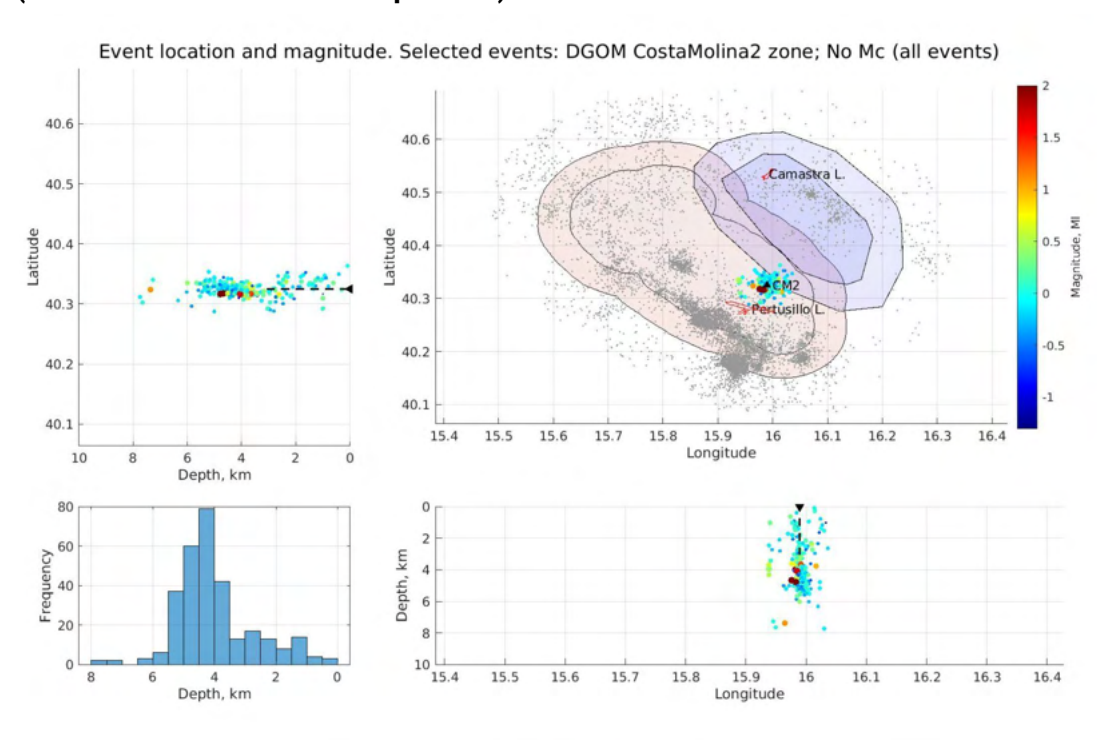
### D.7.2 Eventi con Zmax = profondità del DI + 1 km (localizzazioni e analisi di completezza)

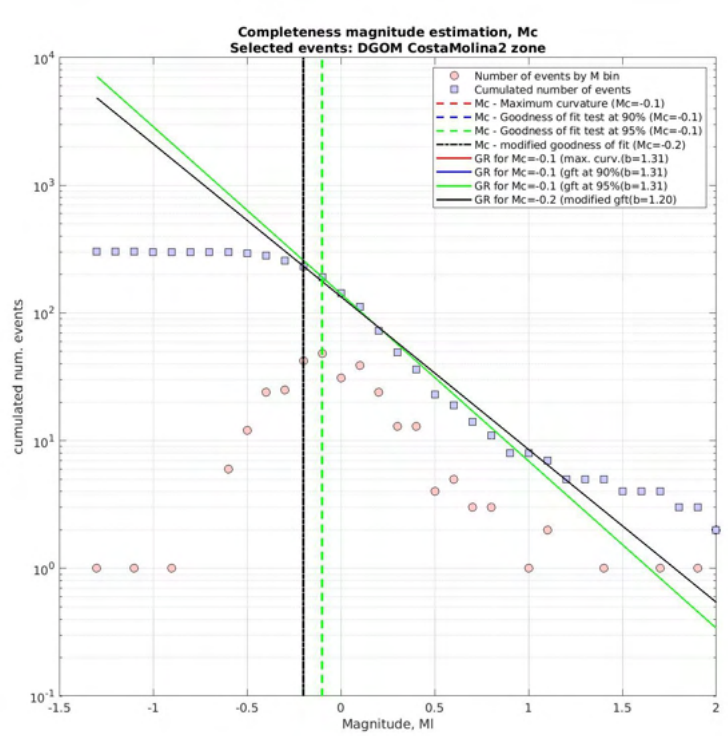




### D8. Zona attorno al pozzo Costa Molina 2 (VA - CM2)

## D.8.1 Eventi con Zmax = profondità del DR (unico caso considerato). (localizzazioni e analisi di completezza)





### Glossario

AQ: Accordo Quadro

CM2: Costa Molina 2, pozzo iniettore

CMS: Centro di Monitoraggio per le attività di Sottosuolo

CNR: Consiglio Nazionale delle Ricerche

**DE:** Dominio Esteso

**DGOM:** Documento di Gestione Operativa del Monitoraggio

DI: Dominio Interno
DR: Dominio di Riferimento

**DS**: Distributed Scatterer

**EPOS:** European Plate Observing System **GNSS:** Global Navigation Satellite System

**GPS**: Global Positioning System

**GR:** Gutenberg Richter

IGS: International GNSS Service

**ILG:** Indirizzi e Linee Guida per il Monitoraggio della sismicità delle Deformazioni del Suolo e delle pressioni di poro nell'ambito delle attività antropiche

**InSAR:** Interferometric SAR

INGV: Istituto Nazionale di Geofisica e Vulcanologia

IV: Sigla rete (NW-Code) RSN (INGV)
LOS: Line of Sight - Linea di vista

MiSE: Ministero dello Sviluppo Economico

MiTE: Ministero della Transizione Ecologica

ML: Magnitudo Locale

MLbj: Magnitudo Locale Bakun e Joyner NRMS: Normalized Root Mean Square PGA: Peak Ground Acceleration PGV: Peak Ground Velocity

PGV: Peak Ground Velocity
PS: Persistent Scatterer
PSP: Persistent Scatterer Pairs
RMSE: Root Mean Square Error

RSN: Rete Sismica Nazionale (INGV) RST2: Radarsat-2 costellazione SAR S1: Sentinel-1 costellazione SAR SAR: Synthetic Aperture Radar

SBAS: Small BAseline Subset

SPINUA: Stable Points INterferometry even over In-urbanised Areas

**SPM:** Struttura Preposta al Monitoraggio

TCS-AH: Thematic Core Services "Anthropogenic Hazards"

**TEPIT:** TotalEnergies EP Italia

THP: Tubing Head Pressure - pressione a testa pozzo
TLS: Traffic Light System - sistema a semaforo

VIR: Volume Injection Rate - rata del volume di fluido iniettato (portata)

VA: Val d'Agri

**WRMS:** Weighted Root Mean Square

### Bibliografia

Altamimi, Z., Métivier, L., Rebischung, P., Rouby, H., Collilieux, X. (2017). ITRF2014 plate motion model. Geophys. J. Int. 209, 1906–1912. doi:10.1093/gji/ggx136.

Bakun, W.H., and W.B. Joyner (1984). The ML scale in Central California Bulletin of the Seismological Society of America (1984) 74 (5): 1827–1843.

Berardino P, Fornaro G, Lanari R, Sansosti E (2002) A new algorithm for surface deformation monitoring based on small baseline differential SAR interferograms. IEEE Trans GeosciRemote Sens 40(11):2375–2383

Bevis, M., & Brown, A. (2014). Trajectory models and reference frames for crustal motion geodesy. Journal of Geodesy, 88(3), 283–311. https://doi.org/10.1007/s00190-013-0685-5.

Blewitt, G., and Lavallée, D. (2002). Effect of Annual Signals on Geodetic Velocity. J. Geophys. Res. 107 (B7), 9-1. doi:10.1029/2001JB000570

Bovenga, F., Refice, A., Nutricato, R., Guerriero, L., Chiaradia, M. T. (2004) "SPINUA: a flexible processing chain for ERS / ENVISAT long term interferometry", Proceedings of ESA-ENVISAT Symposium 2004, 6-10 September, 2004, Salzburg, Austria.

Braun e Danesi (2024): Monitoring and No-Money-toring of Oil & Gas exploitation in Italy. Atti 42. Convegno G.N.G.T.S., 13.-16. Feb. 2024, Italy.

Braun T., S. Danesi, L. Anderlini, M. Buttinelli, M. Caciagli, M. Errico, D. Famiani, M. Polcari, M. Vassallo e G. Zerbinato (2022): Relazione finale 2022/I, Progetto di Monitoraggio concessione Val d'Agri. 141 pp.

Costantini M., Falco S., Malvarosa, F., Minati F. (2008), A new method for identification and analysis of persistent scatterers in series of SAR images, in Proceedings of the IEEE International Geoscience and Remote Sensing Symposium (IGARSS '08), Boston, Ma, USA, 6-11 July 2008

Danesi S., T. Braun, L. Anderlini, M. Errico, D. Famiani, M. Polcari e G. Zerbinato (2021): Relazione semestrale 2021/I, Progetto di Monitoraggio concessione Val d'Agri. 103 pp.

Dialuce, G., Chiarabba, C., Di Bucci, D., Doglioni, C., Gasparini, P., Lanari, R., Priolo, E., Zollo, A., (2014): Indirizzi e linee guida per il monitoraggio della sismicità, delle deformazioni del suolo e delle pressioni di poro nell'ambito delle attività antropiche. GdL MISE, Roma. unmig.mise.gov.it/unmig/agenda/upload/85238.pdf. (ultimo accesso Ottobre 2019).

Even, M., & Schulz, K. (2018). InSAR Deformation Analysis with Distributed Scatterers: A Review Complemented by New Advances. Remote Sensing, 10(5), 744. https://doi.org/10.3390/rs10050744

Ferretti, A., Prati, C., Rocca, F. (2001) Permanent scatterers in SAR interferometry. IEEE Trans Geosci Remote Sens 39(1):8–20

Garcia, A., L. Anderlini, T. Braun, M. Errico, G. Zerbinato e M. Vassallo (2024): Relazione semestrale 2024/I, Progetto di Monitoraggio integrato concessione Val d'Agri e Gorgoglione. 165 pp.

Hager, B.H., Dieterich, J., Frohlich, C. et al. A process-based approach to understanding and managing triggered seismicity. Nature 595, 684–689 (2021). <a href="https://doi.org/10.1038/s41586-021-03668-z">https://doi.org/10.1038/s41586-021-03668-z</a>

Improta, L, L Valoroso, D Piccinini, and C Chiarabba (2015), A detailed analysis of wastewater-induced seismicity in the Val d'Agri oil field (Italy). Geophys. Res. Lett., 42, 2682–2690. doi: 10.1002/2015GL063369.

Kreemer, C., and Blewitt, G. (2021). Robust Estimation of Spatially Varying Common-Mode Components in GPS Time-Series. J. Geod. 95 (1), 13. doi:10.1007/s00190-020-01466-5

Leptokaropoulos, K., Karakostas, V., Papadimitriou, E., Adamaki, A., Tan, O. & Inan, S., 2013. A homogeneous earthquake catalog for Western Turkey and magnitude of completeness determination., Bull. seism. Soc. Am., 103(5), 2739–2751

Orlecka-Sikora B, Lasocki S, Kocot J, Szepieniec T, Grasso JR, Alexander Garcia Aristizabal, Schaming M, Urban P, Jones G, Stimpson I, Dineva S, Salek P, Leptokaropoulos K, Lizurek G, Olszewska D, Schmittbuhl J, Kwiatek G, Saccarotti G, Chodzińska K, Rudziński L, Dobrzycka I, Mutke G, Barański A, Pierzyna A, Kozlovskaya E, Nevalainen J, Kinscher J, Sileny J, Sterzel M, Cielesta S, Fischer T (2020). An open data infrastructure for the study of anthropogenic hazards linked to georesource exploitation. SCIENTIFIC DATA, vol. 7, p. 1-16, ISSN: 2052-4463, doi: 10.1038/s41597-020-0429-3

Palano, M., Cannavò, F., Ferranti, L., Mattia, M., Mazzella, M.E. (2011) Strain and stress fields in the Southern Apennines (Italy) constrained by geodetic, seismological and borehole data, Geophysical Journal International, (3) 187,1270–1282, <a href="https://doi.org/10.1111/j.1365-246X.2011.05234.x">https://doi.org/10.1111/j.1365-246X.2011.05234.x</a>

Rebischung, P., Altamimi, Z., Ray, J., Garayt B. (2016) The IGS contribution to ITRF2014. J Geod 90, 611–630. https://doi.org/10.1007/s00190-016-0897-6

Serpelloni E, Cavaliere A, Martelli L, Pintori F, Anderlini L, Borghi A, Randazzo D, Bruni S, Devoti R, Perfetti P and Cacciaguerra S (2022) Surface Velocities and Strain-Rates in the Euro-Mediterranean Region From Massive GPS Data Processing. Front. Earth Sci. 10:907897. doi: 10.3389/feart.2022.907897

Stabile, T. A., A. Giocoli, A. Perrone, S. Piscitelli, and V. Lapenna (2014), Fluid injection induced seismicity reveals a NE dipping fault in the southeastern sector of the High Agri Valley (southern Italy), Geophys. Res. Lett., 41, 5847–5854, doi:10.1002/2014GL060948.

Wiemer, S. & Wyss, M., 2000. Minimum magnitude of completeness in earthquake catalogs: examples from Alaska, the Western United States, and Japan, Bull. seism. Soc. Am., 90(4), 859–869.

Maintenny   Main	ř	_	盖	XIII-eII		0,3	0,5 4,52	1 0 0 0 0	•				
Decidio   24   17   27   33   40,3346   15,9968   0.049   0.000   0.049   0.000   0.049   0.000   0.049   0.000   0.049   0.000   0.049   0.			: ;	uml_orr		٥	000	16 0033		55	12 11	2024 12	cms-ingv2024yjfer DI
Decidio				NaN	0,07	0,4	0 4,74		57	31	7 19	2024 12	cms-ingv2024yaqrw DI
202411   24   17   27   33   46,348   55,968   0.8   0.9   0.0			HH	xml-err		0,3		15,9922	11	57	4 23	2024 12	cms-ingv2024xvmxk DI
202410   24   7   27   33   41,348   51,598   0.6   0.69			EE	0,000618		0,5	0,1 4	15,9943	2	20	4 11	2024 12	cms-ingv2024xunxv DI
202410   24   7   27   33   36   348   15   568   68   6.9	NaN			NaN	0,09	0,4	0,2 4	-	19	17	4 10	2024 12	
202410   24   17   27   33   30,3348   15968   0.5   0.69   0.9			Ŧ	xml-err		0,3		-	0	ω	4 10	2024 12	
202410   24   7   27   33   40,338   15,9968   08   08   08   08   08   08   08			HH	0,00171		1,4			4	37	3 18	2024 12	cms-ingv2024xtgvl DI
202410   24   7   27   33   4.0338   1.5968   0.9   0.95   0.05			EHN	0,00149		1,2		16,0298	52	46	3 16	2024 12	cms-ingv2024xtdex DI
2024 10 24 17 22 33 4.0338 15.908 0.9 -0.3 5 0.6 0.09 Nm - Man   2024 10 25 3 1 57 40.328 15.908 0.9 -0.3 5 0.9 0.00 Nm - Man   2024 10 25 3 1 57 40.328 15.908 0.9 -0.3 5 0.9 0.00 Nm - Man   2024 10 25 1 1 3 8 40.328 15.902 0.3 -0.1 4.37 0.2 0.00 Nm - Man   2024 10 26 1 3 8 40.328 15.902 0.3 -0.1 4.37 0.2 0.00 Nm - Man   2024 10 26 1 3 8 40.3282 15.902 0.3 -0.1 4.37 0.2 0.00 Nm - Man   2024 10 26 1 3 8 40.3282 15.902 0.3 -0.2 4.1 0.3 0.00 SCM Nm - Miner   2024 10 26 1 3 8 40.3282 15.902 0.3 -0.2 4.1 0.3 0.00 SCM Nm - Miner   2024 10 26 1 3 8 40.3282 15.902 0.3 -0.2 4.1 0.3 0.00 SCM Nm - Miner   2024 10 26 1 3 8 40.3282 15.902 0.3 -0.2 4.1 0.3 0.3 0.04 SCM Nm - Miner   2024 11 2 2 3 26 40.3282 15.902 0.3 -0.2 4.1 0.3 0.3 0.04 SCM Nm - Miner   2024 11 3 20 26 19 40.322 15.902 0.3 -0.2 4.1 0.3 0.3 AMMEN   2024 11 3 20 26 19 40.322 15.902 0.2 0.3 4.91 0.3 0.00 TR12   2024 11 3 20 26 19 40.322 15.902 0.2 -0.3 4.91 0.3 0.00 TR12   2024 11 3 20 26 19 40.322 15.902 0.2 -0.3 4.91 0.3 0.00 TR12   2024 11 5 11 45 6 40.3232 15.902 0.3 -0.1 4.72 0.3 0.00 TR12   2024 11 5 11 45 6 40.3232 15.902 0.3 -0.1 4.72 0.3 0.00 TR12   2024 11 5 11 45 6 40.3232 15.902 0.3 -0.1 4.72 0.3 0.00 TR12   2024 11 5 11 45 6 40.3232 15.902 0.3 -0.1 4.72 0.3 0.00 TR12   2024 11 5 11 45 6 40.3232 15.902 0.3 -0.1 4.72 0.3 0.00 TR12   2024 11 5 11 45 6 40.3232 15.902 0.3 -0.1 4.72 0.3 0.00 TR12   2024 11 5 11 45 6 40.3232 15.902 0.3 -0.1 4.72 0.3 0.00 TR12   2024 11 5 12 5 41 40.3323 15.902 0.3 -0.1 4.72 0.3 0.00 TR12   2024 11 5 12 5 41 40.3323 15.902 0.3 -0.1 4.72 0.3 0.00 TR12   2024 11 5 12 5 41 40.3323 15.902 0.3 -0.1 4.72 0.3 0.00 TR12   2024 11 5 10 40 40 40.3238 15.902 0.3 -0.1 4.0 0.3 0.00 TR12   2024 11 5 10 40 40 40.3238 15.902 0.3 -0.1 4.0 0.3 0.00 TR12   2024 11 5 10 40 40 40.3238 15.902 0.3 -0.1 4.0 0.3 0.00 TR12   2024 11 5 10 40 40 40.3238 15.902 0.3 -0.1 4.0 0.3 0.00 TR12   2024 11 5 10 40 40 40.3238 15.902 0.3 -0.1 4.0 0.3 0.00 TR12   2024 11 5 10 40 40 40.3238 15.902 0.3 -0.1 4.0 0.3 0.00 TR12   2024 11 5 10 40 40 40.3238 15.902 0.	NaN			NaN	0,11	1,1	0 3,58	15,987	57	45	25 16	2024 11	cms-ingv2024xenbb DI
202410   24   7   27   33   30,3348   15,9586   0.8   0.9			EHE	0,000111		0,3			5	46	21 10	2024 11	cms-ingv2024wwtd: DI
202410   24   7   27   33   40,3348   1,5968   0,8   0,3   0,3   0,0				0,0000648		0,6		15,9963	44	56		2024 11	cms-ingv2024wruur DI
202410   24   7   27   33   40,3348   5,9968   0,8   0,3   0,3   0,0				0,0000313		1,2		15,9883	56	41	18 13	2024 11	cms-ingv2024wrmk  DI
202410   24   7   27   33   40,3348   15,9968   0.8   0.3 5   0.6   0.09   0.09   0.00   0.			EHN	0,00868		0,3		. •	27	26	18 7	2024 11	cms-ingv2024wqzzx DI
202410   24   17   27   33   0.3348   15.9968   0.8   0.3 5   0.6   0.09   0.09   0.0000357   HNV   0.00000284   202410   25 3   1.   57   0.3227   15.9903   0.4   0.1   3.97   0.4   0.20   0.0000   0.00000357   HNV   0.00000284   0.00000284   0.00000357   0.4   0.1   3.97   0.4   0.20   0.000   0.00000357   HNV   0.000000284   0.00000284   0.00000284   0.00000357   0.4   0.1   0.00000284   0.00000357   0.0   0.00000357   0.000000357   0.00000357   0.00000357   0.00000357   0.00000357   0.000000357   0.000000357   0.000000357   0.000000357   0.000000357   0.000000357   0.000000357   0.0000000000000000000000000000000000	NaN			NaN	0,09	0,4		-	46	16	18 1	2024 11	cms-ingv2024wqnu: DI
202410   24   17   22   33   40,3348   15,9968   0.8   0.9   0.95   0.09   0.00   0.	NaN			NaN	0,07	0,4		-	14	54		2024 11	cms-ingv2024wprhł DI
May			EHE	0,000547		0,4		15,9935	2	26	17 8	2024 11	cms-ingv2024wpgls DI
202410   24   17   22   33   40,3348   15,9968   0,8   0,3   5   0,6   0,9   14   0,00000325   HN   PTRP   0,000000284   20224   10   25   3   1   17   40,3128   15,9903   0,4   0,1   3,9   1,0   0,0   0,0   MOMN   Mmi-err   HHE   MMOMN   Mmi-err   HHE   MOMN   Mmi-err   HHE   MMOMN   Mmi-err	NaN			NaN	0,04	0,2	0 3,76	15,9977	53	21	17 8	2024 11	cms-ingv2024wpgic DI
202410   24   17   25   33   40,3348   15,9968   0,8   0,5   0,6   0,99   FRPP   0,000003284   0,20   0,14   0,20   0,14   0,20   0,14   0,20   0,14   0,20   0,14   0,20   0,14   0,20   0,2			Æ	0,00426		0,3		15,9978	4	58		2024 11	cms-ingv2024wofut DI
202410   24   17   27   33   40,3348 15,9968   0,8   -0,3 5   0,6   0,09   0,000   0			EHN	0,00146		0,4			55	44		2024 11	cms-ingv2024wndqi DI
202410   24   17   22   33   40,3348   15,968   0,8   0,3   5   0,6   0,09   0,09   0,000				0,0000914		0,4	-0,3 4	15,9955	42	29	14 20	2024 11	cms-ingv2024wkrur DI
202410 24 17 22 33 40,3348 15,996 0,8 0,3 5 0,6 0,9 FRP 0,00000387 HNV 07RP 0,00000284 CN2410 25 3 1 57 40,3168 15,0327 1,3 1,3 1 0,4 0,39 PRP 0,00000284 CN2410 25 5 11 1 17 40,3227 15,9903 0,4 0,1 3,7 0,4 0,2 MoMN 07RP 0,00000284 CN22410 26 1 3 4 40,33227 15,9903 0,3 0,1 4,4 0,2 0,0 0,0	NaN			NaN	0,06	0,4		•	28	ω	14 1	2024 11	cms-ingv2024wjfhv DI
202410   24   17   22   33   40,3348 15,9968   0,8   -0,3 5   -0,6   -0,9   -0,000	NaN			NaN	0,07	1,1		15,985	41	5	9 15	2024 11	cms-ingv2024wbdn DI
202410   24 17   22   33   40,3348   15,968   0,8   0,3   5   0,6   0,09   MaN   M	NaN			NaN	0,05	0,4			22	18	8 21	2024 11	cms-ingv2024vzuhy DI
202410   24 17 22   33   40,3348   15,9968   0,8   0,3   5   0,6   0,09   10   0,00   0,00   10   0,00   10   0,00   0,00   10   0,00   0,00   10   0,00   0,00   10   0,00   0,00   10   0,00   0,00   10   0,00   0,00   10   0,00   0,00   10   0,00   0,00   10   0,00   0,00   10   0,00   0,00   10   0,00   0,00   10   0,00   0,00   10   0,00   0,00   10   0,00	NaN			NaN	0,03	9,0		15,9898	15	30	8 15	2024 11	cms-ingv2024vzivo DI
202410   24   17   22   33   40,348   15,9968   0,8   -0,3   5   0,6   0,9   -0,0000357   HNK   PTRP   0,00000284   2024   10   25   3   1   17   40,3217   15,9903   0,4   -0,1   3,97   0,4   0,39   PTRP   0,00000357   HNK   PTRP   0,00000284   2024   10   26   1   3   8   40,3227   15,9903   0,3   -0,1   4,37   0,2   0,01   MOMN   xml-err   HHE   MOMN   Xml-err			HH	xml-err	_	0,3		15,9913	24	4	7 2	2024 11	cms-ingv2024vwms DI
2024 10 24 17 22 33 40,348 15,968 0,8 -0,3 5 0,6 0,09 NaN Willer VAN			Ŧ	0,000283		0,3			50	20	5 17	2024 11	cms-ingv2024vtzyd DI
2024 10 24 17 22 33 40,3348 15,9968 0,8 -0,3 5 0,6 0,9 NaN			EH	0,00245		0,3		15,994	9	45	5 11	2024 11	cms-ingv2024vtowi DI
202410 24 17 22 33 40,3348 15,9968 0,8 -0,3 5 0,6 0,9 NaN Willer PTRP 0,00000284 202410 25 3 1 57 40,3168 16,0327 1,3 1 0,4 0,39 PTRP 0,00000357 HNV Willer PTRP 0,000000284 202410 25 5 11 17 40,3227 15,9903 0,4 -0,1 3,97 0,4 0,12 MOMN Willer HHE MOMN Willer Willer 202410 26 1 3 47 40,3182 15,9847 0,4 -0,4 4,4 0,2 0,01 NaN Willer HHE MOMN Willer 202410 26 1 38 46 40,3172 15,9932 0,3 -0,2 4,1 0,3 0,4 SLCN 0,000756 HNE SLCN 0,0000437 202410 26 1 38 46 40,3172 15,9932 0,3 -0,2 4,1 0,3 0,1 MOMN Willer HHE MOMN Willer 202410 26 1 38 46 40,3172 15,9932 0,3 -0,2 4,1 0,3 0,1 MOMN Willer HHE MOMN Willer 202410 26 1 3 36 6 40,3097 15,9988 0,3 0 2,5 0,5 0,5 0,5 0,5 0,5 0,5 0,5 0,5 0,5 0	NaN			NaN	0,11	0,5	-0,1 4	15,9897	6	45	5 11	2024 11	cms-ingv2024vtowj DI
202410 24 17 22 33 40,3348 15,9968 0,8 0,3 5 0,6 0,9 MaN  202410 25 3 1 57 40,3168 16,0327 1,3 1,3 1, 0,4 0,39 PTRP 0,00000357 HNN PTRP 0,000000284  202410 25 5 11 17 40,3227 15,9903 0,4 0,1 3,97 0,4 0,12 MOMN xml-err HHE MOMN xml-err  202410 26 1 3 4 40,3182 15,9947 0,4 0,4 4,4 0,2 0,01 MAN  202410 26 1 38 46 40,3182 15,9962 0,5 0,5 4 0,3 0,04 SLCN 0,000776 HNE SLCN 0,0000437  202410 26 1 38 46 40,3172 15,9932 0,3 0,2 4,1 0,3 0,1 MOMN xml-err HHE LAPE 0,0000041  202410 26 1 38 46 40,3172 15,9932 0,3 0,2 4,1 0,3 0,1 MOMN xml-err HHE LAPE 0,0000041  202410 26 13 36 6 40,3097 15,9988 0,3 0 2,5 0,3 0,1 MOMN xml-err HHE MOMN xml-err  202410 30 7 49 8 40,3088 15,9782 0,8 0,5 2,07 1,7 0,3 ARMEN 0,000724 CHN ARMEN 0,000071  202411 3 20 26 36 40,321 15,9918 0,2 0,1 3,91 0,2 0,1 MOMN xml-err HHE MOMN xml-err  202411 3 23 16 29 40,312 15,9852 0,2 0,3 4,33 0,1 0,01 TR12 0,00135 EHN TR12 0,0000735  202411 3 23 30 2 40,325 15,9887 0,3 0,1 4,72 0,3 0,03 TR05 0,00147 HHE TR05 0,00000459			EHN	0,036		0,3		15,9923	42	00	4 14	2024 11	cms-ingv2024vrycd DI
202410 24 17 22 33 40,3348 15,9968 0,8 0,3 5 0,6 0,9 NaN Willerr HE MOMN Similari (Application of Control of C			HHE	0,00147		0,3		15,9887	2	30	3 23	2024 11	cms-ingv2024vqvch DI
202410 24 17 22 33 40,3348 15,9968 0,8 0,3 5 0,6 0,9 MaN  202410 25 3 1 57 40,3168 16,0327 1,3 1,3 1, 0,4 0,39 PTRP 0,00000357 HNN PTRP 0,000000284  202410 25 5 11 17 40,3227 15,9903 0,4 0,1 3,97 0,4 0,12 MOMN xml-err HHE MOMN xml-err  202410 26 1 3 8 40,3282 15,9903 0,3 0,1 4,37 0,2 0,03 MaN  202410 26 1 3 47 40,3182 15,9947 0,4 0,4 4,4 0,2 0,01 MaN  202410 26 1 38 46 40,3172 15,9932 0,5 0,5 4 0,3 0,4 SLCN 0,000776 HNE SLCN 0,0000437  202410 26 1 38 46 40,3172 15,9932 0,3 0,2 4,1 0,3 0,1 MOMN xml-err HHE LAPE 0,00000411  202410 30 7 49 8 40,3087 15,9988 0,3 0 2,5 0,3 1,7 0,3 ARMEN 0,000724 CHN ARMEN 0,0000071  202411 3 20 26 19 40,322 15,9905 0,5 0,2 4,57 0,2 0,01 TR12 0,00213 EHN TR12 0,0000143			EHN	0,00135		0,1		2 15,9852		16	3 23	2024 11	cms-ingv2024vququ DI
202410 24 17 22 33 40,3348 15,9968 0,8 -0,3 5 0,6 0,9 NaN Wallerr HHE MOMN xml-err HE MOMN xml			EHN	0,00273		0,2		15,9905		26	3 20	2024 11	cms-ingv2024vqpav DI
202410 24 17 22 33 40,3348 15,9968 0,8 -0,3 5 0,6 0,9 NaN Wallerr HE MOMN xml-err HE LAPE 0,00000071  202410 25 3 1 57 40,3168 16,0327 1,3 -1,3 1 0,4 0,39 PTRP 0,00000357 HHN PTRP 0,000000284  202410 25 5 11 17 40,3227 15,9903 0,4 -0,1 3,97 0,4 0,12 MOMN xml-err HE MOMN xml-err HE NaN 2024 10 26 1 3 47 40,3182 15,9963 0,3 -0,1 4,37 0,2 0,03 NaN			Ħ	xml-err		0,2		15,9918		26	2 23	2024 11	cms-ingv2024vozm( DI
202410 24 17 22 33 40,3348 15,9968 0,8 0,3 5 0,6 0,9 NaN Wallerr HHE MOMN xml-err HE LAPE 0,00000411  202410 25 3 1 57 40,3168 16,0327 1,3 -1,3 1 0,4 0,39 PTRP 0,00000357 HHN PTRP 0,000000284  202410 25 5 11 17 40,3227 15,9903 0,4 -0,1 3,97 0,4 0,12 MOMN xml-err HHE MOMN xml-err ANA  202410 26 1 3 8 40,3282 15,9903 0,3 -0,1 4,37 0,2 0,03 NaN  202410 26 1 3 47 40,3182 15,9847 0,4 -0,4 4,4 0,2 0,01 NaN  202410 26 1 38 46 40,3172 15,9932 0,3 -0,2 4,1 0,3 0,1 MOMN xml-err HHE LAPE 0,00000437  202410 26 1 38 46 40,3172 15,9932 0,3 0 2,5 0,3 0,13 MOMN xml-err HHE MOMN xml-err				0,0000724		1,7				49		2024 10	cms-ingv2024vihzw DI
202410 24 17 22 33 40,3348 15,9968 0,8 -0,3 5 0,6 0,09 NaN Wall Man (202410 25 3 1 57 40,3168 16,0327 1,3 -1,3 1 0,4 0,39 PTRP 0,00000357 HN PTRP 0,000000284 (202410 25 5 11 17 40,3227 15,9903 0,4 -0,1 3,97 0,4 0,12 MOMN xml-err HHE MOMN xml-err 202410 26 1 3 8 40,3282 15,9903 0,3 -0,1 4,37 0,2 0,03 NaN NaN (202410 26 1 3 47 40,3182 15,9847 0,4 -0,4 4,4 0,2 0,01 NaN NaN (202410 26 1 3 47 40,3182 15,9847 0,4 -0,4 4,4 0,2 0,01 NaN NaN (202410 26 1 38 46 40,3172 15,9932 0,3 -0,2 4,1 0,3 0,1 MOMN xml-err HHE LAPE 0,00000431			Ŧ	xml-err		0,3			6	36		2024 10	cms-ingv2024vblke DI
202410 24 17 22 33 40,3348 15,9968 0,8 -0,3 5 0,6 0,09 NaN PTRP 0,000000284  202410 25 3 1 57 40,3168 16,0327 1,3 -1,3 1 0,4 0,39 PTRP 0,00000357 HN PTRP 0,000000284  202410 25 5 11 17 40,3227 15,9903 0,4 -0,1 3,97 0,4 0,12 MOMN xml-err HHE MOMN xml-err  202410 26 1 3 8 40,3282 15,9903 0,3 -0,1 4,37 0,2 0,03 NaN NaN NaN  202410 26 1 3 47 40,3182 15,9847 0,4 -0,4 4,4 0,2 0,01 NaN NaN  202410 26 1 4 25 40,3258 15,9902 0,5 -0,5 4 0,3 0,04 SLCN 0,000776 HNE SLCN 0,00000437			Ħ	xml-err		0,3		15,9932		38	26 1	2024 10	cms-ingv2024vanst DI
2024 10 24 17 22 33 40,3348 15,9968 0,8 -0,3 5 0,6 0,09 NaN PTRP 0,000000284  2024 10 25 3 1 57 40,3168 16,0327 1,3 -1,3 1 0,4 0,39 PTRP 0,00000357 HN PTRP 0,000000284  2024 10 25 5 11 17 40,3227 15,9903 0,4 -0,1 3,97 0,4 0,12 MOMN xml-err HHE MOMN xml-err  2024 10 26 1 3 8 40,3282 15,9903 0,3 -0,1 4,37 0,2 0,03 NaN NaN NaN			HNE	0,000776		0,3		15,9902	25	4	26 1	2024 10	cms-ingv2024vampl DI
2024 10 24 17 22 33 40,3348 15,9968 0,8 -0,3 5 0,6 0,09 NaN PTRP 0,000000284  2024 10 25 3 1 57 40,3168 16,0327 1,3 -1,3 1 0,4 0,39 PTRP 0,00000357 HNN PTRP 0,000000284  2024 10 25 5 11 17 40,3227 15,9903 0,4 -0,1 3,97 0,4 0,12 MOMN xml-err HHE MOMN xml-err  2024 10 26 1 3 8 40,3282 15,9903 0,3 -0,1 4,37 0,2 0,03 NaN NaN	NaN			NaN	0,01	0,2		15,9847	47	ω	26 1	2024 10	cms-ingv2024vamot DI
2024 10 24 17 22 33 40,3348 15,9968 0,8 -0,3 5 0,6 0,09 NaN PTRP 0,000000284 2024 10 25 3 1 57 40,3168 16,0327 1,3 -1,3 1 0,4 0,39 PTRP 0,00000357 HHN PTRP 0,000000284 2024 10 25 5 11 17 40,3227 15,9903 0,4 -0,1 3,97 0,4 0,12 MOMN xml-err HHE MOMN xml-err	NaN			NaN	0,03	0,2			∞	ω	26 1	2024 10	cms-ingv2024vamo: DI
2024 10 24 17 22 33 40,3348 15,9968 0,8 -0,3 5 0,6 0,09 NaN NaN NaN 2024 10 25 3 1 57 40,3168 16,0327 1,3 -1,3 1 0,4 0,39 PTRP 0,00000357 HHN PTRP 0,000000284			HH	xml-err		0,4		•		11	25 5	2024 10	cms-ingv2024uyzfs DI
2024 10 24 17 22 33 40,3348 15,9968 0,8 -0,3 5 0,6 0,09 NaN NaN NaN	0,000000284 HHN		57 HHN	0,0000035		0,4	-1,3 1		57	1		2024 10	cms-ingv2024uyuyt DI
	NaN			NaN	0,09	0,6			33	22		2024 10	cms-ingv2024uybvr DI
2024 10 18 22 55 49 40,343 15,9805 0,2 -0,4 0,89 0,2 0,09 MOMN xml-err HHN		MOMN	HHN	xml-err		0,2	-0,4 0,89	40,343 15,9805 0,2	49	55	18 22	2024 10	cms-ingv2024unnto DI

cms-ingv2025hjmhs DI	cms-ingv2025hjhck DI	cms-ingv2025hhcpn DI	cms-ingv2025hdzvv DI	cms-ingv2025hcxrq DI	cms-ingv2025gsmw DI	cms-ingv2025gpwhl DI	cms-ingv2025gpuwl DI	cms-ingv2025gogto DI	cms-ingv2025gnfqd DI	cms-ingv2025gkyrd DI	cms-ingv2025gkuur DI	cms-ingv2025gjzpt DI	cms-ingv2025gjzaa DI	cms-ingv2025gjyya DI	cms-ingv2025ggwls DI	cms-ingv2025ggnae DI	cms-ingv2025geabu DI	cms-ingv2025gdyrm DI	cms-ingv2025gcway DI	cms-ingv2025gcale DI	cms-ingv2025fydhp DI	cms-ingv2025eolso DI	cms-ingv2025ejtyb DI	cms-ingv2025ebfik DI
2025 4	2025 4	2025 4	2025 4	2025 4	2025 4	2025 4	2025 4	2025 4	2025 4	2025 4	2025 4	2025 4	2025 4	2025 4	2025 3	2025 3	2025 3	2025 3	2025 3	2025 3	2025 3	2025 3	2025 3	2025 2
15 18	15 16	14 11	12 18	12 4	6 11	5 1	5 0	4 4	3 14	2 8	2 6	1 19	1 19	1 19	31 2	30 22	29 13	29 12	28 22	28 11	26 8	6 19	4 6	27 13
39	ъ	28	41	27	40	ъ	19	ω	20	33	36	54	36	33	54	∞	20	38	10	15	10	37	6	40
5	12	57	27	56	48	48	10	∞	45	49	40	30	∞	51	54	42	34	16	22	33	24	55	51	23
40,3112 15,9905 0,6	40,3073 16,0418 2,3	40,3157 15,9928 0,4	40,3428 15,9978 0,4	40,3237 15,9963 0,4	40,3293 15,9912 0,2	40,3285 15,9923 0,4	40,3202 15,9903 0,2	40,3208 15,9955 0,4	40,3225 15,9915 0,3	40,325 15,9917 0,5	40,3237 15,991 0,3	40,3208 15,9933 0,3	40,3347 15,9967 0,5	40,3193 15,9862 0,3	40,3307 15,991 0,3	40,339 15,9875 1,5	40,3195 15,9873 0,3	40,3268 15,9923 0,2	40,3322 15,995 0,5	40,3317 15,9928 0,3	40,3355 15,9973 0,3	40,3285 15,986 0,3	40,3293 15,995 0,5	40,3447 16,0078 0,7
-0,4 3,28	-0,5 2,07	0 3,85		-0,4 3,72	-0,5 4,67	-0,6 4,66	0,3 3,97	-0,1 4	0,1 4,61		0,3 5,05	0,1 4,14	-0,4 5,01	0,7 3,94	-0,5 4	-0,5 4,87		-0,1 4,69	-0,9 4,27	-0,2 4,31	-0,1 4,9	-0,4 5	-0,2 4,65	-0,6 4,67
1,3	0,9	0,4	0,7	0,5	0,3	0,2	0,2	0,4	0,4	0,4	0,3	0,3	0,4	0,3	0,2	1,5	0,4	0,3	0,4	0,2	0,3	0,2	0,5	0,7
0,15	0,04 MOLE	0,07 MOMN	0,1	0,13 ORI	0,03 RAPE	0,03 TR12	0,1 MOMN	0,07	0,07 MOMN	0,04	0,1 MOMN	0,08 GRUE	0,04 MARE	0,19 SLCN	0,03 SRN3	0,06	0,19 MOMN	0,06 MOMN	0,08 TR06	0,05 MANE	0,06 MOMN	0,03	0,09 ARME	0,13 ORI
NaN	0,011	xml-err	NaN	0,00144	0,000335	0,000173	xml-err	NaN	xml-err	NaN	xml-err	0,00043	0,000513	0,00123	0,0000104	NaN	xml-err	xml-err	0,0000418	0,00562	xml-err	NaN	0,000211	0,000562
	EHN	Ŧ		HH	HNE	EH	NHH		NHH		NHH	EHN	EHN	HNE	NHH		HH	HH		HHN	NHH		Æ	HH
	MOLE	LAPE		LAPE	RAPE	ARME	LAPE		LAPE		LAPE	ARME	GRUE	PADH	MARCO		MOMN	LAPE	TR09	LAPE	ARME		ARME	ORI
NaN	0,0000171	0,0000151	NaN	0,0000818	0,00000264	0,00000526	0,00000766	NaN	0,0000242	NaN	0,0000127	0,00000723	0,0000038	0,0000346	0,000000349 HHE	NaN	xml-err	0,00000715		0,0000212	0,00000696	NaN	0,00000447 EHN	0,00000662
	표	표		띪	HNE	띪	EHN		EHN		EHN	EHN	EHN	EHN	3HHE		ΞE	EHN	띪	EHN	EHN		EHN	품

# Allegato\_A\_VdA\_Dom\_DI\_DE\_Zmax\_13km\_from\_15-Oct-2024\_to\_15-Apr-2025\_allData.xlsx

15,9903 0,4 15,9903 0,3 15,9847 0,4 15,9902 0,5 15,9932 0,3 15,8962 1,4 15,9988 0,3 15,9477 1,3 15,9477 1,3 15,712 0,4 15,8258 0,2 15,9515 0,9 15,9548 0,7 15,8353 0,9	15,9438 0,5 0,3 15,6675 0,5 0,7 15,6663 1,1 0,2 15,968 0,8 0,3 15,775 0,4 0,2 15,816 0,3 0,1 16,0327 1,3 0,1 16,0327 1,3 -1,3 15,834 1,1 0,3 15,9903 0,4 -0,1 15,9903 0,3 -0,1 15,9902 0,5 -0,5 15,9932 0,3 -0,2 15,9852 1,4 -0,4 15,9932 0,3 0,2 15,948 0,3 0 15,9477 1,3 -0,4 15,928 0,3 0,1 15,9477 1,3 -0,4 15,928 0,3 0,1 15,9477 1,3 -0,4 15,948 0,3 0 15,948 0,3 0,3 15,948 0,7 -0,3 15,9348 0,7 -0,3	15,9438 0,5	15,9438         0,5         -0,3         9,28         0,5         0,1           15,6675         0,5         0,7         11,93         0,3         0,19           15,6675         0,5         0,7         11,93         0,3         0,19           15,6675         0,8         -0,3         5         0,6         0,09           15,7752         0,4         -0,2         2         0,1         0,1           15,7752         0,4         -0,2         5         0,3         0,1         1           15,7852         0,3         0,6         4,75         0,4         0,18         0,1         1         1         0,1         1         0,1         1         0,1         1         0,1         1         0,1         1         0,1         1,1         0,3         0,1         1         0,3         1         0,0         0,3         1         0,0         0,3         1         0,3         0,0         0,0         0,1         0,3         0,9         0,7         0,0         0,0         0,0         0,0         0,0         0,0         0,0         0,0         0,0         0,0         0,0         0,0         0,0         0,0         0,0 <th>15,948 0,5 0,3 0,2 0,7 0,12 15,948 0,5 0,3 0,3 0,1 15,8463 1,1 0,2 4 2 0,6 0,9 15,7752 0,4 0,2 4,7 0,2 4,7 0,2 4,7 0,2 4,7 0,2 4,7 0,3 0,1 15,8816 0,3 0,1 2 51,2 0,3 0,1 15,8817 0,3 0,1 2 51,2 0,3 0,1 15,8817 0,4 0,1 3,9 15,881 1,1 0,3 4,99 0,7 0,09 15,9903 0,4 0,1 3,97 0,4 0,12 15,9903 0,3 0,1 4,37 0,2 0,03 15,9847 0,4 0,4 4,4 0,2 0,01 15,9947 0,4 0,4 4,4 0,2 0,01 15,9932 0,3 0,2 4,1 0,3 0,4 15,9932 0,3 0,2 4,1 0,3 0,1 15,9932 0,3 0,2 4,1 0,3 0,1 15,9932 0,3 0,2 4,1 0,3 0,1 15,9932 0,3 0,2 4,1 0,5 0,3 15,988 0,3 0,2 4,1 0,5 0,3 15,988 0,3 0,2 4,1 0,5 0,3 15,988 0,3 0,2 4,1 0,5 0,3 15,988 0,3 0,2 4,1 0,5 0,3 15,988 0,3 0,2 5,5 0,3 0,1 15,947 0,4 0,1 1,59 0,2 0,0 3 15,9828 0,3 0,1 1,59 0,2 0,0 3 15,9828 0,3 0,1 1,59 0,2 0,0 3 15,9848 0,7 0,7 2,73 0,4 0,0 3 15,9848 0,7 0,3 5,49 0,9 0,1 0,1 1,59 0,2 0,0 3 15,8828 0,7 0,3 5,49 0,9 0,1 0,2 2</th> <th>15,9438 0,5 -0,3 9,28 0,5 0,1 15,6673 0,5 0,7 11,93 0,3 0,1 15,6643 1,1 0,2 4 2 0,1 15,968 0,8 0,3 5 0,6 0,9 15,7752 0,4 -0,2 2,67 0,3 0,1 15,816 0,3 0,6 4,75 0,4 0,18 15,8987 0,3 0,1 2 51,2 0,38 16,9327 1,3 -1,3 1 0,4 0,39 15,9930 0,4 -0,1 3,97 0,4 0,12 15,9903 0,4 -0,1 3,97 0,2 0,03 15,9947 0,4 -0,4 4,4 0,2 15,9902 0,5 -0,5 4 0,3 0,0 15,9932 0,3 -0,2 4,1 0,5 0,03 15,988 0,3 0 2,5 0,3 0,1 15,988 0,3 0,2 4,1 0,5 0,03 15,988 0,3 0,2 4,1 0,5 0,03 15,988 0,3 0,2 4,1 0,5 0,03 15,947 1,3 -0,1 1,59 0,2 0,03 15,947 0,4 -0,1 1,59 0,2 0,03 15,9470 1,3 -0,1 1,59 0,2 0,03 15,948 0,7 -0,3 5,49 0,9 0,14 15,9348 0,7 -0,3 5,49 0,9 0,14 15,8353 0,9 0,2 6 1,1 0,22</th>	15,948 0,5 0,3 0,2 0,7 0,12 15,948 0,5 0,3 0,3 0,1 15,8463 1,1 0,2 4 2 0,6 0,9 15,7752 0,4 0,2 4,7 0,2 4,7 0,2 4,7 0,2 4,7 0,2 4,7 0,3 0,1 15,8816 0,3 0,1 2 51,2 0,3 0,1 15,8817 0,3 0,1 2 51,2 0,3 0,1 15,8817 0,4 0,1 3,9 15,881 1,1 0,3 4,99 0,7 0,09 15,9903 0,4 0,1 3,97 0,4 0,12 15,9903 0,3 0,1 4,37 0,2 0,03 15,9847 0,4 0,4 4,4 0,2 0,01 15,9947 0,4 0,4 4,4 0,2 0,01 15,9932 0,3 0,2 4,1 0,3 0,4 15,9932 0,3 0,2 4,1 0,3 0,1 15,9932 0,3 0,2 4,1 0,3 0,1 15,9932 0,3 0,2 4,1 0,3 0,1 15,9932 0,3 0,2 4,1 0,5 0,3 15,988 0,3 0,2 4,1 0,5 0,3 15,988 0,3 0,2 4,1 0,5 0,3 15,988 0,3 0,2 4,1 0,5 0,3 15,988 0,3 0,2 4,1 0,5 0,3 15,988 0,3 0,2 5,5 0,3 0,1 15,947 0,4 0,1 1,59 0,2 0,0 3 15,9828 0,3 0,1 1,59 0,2 0,0 3 15,9828 0,3 0,1 1,59 0,2 0,0 3 15,9848 0,7 0,7 2,73 0,4 0,0 3 15,9848 0,7 0,3 5,49 0,9 0,1 0,1 1,59 0,2 0,0 3 15,8828 0,7 0,3 5,49 0,9 0,1 0,2 2	15,9438 0,5 -0,3 9,28 0,5 0,1 15,6673 0,5 0,7 11,93 0,3 0,1 15,6643 1,1 0,2 4 2 0,1 15,968 0,8 0,3 5 0,6 0,9 15,7752 0,4 -0,2 2,67 0,3 0,1 15,816 0,3 0,6 4,75 0,4 0,18 15,8987 0,3 0,1 2 51,2 0,38 16,9327 1,3 -1,3 1 0,4 0,39 15,9930 0,4 -0,1 3,97 0,4 0,12 15,9903 0,4 -0,1 3,97 0,2 0,03 15,9947 0,4 -0,4 4,4 0,2 15,9902 0,5 -0,5 4 0,3 0,0 15,9932 0,3 -0,2 4,1 0,5 0,03 15,988 0,3 0 2,5 0,3 0,1 15,988 0,3 0,2 4,1 0,5 0,03 15,988 0,3 0,2 4,1 0,5 0,03 15,988 0,3 0,2 4,1 0,5 0,03 15,947 1,3 -0,1 1,59 0,2 0,03 15,947 0,4 -0,1 1,59 0,2 0,03 15,9470 1,3 -0,1 1,59 0,2 0,03 15,948 0,7 -0,3 5,49 0,9 0,14 15,9348 0,7 -0,3 5,49 0,9 0,14 15,8353 0,9 0,2 6 1,1 0,22
	0,3 0,7 0,2 0,3 0,6 0,6 0,1 1,3 0,3 0,3 0,4 0,4 0,4 0,4 0,4 0,5	-0,3 9,28 0,5 0,7 11,93 0,3 0,2 4 2 -0,3 5 0,6 -0,2 2,67 0,3 0,6 4,75 0,4 0,1 2 51,2 -1,3 1 0,4 -0,3 4,99 0,7 -0,1 3,97 0,4 -0,1 4,37 0,2 -0,4 4,4 0,2 -0,5 4 0,3 -0,2 4,1 0,3 -0,2 4,2 4,1 0,3 -0,2 4,2 4,1 0,2 -0,2 5,2 0,3 -0,2 2,7 2,7 3 0,4	-0,3 9,28 0,5 0,1 0,7 11,93 0,3 0,19 0,2 4 2 0,19 -0,3 5 0,6 0,09 -0,2 2,67 0,3 0,1 0,6 4,75 0,4 0,18 0,1 1 0,4 0,39 -0,3 4,99 0,7 0,09 -0,1 3,97 0,4 0,12 -0,1 4,37 0,2 0,03 -0,4 4,4 0,2 0,01 -0,5 4 0,3 0,01 -0,5 4 0,3 0,01 -0,6 4,1 0,5 0,0 -0,1 0,5 0,3 0,1 -0,2 4,1 0,5 0,0 -0,3 0,1 1,59 0,2 0,03 -0,1 1,59 0,2 0,03 -0,1 1,59 0,2 0,03 -0,1 1,59 0,2 0,03	0,3 2, 0,1 0,3 1,93 0,3 0,1 0,7 11,93 0,3 0,1 0,2 4 2 0,19 0,2 4 2 0,19 0,2 2,67 0,3 0,1 0,6 4,75 0,4 0,18 0,1 2 51,2 0,3 0,1 3,97 0,4 0,12 0,1 4,37 0,2 0,03 0,1 4,44 0,2 0,01 0,5 4 0,3 0,01 0,5 4 0,3 0,01 0,5 4 0,3 0,01 0,6 4,7 0,2 0,03 0,0 1 0,5 0,03 0,1 0,5 0,03 0,1 0,5 0,03 0,1 1,59 0,2 0,03 0,1 1,59 0,2 0,03 0,0 1 0,03	0,7 11,93 0,3 0,1 MCEL 0,00007 0,7 11,93 0,3 0,19 BRIN 0,00067 0,2 4 2 0,19 TR01 0,00045 0,3 5 0,6 0,09 NANE 0,00052 0,6 4,75 0,4 0,18 FORE 0,00006 0,1 2 51,2 0,38 FORE 0,00006 1,3 1 0,4 0,39 PTRP 0,00006 1,3 1 0,4 0,39 PTRP 0,00006 1,3 1,0 0,4 0,12 MOMN xml-err 0,1 4,37 0,2 0,01 NOMN xml-err 0,1 4,4 0,2 0,01 NOMN xml-err 0,2 4,1 0,3 0,04 SLCN 0,0007 1,4 8,41 0,5 0,03 CASE 0,00007 1,7 7,7 1 0,09 TRAE 0,00006 0 2,7 1,59 0,2 0,03 TRAE 0,00002 0,3 1,59 0,4 0,03 TRAE 0,00002
	0,3 0,7 0,2 0,3 0,6 0,6 0,1 1,3 -0,1 0,1 0,1 0,1 0,1 0,1 0,1 0,1 0,1 0,1	-0,3 9,28 0,5 0,7 11,93 0,3 0,2 4 2 -0,3 5 0,6 -0,2 2,67 0,3 0,6 4,75 0,4 0,1 2 51,2 -1,3 1 0,4 -0,3 4,99 0,7 -0,1 3,97 0,4 -0,1 4,37 0,2 -0,1 4,37 0,2 -0,5 4 0,3 -0,2 4,1 0,3 -0,4 8,41 0,5 0 2,5 0,3	-0,3 9,28 0,5 0,1 0,7 11,93 0,3 0,19 0,2 4 2 0,19 -0,3 5 0,6 0,09 -0,2 2,75 0,4 0,18 0,1 2 51,2 0,38 -1,3 1 0,4 0,39 -0,1 3,97 0,4 0,12 -0,1 4,37 0,2 0,03 -0,4 4,4 0,2 -0,5 4,1 0,3 0,04 -0,2 4,1 0,3 0,03 0 2,5 0,3 0,13	-0,3 2, 0,7 -0,3 9,2 0,7 11,93 0,3 0,19 0,2 4 2 0,19 -0,3 5 0,6 0,09 -0,2 2,67 0,3 0,1 0,6 4,75 0,4 0,18 0,1 2 51,2 0,38 -1,3 1 0,4 0,39 -0,3 4,99 0,7 0,09 -0,1 3,97 0,4 0,12 -0,1 4,37 0,2 0,03 -0,4 4,4 0,2 0,01 -0,5 4 0,3 0,04 -0,2 4,1 0,3 0,04 -0,2 4,1 0,3 0,1 -0,4 8,41 0,5 0,03 0 2,5 0,3 0,13	0,3 9,28 0,5 0,1 MCEL 0,0000 0,7 11,93 0,3 0,19 BRIN 0,00045 0,2 4 2 0,19 TR01 0,00045 0,3 5 0,6 0,09 NaN 0,2 2,67 0,3 0,1 MANE 0,00052 0,6 4,75 0,4 0,18 FORE 0,00068 0,1 2 51,2 0,38 FORE 0,00068 0,1 2 51,2 0,38 FORE 0,00068 0,1 3 1 0,4 0,39 PTRP 0,00066 0,3 4,99 0,7 0,09 TR05 0,00033 0,1 3,97 0,4 0,12 MOMN NaNI-err 0,1 4,37 0,2 0,01 NaN 0,4 4,4 0,2 0,01 MOMN NaNI-err 0,2 4,1 0,3 0,04 SLCN 0,0007 0,2 4,1 0,3 0,03 CASE 0,00006 0 2,5 0,3 0,13 MOMN xml-err
		9 9,28 0,5 11,93 0,3 4 2 2 5,67 0,3 4,75 0,4 4,75 0,4 2 51,2 8 1 0,4 2 51,2 8 1 0,4 1 3,97 0,4 1 3,97 0,4 1 4,37 0,2 1 4,4 0,3 2 4,1 0,3	8 9,28     0,5     0,1       11,93     0,3     0,19       4     2     0,19       5     0,6     0,09       2,67     0,3     0,1       4,75     0,4     0,18       2     51,2     0,38       1     0,4     0,39       8 1     0,4     0,39       8 4,99     0,7     0,09       1 3,97     0,4     0,12       1 4,37     0,2     0,03       1 4,37     0,2     0,01       4 4     0,2     0,01       4 4,1     0,3     0,04       2 4,1     0,3     0,04	9,28 0,7 0,19 11,93 0,3 0,19 4 2 0,19 5 0,6 0,09 8 5 0,6 0,19 12,67 0,3 0,1 4,75 0,4 0,18 2 51,2 0,3 2 51,2 0,3 8 1 0,4 0,3 8 4,99 0,7 0,09 1 3,97 0,4 0,12 1 4,37 0,2 0,03 1 4,44 0,2 0,01 1 4,37 0,2 0,03 1 4,41 0,3 0,04	9 9,28 0,5 0,1 MCEL 11,93 0,3 0,19 BRIN 4 2 0,19 TR01 5 0,6 0,09 5 2,67 0,3 0,1 MANE 4,75 0,4 0,18 FORE 2 51,2 0,38 FORE 2 1 0,4 0,39 PTRP 8 1 0,4 0,39 PTRP 8 1,9 0,7 0,09 TR05 8 1,9 0,7 0,00 TR05 8 1,9 0,4 0,12 MOMN 1 4,37 0,2 0,01 1 4,4 0,3 0,04 SLCN 2 4,1 0,3 0,1 MOMN
	±	9,28 0,5 11,93 0,3 4 2 2 5,67 0,3 4,75 0,4 2 51,2 1 0,4 8,4,99 0,7 1 3,97 0,4 1 4,44 0,2	8 9,28     0,5     0,1       11,93     0,3     0,19       4     2     0,19       5     0,6     0,09       2 2,67     0,3     0,1       4,75     0,4     0,18       2     51,2     0,38       2     51,2     0,38       2     0,4     0,39       3 1     0,4     0,39       4,499     0,7     0,09       1 3,97     0,4     0,12       1 4,37     0,2     0,03       1 4,4     0,2     0,01	9,28 0,7 0,24 11,93 0,3 0,19 4 2 0,19 5 0,6 0,09 2,267 0,3 0,1 4,75 0,4 0,18 2 51,2 0,3 1 0,4 0,3 2 0,7 0,9 1 4,99 0,7 0,09 1 3,97 0,4 0,12 1 4,37 0,2 0,03	11,93 0,3 0,1 MCEL 11,93 0,3 0,19 BRIN 4 2 0,19 TR01 5 0,6 0,09 5 2,67 0,3 0,1 MANE 4,75 0,4 0,18 FORE 2 51,2 0,38 FORE 2 51,2 0,38 FORE 2 1 0,4 0,39 PTRP 8 1 0,4 0,39 PTRP 8 1,99 0,7 0,09 TR05 1 3,97 0,4 0,12 MOMN 1 4,44 0,2 0,01
		9,28 0,5 11,93 0,3 4 2 2 0,6 2,267 0,3 4,75 0,4 2 51,2 1 0,4 8,4,99 0,7 1 3,97 0,4 1 4,37 0,2	8 9,28     0,5     0,1       11,93     0,3     0,19       4     2     0,19       5     0,6     0,09       2,267     0,3     0,1       4,75     0,4     0,18       2     51,2     0,38       1     0,4     0,38       1     0,4     0,39       4,99     0,7     0,09       1 3,97     0,4     0,12       1 4,37     0,2     0,03	9,28 0,7 0,19 11,93 0,3 0,19 4 2 0,19 5 0,6 0,09 1,267 0,3 0,1 2,267 0,3 0,1 4,75 0,4 0,18 2 51,2 0,3 1 0,4 0,39 1 0,4 0,39 1 4,99 0,7 0,09 1 4,99 0,7 0,09 1 4,99 0,7 0,09 1 4,99 0,7 0,09 1 4,99 0,7 0,09	9 9,28 0,5 0,1 MCEL 11,93 0,3 0,19 BRIN 4 2 0,19 TR01 5 0,6 0,09 5 2,67 0,3 0,1 MANE 4,75 0,4 0,18 FORE 2 51,2 0,38 FORE 2 51,2 0,38 FORE 2 1 0,4 0,39 PTRP 8 1 0,4 0,39 PTRP
	_ ~ ~ ~ ~ ~	8 9,28 0,5 11,93 0,3 11,93 0,3 2 2 0,67 0,6 2 2,67 0,3 4,75 0,4 2 51,2 1 0,4 1 9,9 0,7 1 3,97 0,4	8 9,28     0,5     0,1       11,93     0,3     0,19       4     2     0,19       5     0,6     0,09       2 2,67     0,3     0,1       4,75     0,4     0,18       2     51,2     0,38       1     0,4     0,38       1     0,4     0,39       4,99     0,7     0,09       1,397     0,4     0,12	\$ 9.28 0,7 0,24 \$ 9.28 0,5 0,1 \$ 11,93 0,3 0,19 \$ 2 0,19 \$ 5 0,6 0,09 \$ 2,67 0,3 0,1 \$ 2,67 0,3 0,1 \$ 4,75 0,4 0,18 \$ 2 51,2 0,3 \$ 1 0,4 0,39 \$ 1 0,4 0,39 \$ 1 0,9 0,7 0,09 \$ 1,99 0,7 0,09	9 9,28 0,5 0,1 MCEL 11,93 0,3 0,19 BRIN 11,93 0,3 0,19 TR01 4 2 0,19 TR01 8 5 0,6 0,09 8 2,67 0,3 0,1 MANE 4,75 0,4 0,18 FORE 2 51,2 0,38 FORE 2 51,2 0,38 FORE 2 51,2 0,38 FORE 3 1 0,4 0,19 PTRP 8 4,99 0,7 0,09 TR05 8 4,99 0,7 0,09 TR05
	00 10 00 00	9,28 0,5 11,93 0,3 4 2 8 5 0,6 12,67 0,3 4,75 0,4 2 51,2 8 1 0,4	8 9,28     0,5     0,1       11,93     0,3     0,19       4     2     0,19       5     0,6     0,09       2 2,67     0,3     0,1       4,75     0,4     0,18       2 51,2     0,38       1 0,4     0,38       1 0,4     0,39	9,28 0,5 0,1 11,93 0,3 0,19 4 2 0,19 5 0,6 0,09 8 5 0,6 0,09 8 2,67 0,3 0,1 4,75 0,4 0,18 2 2,67 0,3 0,3 8 1 0,4 0,38 8 1 0,4 0,39	9 9,28 0,5 0,1 MCEL 11,93 0,3 0,19 BRIN 4 2 0,19 TR01 5 0,6 0,09 5 2,67 0,3 0,1 MANE 4,75 0,4 0,18 FORE 4,75 0,4 0,18 FORE 1 0,4 0,38 FORE 1 0,4 0,39 PTRP
	10 00 00	9,28 0,5 11,93 0,3 4 2 2 0,6 2,2,67 0,3 4,75 0,4 2 51,2	8 9,28     0,5     0,1       11,93     0,3     0,19       4     2     0,19       5     0,6     0,09       2 2,67     0,3     0,1       4,75     0,4     0,18       2 51,2     0,38	9,28 0,5 0,1 11,93 0,3 0,19 4 2 0,19 5 0,6 0,09 12,267 0,3 0,1 4,75 0,4 0,18 2 2,57 0,38	\$ 9,28 0,5 0,1 MCEL 11,93 0,3 0,19 BRIN 4 2 0,19 TR01 5 0,6 0,09 2 2,67 0,3 0,1 MANE 4,75 0,4 0,18 FORE 2 51,2 0,38 FORE
_		19,28 0,5 11,93 0,3 4 2 5 0,6 1,2,67 0,3 4,75 0,4	11,93 0,5 0,1 11,93 0,3 0,19 4 2 0,19 5 0,6 0,09 1 2,67 0,3 0,1 4,75 0,4 0,18	19,28 0,5 0,1 11,93 0,3 0,19 4 2 0,19 5 0,6 0,09 12,67 0,3 0,1 4,75 0,4 0,18	11,93 0,5 0,1 MCEL 11,93 0,3 0,19 BRIN 4 2 0,19 TR01 15 0,6 0,09 12,67 0,3 0,1 MANE 4,75 0,4 0,18 FORE
		11,93 0,3 11,93 0,3 4 2 5 0,6	19,28 0,5 0,1 11,93 0,3 0,19 4 2 0,19 4 2 0,09	9,28 0,5 0,1 11,93 0,3 0,19 4 2 0,19 5 0,6 0,09	11,93 0,3 0,1 MCEL 11,93 0,3 0,19 BRIN 4 2 0,19 TR01 5 0,6 0,09
		11,93 0,3 4 2	1 9,28     0,5     0,1       11,93     0,3     0,19       4     2     0,19	19,28 0,5 0,1 11,93 0,3 0,19 4 2 0,19	11,93 0,3 0,19 BRIN 4 2 0,19 TRO1
_	•-	9,28 0,5 11,93 0,3	11,93 0,3 0,19	11,93 0,3 0,19	11,93 0,3 0,19 BRIN
				0,7	
_	0,9 2	2 0,7	2 0,7 0,24	3 07 02/	2 0,7 0,24 TRAE
	-0,1 /,15 -0,1 3,66	7,15 0,5 3,66 1,2	3,66 1,2 0,14	7,15 0,5 3,66 1,2	3,66 1,2 0,14
	-0,2 3,67	3,67 0,3	3,67 0,3 0,03	3,67 0,3 0,03	3,67 0,3 0,03
_		2,13 0,3	2,13 0,3 0,09	2,13 0,3 0,09	2,13 0,3 0,09 SCHR
	-0,2 4 -0 1 6	4 106,2	4 106,2 0,09	4 106,2	4 106,2 0,09
	-0,4 0,89	0,89 0,2	0,89 0,2 0,09	0,89 0,2 0,09	0,89 0,2 0,09 MOMN
	-0,6 3,48	3,48 0,3	3,48 0,3 0,08	3,48 0,3 0,08	3,48 0,3 0,08
		6,5 0,4	6,5 0,4 0,1	6,5 0,4 0,1	6,5 0,4 0,1 TRO2
	0,5 4,48	4,48 U,b	4,48 U,b U,13	4,48 U,b	4,48 U,b U,13
	-	1,31 0,3	1,31 0,3 0,1	1,31 0,3 0,1	1,31 0,3 0,1 SPINS
_	0,7 2,81	2,81 0,3	2,81 0,3 0,11	2,81 0,3 0,11	2,81 0,3 0,11 SARCL
_	0,1 11,44	11,44 0,6	11,44 0,6 0,13	11,44 0,6	11,44 0,6 0,13
_	0,1 9	9 0,4	9 0,4 0,13	9 0,4	9 0,4 0,13
	-0,1 6,39	6,39 0,6	6,39 0,6 0,13	6,39 0,6	6,39 0,6 0,13
_	0,2 10,48	10,48 0,7	10,48 0,7 0,16	10,48 0,7 0,16	10,48 0,7 0,16
_	0,2 8,97	8,97 0,4	8,97 0,4 0,13	8,97 0,4	8,97 0,4 0,13 MOMN
	-0,1 3,85	3,85 0,3	3,85 0,3 0,1	3,85 0,3 0,1	3,85 0,3 0,1 MCEL
	-0,3 6,3	-0,3 6,3 0,4	0,4 0,1	-0,3 6,3 0,4 0,1 SPINS	

	cms-ingv2024wnxvm DE				cms-ingv2024wjfhv DI 2024 11				cms-ingv2024wehhk DI 2024 11	cms-ingv2024wdeok DI 2024	cms-ingv2024wbdnv DI 2024 11	cms-ingv2024waxea DI 2024 11	cms-ingv2024waawz DI 2024 11			cms-ingv2024vytsi DE 2024 11	cms-ingv2024vyhot DE 2024 11			DE			cms-ingv2024vi/gr DI 2024 III	2 0	₽	cms-ingv2024vtowj DI 2024 11	□	R :	cms-ingv2024Vfyca DI 2024 11	2 0	cms-ingv2024vrcyj DI 2024 11	DE	◘	₽		₽ ¦				2 12		DE :	D	□	0.10
	11 1	4 11	4 11		4 11	2024 11	2024 11	4 11	4 11	2024 11	4 11	4 11	4 11	4 11	4 11	4 11	4 11	4 11	2024 11	4 11	4 11	411 .	411	411	4 11	4 11	4 11	4 11	11 11	4 11	4 11	4 11	4 11	4 11	4 11	411	4 1 1	4 1 1 1	4 11	2024 11	2024 11	2024 10	2024 10	2024 10	
	16 4 16 14	16 0		14 20	14 1	14 0	13 19	12 4	11 8	10 17	9 15	9 11	0	8 21	8 15	8 7	8 1	7 18	7 2	6 19	6 19	4 6	30 5	5 11	5 11	5 11	6	2	7 F	. 8	3	0	3 23	3 23	3 21	3 7	, u	2 C	3 6	1 2	1 2	31 10	30 20	30 7	
;	5 4	6	31	29	ω	7	58	10	23	52	G	52	37	18	30	51	4	24	4	33	<b>8</b> 1	55 E	10	51	45	45	51	43	ν 2	18	27	50	30	16	54	26	χ, η	7 2	ζ `	1 %	1 13	58	51	49	
;	39	36	15	42	28	34	24	4	27	39	41	50	27	22	15	53	0	42	24	37	7	22	41	л Ф О	9	6	37	12	17	45	46	31	2	29	20	19	19	47	14	29	22	11	39	∞	
	40,3095 15,9932 0,4	15,953	15,9458	8 15,9955	40,3257 15,9963 0,3	15,9318	15,7318	15,7532	40,4135 15,7025 0,4	40,2873 15,8892 0,3	40,3348 15,985 1,2	40,532 15,8033 1,4	40,275 16,0298 0,5	40,3115 15,9992 0,3	40,3243 15,9898 0,8	40,162 15,9995 0,5	16,056	15,9072		15,5947	15,5858	٠.	40,323/ 15,995 0,4	16,0288	40,324 15,994 0,4	40,3225 15,9897 0,6		15,9595	40,3322 15,9923 0,2		40,3945 15,8623 2,1	15,9382	15,9887	2 15,9852	15,9337	40.322 15.9905 0.5	15,9942	40,321 15,9916 0,2	15,7463			40,35 15,6985 0,7	40,2618 15,9062 0,5	40,3088 15,9782 0,8	
-	0,1 4	-0,1 4,21	-0,6 1,03	-0,3 4	0,1 4,86		-0,2 0,5		0,5 0,74	-0,4 5,06	-0,1 3,94	0,7 10	-0,2 4	-0,6 2,74	-0,1 4,76	0,2 5,34	-0,1 3,05					0.4 3.1	0,1 4,50		0,2 4	-0,1 4	0 2,04	-0,4 7,68	-0.5 2.34	0,5 9	-0,1 5,24	0,2 4,71	-0,1 4,72	-0,3 4,33	-0,5 6,06		_	0 5				0,9 5	-0,2 0,98	-0,5 2,07	
-	39.6	0,4	2	0,4	0,4	166,7	0,7	0,6	0,5	0,4	1,1	1,7	9,0	0,4	0,6	0,6	0,7	0,7	0,3	0,9	0,9	1.1	0,0	1,4	0,3	2,0	0,3	0,5	0,3	1,1	2,4	0,4	0,3	0,1	0,5	0.2	0 0,0	2,0	0,7	1,9	8,0	1,2	0,4	1,7	
, , ,	0.03	0,02	0,1	0,07	0,06	0,11	0,14	0,14	0,11	0,06	0,07	0,31	0,15	0,05	0,03	0,04	0,12	0,07	0,15	0,21	0,22	0,11	0,07	0,14	0,09	0,11	0,05	0,07	0,04	0,29	0,16	0,16	0,03	0,01	0,08	0.02	0,10	0,18	0,25	0,42	0,27	0,29	0,28	0,3	
	CASE	TROS	MARE	ARME		SPIE	TR02	TR12	GRUE			PGN3	TR12				TR12		MOMN	BRIN	BRIN	GRUE	- NOS	TBOE	TR12		TR12	TR12	IRL	TR11		SPINS	TR05	TR12	TR01	TR12	SCHR	TR12	RI.	SLCN	TR12	TR12	STN3	ARMEN	
0,000	0.000259	0,000061	0,000432	0,0000914	NaN	0,00107	0,000028	0,00157	0,000627	NaN	NaN	0,00156	0,00158	NaN	NaN	NaN	0,000145	NaN	xml-err	0,00281	0,004	0.00197	NaN	NaN	0,00245	NaN	0,00249	0,0203	NaN NaN	0,00474	NaN	0,00026	0,00147	0,00135	0,000146	0.00273	0,000,000	0.000733	0,00235	0,000301	0,00345	0,00859	0,000529	0,0000724	
!	E 5	H	Ŧ	Ŧ		EHN	Ħ	黑	E			Ħ	肝				표		ΗE	Ŧ	雷 :	黑	חחה	E	Ŧ		Ŧ	Ŧ	Z	黑		SHE	Ŧ	EHN	黑			Ŧ.	E	I H	Ŧ	黑		CHN	
	TRO2	CRAC	SPIE	ARME		SPINS	TRO2	TR12	TRAE			PGN3	TR12				TR12		MOMN	BRIN	BRIN	TR12	AXIVIE	20245	TR12		TR12	TR12	IRL	경 R11		LAPE	TR05	TR12	TR01	TR12	SCHR	TR12	IRL2	SLCN	TR12	TR12	STN3	ARMEN	
	0,00000135 EHE	0,00000277 EHN	0,000000796 EHE	0,00000245 EHN	NaN				0,00000659 ЕНЕ	NaN	NaN	0,00000865 ННЕ	0,0000094 EHE	NaN	NaN	NaN	0,000000982 EHN				ω	0.000007 EHN	NaN		0,0000125 EHE			0,0000941 EHN	NaN EHN	01	NaN					0,0000143 EHN	0,000000774 EHE	0 00000363 FHN	u	u		0,0000326 EHE	0,00000361 EHN	0,00000071 CHE	

	cms-ingv2024xtdex DI					cms-ingv2024xofqq DE	cms-ingv2024xmdlm DI	cms-ingv2024xlezk DI	cms-ingv2024xkxkg DE	cms-ingv2024xkqfs DE	cms-ingv2024xjxxl DI	cms-ingv2024xjddf DI		cms-ingv2024xitrj DE	_		_	cms-ingv2024xgsnl DE	cms-ingv2024xgllp DE	cms-ingv2024xgkys DI			cms-ingv2024xfhtc DE		cms-ingv2024xdyyy DI	cms-ingv2024xbzhr DI	cms-ingv2024xbzgy DI	cms-ingv2024xawby DE	cms-ingv2024wzkea DE	cms-ingv2024wwzjh DI	cms-ingv2024wwtdf DI	cms-ingv2024wwjfa DE	cms-ingv2024wwixq DE	cms-ingv2024wwfhd DE	cms-ingv2024wweri DE	cms-ingv2024wtvyo DE	cms-ingv2024wswnf DI	cms-ingv2024wryxz DI	cms-ingv2024wruur DI	cms-ingv2024wrmkt: DI	cms-ingv2024wqzzx DI	cms-ingv2024wqnut DI	cms-ingv2024wprhh DI	cms-ingv2024wpgva DE	cms-ingv2024wpgls DI	cms-ingv2024wpgic DI	cms-ingv2024wouxi DI	cms-ingv2024woopf DI	cms-ingv2024wofup DI
2024 12	2024 12	2024 12	2024 12	2024 12	2024 12	2024 12	2024 11	2024 11	2024 11	2024 11	2024 11	2024 11	2024 11	2024 11	2024 11	2024 11	2024 11	2024 11	2024 11	2024 11	2024 11	2024 11	2024 11	2024 11	2024 11	2024 11	2024 11	2024 11	2024 11	2024 11	2024 11	2024 11	2024 11	2024 11	2024 11	2024 11	2024 11	2024 11	2024 11	2024 11	2024 11	2024 11	2024 11	2024 11	2024 11	2024 11	2024 11	2024 11	2024 11
3 18	3 16	3 0	2 17	2 17	2 0	1 0	29 20	29 8	29 4	29 1	28 15	28 5	28 4	28 0	27 12	27 0	27 0	26 21	26 18	26 17	26 11	26 10	26 3	25 16	25 9	24 7	24 7	23 16		21 13	21 10	21 5	21 5	21 3	21 3	19 20	19 7	18 20	18 17	18 13	18 7	18 1	17 13	17 8	17 8	17 8	17 2	16 23	16 18
4	46	48	14	12	∞	21	58	37	47	10	54	25	13	38	35	17	9	47	13	58	18	4	12	45	38	33	32	47	38	55	46	45	36	46	27	47	56	1	56	41	26	16	54	36	26	21	35	24	58
И	52	54	0	53	28	14	42	25	39	1	46	10	18	28	42	22	5	38	15	17	0	7	47	57	47	6	12	32	24	40	5	5	27	21	53	33	41	52	44	56	27	46	14	54	2	53	52	33	4
40,3533 15,8302 0,3	40,3118 16,0298 1,7	40,3215 15,8403 1,1	15,8322	40,3563 15,8332 0,3	16,0693	40,2485 15,8818 0,4		40,4258 15,7023 0,4	40,1875 15,9305 0,6	40,251 15,8598 0,3	40,2938 15,9475 0,3	40,4002 15,9977 0,7	40,373 15,7225 0,4	40,1675 15,9488 0,3	40,3443 15,8618 0,2		15,9142		40,1808 15,9447 0,7	40,3775 15,7367 0,5	40,3783 16,0558 0,9	40,3672 15,7208 0,3	40,1702 15,952 0,4	40,315 15,987 0,6	40,4265 15,6888 0,5	40,396 15,7228 0,3	40,395 15,7235 0,2	40,1772 15,9323 0,5	40,1697 15,9535 0,5	2		15,9465	15,9445	15,9532	40,1902 15,9522 0,7		-	40,372 15,7293 0,4	15,9963	40,307 15,9883 1,6	40,3237 15,9882 0,3	40,3198 15,9945 0,5	40,3277 16,0005 0,5	40,178 15,956 0,5	40,3162 15,9935 0,4	40,3198 15,9977 0,2	40,3468 15,8588 1,4	40,3413 15,7723 0,6	15,9978
1,1	-0,1 7,74	-0,1	0,5	1,2	0,2		0,1		-0,5 2,83	-0,4 1	0,5			-0,7	0,7			0,5	-0,1	-0,2	0,1		-0,4 4,75		0,6 4	0,1	0,8	_	-0,4	0,3	0,1	0	0,1	-0,1	0	-0,3		-0,4	-0,1 4,56	0,1 3,92	-0,2 4,87	-0,4 3,76	-0,4 4,21	-0,3 4,59	-0,2 3,71	0 3,76	-0,6 3,94	-0,3 4,58	-0,2
0,6	1,2	0,9	0,4	0,6	0,2	0,6	0,4	0,7	0,4	1	0,4	0,6	94,2	0,5	0,3	8,0	0,5	0,3	0,6	0,4	0,4	0,3	0,5	1,1	2,8	1	0,7	0,6	1	0,5	0,3	0,5	0,6	0,7	0,7	0,6	1,1	74	0,6	1,2	0,3	0,4	0,4	0,7	0,4	0,2	2,4	0,5	0,3
0,2	0,25	0,08	0,09	0,07	0,01	0,12	0,12	0,15	0,13	0,11	0,15	0,1	0,08	0,04	0,12	0,19	0,14	0,11	0,12	0,08	0,07	0,07	0,08	0,11	0,12	0,14	0,12	0,16	0,06	0,11	0,05	0,09	0,14	0,11	0,11	0,13	0,14	0,06	0,1	0,1	0,06	0,09	0,07	0,09	0,05	0,04	0,08	0,1	0,04
MCEL	TR12	SLCN	MARE		TR05	FORE	SPIE			GRUE	GRUE		TRAE		RAPE	ABRE	TR01	SCHR	ORI		TRO3	CASE	RAPE		GRUE	TR12	TR12	TR12	TR10		ARME	TR12	TR06	ACER	TR10	SALB		TR12	ARME	ARME	TR12				ЭТІТЕ		MOMN	TRAE	TR12
0,00136	0,00149	0,000154	0,000284	NaN	0,0000538	0,000197	0,0000596	NaN	NaN	0,0000579	0,00161	NaN	0,0000404	NaN	0,00134	0,0000523	0,00128	0,000417	0,00144	NaN	0,00481	0,000363	0,000103	NaN	0,00249	0,00494	0,00312	0,00461	0,000237	NaN	0,000111	0,000563	0,0000412	0,0000174	0,00955	0,0000151	NaN	0,00194	0,0000648	0,0000313	0,00868	NaN	NaN	NaN	0,000547	NaN	xml-err	0,0000799	0,00426
I	EHN		EHN			田	S EN				EHN		# EHN				FE.	EH.	Ħ		EHN	띪	띪		EHN	EHN	EH.	EHN	EH.		FE.					NHH I		띪	8 EH	8 EHN	EYN				Æ		HH	EE (	
MCEL	TR12	SLCN	TR06		ACER	GRUE	MONTM			GRUE	GRUE		TRAE		FORE	TR02	TR01	SCHR	ORI		TR03	TRAE	MIGL		GRUE	TR12	TR12	TR12	TR06		ARME	TR12	TR06	ACER	TR10	MCEL		TR12	ARME	ARME	TR12				CASE		MOMN	TRAE	TR12
0,0000217 HHE		12	0,000002 EHE	NaN	0,00000189 ННЕ	0,00000345 EHN	0,000000799 CHE	NaN	NaN	0,000000532 EHN	0,0000127 EHN	NaN	0,00000311 EHN	NaN				0,00000313 EHE	0,00000888 HHE	NaN	0,0000251 EHN	0,0000132 EHN	0,000000995 HHN	NaN	0,0000228 EHN	0,0000188 EHN	0,0000144 EHE	0,0000229 EHN	0,00000499 EHN	NaN				ω	0,0000504 EHE	0,000000506 HHN	NaN	0,0000112 EHE	0,0000018 EHE	0,00000613 EHE	0,0000367 EHN	NaN	NaN	NaN	0,00000106 EHE	NaN	xml-err HHE	0,00000588 EHE	

cms-ingv2024zbjba Dl	-		cms-ingv2024yzqqr DI	cms-ingv2024yygpo DI	cms-ingv2024yxfjq DI	cms-ingv2024ywssn DI	cms-ingv2024ywlzb DI	cms-ingv2024ywbec DI	cms-ingv2024ywbeb DI	cms-ingv2024yvkxt DI	cms-ingv2024yvkxy DE	cms-ingv2024yuzpe DI	cms-ingv2024yuuyu DE	cms-ingv2024yurpd DI					cms-ingv2024ytqvd DI	~	cms-ingv2024ytloz DI				cms-ingv2024ysmkk DI	cms-ingv2024ysihn DI		cms-ingv2024ynvxi DI		cms-ingv2024ymile DI	cms-ingv2024vmhvv DE	cms-ingv2024yJiei Di	cms-ingv2024ydnae DI	cms-ingv2024ydkhn DI	cms-ingv2024yayyf DE	cms-ingv2024yaqrw DI	cms-ingv2024yanul DI	cms-ingv2024yaevu DE	cms-ingv2024xzjse DE	cms-ingv2024xypbt DI	cms-ingv2024xwmacDE	cms-ingv2024xwamc DI		_		cms-ingv2024xulju DI	
2024 12	2024 12	2024 12	2024 12	2024 12	2024 12	2024 12	2024 12	2024 12	2024 12	2024 12	2024 12	2024 12	2024 12	2024 12	2024 12	2024 12	2024 12	2024 12	2024 12	2024 12	2024 12	2024 12	2024 12	2024 12	2024 12	2024 12	2024 12	2024 12	2024 12	2024 12	2024 12	2024 12	2024 12	2024 12	2024 12	2024 12	2024 12	2024 12	2024 12	2024 12	2024 12	2024 12	2024 12	2024 12	2024 12	2024 12	
	22 4	22 4	21 1	20 1	20 3	19 2	19 1	19 1	19 1	19 4	19 4	18 2	18 2	18 1	18 1	18 1	18 1			18 4	18 2					17 1		15 0				1/2	4 9	9	7 2	7 1	7 1	7 1	7 2	6 1	5 1	5	4 2	4 1	4 1	4 1	
15		1 28	1 50	17 37	52	29	18 4	12 37	12 37	1 25	1 24	22 41	20 21	18 38		14 56	14 37	7 49			28	1 40			13 45	11 41			1			л Д	1 4	42	23 41	19 31	18 3	13 33	. 52	16 26	12 38	48	23 57	1 20	17	0 3	,
νī	ω	55	17	57	4.	9	ω	1	_	11		2,	ω	ű	55	E	33	5	ω	2,	יי וי	, i	4 ,	. 4	4.	1	9	4:	30	ω	∞ ;	<u> </u>	2		4	57	55	21	9	53		24		2	11	0	, .
	15,6843	40,4208 15,6888	40,2953 15,8253	40,2392 16,0052	15,8337	40,3872 15,8302 0,4	40,3933 15,8402 0,4	) 40,3893 15,8385 0,4	40,3822 15,8417 0,4	40,2305 16,0202 0,3	40,1822 15,94 0,5	1 40,3238 15,985 0,5	40,3852 16,0723 0,8	1 40,3803 15,8395 0,3		15,8415	15,8237	15,8525	15,8208	15,8618	40.3202 15.9885 0.3		15,8682	16,0632	40,3373 15,7795 0,3	40,291 15,8538 0,4		40,2823 15,8425	40,362 15,8267	15,998	40,3233 15,7028 1,6	40,332 10,0033 0,4	15,7173		40,2008 16,0597 0,7	40,3293 15,9962 0,7	40,4403 15,649 1	40,2032 15,9818	40,1673 15,9493 0,6	40,2473 15,9758	40,1713 15,951	40,486 15,6933	40,327 15,9922 0,4	15,9943	40,3322 15,9935 0,7	40,3163 15,9915 0,3	1 0 1
-0,2 4,17			_	0,4 6,92	12	0,4 3		2,76	0,2 4	-0,5 6,44	-0,7 2,88	-0,4 4,53	0,2 7,63	0,7 3,8	0 2			6,75	4,12	4,36	-0.4 5.22	0 2,21	0,1 5	4,18	0,2 3,63	4,87	6	3,02	3,94	<b>σ</b> (	2,18	0,5 4,52	2,89	7,72		0 4,74	13	0	5,17	4	6,23	9,72	0,4 3,82	0,1 4	4	1,4 3,64	
0,6 0,									6				0,6 0,		ъ			0,8 0			0,3								9		1.7 0			0,4 0	0,7 0											0,3 0,	
				0,15	0,1	0,2	0,09	0,18	0,18	9,09	0,17	0,12	0,09	0,2	•	0,2					0,21					0,1						0,09			80,0	0,07	0,21	0,19	0,06		10				0,09	0,16	
	SLCN	TRAE	ACER	LAPE	MONTM	MARE	MARE	MARE	MCEL		MONTM	TR05		MARE	TRAE		CASE	MARE	GRUE	ORI	ARME		I ROS	TRO2	TR04		TR12		TRAE	ARME	í	TRAF	ABRE	SPIE	TR04		TR01	SPIE		SPINS	MIGL	GRUE	MOMN	LAPE		MOMN	0 0
NaN	0,000187	0,000203	0,00000936 нне	0,0000815 EHN	0,00000555 CHN	0,000591	0,000149	0,0019	0,0000496 ННЕ	NaN	0,00000583 CHN	0,000263	NaN	0,00251	0,0000659	NaN	0,00159	0,000968	0,000721	0,0000269	0.000169	O OOGGS	0,00000872 HNN	0,000412	0,000934	NaN	0,0000431	NaN	0,000022	0,00013	NaN	0 000437	0,00228	0,000162	0,000413	NaN	0,000249	0,00524	NaN	0,000349	0,0000419	0,00106	xml-err	0,000618	NaN	xml-err	- 0
:	TTZ	EHN	HH	EHN	CHN	Ŧ	EHN	Ë	ΗH		CHN	NH		EHN	EHN		표	EHN	E	Ŧ	# F	П Е 2	HNN	E.	EHN		EE		EHN	E	:		黑	Ē	EHN		Ŧ	EHN		CHN	NH	EHN	ΗĦ	Ŧ		Ŧ	
i	TRAE	TRAE	ACER	LAPE	MONTM	MARE	TR12	MARE	CRAC		MARCO	TR05		MARE	TRAE		CASE	MARE	GRUE	ORI	ARME	MARE	IROS	TR02	TR04		TR02		TRAE	ARME	í	TRAF	ABRE	TR05	TR04		STN3	SPIE		MIGL	MIGL	GRUE	LAPE	LAPE		MOMN	
	~	0,0000047 E	0,00000228 HHN	0,0000139 E	0,000000593 CHN	0,00000239 EHN	0,000000553 EHE	0,00000416 EHN	0,000000775 EHN	NaN	0,000000338 HHN	0,00000209 HHN	NaN	0,00000897 E	0,00000538 E	NaN	0,00000451 EHE	0,00000236 E	0,00000524 EHN	.~	0.0000112 E		0,0000000/4 HNN	0,00000175 EHE	0,000008 E	NaN	00768	NaN		000681		0 0000201	416		0,00000255 E	NaN	0,00000397 E	0,0000324 E	NaN	01			4	0,0000285 E	NaN	xml-err +	į
	Ŧ	Ŧ	Ė	EHE	Ä	Ä	Ħ	Ä	Ĭ		Ħ	Ė		E	Ę		Ħ	E	Ä	Ē	Ŧ :	T E Z	Ž	Ä	Ħ		EΗ		Ħ	ΞZ	i		E E	ΞE	EHN		EHN	표		ΗH	NH	ΕĦ	EHN	E		Ŧ	

cms-ingv2025arztx DE		-		cms-ingv2025arshp DE	cms-ingv2025aqhuj DE	cms-ingv2025aqdwx DE	cms-ingv2025apbuu DE	cms-ingv2025aoppw DI	cms-ingv2025aomaq DE	cms-ingv2025aoeuv DE	cms-ingv2025aoemv DE	cms-ingv2025anvmg DE	cms-ingv2025anblh DE	cms-ingv2025amma DE	S	cms-ingv2025alroj DI	ᠴ	cms-ingv2025aktlj DE		cms-ingv2025ajgvr DE	cms-ingv2025aisml DE	cms-ingv2025agmkx DI	cms-ingv2025agfyl DE	cms-ingv2025afqdm DE	cms-ingv2025afmzf DE	cms-ingv2025adpprr DI	cms-ingv2025adpkp DI	cms-ingv2025adgza DE	cms-ingv2025aaucw DI	cms-ingv2025aagrv DE	cms-ingv2024zstvi DI		_	cms-ingv2024zrtjb DI	cms-ingv2024zpnqn DI				cms-ingv2024zokoc DI		cms-ingv2024zngoo DE	cms-ingv2024zmske DE	cms-ingv2024zjvfk DE	cms-ingv2024zirhi DE	cms-ingv2024zhwul DI	cms-ingv2024zgpah DE	cms-ingv2024zgmxx DI	cms-ingv2024zgcnh DI
2025 1	2025 1	2025 1	2025 1	2025 1	2025 1	2025 1	2025 1	2025 1	2025 1	2025 1	2025 1	2025 1	2025 1	2025 1	2025 1	2025 1	2025 1	2025 1	2025 1	2025 1	2025 1	2025 1	2025 1	2025 1	2025 1	2025 1	2025 1	2025 1	2025 1	2025 1	2024 12	2024 12	2024 12	2024 12	2024 12	2024 12	2024 12	2024 12	2024 12	2024 12	2024 12	2024 12	2024 12	2024 12	2024 12	2024 12	2024 12	2024 12
10 20 16	10 19 44	10 16 51		10 16 30	9 22 3	9 20 5	9 5 54	8 23 44	8 21 56	18	8 18 8	8 13 34	8 3 27		7 18 37	7 9 19	6 22 14	6 21 8	6 12 13	6 1 39	5 18 24	4 13 5	4 9 47	4 1 48	4 0 13	2 23 16	2 23 10	2 18 55	1 10 9	1 3 22	31 22 58	31 20 41	0	31 9 36		30 0 44	30 0 43	30 0 35	29 13 45	29 5 29	28 22 36	28 15 27	27 1 28	26 10 21	26 0 0	25 6 57	25 5 53	25 0 38
41 #	4 U	34	32	14	45	35	29	59	33	21	2	37	19	32	42	53	10	59	16	2	15	11	57	54	2	39	58	14	32	49	33	28	9	10	1	48	31	56	30	30	47	11	37	37	31	27	31	36
40,1908 15,9333 0,8	15,939/	15,9327		40,1865 15,9407 0,9	40,1958 15,9247 2,5	40,1767 15,947 0,6	40,1773 15,9487 1	40,358 15,8375 0,4	40,1753 15,9497 0,6	15,7273	40,1688 15,9453 0,8	40,1778 15,9495 1	40,1812 15,9477 1	15,9477		15,7015	15,6248	15,9655		40,1705 15,9472 0,7	40,5033 15,6457 0,5	40,3975 15,6822 1,1	40,1687 15,945 0,5	40,1823 15,9587 1,5	40,1708 15,9902 0,8	40,3493 15,8527 0,6	15,851		15,6605		15,8133	15,9787		15,6498	15,7348	2 15,6652	15,6448	15,9482	40,2993 15,9335 0,4	40,505 15,8097 1,5	40,5475 15,6867 1,3	40,223 15,9288 1	40,1713 15,942 1,4	40,4177 16,0313 1	40,2663 15,8997 0,3	40,1677 15,9547 0,9	40,3353 15,928 0,2	40,3183 15,9973 0,3
-0,1 7,2		0,7 6,08	0,4 7	0,6 6,9	0 7,27	0,6 6	0,2 6	0 3,46	-0,4 5,38		0,2 5,35	0 6,33	0 6,35		0,8 1,75		0,4 0,15	-0,1 4	0,1 5,05			0,2 7,78	0,1 5,91	-0,1 8	0 6,74	-0,1 3,79		0,2 6,62	0,1 1,35	-0,1 5,97	-0,4 5		0,7 2,12	1,1 4,85	-0,2 2,15	0.7 0.56	0,4 5	-0,2 5	-0,1 10,48	0,4 11,89	1,3 2	0 7	0 6,06	0,4 4,48	0,4 6,69	0,1 5,33	0,3 7,21	-0,1 4
0,6	0,7	0,7	0,7	0,7	1,4	0,4	0,5	0,5	0,6	8,0	8,0	0,6	1	0,9	0,4	253,4	0,4	162,4	1,1	0,7	0,4	1,4	8,0	1,1	0,9	0,6	0,4	0,9	1,6	0,5	0,6	1,2	1,3	1,4	σ	0.4	4,3	0,5	0,6	1,3	1,1	0,7	1,4	1	0,4	0,7	0,2	0,2
0,05	0,16	0,14	0,15	0,11	0,15	0,09	0,07	0,12	0,04	0,05	0,07	0,05	0,09	0,07	0,17	0,19	0,12	0,09	0,09	0,08	0,1	0,18	0,09	0,22	0,1	0,28	0,24	0,21	0,44	0,13	0,09	0,12	0,35	0,36	0,23	0,2	0,58	0,1	0,17	0,27	0,48	0,14	0,12	0,26	0,09	0,07	0,07	0,1
MANE	SABCI MONIM	SARCL	SARCL	TR03		TR06		MCEL	MCEL	TR06	VIGE		TR02	TRAE	SCHR	TRAE	BRIN		TR02	GRUE	BRIN			MONTM	TR12	FORE	MCEL		MANE		TR04	TR02	TR12	SLCN	TRAE	SLCN	SLCN	TR02	CASE	TR02	TITE	VIGE	STN3	CRAC	GRUE		BRIN	LAPE
0,000085 HHN	0,000000791 CHE	0,0000595 CHE	0,0000623 CHE	0,00172	NaN	0,00582	NaN	0,000119	0,00000924 HHE	0,00446	0,00178	NaN	0,0000635	0,000621	0,00113	0,000112	0,00042	NaN	0,0000734	0,000432	0,000342	NaN	NaN	0,00000633 CHN	0,0000307	0,0000942	0,000676	NaN	0,00289	NaN	0,00996	0,000447	0,000549	0,000518	0,0000329	0,000201	0,000091	0,0000278	0,00325	0,000928	0,0056	0,0000306	0,000773	0,000029	0,00054	NaN	0,00182	0,00005
HH		유	CHE	EE		F		NN	HH.	EH	표		Ŧ	Ŧ	표	띪	띪			ΞN	FY			CHN	띪		NHN		NH		띪	Ŧ	ΞZ	Ŧ	Ŧ	Ŧ	Ξ	T E	田田	EHN	FIN	NNH	EHN	EH	EHN		FIN	EE
MANE	SABCI M	SARCL	SARCL	TR03		TR06		MCEL	MARCO	TR06	VIGE		MIGL	TRAE	SCHR	TRAE	BRIN		TR02	GRUE	STN3			MONTM	ACER	FORE	LAPE		MANE		TR04	TRO2	SLCN	SLCN	TRAE	STN3	MANE	CRAC	TR04	LAPE	STN3	MARCO	MIGL	CRAC	LAPE		BRIN	LAPE
0,000000134 CHN	0,00000134 CHN	0,00000166 CHE	0,0000016 CHE	0,0000106 EHE	NaN	0,0000362 EHE	NaN	0,0000023 HNN	0,000000879 HHE		0,0000078 EHN	NaN	10				0,00000428 EHE	NaN		+2	0,0000132 EHN	NaN	NaN	0,000000846 CHN	0,00000162 HHE	0,00000174 EHE	0,00000668 EHE	NaN	0,00000678 ННЕ	NaN		2		0,0000067 HHN	0,00000291 EHE	0,00000404 EHN	0,0000013 HHE	0,000000753 EHN	0,00000615 EHE	0,00000721 EHN	0,0000829 EHE	0,000000784 HHE	0,00000792 HHE	0,00000321 EHN	0,0000133 EHE	NaN	0,0000122 EHE	0,00000455 EHN

cms-ingv2025bdvqp DI	cms-ingv2025bdcqs DE	cms-ingv2025bdcbh DE	cms-ingv2025bczrf DE	cms-ingv2025bcjql DI	cms-ingv2025bcdol DI			cms-ingv2025bbhii DE	cms-ingv2025bbgmc DE	cms-ingv2025bbdah DE	cms-ingv2025baubo DE	cms-ingv2025bagqb DE	cms-ingv2025baehj DI	cms-ingv2025badde DE	cms-ingv2025babuf DE	cms-ingv2025azujm DE	cms-ingv2025azsdp DE	cms-ingv2025azloh DE	cms-ingv2025azjaw DE	cms-ingv2025azikc DE	cms-ingv2025azdml DE	cms-ingv2025axvpc DE	cms-ingv2025axlhv DE	cms-ingv2025axiou DE	cms-ingv2025axfqo DE	cms-ingv2025awzvb DI	cms-ingv2025awvym DI	cms-ingv2025awurr DI	cms-ingv2025awsey DI	cms-ingv2025awipb DI	cms-ingv2025avvmi DE	cms-ingv2025auvxw DE	cms-ingv2025aultu DE	cms-ingv2025atlic DE	cms-ingv2025atdsy DE				cms-ingv2025asovp DE		cms-ingv2025asmus DE	cms-ingv2025askjy DE	cms-ingv2025asjgn DE	cms-ingv2025asddv DE	cms-ingv2025asddr DE	cms-ingv2025ascrc DE	cms-ingv2025aschv DE		cms-ingv2025arzxb DE
2025 1	2025 1	2025 1	2025 1	2025 1	2025 1	2025 1	2025 1	2025 1	2025 1	2025 1	2025 1	2025 1	2025 1	2025 1	2025 1	2025 1	2025 1	2025 1	2025 1	2025 1	2025 1	2025 1	2025 1	2025 1	2025 1	2025 1	2025 1	2025 1	2025 1	2025 1	2025 1	2025 1	2025 1	2025 1	2025 1	2025 1	2025 1	2025 1	2025 1	2025 1	2025 1	2025 1	2025 1	2025 1	2025 1	2025 1	2025 1	2025 1	2025 1
17 7 47	16 22 11	16 21 53	16 20 41	16 12 35	9		23		15 21 51	15 20 7	15 15 35	15 8 48	15 7 37	15 7 2	15 6 21	15 2 36	15 1 29	14 22 9	14 20 53	14 20 34	14 18 5	14 0 57	13 19 46	13 18 23	13 16 54	13 13 58	13 12 0	13 11 22	13 10 7	13 5 15	12 22 38	12 9 44	12 4 36	11 15 14	11 11 24	11 8 45	11 8 31	11 4 32	11 3 53	11 3 3	11 2 51	11 1 38	11 1 4	10 21 59	10 21 59	10 21 44	10 21 33	10 21 6	10 20 20
32	52	48	29	40	31	22	32	37	46	7	44	20	36	24	45	57	30	48	33	0	10	49	16	31	35	1	49	33	6	48	40	6	16	39	57	58	53	ر ت	25	24	44	29	12	25	ω	34	36	0	24
40,261 15,97 3,5	40,169 15,9532 0,3	40,1748 15,943 0,8	40,1783 15,9315 0,6	40,5282 15,8177 0,8				15,9245	15,9368	40,1948 15,9253 0,5	40,1803 15,9288 0,5	40,1847 15,9275 0,4	40,314 15,9945 0,5	40,212 15,9363 0,8	40,202 15,9407 0,5	40,1797 15,9372 0,5	40,1815 15,9277 0,3	40,1862 15,9377 1,5	40,1927 15,9355 0,6	40,2065 15,9287 1,7	15,935	40,2273 15,9055 0,3	15,9238	40,195 15,9298 0,5	40,1918 15,9308 0,6	40,2502 15,9647 5,4	40,271 15,9683 23,8	40,2543 15,8813 1,1	40,5053 15,775 0,3	40,2643 15,9708 3,5	40,2133 15,9603 2,4	40,2052 15,9347 0,8	40,1927 15,9275 2,2	40,176 15,9372 1,6	40,1877 15,9527 1,1		40,1768 15,9382 2,1	40,3443 15,7612 1,3	40,1982 15,958 1,1	40,1845 15,946 1,6	40,1818 15,9377 0,8	40,1882 15,9427 1,1	40,1742 15,9378 0,7	40,1857 15,9393 1	40,223 15,919 0,8	40,1747 15,95 3,3	40,2003 15,9293 1,8	40,5317 15,6227 0,8	40,1763 15,9345 1
0,3 4,96	0,2 4,68		0,7 6,95	0,5 5						0,4 7,81	0,4 6,21	1 7,56	0,2 4,83		0,5 7,86	0,7 7,22	1 7,62	0,5 7,54	0,5 8,05	0,4 8					0,4 7,59	0,3 7		0,6 6,6	1,7 1,86	0,6 5,3		0,3 8,36	0,4 6,04	0,3 7,02			0,1 0,72	-			0,2 7,31	-0,1 6,74	0,1 6	0,3 7,31	-0,2 5	-0,2 5,66	0 7,58	0,4 10,68	0 6
4,5	0,9	1	0,6	119,8	230,6	0,4	0,5	0,7	0,2	0,4	0,5	0,5	0,4	0,4	0,4	0,4	0,3	1,1	0,4	0,9	0,5	0,2	0,4	0,4	0,5	3,7	45,3	8,0	0,2	4,4	0,3	0,6	2	1,1	0,9	0,4	1,7	0,6	0,7	1,1	0,5	8,0	0,6	0,6	0,4	5,4	0,4	0,6	0,7
0,08	0,02	0,11	0,11	0,09	0,18	0,06	0,06	0,1	0,03	0,1	0,08	0,1	0,04	0,09	0,07	0,09	0,06	0,09	0,05	0,08	0,06	0,1	0,08	0,03	0,09	0,06	0,05	0,13	0,13	0,08	0,05	0,1	0,16	0,15	0,11	0,07	0,11	0,07	0,11	0,14	0,06	0,09	0,15	0,14	0,26	0,07	0,06	0,09	0,11
	SPINS	SPINS			MOLE	TR12			SPINS		TR06	TR04	ARME	BRIN		TR06	MOLE	TR05		MARE	MOMN	SARCL	TR05	TR05		TR08	TITE	TR06	ABRE	MCEL	TR06	BRIN	TR05	TR04			SCHR	TRAE	SCHR			SALB	TR11	TR06	CRAC			STN3	TR04
NaN	00332	0,0000282 CHN	NaN	NaN	1	0,0000512 EHN	NaN	NaN	0,0000288 CHE	NaN	0,00137 EHE	0,00133 EHE	0,0000459 EHE	0,000491 EHE	NaN	0,00062 EHE	0,000157 EHE	0,0000989 HHN	NaN		xml-err HHE	0,000537 CHE		0,0000946 HHN	NaN	0,000564 EHN	0,000732 EHE	0,00427 EHN	0,0336 EHN	0,0000153 HHE	0,00022 EHN	0,00673 EHN	0,000178 HHE	0,00000304 HNN	NaN	NaN		0,0000603 EHE	0,0000191 EHE	NaN	NaN	0,0000141 HHN	0,0000357 EHN	0,00399 EHE	0,000257 EHE	NaN	NaN	0,0000925 EHN	0,0000888 EHN
	SPINS	SPINS			MOLE	TRAE			PTRP		TR06	LAPE	ARME	BRIN		LAPE	LAPE	TR02		MARE	MOMN	MIGL	TR02	TR05		TR01	MARCO	TR06	ABRE	ACER	TR06	BRIN	TR06	TR04			SCHR	TRAE	CRAC			MONTM	TR11	TR06	CRAC			STN3	TR02
NaN	0,000000535 CHE	0,000000543 CHE	NaN	NaN	0,000000657 EHE	0,00000732 EHE	NaN	NaN	0,000000746 HHN	NaN	0,00000895 EHE	0,0000204 EHN	0,00000821 EHE	0,00000313 EHE	NaN	0,0000121 EHN	0,00000486 EHE	0,00000297 EHE	NaN	0,0000134 EHN	xml-err HHE	0,00000918 HHE	0,00000419 EHE	0,00000161 HHE	NaN	0,00000461 EHN	0,00000131 HHE	0,0000302 EHN	0,000194 EHE	0,0000035 HHE	0,0000056 EHE	0,0000132 EHN	0,00000409 EHE	0,000000049 HNN	NaN	NaN	_	0,0000159 EHN	0,00000173 EHE	NaN	NaN	0,000000629 CHN	0,00000167 EHE	0,0000237 EHE	0,0000016 EHE	NaN	NaN	0,00000249 EHE	0,00000157 EHN

15,5617         1,7         0,8         12         1,2         0,15         NAN           15,9317         0,6         7,18         0,4         6,74         9,1         0,07         NAN           15,9367         9,2         0,4         6,74         9,1         0,07         NAN           15,9322         1         0,5         7,41         9,1         0,00         LPE         0,000272         EHN         LAPE           15,9323         0,7         0,7         8,6         0,4         0,1         MOLE         0,0000388         EHN         SARCL           15,9327         0,2         0,3         3,7         0,2         0,03         SARCL         0,0000384         EHN         SARCL           15,9327         0,2         0,3         3,7         0,2         0,01         ABRE         0,000124         EH         SARCL           15,9327         0,4         1,9         1,1         0,3         0,0         ABRE         0,0000234         EHN         MARCO           15,9327         0,4         1,9         0,0         0,0         ABRE         0,0000334         EHN         THR           15,9328         0,1         1,1	4,/4 0,4 0,09 4,/4 0,4 0,09 4,23 0,8 0,2 TR04 4,23 0,3 0,08 ARMEN 5 0,7 0,13 TR01 3,61 0,3 0,08 MANE 4,27 0,3 0,08 MANE 7,95 0,4 0,1 TR01 7,95 0,4 0,1 TR04 4 0,2 0,08 MOMN	0,4 0,7 0,9 0,3 0,3 0,3 0,6 0,7 1,3 0,7 1,3 0,7	25 22 59 4 25 23 26 49 26 10 13 50 26 17 13 50 26 21 35 49 27 0 54 31 27 3 50 26 27 4 58 35 27 5 19 28 28 8 5 1 1 28 11 17 13 28 19 9 55 28 10 10 23	2025 1 2025 1	cms-ingv2025byyzc DE cms-ingv2025cakyr DI
15.9517         1,7         0.8         12         1,2         0,15         NAN           15.9637         9,6         0,4         7,18         0,6         1,18         0,1         NAN           15.9637         9,0         0,0         NAPE         0,00114         EN         GRUE           15.9523         0,7         0,7         0,0         NAPE         0,000134         EN         SARCL           15.9523         0,7         0,7         3,7         0,2         0,0         NAPE         0,000038         EN         SARCL           15.9527         0,2         0,2         0,0         ARRE         0,000038         EN         SARCL           15.9528         0,5         0,3         7,1         0,2         0,0         ARRE         0,0000212         EHE         THR           15.9407         0,4         0,5         0,0         ARRE         0,0000232         EH         MARCO           15.9407         0,8         0,3         1         1,1         0,1         MARCO         0,0         ARRE         0,0000233         HN         MARCO           15.9417         0,3         0         0,4         0,0         0,0 <td< td=""><td>4,/4 0,4 0,09 4,/4 0,4 0,09 4,33 0,3 0,07 4,22 0,3 0,08 ARMEN 5 0,7 0,13 TR01 3,61 0,3 0,08 MTSN 4,27 0,3 0,08 MANE 7,95 0,4 0,1 TR01 7,96 0,1 TR01 7,97 0,3 0,1 TR01 7,97 0,3 0,1 TR01</td><td>15,888 0,4 115,94 0,7 115,927 0,9 15,992 0,3 15,994 0,3 15,936 0,6 16,0075 0,7 15,996 0,3 15,996 0,3 15,997 0,7 15,9987 0,7 15,9987 0,7 15,9987 0,7 15,9988 1</td><td>22 23 10 17 21 21 21 21 3 3 3 4 4 5 5 8 8 119 21</td><td>2025 1 2025 1 2025 1 2025 1 2025 1 2025 1 2025 1 2025 1 2025 1</td><td></td></td<>	4,/4 0,4 0,09 4,/4 0,4 0,09 4,33 0,3 0,07 4,22 0,3 0,08 ARMEN 5 0,7 0,13 TR01 3,61 0,3 0,08 MTSN 4,27 0,3 0,08 MANE 7,95 0,4 0,1 TR01 7,96 0,1 TR01 7,97 0,3 0,1 TR01 7,97 0,3 0,1 TR01	15,888 0,4 115,94 0,7 115,927 0,9 15,992 0,3 15,994 0,3 15,936 0,6 16,0075 0,7 15,996 0,3 15,996 0,3 15,997 0,7 15,9987 0,7 15,9987 0,7 15,9987 0,7 15,9988 1	22 23 10 17 21 21 21 21 3 3 3 4 4 5 5 8 8 119 21	2025 1 2025 1 2025 1 2025 1 2025 1 2025 1 2025 1 2025 1 2025 1	
15,56317         1,7         0.8         1.2         1,2         0.15         NaN           15,9637         9,6         7,18         9,1         9,1         0,07         NaN           15,9657         9,1         0,4         5,24         9,1         0,07         NaN           15,9523         0,2         0,6         3,55         0,3         0,1         ABRE         0,000272         HN         LAPE           15,9527         0,2         0,2         3,78         0,2         0,03         MOLE         0,0000248         EHN         SARCL           15,9577         0,2         0,2         3,74         0,2         0,03         MOLE         0,0000248         EHN         SARCL           15,9407         0,2         0,2         0,03         0,04         0,03         MOLE         0,0000259         HN         MARCO           15,9428         0,5         0,3         1,1         1,2         0,2         SARCL         0,0000259         HN         MARCO           15,9428         0,5         0,3         1,4         0,5         0,3         0,4         NaN         NaN           15,9428         0,6         0,3         7,4	4,/4 0,4 0,09 7 0,8 0,2 TR04 4,33 0,3 0,07 4,22 0,3 0,08 ARMEN 5 0,7 0,13 TR01 3,61 0,3 0,08 MTSN 4,27 0,3 0,08 MANE 7,95 0,4 0,1 TR01 7 1,4 0,3 2,2 0,8 0,21 MOMN 5,48 0,9 0,18	15,8888 0,4 0,7 15,940 0,7 0,9 15,9957 0,9 0,3 15,9957 0,7 15,9965 0,3 15,9965 0,3 15,9965 0,3 15,9965 0,3 15,9965 0,3 15,9965 0,3 15,9965 0,3 15,9965 0,3 15,9967 0,7 15,9967	22 23 23 10 17 17 21 21 21 0 0 0 3 3 4 4 4 19	2025 1 2025 1 2025 1 2025 1 2025 1 2025 1 2025 1 2025 1 2025 1	CITIS-IIIBACOCODAGAA DE
15,6517         1,7         0.8         1.2         1,2         0,15         NaN           15,9317         0,6         7,18         0,4         7,24         9,1         0,07         NaN           15,9657         9,2         0,4         5,24         9,1         0,07         NaN           15,9858         0,2         0,5         7,41         0,7         0,0         NaP         0,000272         EN         LAPE           15,9877         0,2         0,2         3,7         0,2         0,03         MOLE         0,0000255         HM         SARCI           15,9877         0,2         0,2         0,03         MOLE         0,0000255         HM         SARCI           15,9877         0,2         0,2         0,03         MOLE         0,0000255         HM         SARCI           15,9878         0,2         0,3         0,2         0,03         MOLE         0,0000253         HM         MARCO           15,9878         0,5         0,3         1,1         1,2         0,03         MA         MIS         MARCO           15,9878         0,5         7,7         0,2         0,06         TRO         0,0000233         HM	4,/4 0,4 0,09 7 0,8 0,2 TR04 4,33 0,3 0,07 4,22 0,3 0,08 ARMEN 5 0,7 0,13 TR01 3,61 0,3 0,08 MTSN 4,27 0,3 0,08 MANE 7,95 0,4 0,1 TR01 7 1,4 0,3 2,2 0,8 0,21 MOMN	15,8888 0,4 15,94 0,7 16,0018 0,7 16,0027 0,9 15,9927 0,3 15,994 0,3 15,994 0,3 15,994 0,3 15,995 0,7 15,9965 0,3 15,9965 0,3 15,9965 0,3 15,9965 0,3 15,9987 1,3	22 23 10 17 17 21 21 21 3 3 4 4 4 14	2025 1 2025 1 2025 1 2025 1 2025 1 2025 1 2025 1 2025 1	cmc_ingv2025hviiiii DF
15,56517         1,7         0.8         1.2         1,2         0.05         NaN           15,9637         0.6         7,18         0,4         5,24         9,1         0.07         NaN           15,9637         0.4         6,24         9,1         0.07         NaN         NAN           15,9522         1         0.5         7,41         0,7         0.0         NAP         0,000272         EHN         LAPE           15,9527         1         0.5         3,75         0,2         0,03         MOLE         0,0000244         EHN         SARCI           15,9527         0.2         0.2         3,74         0,2         0,03         MACE         0,0000244         EHN         SARCI           15,9407         0.2         0.2         0,03         MACE         0,0000254         CHN         MARCO           15,9407         0.2         0.2         0,01         MTSN         0,0000253         HN         MARCO           15,9407         0.8         0.3         1.1         1.2         0.3         0.0         NaN         MARCO           15,9438         1.1         0.1         5.4         0.1         0.9         SARCI	4,/4 0,4 0,09 7 0,8 0,2 TR04 4,33 0,3 0,07 4,22 0,3 0,08 ARMEN 5 0,7 0,13 TR01 3,61 0,3 0,08 MTSN 4,27 0,3 0,08 MANE 7,95 0,4 0,1 TR01 7 1,4 0,3	15,8888 0,4 15,94 0,7 16,0018 0,7 16,0027 0,9 15,9922 0,3 15,9940 0,3 15,9957 0,6 16,0075 0,7 15,9965 0,3 15,9965 0,3 15,9965 0,3 15,9965 0,3 15,9965 0,3 15,9987 1,3	22 23 23 10 17 17 21 21 21 21 3	2025 1 2025 1 2025 1 2025 1 2025 1 2025 1	cms-ingv2025byldq DI
15,5517         1,7         0.8         12         1,2         0,15         NaN           15,9317         0.6         0,6         7,18         0,6         0,07         NaN           15,9327         0.6         0,4         2,24         9,1         0,07         NaN           15,9327         1.         0,5         3,35         0,3         0,1         ABRE         0,000272         EHN         LAPE           15,9327         0,2         0,2         3,78         0,2         0,03         AGAC         0,0000275         HN         SARCL           15,9327         0,2         0,2         3,7         0,2         0,03         SARCL         0,0000285         EHN         SARCL           15,9327         0,2         0,2         3,74         0,2         0,01         ABRE         0,0000285         HN         SARCL           15,9328         0,4         0,6         7,51         0,3         0,0         ABRE         0,0000253         HN         MARCO           15,9328         0,4         1,9         1,8         0,3         1         1,2         0,0         ABRE         0,0000235         HN         MARCO           15,9432	4,/4 0,4 0,09 7 0,8 0,2 TR04 4,33 0,3 0,07 4,22 0,3 0,08 ARMEN 5 0,7 0,13 TR01 3,61 0,3 0,08 MTSN 4,27 0,3 0,08 MANE 7,95 0,4 0,1 TR01	15,8888 0,4 0,7 15,948 0,7 16,0018 0,7 15,9922 0,3 15,9924 0,3 15,9936 0,7 15,	22 23 10 17 21 21 21 21 3	2025 1 2025 1 2025 1 2025 1 2025 1	cms-ingv2025bxywi DE
15,5517         1,7         0,8         12         1,2         0,15         NaN	4,/4 0,4 0,09 7 0,8 0,2 TR04 4,33 0,3 0,07 4,22 0,3 0,08 ARMEN 5 0,7 0,13 TR01 3,61 0,3 0,08 MTSN 4,27 0,3 0,08 MANE	33 15,8888 0,4 88 15,94 0,7 88 15,927 0,9 88 15,9922 0,3 88 15,994 0,3 82 15,994 0,3 82 15,994 0,3 83 15,995 0,7 83 15,9965 0,3	22 23 10 17 21 21 0 0	2025 1 2025 1 2025 1 2025 1	cms-ingv2025bvxxa DE
15,5517         1,7         0,8         12         1,2         0,15         NaN         NaN         NaN         NaN         NaN         15,9317         0,6         0,6         7,24         9,1         0,07         NaN         NaN         NaN         15,9523         0,4         6,24         9,1         0,07         NaN         NaN         15,9523         0,2         0,6         3,55         0,3         0,1         ABRE         0,000114         EHN         GRUE         15,9523         0,7         0,6         0,4         0,1         NaN         10,2         0,0         NACL         0,0000235         EHN         SARCL         15,9326         0,4         0,4         0,1         NA         0,0         0,0         NACL         0,0000235         EHN         SARCL         15,9326         0,4	7, 0,8 0,2 TR04 4,33 0,3 0,07 4,22 0,3 0,08 ARMEN 5 0,7 0,13 TR01 3,61 0,3 0,03 MTSN	33 15,8888 0,4 88 15,94 0,7 88 15,927 0,9 83 15,9227 0,3 83 15,992 0,3 83 15,994 0,3 82 15,936 0,6	22 23 10 17 21 21 0	2025 1 2025 1	cms-ingv2025bvxfc DI
15,5517         1,7         0,8         12         1,2         0,15         NaN           15,9317         0,6         0,6         7,18         0,6         0,07         NaN           15,9828         0,2         0,6         3,25         0,3         0,1         ABRE         0,00114         ENN         GRUE           15,9827         0,2         0,6         3,55         0,3         0,1         ABRE         0,000124         ENN         CAPE           15,9827         0,2         0,2         3,78         0,2         0,03         CRAC         0,0000325         ENN         CRAC           15,9327         0,2         0,2         3,78         0,2         0,03         CRAC         0,0000326         ENN         SARCI           15,9327         0,2         0,3         7,51         0,3         0,03         CRAC         0,0000329         HNN         MARCO           15,9228         0,5         7,51         0,3         0,03         1         1,1         0,1         MARCO         0,0000293         HNN         MARCO           15,9228         0,6         0,3         1,1         1,1         0,1         MIS         NaCCI         0,0000293<	4,74 0,4 0,09 7, 0,8 0,2 TR04 4,33 0,3 0,07 4,22 0,3 0,08 ARMEN 5 0,7 0,13 TR01	0,7 0,7 0,9 0,3 0,3	23 10 17 21 21 0	2025 1	cms-ingv2025bvuyq DI
15,5517         1,7         0,8         12         1,2         0,15         NaN         NaRCI         Nan	4,/4 0,4 0,09 7 0,8 0,2 TR04 4,33 0,3 0,07 4,22 0,3 0,08 ARMEN	0,4 0,7 0,7 0,9 0,9 0,3	23 10 17 21 21		cms-ingv2025bvpdt DE
15,5517         1,7         0,8         12         1,2         0,1         NaN         NaN         NaN         NaN         15,9317         0,6         0,6         7,18         0,6         0,07         NaN         NaN         SERUE         15,9387         0,0         NaN         GRUE         1,007         NaN         NaN         SARCI         1,007         NaN         NaN         NaPE         1,001,14         ENN         GRUE         1,52367         0,4         0,1         NaN         NaPE         0,0001,14         ENN         CARCI         1,5253         0,7         8,6         0,4         0,1         NaRE         0,0000,32         ENN         SARCI         1,5253         0,7         0,2         0,3         0,03         MARE         0,0000,32         ENN         SARCI         1,5253         0,03         ARRE         0,0000,32         ENN         SARCI         1,5263         0,04         0,03         NA         0,00         ARRE         0,0000,023         HN         ARRCO         1,5263         0,03         1,1         0,3         0,03         SARCI         0,0000,023         HN         NARCO         1,5263         0,03         1,1         0,1         NARCO         1,5263         0,03	4,/4 0,4 0,09 7 0,8 0,2 TR04 4,33 0,3 0,07	0,4 0,7 0,7 0,9 0,3	23 10 17 21	2025 1	cms-ingv2025bvitz DI
15,5517         1,7         0,8         12         1,2         0,1         NaN         NaN         NaN         NaN         15,9317         0,6         0,6         7,18         0,6         0,07         NaN         NaN         15,9367         9,8         0,4         6,24         9,1         0,07         NaN         NaN         15,9367         0,2         0,4         0,1         ABRE         0,0001,1         ENN         LAPE         15,9367         0,0         0,0         0,0         NaN         LAPE         0,000088         ENN         SARCI         15,9367         0,0         3,7         0,2         0,0         NACE         0,0000088         ENN         SARCI         15,9367         0,2         3,7         0,2         0,0         NACE         0,0000088         ENN         SARCI         15,9367         0,2         3,7         0,2         0,0         NACE         0,0000028         ENN         SARCI         15,9367         0,2         3,7         0,2         0,0         NACE         0,00000293         HN         MARCO         15,9407         0,8         0,3         1,1         1,1         0,1         MARCO         NACE         1,00000293         HN         MARCO         NACE         1,5000	4,/4 0,4 0,09 7 0,8 0,2 TR04	0,4 0,7 0,7 0,9	23 10 17	2025 1	
15,5517         1,7         0,8         12         1,2         0,1         NaN         Nan<	4,/4 0,4 0,09	0,4	23	2025 1	cms-ingv2025buzyn DE
15,6517         1,7         0,8         12         1,2         0,16         NaN         NaRCI         0,000038         EMN         SARCI         0,000038         EMN         MARCO         0,000039         MARCO		0,4	23	2025 1	cms-ingv2025bumii DI
15,6517         1,7         0,8         12         1,2         0,16         0,04         7,18         0,6         0,7,18         0,6         0,7,18         0,6         0,7,18         0,6         0,7,18         0,07         NaN         NaN         15,9367         9,3         0,1         ABRE         0,001,14         EHN         GRUE         15,9327         0,2         0,3         5,74         0,0         ABRE         0,000,127         EHN         LAPE         15,9327         0,2         0,3         0,1         ABRE         0,000,00328         EHN         SARCI         15,9327         0,2         0,2         3,7         0,2         0,0         CRAC         0,000,00324         EHN         SARCI         15,9327         0,2         0,3         7,1         0,3         0,0         SARCI         0,0000,0324         EHN         SARCI         15,9328         6,0         7,21         0,3         0,0         SARCI         0,0000,0324         EHN         SARCI         15,9328         6,0         7,21         0,3         0,0         ABRE         0,0000,0325         HN         MARCO         15,9328         0,0         ABRE         0,0000,000,0328         HH         EHN         BRRI         15,9428         0,0	7 0,6 0,14 SPIE		22	2025 1	cms-ingv2025btqtd DE
15,6517         1,7         0,8         1.2         1,2         0,16         0.8         0.4         6,24         0,14         0,14         0,16         0,18         0,	0,6 0,21 GRUE		,	2025 1	
15,6517 1,7 0,8 12 1,2 0,16 MaN 15,9317 0,6 0,6 7,18 0,6 0,07 MaN 15,9327 0,6 0,6 7,18 0,6 0,07 MaN 15,9327 0,7 0,7 8,6 0,4 0,1 MaN 15,9327 0,2 0,2 3,78 0,2 0,03 MOLE 0,0000288 EHN SPRICES,936 0,5 0,3 3,7 0,2 0,03 SARCL 0,00000275 HHN MARCO 15,928 0,5 0,3 1,1 MTSN 0,0000275 HHN MIGLIS,9367 0,2 0,3 3,7 0,0 MCER 0,0000275 HHN MARCO 15,928 0,6 0,3 7,47 0,5 0,3 MOLE 0,0000288 HN SPRICES,9367 0,2 0,3 3,7 0,0 MCER 0,0000275 HN MARCO 15,928 0,6 0,3 7,47 0,5 0,3 MCER 0,000175 HN MARCO 15,928 0,6 0,3 7,47 0,5 0,3 MCER 0,000175 HN MARCO 15,9367 0,7 0,8 0,3 MCER 0,0000284 EHN SPRICES,9363 0,6 0,3 7,47 0,5 0,3 MCER 0,0000284 HN MIGLIS,9363 0,6 0,3 7,47 0,5 0,0 MCER 0,0000284 HN MIGLIS,9363 0,6 0,5 7,17 0,6 0,0 MCER 0,0000284 HN MIGLIS,9353 0,6 0,5 7,17 0,6 0,9 SARCL 0,0000293 HN MIGLIS,9353 0,6 0,5 7,12 0,5 0,0 SARCL 0,0000288 HN MIGLIS,9353 0,5 0,5 7,2 0,5 0,0 MCER 0,0000288 HN MIGLIS,9353 0,6 0,5 7,2 0,5 0,0 MCER 0,0000293 HN MIGLIS,9353 0,5 0,5 7,2 0,5 0,4 0,0 MCER 0,0000293 HN MIGLIS,9353 0,5 0,5 7,2 0,5 0,0 MCER 0,0000293 HN MIGLIS,9353 0,5 0,5 7,2 0,5 0,0 MCER 0,0000293 HN MIGLIS,9353 0,5 0,5 7,2 0,5 0,0 MCER 0,0000293 HN MIGLIS,9353 0,5 0,5 7,2 0,5 0,0 MCER 0,0000293 HN MIGLIS,9353 0,5 0,5 7,2 0,5 0,0 MCER 0,0000293 HN MIGLIS,9353 0,5 0,5 7,2 0,5 0,0 MCER 0,0000293 HN MIGLIS,9353 0,5 0,5 7,2 0,5 0,0 MCER 0,0000293 HN MIGLIS,9353 0,5 0,5 7,2 0,5 0,0 MCER 0,0000293 HN MIGLIS,9353 0,5 0,5 7,2 0,5 0,0 MCER 0,0000293 HN MIGLIS,9353 0,5 0,5 7,2 0,5 0,0 MCER 0,0000293 HN MIGLIS,9353 0,5 0,5 0,5 0,0 MCER 0,0000293 HN MIGLIS,935	4,37 0,5 0,13 FORE	0,3	25 1 3 45	2025 1	cms-ingv2025brykx DI
15,6517 1,7 0,8 12 1,2 0,16 WaN 15,9317 0,6 0,6 7,18 0,6 0,07 WaN 15,9317 0,6 0,6 7,18 0,6 0,07 WaN 15,9527 1,0 0,5 7,41 0,7 0,09 LAPE 0,00114 EHN LAPE 15,9522 1 0,5 7,41 0,7 0,09 LAPE 0,000272 EHN LAPE 15,9253 0,7 0,7 8,6 0,4 0,1 WAN 15,8977 0,2 0,3 3,49 0,3 0,03 KARC 0,0000034 EHN SARCL 15,9347 0,5 0,3 7,19 0,3 0,00 ABRE 0,000175 HHN MARCO 15,9347 0,5 0,3 7,19 0,3 0,09 ABRE 0,000175 HHN MARCO 15,928 0,5 0,3 7,19 0,3 0,09 ABRE 0,000125 HHN SARCL 15,928 0,5 0,3 1,19 1,35 0,3 0,09 ABRE 0,000125 HH MARCO 15,928 0,6 0,3 7,47 0,5 0,3 0,00 TRO 0,000234 EH MICH 15,9353 0,6 0,5 7,17 0,6 0,5 NGL 0,0000254 CHN MICH 15,9353 0,6 0,5 7,17 0,6 0,09 SARCL 0,0000253 HHN MICH 15,9353 0,6 0,5 7,2 0,5 0,0 NGL NO000258 HHE TRO9 15,948 0,5 0,5 7,2 0,5 0,0 NGL NO000258 HHE TRO9 15,948 0,5 0,5 7,2 0,5 0,0 NGL NO000258 HHE TRO9 15,948 0,5 0,5 7,2 0,5 0,0 NGL NO000258 HHE TRO9 15,948 0,5 0,5 7,2 0,5 0,0 NGL NO000258 HHE TRO9 15,948 0,5 0,5 7,2 0,5 0,0 TRO9 0,0000058 HHE TRO9 15,948 0,5 0,5 7,2 0,5 0,0 TRO9 0,0000058 HHE TRO9 15,948 0,5 0,5 7,2 0,5 0,0 TRO9 0,0000058 HHE TRO9 15,948 0,5 0,5 7,2 0,5 0,0 TRO9 0,000058 HHE TRO9 15,948 0,5 0,5 7,2 0,5 0,0 TRO9 0,000058 HHE TRO9 15,948 0,5 0,5 7,2 0,5 0,0 TRO9 0,000058 HH TRO9 15,948 0,5 0,5 7,2 0,5 0,0 TRO9 0,000058 HH TRO9 15,948 0,5 0,5 7,2 0,5 0,0 TRO9 0,000058 HH TRO9 15,948 0,5 0,5 7,2 0,5 0,0 TRO9 0,000058 HH TRO9 15,948 0,5 0,5 7,2 0,5 0,1 TRO4 0,000079 HH MRCO 15,948 0,5 0,5 7,2 0,5 0,4 0,1 TRAE 0,000079 HH MRCO 15,948 0,5 0,3 1,6 0,3 0,1 TRAE 0,000070 HHE TRAE 15,948 0,5 0,3 1,3 0,5 0,5 0,5 0,0 TRO9 0,000059 HH TRAE 15,948 0,5 0,3 1,3 0,5 0,5 0,5 0,0 NACCH 0,0000070 HHE TRAE 15,948 0,5 0,4 0,1 3,05 0,0 0,0 NACCH 0,0000070 HHE TRAE 15,948 0,5 0,4 0,1 3,05 0,0 NACCH 0,0000070 HHE TRAE	0,5 0,09	-	24 20 7 16	2025 1	cms-ingv2025broqp DI
15,6517 1,7 0,8 12 1,2 0,16 NaN 15,9317 0,6 0,6 7,18 0,6 0,6 7,18 0,6 NaN 15,9367 9,8 0,4 6,24 9,1 0,07 NaN 15,8898 0,2 0,6 3,55 0,3 0,1 ABRE 0,00114 ENN GRUE 15,9253 0,7 0,7 8,6 0,4 0,1 NaN 15,9357 0,2 0,2 3,78 0,2 0,3 3,7 0,2 0,3 CRAC 0,000034 EHN GRAC 15,9367 0,2 0,3 3,7 0,2 0,3 3,7 0,3 NARE 0,000155 HNN MARCO 15,9342 0,5 0,6 8,7,1 0,3 0,9 ABRE 0,000145 HN MARCO 15,9342 0,5 0,6 7,51 0,3 0,9 ABRE 0,000165 CHN SARCL 15,9253 1,1 0,1 5 0,3 1,1 125 0,0 NAN 15,9352 1,6 0,3 7,17 0,6 0,6 7,17 0,6 NAN 15,9352 1,1 0,1 5 0,9 SARCL 0,0000234 HNN MIGL 15,9353 0,6 0,3 7,71 0,6 NAS	2,6 0,09	-	24 1 21 9	2025 1	cms-ingv2025bqdmc DI
15.6517 1,7 0,8 12 1,2 0,16 WaN 15.9317 0,6 0,6 7,18 0,6 0,07 WaN 15.9327 0,2 0,6 3,55 0,3 0,1 WaN 15.8898 0,2 0,2 3,78 0,2 0,2 3,78 0,2 0,3 SARCI 15.9327 0,2 0,2 3,78 0,2 0,3 SARCI 15.9327 0,2 0,2 3,79 0,2 0,3 WOLE 0,0000325 EHN SPINS 15.9327 0,2 0,3 3,7 0,2 0,3 SARCI 15.9347 0,5 0,3 7,19 0,3 0,0 SARCI 15.9348 0,5 0,3 7,19 0,3 0,0 SARCI 15.9348 0,5 0,3 7,17 0,5 0,3 0,16 TITE 0,000125 HNW MARCO 15.9352 1,6 0,3 7,47 0,5 0,0 SARCI 15.9353 0,6 0,5 7,17 0,6 0,0 SARCI 15.9355 1,1 0,1 5 0,3 SARCI 15.9355 1,1 0,1 5 0,0 SARCI 15.9355 1,1 0,1 5 0,3 SARCI 15.9358 0,5 0,5 7,2 0,5 0,5 0,5 7,2 0,5 0,0 SARCI 15.9358 0,5 0,5 7,2 0,5 0,5 0,5 0,5 0,5 0,5 0,5 0,5 0,5 0,5	1,96 0,2 0,03 ACER	0,5	23 1 12 28	2025 1	cms-ingv2025bohrt DI
15.6517 1,7 0,8 12 1,2 0,16 WAN 15.9317 0,6 0,6 7,18 0,6 0,0 7,18 0,6 WAN 15.9317 0,6 0,6 7,18 0,6 0,07 WAN 15.9327 0,2 0,6 3,55 0,3 0,1 ABRE 0,000114 EHN CAPE 15.9523 0,7 0,7 8,6 0,4 0,1 WAN 15.8972 0,2 0,2 3,78 0,2 0,3 WALE 0,0000898 EHN SARCL 15.9367 0,2 0,2 3,49 0,3 WALE 0,0000898 EHN SARCL 15.9367 0,2 0,3 3,7 0,2 0,3 WALE 0,0000355 HHN WARCO 15.9367 0,2 0,3 3,7 0,2 0,3 WALE 0,0000175 HHN WARCO 15.9367 0,2 0,3 3,7 0,3 0,03 SARCL 0,0000175 HHN WARCO 15.9367 0,2 0,3 1,0 0,3 0,03 SARCL 0,0000175 HHN WARCO 15.9368 0,4 0,5 7,51 0,3 0,03 SARCL 0,0000175 HHN WARCO 15.9368 0,4 1,9 11,85 0,3 0,03 SARCL 0,0000175 HHN WARCO 15.9369 0,4 1,9 11,85 0,3 0,03 SARCL 0,0000175 HHN WARCO 15.9369 0,4 1,9 11,85 0,3 0,03 SARCL 0,0000175 HHN WARCO 15.9369 0,4 1,9 11,85 0,3 0,03 SARCL 0,0000175 HHN WIGH 15.9369 0,6 0,3 1,0 1,1 WISN 0,00000594 HN WIGH 15.9369 0,6 0,5 7,7 0,5 0,9 0,14 WARCO 15.9369 0,5 1,4 0,7 3,1897 3,7513716 0,950 GRUE 0,0000588 HNE TR09 15.9407 0,6 0,5 7,2 0,5 0,04 WARCO 15.9408 0,6 0,5 7,2 0,14 WARCO 15.9408 0,6 0,5 7,2 0,14 WARCO 15.9408 0,6 0,5 7,2 0,5 0,04 WARCO 15.9408 0,6 0,5 7,2 0,5 0,05 TR04 0,0000792 HHN WIGH 15.9408 0,6 0,5 7,2 0,4 0,0 WARCO 15.9408 0,6 0,5 7,2 0,4 0,0 WARCO 15.9408 0,0 0,0 0,0 0,0 0,0 0,0 0,0 0,0 0,0 0	0,3 0,11 GRUE		22 3 24 11	2025 1	cms-ingv2025bmqnk DI
15.6517 1,7 0,8 12 1,2 0,16 WAN 15.9317 0,6 0,6 7,18 0,6 0,07 WAN 15.9317 0,6 0,6 7,18 0,6 0,07 WAN 15.9327 0,2 0,6 3,54 0,3 0,1 ABRE 0,000114 EHN CAPE 15.9523 0,7 0,7 8,6 0,4 0,1 WAN 15.8972 0,2 0,2 3,78 0,2 0,3 MOLE 0,0000898 EHN SARCL 15.9570 0,2 0,3 3,7 0,4 0,0 KARE 0,000185 EHN SARCL 15.9367 0,2 0,3 3,7 0,4 0,3 KARE 0,000185 EHN SARCL 15.9368 0,4 0,5 7,1 0,3 0,0 ABRE 0,000185 EHN SARCL 15.9368 0,4 0,5 7,1 0,3 0,0 ABRE 0,000185 EHN SARCL 15.9407 0,8 0,3 1 125 0,0 ABRE 0,000251 CHN MTSN 15.9438 1,2 0,5 7,2 0,5 0,5 7,2 0,5 0,6 0,6 TR09 0,000293 HNN MIGL 15.9450 0,4 0,5 7,2 0,4 0,6 TR09 0,000293 HNN MIGL 15.9451 0,5 0,5 7,2 0,5 0,2 3,751 0,3 GRUE 0,0000588 HNE TR04 15.9451 0,5 0,5 7,2 0,5 0,6 0,6 TR09 0,000385 EHN SARCL 15.9452 0,5 0,5 7,2 0,4 0,6 TR09 0,000385 EHN SARCL 15.9453 0,5 0,5 7,2 0,5 0,6 TR04 0,000293 HNN MIGL 15.9453 0,5 0,5 7,2 0,5 0,6 TR04 0,000293 HNN MIGL 15.9453 0,5 0,5 7,2 0,5 0,6 TR04 0,000293 HNN MIGL 15.9453 0,5 0,5 7,2 0,5 0,6 TR09 0,000385 EHN TR04 15.9458 1,2 0,5 7,4 0,5 0,6 TR09 0,000385 EHN TR04 15.9458 1,2 0,5 7,4 0,5 0,6 TR09 0,000385 EHN TR04 15.9458 1,2 0,5 7,4 0,5 0,6 TR09 0,000385 EHN TR04 15.9458 1,0 0,5 7,4 0,5 0,6 TR09 0,000385 EHN TR04 15.9458 1,0 0,5 7,4 0,5 0,6 TR09 0,000385 EHN TR04 15.9458 1,0 0,5 7,4 0,5 0,6 TR09 0,000385 EHN TR04 15.9458 1,0 0,5 7,4 0,5 0,6 TR09 0,000385 EHN TR04 15.9458 1,0 0,5 7,4 0,5 0,6 TR09 0,000385 EHN TR04 15.9458 1,0 0,5 7,4 0,5 0,6 TR09 0,000385 EHN TR04 15.9458 1,0 0,5 7,4 0,5 0,6 TR09 0,000385 EHN TR04 15.9458 1,0 0,5 7,4 0,5 0,6 TR09 0,000385 EHN TR04 15.9458 1,0 0,5 7,4 0,5 0,6 TR09 0,000385 EHN TR04 15.9458 1,0 0,5 7,4 0,5 0,6 TR09 0,000385 EHN TR04 15.9458 1,0 0,5 7,4 0,5 0,6 TR09 0,000385 EHN TR04 15.9458 1,0 0,5 7,4 0,5 0,6 TR09 0,000385 EHN TR04 15.9458 1,0 0,5 7,4 0,5 0,5 0,6 TR09 0,000385 EHN TR04 15.9458 1,0 0,5 7,4 0,5 0,5 0,6 TR09 0,000385 EHN TR04	0,8 0,11 MARCO		21 23 9 16	2025 1	cms-ingv2025bmics DE
15.6517 1,7 0,8 12 1,2 0,16 WaN 15.9317 0,6 0,6 7,18 0,6 0,07 WaN 15.9327 0,6 0,6 7,18 0,6 0,07 WaN 15.9388 0,2 0,6 3,55 0,3 0,01 ABRE 0,00114 EIN LAPE 15.9522 1 0,5 7,41 0,7 0,09 LAPE 0,000125 EIN LAPE 15.9523 0,7 0,7 8,6 0,4 0,1 WAN 15.8870 0,2 0,2 3,78 0,2 0,03 KRAC 0,000088 EIN SPINS 15.9347 0,2 0,3 3,7 0,2 0,01 ABRE 0,000145 EIN SPINS 15.9347 0,5 0,6 8,07 0,4 0,05 MCEL 0,0000434 EIN SPINS 15.9348 0,4 0,6 7,51 0,3 0,09 ABRE 0,000155 HHN MARCO 15.9358 0,4 0,5 7,17 0,5 0,9 ABRE 0,000164 EHE ABRE 15.9040 0,5 7,17 0,5 0,9 ABRE 0,000259 HHN WISN 15.9351 1,1 0,1 5 0,9 0,14 WAN 15.9353 1,1 0,1 5 0,9 SARCL 0,0000293 HHN WIGL 15.9358 1,1 0,1 5 0,9 SARCL 0,0000588 HNE TR09 15.9358 1,1 0,1 5 0,9 SARCL 0,0000588 HNE TR09 15.9358 1,1 0,1 5 0,9 SARCL 0,000058 EIN WIGL 15.9359 1,1 0,1 5 0,9 SARCL 0,000058 EIN WIGL 15.9359 1,1 0,1 5 0,9 SARCL 0,0000588 HNE TR09 15.9358 1,1 0,1 5 0,9 SARCL 0,0000588 HNE TR09 15.9358 1,1 0,1 5 0,9 SARCL 0,000058 EIN WIGL 15.9359 1,1 0,1 5 0,9 SARCL 0,000058 EIN WIGL 15.9359 1,1 0,1 5 0,9 SARCL 0,000058 EIN WIGL 15.9359 1,1 0,1 SARCL 0,000058 EIN WIGL 15.9359 1,1 0,1 SARCL 0,000058 EIN WIGL 15.9359 1,1 0,1 SARCL 0,000 SARCL 0,000058 EIN WIGL 15.9359 1,1 0,1 SARCL 0,000 SARCL 0,000058 EIN WIGL 15.9359 1,1 0,1 SARCL 0,000 SARCL 0,000058 EIN WIGL 15.9359 1,1 0,1 SARCL 0,000 SARCL 0,000058 EIN WIGL 15.9359 1,1 SARCL 0,000 SARCL 0,000058 EIN WIGL 15.9359 1,1 SARCL 0,000 SARCL 0,000058 EIN WIGL 15.9450 0,5 7,2 0,5 0,0 SARCL 0,000058 EIN WIGL 15.9450 0,5 7,4 0,5 0,0 SARCL 0,000079 EIN WIGL 15.9450 0,5 7,4 0,5 0,0 MIGL 0,000079 EIN WIGL 15.9450 0,5 7,4 0,4 TR04 0,000895 EIN WIGL	0,44 1,1 0,11 TRAE	0,8	21 1 8 53	2025 1	cms-ingv2025bkqnz DE
15.6517 1,7 0,8 12 1,2 0,16 WaN 15.9317 0,6 0,6 7,18 0,6 0,07 WaN 15.9327 0,6 0,6 7,18 0,6 0,07 WaN 15.9388 0,2 0,6 3,55 0,3 0,01 ABRE 0,00114 ENN CAPE 15.9522 1 0,5 7,41 0,7 0,09 LAPE 0,000127 ENN LAPE 15.9523 0,7 0,7 8,6 0,4 0,1 WAN 15.9877 0,2 0,2 3,79 0,3 0,03 KRAC 0,000088 ENN SPINS 15.9387 0,2 0,3 3,7 0,2 0,01 ABRE 0,000145 ENN SPINS 15.9387 0,2 0,3 7,19 0,3 0,03 KRAC 0,0000454 ENN SPINS 15.9388 0,4 0,6 7,51 0,3 0,16 TITE 0,0000251 CHN MARCO 15.9389 0,6 0,3 7,47 0,5 0,09 ABRE 0,000164 EHE TITE 15.7017 0,4 1,9 11,85 0,3 0,16 TITE 0,0000259 CHN MTSN 15.9383 0,6 0,3 7,47 0,5 0,09 SARCL 0,0000588 HNE TR09 15.9383 1,1 0,1 5 0,9 0,14 WAN 15.9383 1,1 0,1 5 0,9 SARCL 0,0000588 HNE TR09 15.9383 0,5 0,5 7,5 0,2 0,4 0,8 TR09 0,000088 ENN GRUE 15.9483 0,5 0,5 7,82 0,4 0,6 TR09 0,000088 ENN TR04 15.9483 0,5 0,5 7,46 0,5 0,04 WAN 15.9483 0,6 0,5 7,46 0,5 0,04 WAN 15.9483 0,6 0,5 7,46 0,5 0,04 WAN	0,7 0,24 TR04	1	21 0 53 4	2025 1	cms-ingv2025bkqal DE
15.6517 1,7 0,8 12 1,2 0,16 WaN 15.9317 0,6 0,6 7,18 0,6 0,0 7 WaN 15.9327 0,0 0,4 6,24 9,1 0,07 WaN 15.9388 0,2 0,5 3,55 0,3 0,1 ABRE 0,00114 ENN CAPE 15.9523 1 0,5 7,4 0,7 0,09 LAPE 0,000127 ENN CAPE 15.9527 0,2 0,2 3,79 0,3 CRAC 0,000434 ENN CAPE 15.9367 0,2 0,3 3,7 0,2 0,01 ABRE 0,000185 ENN SARCL 15.9367 0,2 0,3 7,19 0,3 CRAC 0,0000434 ENN SARCL 15.9368 0,4 0,5 7,19 0,3 0,03 SARCL 0,0000261 CHN SARCL 15.9370 0,4 1,9 1,85 0,3 0,09 ABRE 0,000164 EHE TITE 15.9371 0,4 1,9 1,85 0,3 0,09 ABRE 0,000164 EHE TITE 15.9383 0,6 0,3 7,47 0,5 0,09 SARCL 0,0000253 HNN MTSN 15.9383 0,6 0,3 7,47 0,5 0,09 SARCL 0,0000594 CHN MIGL 15.9383 0,6 0,3 7,47 0,5 0,09 SARCL 0,0000594 CHN MIGL 15.9383 0,6 0,3 7,47 0,5 0,09 SARCL 0,0000594 CHN MIGL 15.9383 0,6 0,7 3,1897 3,7513716 0,950 SARCL 0,0000594 CHN MIGL 15.9483 0,5 0,5 7,2 0,5 0,05 TR04 0,000058 ENN ENN MIGL 15.9483 0,5 0,5 7,82 0,4 0,05 TR09 0,0000385 EHN TR04 15.9483 0,5 0,5 7,82 0,4 0,06 TR09 0,000385 EHE TR09 15.9483 0,5 0,5 4,6 1,5 0,1 MIGL 0,0000792 HNN MIGL	7,46 0,5 0,04		20 23 23 15	2025 1	cms-ingv2025bknbi DE
15.6517 1,7 0,8 12 1,2 0,16 WAN 15.9317 0,6 0,6 7,18 0,6 0,0 7,18 0,0 WAN 15.9367 9,8 0,4 6,24 9,1 0,07 WAN 15.9868 0,2 0,6 3,55 0,3 0,1 ABRE 0,000114 EIN GRUE 15.9522 1 0,5 7,47 0,7 0,09 LAPE 0,000272 EIN LAPE 15.9537 0,2 0,2 3,78 0,2 0,3 KRCL 0,0000434 EIN SPINS 15.9367 0,2 0,3 3,7 0,2 0,01 ABRE 0,000185 EIN SPINS 15.9367 0,2 0,3 3,7 0,4 0,3 KRCL 0,0000434 EIN SPINS 15.9367 0,2 0,3 7,19 0,3 NACL 0,0000435 EIN SPINS 15.9368 0,4 0,6 7,19 0,3 0,03 SARCL 0,0000261 CIN SARCL 15.9367 0,8 0,3 1,1 1,25 0,07 WARCO 15.9368 0,4 0,5 7,17 0,6 0,00 ABRE 0,0000263 EIN WARCO 15.9369 0,6 0,3 7,47 0,5 0,09 SARCL 0,0000253 HN WITSN 15.9369 0,6 0,5 7,17 0,6 0,00 SARCL 0,0000253 HN WIGL 15.9369 0,6 0,5 7,17 0,6 0,95 SARCL 0,0000588 HNE TR09 15.9445 0,5 7,2 0,5 0,0 TR04 0,000018 CIN SARCL 15.9458 1,2 0,5 7,2 0,5 0,0 TR04 0,000018 CIN SARCL 15.9458 1,2 0,5 7,2 0,5 0,0 TR04 0,000018 CIN SARCL 15.9458 1,4 0 7,5 0,2 0,3 SARCL 0,000018 CIN SARCL 15.9458 1,5 0,5 7,2 0,5 0,0 TR04 0,000018 CIN SARCL 15.9458 1,5 0,5 7,8 0,4 0,0 TR04 0,000385 EIE TR09	4,6 1,5 0,1 MIGL	0,9	20 17 21 2	2025 1	
15,6517 1,7 0,8 12 1,2 0,16 WAN 15,9317 0,6 0,6 7,18 0,6 0,07 WAN 15,9317 0,6 0,6 7,18 0,6 0,07 WAN 15,967 9,8 0,4 6,24 9,1 0,07 WAN 15,898 0,2 0,6 3,55 0,3 0,1 ABRE 0,000114 EHN GRUE 15,9522 1 0,5 7,41 0,7 0,09 LAPE 0,000272 EHN LAPE 15,957 0,2 0,2 3,78 0,2 0,03 MOLE 0,0000898 EHN SARCL 15,9367 0,2 0,2 3,49 0,3 CRAC 0,0000434 EHN SARCL 15,9367 0,2 0,3 3,7 0,2 0,01 ABRE 0,000185 EHN SARCL 15,9367 0,2 0,3 7,1 0,3 0,09 MCEL 0,0000175 HHN MARCO 15,938 0,5 0,3 7,51 0,3 0,09 ABRE 0,000175 HHN MARCO 15,928 0,4 0,5 7,51 0,3 0,09 ABRE 0,00164 EHE ABRE 15,9407 0,8 0,3 1, 125 0,07 WAN 15,9353 0,6 0,3 7,47 0,5 0,09 SARCL 0,0000293 HHN MTSN 15,9353 0,6 0,3 7,47 0,5 0,09 SARCL 0,0000594 CHN MIGL 15,9353 0,6 0,5 7,17 0,6 0,950 GRUE 0,0000588 HNE TR09 15,9458 1,1 0,7 5 0,2 0,05 TR04 0,00279 EHN MIGL 15,9458 1,2 0,5 7,2 0,5 0,05 TR04 0,00279 EHN TR04 15,9602 1,4 0,7 5 0,2 0,03 SARCL 0,000018 CHN SARCL	0,4 0,06 TR09	0,5	20 4 41 18	2025 1	
15,6517 1,7 0,8 12 1,2 0,16 WAN 15,9317 0,6 0,6 7,18 0,6 0,07 WAN 15,9317 0,6 0,6 7,18 0,6 0,07 WAN 15,9367 9,8 0,4 6,24 9,1 0,0 0,07 WAN 15,8898 0,2 0,6 3,55 0,3 0,1 ABRE 0,00114 EHN LAPE 15,9523 0,7 0,7 8,6 0,4 0,1 WAN 15,8972 0,2 3,78 0,2 0,3 MOLE 0,000898 EHN SARCI 15,9367 0,2 0,2 3,49 0,3 CRAC 0,000434 EHN SARCI 15,9367 0,2 0,3 3,7 0,2 0,01 ABRE 0,000185 EHN SARCI 15,9367 0,2 0,3 7,10 0,3 MOLE 0,0000175 HHN MARCO 15,9367 0,5 0,3 7,51 0,3 NO9 BARE 0,00164 EHE ABRE 15,9040 0,8 0,3 1 125 0,07 WAN 15,9289 0,6 0,3 7,47 0,5 0,09 SARCI 0,0000293 HHN MTSN 15,9353 0,6 0,5 7,17 0,6 0,00 SARCI 0,0000594 CHN MIGL 15,9353 1,1 0,1 5 0,9 0,14 SPIE 0,0000588 HNE TR09 15,9353 1,1 0,1 5 0,9 0,14 SPIE 0,0000588 HNE TR09 15,9363 0,5 0,5 7,2 0,5 0,9 TR04 0,00279 EHN MIGL 15,9583 0,5 0,5 7,2 0,5 0,05 TR04 0,00279 EHN TR04	7,5 0,2 0,03 SARCL	1,4		2025 1	
15,6517 1,7 0,8 12 1,2 0,16 WaN 15,9317 0,6 0,6 7,18 0,6 0,07 WaN 15,9317 0,6 0,6 7,18 0,6 0,07 WaN 15,9327 0,0 0,4 6,24 9,1 0,0 0,07 WAN 15,8898 0,2 0,6 3,45 0,3 0,1 ABRE 0,000114 EHN GRUE 15,9523 0,7 0,7 8,6 0,4 0,1 WAN 15,8972 0,2 3,78 0,2 0,3 MOLE 0,0000898 EHN SARCL 15,9367 0,2 0,3 3,7 0,2 0,3 MOLE 0,0000898 EHN SARCL 15,9367 0,2 0,3 3,7 0,2 0,3 MOLE 0,0000175 HHN MARCO 15,9342 0,5 0,6 8,07 0,4 0,03 SARCL 0,0000175 HHN MARCO 15,9342 0,5 0,5 7,19 0,3 0,03 SARCL 0,0000175 HHN MARCO 15,9328 0,6 0,5 7,51 0,3 0,03 SARCL 0,0000175 HHN SARCL 15,9407 0,8 0,3 1 125 0,07 WAN 15,9407 0,8 0,3 1 125 0,07 WAN 15,9407 0,8 0,3 1 125 0,07 WAN 15,9353 0,6 0,3 7,47 0,5 0,9 SARCL 0,0000293 HHN MTSN 15,9408 0,6 0,3 7,47 0,5 0,09 SARCL 0,0000293 HNN MTSN 15,9408 0,6 0,3 7,47 0,5 0,09 SARCL 0,0000293 HNN MIGL 15,9408 0,6 0,3 7,47 0,5 0,09 SARCL 0,0000293 HNN MIGL 15,9408 0,6 0,3 7,47 0,5 0,09 SARCL 0,0000293 HNN MIGL 15,9408 0,6 0,3 7,47 0,5 0,09 SARCL 0,0000293 HNN MIGL 15,9408 0,6 0,3 7,47 0,5 0,09 SARCL 0,0000293 HNN MIGL 15,9408 0,6 0,3 7,47 0,5 0,09 SARCL 0,0000293 HNN MIGL 15,9408 0,6 0,3 7,47 0,5 0,09 SARCL 0,0000293 HNN MIGL 15,9408 0,6 0,3 7,47 0,5 0,09 SARCL 0,0000293 HNN MIGL 15,9408 0,6 0,3 7,47 0,5 0,9 0,12 SPIRO 0,0000588 HNE TRO9 15,9408 1,2 0,5 8 0,9 0,14 NaN	7,2 0,5 0,05 TR04	15,9583 0,5		2025 1	
15,6517 1,7 0,8 12 1,2 0,16	8 0,9 0,14	15,9458 1,2	19 20 3 13	2025 1	_
15,6517 1,7 0,8 12 1,2 0,16 NaN 15,9317 0,6 0,6 7,18 0,6 0,07 NaN 15,9357 0,6 0,6 3,55 0,3 0,1 ABRE 0,00114 EHN GRUE 15,898 0,2 0,6 3,55 0,3 0,1 ABRE 0,00114 EHN GRUE 15,9522 1 0,5 7,41 0,7 0,09 ABRE 0,000127 EHN LAPE 15,9525 0,7 0,7 8,6 0,4 0,1 NAN 15,8707 0,2 3,78 0,2 0,03 MOLE 0,0000898 EHN SARCL 15,9367 0,2 0,3 3,7 0,2 0,01 ABRE 0,000185 EHN SPINS 15,9367 0,2 0,3 3,7 0,2 0,01 ABRE 0,000185 EHN SPINS 15,9367 0,3 7,19 0,3 0,03 SARCL 0,0000175 HHN MARCO 15,928 0,5 0,3 7,19 0,3 0,03 SARCL 0,0000261 CHN SARCL 15,9077 0,4 0,5 7,51 0,3 0,09 ABRE 0,000126 EHE ABRE 15,7017 0,4 1,9 11,85 0,3 0,16 TITE 0,00212 EHE TITE 15,9450 0,6 0,3 1 125 0,09 SARCL 0,0000293 HNN MTSN 15,9450 0,5 7,17 0,6 0,06 TR09 0,0000588 HNE TR09 15,9355 1,1 0,1 5 0,9 0,12 SPIE 0,000203 EHN MIGL	3,1897 3,7513716 0,9503 GRUE	16,0127 8,1	19 17 23 53	2025 1	cms-ingv2025bifrs DE
15,6517 1,7 0,8 12 1,2 0,16 NaN 15,9317 0,6 0,6 7,18 0,6 0,07 NaN 15,9357 0,6 0,6 3,55 0,3 0,1 ABRE 0,00114 EHN GRUE 15,5952 1 0,5 7,41 0,7 0,09 LAPE 0,00272 EHN LAPE 15,9523 0,7 0,7 8,6 0,4 0,1 WAN 15,9575 0,2 0,2 3,78 0,2 0,3 MOLE 0,000088 EHN SARCL 15,9267 0,2 3,49 0,3 0,03 CRAC 0,000088 EHN SARCL 15,9367 0,2 0,3 3,7 0,2 0,01 ABRE 0,000185 EHN SPINS 15,9367 0,2 0,3 3,7 0,4 0,05 MCEL 0,000085 EHN SPINS 15,9368 0,4 0,5 7,51 0,3 0,03 SARCL 0,000261 CHN SARCL 15,9268 0,4 1,9 11,85 0,3 0,16 TITE 0,00212 EHE TITE 15,9470 0,8 0,3 1 125 0,07 15,9480 0,5 7,47 0,5 0,9 SARCL 0,0000293 HHN MTSN 15,9480 0,6 0,3 7,47 0,5 0,9 SARCL 0,0000293 HHN MTSN 15,9480 0,6 0,5 7,17 0,6 0,06 TR09 0,0000588 HNE TR09	0,9 0,12 SPIE	15,9355	19 9 33 24	2025 1	
1,7 0,8 12 1,2 0,16 NaN  0,6 0,6 7,18 0,6 0,07 NaN  0,8 0,4 6,24 9,1 0,07 NaR  0,2 0,6 3,55 0,3 0,1 ABRE 0,000114 EHN GRUE  1 0,5 7,41 0,7 0,9 LAPE 0,000272 EHN LAPE  0,7 0,7 8,6 0,4 0,1 NaN  0,2 0,2 3,78 0,2 0,03 MOLE 0,000088 EHN SARCL  0,2 0,2 3,49 0,3 0,03 CRAC 0,0000434 EHN CRAC  0,2 0,2 3,79 0,2 0,01 ABRE 0,000155 EHN SPINS  0,5 0,6 8,07 0,4 0,05 MCEL 0,000175 HHN MARCO  0,5 0,6 8,07 0,4 0,05 MCEL 0,000175 HHN MARCO  0,6 0,3 7,19 0,3 0,03 SARCL 0,000164 EHE ABRE  0,4 0,6 7,51 0,3 0,16 TITE 0,0012 EHE TITE  0,8 0,3 1 125 0,07 NAN  1,6 0,3 1,7 0,5 0,9 SARCL 0,0000293 HHN MIGL	7,17 0,6 0,06 TR09	15,9353 0,6	19 4 27 12	2025 1	
1,7 0,8 12 1,2 0,16 NaN WAN NAN NAN NAN NAN NAN NAN NAN NAN NA	7,47 0,5 0,09 SARCL	15,9298 0,6	19 2 30 9	2025 1	
1,7 0,8 12 1,2 0,16 WaN WaN WaN  0,6 0,6 7,18 0,6 0,07 WaN WaN  0,2 0,6 3,55 0,3 0,1 ABRE 0,00014 EHN GRUE 0,0000655  1 0,5 7,41 0,7 0,09 LAPE 0,000272 EHN LAPE 0,0000734  0,7 0,7 8,6 0,4 0,1 WaN  0,2 0,2 3,78 0,2 0,03 MOLE 0,0000898 EHN SARCL 0,0000019  0,2 0,2 3,49 0,3 0,03 CRAC 0,000434 EHN SARCL 0,0000026  0,2 0,3 3,7 0,2 0,01 ABRE 0,000455 EHN SPINS 0,0000232  0,5 0,6 8,07 0,4 0,05 MCEL 0,0000155 HHN MARCO 0,00000161  0,6 7,51 0,3 0,09 ABRE 0,00164 EHE ABRE 0,0000706  0,4 1,9 11,85 0,3 0,16 TITE 0,00212 EHE 0,0000461	10 1,1 0,11 MTSN	1,6	21	2025 1	cms-ingv2025bgsjk DE
1,7 0,8 12 1,2 0,16 WaN WaN WaN  0,6 0,6 7,18 0,6 0,07 WaN WaN  0,2 0,6 3,55 0,3 0,1 ABRE 0,000272 EHN GRAC 0,00000155  1 0,5 7,41 0,7 0,09 LAPE 0,000272 EHN SARCL 0,00000734  0,7 0,7 8,6 0,4 0,1 NaN  0,2 0,2 3,78 0,2 0,03 MOLE 0,000089 EHN SARCL 0,0000026  0,2 0,2 3,49 0,3 0,03 GRAC 0,000434 EHN GRAC 0,0000026  0,2 0,3 3,7 0,2 0,01 ABRE 0,000185 EHN SARCL 0,0000026  0,2 0,3 3,7 0,2 0,01 ABRE 0,000185 EHN SARCL 0,0000026  0,2 0,3 3,7 0,2 0,01 ABRE 0,000185 EHN SARCL 0,0000026  0,4 0,6 7,51 0,3 0,09 ABRE 0,000261 CHN SARCL 0,0000012  0,4 1,9 11,85 0,3 0,01 TITE 0,000212 EHE TITE 0,0000461	1 125 0,07	0,8	19	2025 1	cms-ingv2025bgnpx DI
1,7 0,8 12 1,2 0,16 NaN WaN  0,6 0,6 7,18 0,6 0,07 NaN  9,8 0,4 6,24 9,1 0,07 NaN  0,2 0,6 3,55 0,3 0,1 ABRE 0,00114 EHN GRUE 0,0000655  1 0,5 7,41 0,7 0,09 IAPE 0,000272 EHN IAPE 0,0000734  0,7 0,7 8,6 0,4 0,1 NOLE 0,00028 EHN SARCL 0,00000109  0,2 0,2 3,78 0,2 0,03 MOLE 0,000898 EHN SARCL 0,00000109  0,2 0,3 3,7 0,2 0,01 ABRE 0,000143 EHN SPINS 0,00000232  0,5 0,6 8,07 0,4 0,05 MCEL 0,0000155 HHN MARCO 0,00000161  0,5 0,3 7,19 0,3 0,03 SARCL 0,0000151 CHN SARCL 0,0000012	11,85 0,3 0,16 TITE	0,4	18	2025 1	cms-ingv2025bgmji DI
1,7 0,8 12 1,2 0,16	7,51 0,3 0,09 ABRE			2025 1	
1,7 0,8 12 1,2 0,16	7,19 0,3 0,03 SARCL		18 12 57 51	2025 1	
1,7         0,8         12         1,2         0,16         NaN         NaN <td>8,07 0,4 0,05 MCEL</td> <td></td> <td>18 10 48 57</td> <td>2025 1</td> <td></td>	8,07 0,4 0,05 MCEL		18 10 48 57	2025 1	
1,7         0,8         12         1,2         0,16         NaN         Nan <td>3,7 0,2 0,01 ABRE</td> <td></td> <td>18 9 32 10</td> <td>2025 1</td> <td>cms-ingv2025bfups DI</td>	3,7 0,2 0,01 ABRE		18 9 32 10	2025 1	cms-ingv2025bfups DI
15,6517         1,7         0,8         12         1,2         0,16         NaN	3,49 0,3 0,03 CRAC		18 8 36 33	2025 1	cms-ingv2025bfsua DI
15,6517     1,7     0,8     12     1,2     0,16     NaN     NaN     NaN       15,9317     0,6     0,6     7,18     0,6     0,07     NaN     NaN     NaN       15,9667     9,8     0,4     6,24     9,1     0,07     NaN     NaN     NaN       15,8898     0,2     0,6     3,55     0,3     0,1     ABRE     0,00114     EHN     GRUE     0,00000655       15,9523     1     0,5     7,41     0,7     0,09     LAPE     0,000272     EHN     LAPE     0,00000734       15,9253     0,7     0,7     8,6     0,4     0,1     NaN     NaN     NaN	3,78 0,2 0,03 MOLE	0,2	18 8 15 56	2025 1	cms-ingv2025bfsci DI
15,6517 1,7 0,8 12 1,2 0,16 NaN NaN NaN 15,9317 0,6 0,6 7,18 0,6 0,07 NaN NaN NaN 15,9667 9,8 0,4 6,24 9,1 0,07 NaN NaN NAN 15,8898 0,2 0,6 3,55 0,3 0,1 ABRE 0,00114 EHN GRUE 0,00000655 15,9522 1 0,5 7,41 0,7 0,09 LAPE 0,000272 EHN LAPE 0,0000734	8,6 0,4 0,1	0,7	18 6 37 45	2025 1	cms-ingv2025bfowb DE
15,6517 1,7 0,8 12 1,2 0,16 NaN NaN NaN 15,9317 0,6 0,6 7,18 0,6 0,07 NaN NaN NaN 15,9667 9,8 0,4 6,24 9,1 0,07 NaN NaN NaN NaN NaN 15,8898 0,2 0,6 3,55 0,3 0,1 ABRE 0,00114 EHN GRUE 0,00000655	7,41 0,7 0,09 LAPE	1	18 1 17 46	2025 1	cms-ingv2025bfehp DE
15,6517 1,7 0,8 12 1,2 0,16 NaN 15,9317 0,6 0,6 7,18 0,6 0,07 NaN 15,9667 9,8 0,4 6,24 9,1 0,07 NaN	3,55 0,3 0,1 ABRE	0,2	17 18 51 7	2025 1	cms-ingv2025bernw DE
15,6517 1,7 0,8 12 1,2 0,16 NaN 15,9317 0,6 0,6 7,18 0,6 0,07 NaN	6,24 9,1 0,07	9,8	17 15 48 8	2025 1	cms-ingv2025belmx DI
1,7 0,8 12 1,2 0,16 NaN	0,6 0,07	-	17 11 49 4	2025 1	cms-ingv2025bedpv DE
	1,2 0,16	40,4602 15,6517 1,7 0,8	17 11 1 37	2025 1	cms-ingv2025becbd DI
15,9408 1 0,6 6,26 1,1 0,16	6,26 1,1 0,16 NaN	40,177 15,9408 1 0,6	17 10 58 15	2025 1	cms-ingv2025bebyf DE

	D	b DI	D	cms-ingv2025cugeu DI 2025 2	cms-ingv2025cufxy DI 2025 2	cms-ingv2025cufha DE 2025 2	cms-ingv2025cuduf DE 2025 2	DE	cms-ingv2025cuats DE 2025 2	cms-ingv2025ctyru DI 2025 2	D	c DE	DE	DI	D	DI	DE	D	□	D			DE	₽	DE				□ !	D	ь D ;	cms-ingvz025cltfi DF 2025.2			DE DE	₽	cms-ingv2025cfthx DI 2025 2	cms-ingv2025cfchm DI 2025 2	cms-ingv2025ceyue DI 2025 2	cms-ingv2025cdpwg DI 2025 1	□	cms-ingv2025ccuuy DI 2025 1	DE	DE	₽	₽	cms-ingv2025cbppv DE 2025 1
9 21	9 18	9 17	9 12	9 12	9 12	9 12	9 11	9 10	9 9	9 8	9 6	9 1	9 1	8 16	8 12	8 10	8 10	& &	8 0	7 13	7 9	7 0	6 22	6 20	6 13	8	6 0	6 0	5 12	5 2	4 .	4 4	4 4	ر 1 - د	2	1 17	1 1/	1 5	1 3	31 10	31 4	30 23		30 19		30 14	30 7
34	35	55	5	42	34	15	29	55	58	55	10	34	0	54	52	21	11	27	4	16	46	27	32	46	3 25	9	59	0	14	9	36	л	0 10	10	40	52	1 20	44	58	20	35	3 42	∞	14		19	56
45	34	29	10	45	47	5	48	46	19	47	28	0	30	22	25	34	23	33	22	34	4	4	58	21	23	30	9	38	50	6	39	ມູ	7 7	, c	7	46	30	50	23	4	18	2	21	19	15	29	41
40,3353 16,0017 0,7	15,84	15,9913		40,3295 15,9915 0,8	40,317 15,987 1,3	40,1773 15,9423 0,9	40,184 15,9447 0,6	40,1752 15,9365 0,9	40,1833 15,9465 0,9	40,3017 15,8012 0,3	40,3242 15,9945 0,2	40,167 15,9507 0,6	40,1757 15,9343 0,7	40,3933 15,8242 0,4	15,8362	40,3152 15,992 0,3	15,9352		40,3872 15,8057 1	7	40,1935 15,928 20,6	15,9905	15,9388	5 15,6587	15,9343	40,182 15,9312 0,6	15,9217	2 15,9907		15.8985	40.2667 15.8987 0.2	40 1862 15 9408 1	40,2373 15,6647 0,4 00 1863 15 0055 1		15,9432	15,9923	40,3225 15,9997 0,3	40,3267 15,998 0,8	40,3228 15,985 0,4	40,252 16,0357 0,5	40,2645 15,9155 1,2	40,3633 15,6903 0,3	5	40,1777 15,99 0,4	15,8035	15,8995	40,245 15,8898 0,6
									0										_		01											<b>.</b> .				0	0										۲
	-0,2 5,09	-0,3 4,73		-0,4 4,59	0,1 5	-0,2 6,16	-0,1 7,09	0,2 6,67	,1 7,46	-0,2 1,32	0,2 4	-0,5 5	0,1 6,17	0,5 3,26	0,4 2,73				-0,3 2,83		0,7 12,4321	-0,2 4,15		0,3 7,97		0,5 7,68	-0,3 5,09	-0,1 4,27		-0.2 4.9		-0,5 7,05	0,0 3,94		8,15	3,79	1 3,89	-0,2 4,18	-0,5 4	-0,3 3,89	-0,3 11,06	0,1 3,43	-0,3 5,73			-0,1 3,89	3,96
0,6	0,5	0,4	1,3	0,6	0,6	0,6	0,5	0,7	0,6	0,4	0,2	0,6	0,7	0,5	0,5	0,4	3,5	0,5	0,5	0,6	11,590066	0,4	0,5	0,5	0,7	0,5	0,4	0,4	0,5	0.4	0.3	8,0	0,4	D./	0,6	0,5	0,3	0,5	0,4	8,0	1,7	8,0	1,4	0,5	0,4	0,4	2,0
0,09	0,12	0,06	0,18	0,08	0,05	0,13	0,11	0,14	0,1	0,09	0,07	0,07	0,13	0,22	0,24	0,11	0,33	0,07	0,2	0,1	0,0465	0,08	0,12	0,12	0,21	0,09	0,09	0,09	0,07	0.08	0.09	0,13	0,15	0,38	0,12	0,25	0,05	0,06	0,09	0,13	0,28	0,08	0,17	0,06	0,05	0,19	TT,U
ARME	TR12	CRAC	TR04	FORE			SLCN	SPINS	TR11		ARME	SIRI	SPIE	MARE	MARE	ARME	PADE	TR04	MARE	SARCL	01	ARME	SPIE	TITE	SPIE	TR04	TR04	MOMN	TR04	VIGGN	TRO3	SARCI	TBOAL F	2		MOMN	TITE	TR03	LAPE	TR05		TRAE	TR09			GRUE	
0,000152		0,0000274	0,00831	0,000255	NaN	NaN	0,00421	0,0000569	0,000104	NaN	0,000135	0,0000076	0,0000503	0,0013	0,000898	0,000232	0,00935	0,00267	0,000209	0,0000192	NaN	0,0000789	0,000042	0,000207	0,00007	0,00222	0,0000461	xml-err	0,00618	0.0000187	0.000338	0.000021	0,00222	NaN	NaN	xml-err	0,00122	0,000648	0,0000792	0,00142	NaN	0,0000437	0,0000358	NaN	NaN	0,000239	NaN
EE			Æ	EHN			NNH		EH.			Ŧ		EHN	Ŧ	EH	띪	띪		유			Ŧ	EHN	EHN	FH	EHN	Ħ.			Ŧ :	CHZ F		n E		HH	EHE	EHN	EHN	Ħ		FH.	E			E	
ARME	TR12	CRAC	TR04	FORE			SLCN	SPINS	TR11		LAPE	SLCN	SARCL	MARE	MARE	LAPE	PADE	TR04	ACER	SARCL		ARME	CRAC	MIGL	SARCL	TR04	TR04	LAPE	TR04	VIGGN	GRUE	ARMEN	TROA	201		MOMN	ARME	TR03	LAPE	TR05		TRAE	TR09			GRUE	
0,00000543 EHE	0,00000102 EHN	72	0,0000453 EHE	0,0000038 EHE	NaN	NaN	0,00000695 HNN	0,0000011 CHN	0,00000087 EHN	NaN		0,0000012 HHN	0,00000106 CHE			ω		0,0000157 EHE	0,000000582 HHE	0,000000455 CHN	NaN		0,00000086 EHE	0,0000037 HHN	61	0,000011 EHE		UI	0,0000292 EHN	ŭ	0.0000032 EHN	0,000000766 CHF	0,0000377 EHN		NaN	xml-err HHE	0,00000331 EHE	0,00000346 EHN	0,00000586 EHN	0,00000191 HHE	NaN	0,00000465 EHN	0,00000083 EHN	NaN	NaN	0,00000428 EHN	NaN

cms-ingv2025desti DE	cms-ingv2025deseb DI	cms-ingv2025desdu DI	cms-ingv2025depfa DI	cms-ingv2025deosw DI		cms-ingv2025decrj DE	cms-ingv2025declh DE	cms-ingv2025ddzwy DE	cms-ingv2025ddzrm DE	cms-ingv2025ddqkk DE	cms-ingv2025ddgvw DE	cms-ingv2025dddqz DE	cms-ingv2025ddddx DE	cms-ingv2025dcnco DE	cms-ingv2025dcmuh DE	cms-ingv2025dclxl DE	cms-ingv2025dcehr DE	cms-ingv2025dceen DE	cms-ingv2025dbzmo DE	cms-ingv2025dbzdq DE	cms-ingv2025dblru DE	cms-ingv2025dbdtn DE	cms-ingv2025dayps DE	cms-ingv2025daynw DE	cms-ingv2025daykc DE	cms-ingv2025daxeu DE	cms-ingv2025davqw DE	cms-ingv2025damsn DE	cms-ingv2025damhc DE					cms-ingv2025cysdv DE								cms-ingv2025cxocy DE	cms-ingv2025cxhpt DI	cms-ingv2025cxbmi DI	cms-ingv2025cwuwj DE	cms-ingv2025cwrcs DE	cms-ingv2025cwgsl DE	cms-ingv2025cwanj DI	
2025 2	2025 2	2025 2	2025 2	2025 2	2025 2	2025 2	2025 2	2025 2	2025 2	2025 2	2025 2	2025 2	2025 2	2025 2	2025 2	2025 2	2025 2	2025 2	2025 2	2025 2	2025 2	2025 2	2025 2	2025 2	2025 2	2025 2	2025 2	2025 2	2025 2	2025 2	2025 2	2025 2	2025 2	2025 2	2025 2	2025 2	2025 2	2025 2	2025 2	2025 2	2025 2	2025 2	2025 2	2025 2	2025 2	2025 2	2025 2	2025 2	2025 2
15 6 23	15 6 5	15 6 5	15 4 35	15 4 21	15 1 40	14 22 16	14 22 8	14 20 51	14 20 45	14 16 4	14 11 14	14 9 37	14 9 22	14 1 16	14 1 6	14 0 39	13 20 49	13 20 45	13 18 23	13 18 13	13 11 25	13 7 24	13 4 48	13 4 46	13 4 42	13 4 5	13 3 19		12 22 35	12 21 20								11 16 14	11 15 9	11 13 8	11 13 2	11 8 7	11 4 49	11 1 43	10 22 23	10 20 29	10 15 14	10 12 6	10 4 27
19	30	9	42	41	53	10	59	41	25	18	35	58	54	12	37	57	27	46	37	13	23	59	56	48	50	55	24	58	49	5	2	55	21	16	54	46	35	14	43	∞	30	2	50	59	32	45	40	53	49
40,1848 15,9278 0,8	40,3877 15,8385 0,6	40,407 15,8472 1	40,3242 15,9935 0,7	40,3167 15,985 0,3	40,1732 15,9477 0,5	40,1842 15,9363 1,1	40,1835 15,9405 0,9	40,177 15,9375 0,7	40,1748 15,9435 0,7	40,178 16,0172 0,4	40,1768 15,934 0,8	40,1772 15,942 1,2	40,182 15,9377 0,7	40,176 15,9372 1,5	40,1932 15,9415 1,3	40,1848 15,9323 0,6	40,223 15,919 2	15,9355	40,1737 15,9423 0,7	40,1872 15,9433 1,8	40,1845 15,9288 2	40,1672 15,95 1,6	40,1863 15,9265 1,5	40,1798 15,9332 0,6		40,165 15,9525 1,1	15,9372	15,943	15,932	15,9362	15,9482	15,994			3 15,9523	15,7383		2	40,3888 15,834 0,4	40,3855 15,8292 0,4	40,3845 15,8355 0,3	40,1762 15,9383 1,2	40,3865 15,8318 0,3	40,3285 15,9132 0,2	40,1718 15,9413 0,9	40,1673 15,9485 0,4	40,3093 15,7675 0,6	40,3188 15,9893 0,4	40,2077 15,9382 0,3
0 6,03	0,1 0,18	0,1 1,68	-0,3 4	1,7 4,06	0,1 5,94	-0,2 5,94	-0,1 6,63	0,1 6	0,1 5,07	-0,5 5,29	-0,1 4,46	0 7	0 6,05	-0,4 6,52	-0,3 7,83	0 7,35	-0,4 5	0 6	-0,1 6,86	-0,2 7,12	0 6,14	-0,2 6	-0,2 4,62	0 5,71	-0,2 6,65	-0,6 3,24	-0,3 7,47		0,1 6,81	-0,1 7,66						-			0,4 2,55	0,8 3,4	0,2 0,72	0,1 6,63	0,2 2,66	0 3,79	-0,2 6,39	0,2 5	0 3,45	-0,1 4,19	1 7,12
2,0	9,0	0,7	0,5	0,4	0,4	1	0,7	0,5	8,0	0,3	1	ь	0,7	1,3	0,9	0,5	0,9	0,7	9,0	1,2	1,3	1,8	1,4	9,0	9,0	1,3	0,4	0,6	0,4	0,6	0,9	0,4	0,9	0,4	0,5	0,3	0,4	0,4	0,5	0,5	0,3	1	0,4	0,2	8,0	9,0	0,7	0,3	0,3
0,09	0,23	0,13	0,12	0,21	0,1	0,16	0,09	0,14	0,16	0,01	0,17	0,09	0,12	0,12	0,18	0,13	0,27	0,17	0,05	0,17	0,15	0,06	0,27	0,13	0,11	0,05	0,07	0,11	0,1	0,14	0,08	0,07	0,12	0,1	0,09	0,02	0,14	0,22	0,21	0,23	0,12	0,13	0,17	0,14	0,1	0,06	0,13	0,05	0,13
GRUE		SPIE	ARMEN	MOMN	TR01			ARMEN	TR01	TR04	SARCL	SARCL	TR02	MIGL	ARMEN	SARCL	TR06				TR04			SPIE	SCHR	LAPE	MANE	SIRI	SPINS	SPIE	TR05		SPINS	SPIE		TR04	SPINS	MARE	TR04	MARE	RAPE	TR04	MARE	GRUE	SARCL	SPIE	MARCO	TR04	SPINS
0,00343	NaN	0,0000408	0,0000178	xml-err	0,0000439	NaN	NaN	0,0000169	0,000089	0,0000134	0,0000291	0,0000227	0,000189	0,0000174	0,0000114	0,0000334	0,0000399	NaN	NaN	NaN	0,00145	NaN	NaN	0,0000486	0,0000389	0,00291	0,0000299	0,0000113	0,0000468	0,0000639	0,0000364	NaN	0,000756	0,0000574	NaN	0,000642	0,000084	0,00161	0,00532	0,00229	0,000186	0,00619	0,000454	0,000306	0,0000199	0,0000552	0,000125	0,00202	0,00166
EHN				Ŧ	EE			CHN	EHN	HNE	SHE.	CHN		NHH	CHE	SHE	黑				뜌			EHN	EHN	EHN	ΞE	HHN	CHN	EHN	H		유	黑		EHN	SHE	Ħ	Ē	ᄄ	EHN	FIN	띪	FIN	CHE	EHN	HHN	EHZ	CHN
LAPE		MARCO	ARMEN	MOMN	TR01			ACER	TR06	TR04	SARCL	MIGL	TR02	MIGL	CRAC	SARCL	TR06				TR04			TR02	MIGL	LAPE	MIGL	SIRI	TR06	TR05	TR01		SPINS	SPIE		TR04	MARCO	MARE	TR04	MARE	RAPE	TR04	MARE	VIGE	SARCL	SPIE	TRAE	TR04	SPINS
0,0000648 EHN	NaN	0,000000933 HHE	0,00000127 CHN	xml-err HHE	0,00000107 EHE	NaN	NaN	0,00000156 HHE	0,0000028 EHE	0,000000054 HNE	0,000000675 CHE	0,00000444 HHN	0,00000172 EHE	0,00000504 HHN	0,00000239 EHN	0,000000826 CHE	0,00000187 EHE	NaN	NaN	NaN	0,00000703 EHE	NaN	NaN	0,0000012 EHE	0,00000374 HHE	0,0000414 EHE	0,0000036 HHN	0,000000436 HHN	0,00000127 EHE	0,000000585 нне	0,000000784 EHE	NaN	0,00000309 CHE	0,000000864 EHE	NaN	0,00000349 EHN	œ		0,0000296 EHN	0,0000124 EHE	0,0000014 EHN	0,000028 EHE	0,00000262 EHE	0,00000364 EHE	0,000000371 CHE	0,000000801 EHE	0,00000487 EHN	0,00000793 EHN	

cms-ingv2025dnqmc DI	cms-ingv2025dngcl DI	cms-ingv2025dneoe DI	cms-ingv2025dmyor DE	cms-ingv2025dmysi DI	cms-ingv2025dmwih DF	cms-ingv2025dmugr DI	cms-ingv2025dmtzg DE	cms-ingv2025dmteu DI	cms-ingv2025dmsjx DE	cms-ingv2025dmken DE	cms-ingv2025dmbgr DE	cms-ingv2025dlvyl DE	cms-ingv2025dlsvs DE					cms-ingv2025dlheo DE	U				_	cms-ingv2025djszl DE	cms-ingv2025djrua DE	cms-ingv2025diynr DE	cms-ingv2025divdm DE	cms-ingv2025ditwh DE	cms-ingv2025dilgq DE	cms-ingv2025diadi DE	cms-ingv2025dhufv DE	cms-ingv2025dhrhg DE	cms-ingv2025dhrcg DE	cms-ingv2025dhoab DE	cms-ingv2025dhmqc DI	cms-ingv2025dhixc DE	cms-ingv2025dhfcy DE	cms-ingv2025dhaxm DE	cms-ingv2025dgybc DE	cms-ingv2025dgxiy DE	cms-ingv2025dgisw DE	cms-ingv2025dfxhs DE	cms-ingv2025dftqm DE	cms-ingv2025dfize DE	cms-ingv2025dexky DI	cms-ingv2025deuyh DE	cms-ingv2025detvt DI	cms-ingv2025detra DI
2025 2	2025 2	2025 2	2025 2	2025 2	2025 2	2025 2	2025 2	2025 2	2025 2	2025 2	2025 2	2025 2	2025 2	2025 2	2025 2	2025 2	2025 2	2025 2	2025 2	2025 2	2025 2	2025 2	2025 2	2025 2	2025 2	2025 2	2025 2	2025 2	2025 2	2025 2	2025 2	2025 2	2025 2	2025 2	2025 2	2025 2	2025 2	2025 2	2025 2	2025 2	2025 2	2025 2	2025 2	2025 2	2025 2	2025 2	2025 2	2025 2
20 3 26	19 22 11	21	19 18 23	19 17 57	19 17 15	16	16	19 15 40	19 15 16	19 11 7	19 6 37	19 3 56	2	-	23	22	21	20	13	12	∞	18 1 27	0	18 0 10	17 23 33	17 13 50	17 12 7	17 11 29	17 7 8	17 1 31	16 22 32	16 21 2	16 20 57	16 19 23	16 18 42	16 16 48	16 14 54	16 12 46	16 11 19	16 10 58	16 3 35	15 21 49	15 19 58	15 14 35	15 8 45	15 7 29	15 6 56	15 6 50
28	50	53	47	37	18	ı vı	25	36	14	29	5	5	20	57	29	39	43	38	∞	50	37	53	11	23	47	33	41	2	21	4	12	51	ω	35	16	36	13	35	52	44	49	19	38	ω	4	45	29	59
		15,8578			40,2905 15,6455 0,4	15,7882	15,9423	40,323 15,9932 0,4	40,1777 15,9382 0,6		40,1718 15,9417 0,8	40,1795 15,9358 0,5	15,9413	15,9495	15,944	15,9462	15,9417	15.9315	15,9513	15.9542	15,9338		15,9078		15,9273	15,9538	40,168 15,9543 0,5	40,174 15,9468 0,7	15,9333	40,172 15,9537 0,6	40,1807 15,9372 1,1	40,2198 15,9532 4,5	40,1742 15,9413 1,3	40,172 15,9477 0,9	40,2522 16,028 0,3	40,1835 15,9445 1,4	40,1793 15,9443 1,2	40,1767 15,9427 1,3	40,1777 15,9443 0,8	40,1735 15,9525 0,7	40,223 15,93 0,4	40,1863 15,9232 0,5	40,1878 15,9357 1,3	40,191 15,9395 1,2	40,3248 15,9893 0,2	40,1847 15,9363 0,6	40,3305 15,9922 0,6	40,3293 15,993 0,2
-0,1 4,63	•	0,7 2,05		-0 3 4 68			-0,1 7	-0,2 4	0,2 6,37	-0,2 7	0 6,02	0,1 6,65	0 6,51	-0,6 6,02	-0,1 8	-0,3 8	ω	0 7.44	-0.2 4.69	-0.1 6.82	0,2 6,53	-0,2 6,57	-0,4 2	-0,6 5	0 7	-0,3 5,79	0,1 4	-0,2 7,23	0,1 5,99		0,1 7,12	-0,1 8,7		-0,3 5,77	0,1 12,8	0 6,95	-0,1 6,29	-0,2 6,36	-0,2 6,17	-0,2 5	0,4 5,06	0,2 6,72	-0,2 8,84		-0,4 4,24	0,2 6,86	0 4,7	-0,3 4,53
0,2	0,2	0,4	0,4	0.4	4,0	0,4	0,9	0,3	0,7	0,6	8,0	0,5	0,7	1,1	0,5	0,7	0,7	0.6	<b>1</b>	0.9	0,6	0,5	0,6	2	0,3	0,7	75,1	1,1	0,9	8,0	0,9	8,0	1,2	8,0	0,4	1,1	1,2	1,2	8,0	1	0,3	0,5	0,9	0,9	0,2	0,5	0,5	0,2
0,06	0,01	0,18	0,14	80.0	20.0	0,07	0,1	0,04	0,16	0,09	0,1	0,16	0,14	0,03	0,12	0,05	0,12	0.13	0.05	0.19	0,16	0,09	0,1	0,13	0,1	0,04	0,05	0,07	0,16	0,07	0,16	0,12	0,09	0,07	0,06	0,09	0,11	0,09	0,06	0,07	0,1	0,13	0,09	0,15	0,01	0,12	0,1	0,03
ARME	MIGL	GRUE	GRUE	č	TROS	ORI	LAPE	ARME	SPINS	TR04	SCHR	TR04	ARMEN	TR09	ACER	TR04		SPIE		GRUE	OR!	SPINS	GRUE		TRAE	TR02	LAPE	LAPE	SCHR	CASE	SCHR	SIRI	MANE	SIRI	SCHR	TR04		TITE	TR04		SPIE	TR05		VIGE	ANZE	SIRI	ARME	TR05
	٠.	∞	0,0000877 EHN		0,000366 HHF		9		52			0,000187 EHN	615		ŭ	0,0021 EHE		0.0000855 EHN					0,000105 EHN		ω		U1		~		0,0000503 EHN	0,00000951 HHE	0,00036 HHN	0,0000118 HHE	0,000077 EHE	0,000887 EHN	NaN	0,00133 EHE	0,00282 EHE	NaN	0,00102 EHN	0,000152 HHN	NaN		0,000311 EHE	0,0000273 HHE	0,0000426 EHE	
LAPE	MIGL	GRUE	LAPE		TROS	ORI	LAPE	LAPE	MIGL	TR04	TR02	TR04	ARMEN	TR09	ACER	TR04		SARCL		GRUE	ORI	ACER	GRUE		TRAE	TR02	LAPE	LAPE	SCHR	CASE	SARCL	MONTM	MANE	SIRI	VIGGN	TR04		ПТЕ	TR04		LAPE	TR05		VIGE	ANZE	MIGL	ARME	CRAC
0,00000642 EHE		0,0000134 EHN	0,00000421 EHE	NaN	0,000000595 EUN			0,00000327 EHN	0,00000303 HHN	0,00000738 EHE	0,000000864 EHN	0,00000118 EHN	0,000000404 CHE	0,0000035 EHE	0,000000739 HNN	0,0000114 EHE	NaN	0.000000725 CHN	NaN	0,00000315 EHN	0,0000104 HHE	0,000000808 HHN	0,00000208 EHN	NaN	0,00000487 EHN	5		0,0000295 EHE	0,000000672 EHN	0,000000818 EHE	0,000000745 CHN	0,000000494 CHN	0,00000211 HHN	0,000000448 HHE	0,00000089 CHE	0,00000406 EHN	NaN	0,00000291 EHE	0,0000193 EHE	NaN	0,0000127 EHN	0,00000157 HHN	NaN		0,0000101 EHE	0,00000696 ННЕ	0,0000046 EHN	01

cms-ingv2025dszng DE 20	DE		b DE		: PE	DE	DE	DE	DE	DE	DE	DE	DE	DE	cms-ingv2025drdwt DE 20			cms-ingv2025dqpeg DE 20					cms-ingv2025dpwfn DE 20					cms-ingv2025dpnlez DI 20			DE			cms-ingvz0z5dogsr DE 20	2 5					DE	DE	DE !	DE	0.1000000000000000000000000000000000000
2025 2	2025 2	2025 2	2025 2	2025 2	2025 2	2025 2	2025 2	2025 2	2025 2	2025 2	2025 2	2025 2	2025 2	2025 2	2025 2	2025 2	2025 2	2025 2	2025 2	2025 2	2025 2	2025 2	2025 2	2025 2	2025 2	2025 2	2025 2	2025 2	2025 2	2025 2	2025 2	2025 2	2025 2	2025 2	7025 2	2025 2	2025 2	2025 2	2025 2	2025 2	2025 2	2025 2	2025 2	-
23 1	23 1	23 0	22 20	22 8	22 7	22 7	22 7			22 6		22 3		22 2	22 1	22 0	21 20	21 18	21 16	21 14	21 12	21 12	21 8	21 8	21 8	21 8	21 5	21 3	21 2	20 22	20 22			20 16				20 12	20 11			_	20 9	
40	17	17	5	45	58	21	6	6	16	4	44	48	14	6	96 F	7 6	28	10	27	17	58 i	29	36 16	25	18	17	17	2 5	3 13	43	14	58	45	41	3 6	18 18	33	19	31	50	17	30	24	
15	52	31	29	36	54	9		28	48	18	-	57	2		34	14	30	41	31	58		27	1 36		57	2	0	7 7	. 55	10	42	22	42	51		5 6		38	56	2	9	ο !	34	
40,1792 15,9337 0,7	40,1855 15,9318 0,7	40,181 15,934 0,6	40,1867 15,9423 0,7	40,176 15,9468 0,9	40,1725 15,9427 0,8	40,173 15,941 0,4	40,174 15,9425 0,7	40,1673 15,949 0,5	40,1797 15,9597 0,5	40,174 15,9388 0,6		40,1795 15,9403 0,6	15,9332	15,9463		40,17 15,946 0,6 40,173 15,946 0,6	8 15,9492	40,1832 15,934 0,4	15,951		15,9428	15.953	40,1753 15,9355 0,5 40.1733 15.9425 0.5	15,9453	40,1712 15,9505 1	15,944	15,9552	40,168 15,9558 0,5 40.2647 15.8655 0.5	2 15,7005	15,9313	40,1793 15,9388 0,5	15,7248	15,9227	40.1837 15.9442 0.8	15,9408		15,9603	40,3703 15,8285 0,7	40,1783 15,9318 0,5	15,9477	15,9513	15,942	40.1755 15.9458 0.4	
-0,4 6,84	-0,3 7,73	-0,4 8	-0,2 7,98	-0,1 6,21	0 6,09	0,2 6	-0,2 6,32	-0,4 4,62	-0,1 4,57	-0,2 6,31	0,4 8		0,3 6,43	`_	0 7	-0,3 5,9/	-0,1 5	0,1 5,07	-0,4 4,99	-0,5 5,06	-0,1 5,91	-0.2 4.27	0 5,24	'n	-0,3 5,35	0,2 6,53	-0,3 5,13	-0.5 3.46	w		-0,3 7		0,2 6,66	0 7.55	0,1 643		-0,1 3,33	-0,1 2,41	0,4 6,67	0 5,35			0.1 6.45	
0,7	0,6	0,5	0,6	0,9	0,7	0,4	8,0	8,0	0,7	8,0	0,7	0,6	0,5	0,9	0.6	0,7	0,7	0,5	0,7	₽.	1,1	0.6	0.5	0,6	1,4	8,0	0,8	0,4	0,9	0,6	0,5	0,5	0,6	0.7	1 (,	0,5	1,4	1	0,5	0,7	0,4	1,4	0.5	
0,16	0,17	0,16	0,13	0,1	0,1	0,09	0,1	0,05	0,06	0,08	0,09	0,16	0,14	0,1	0.13	0,09	0,04	0,11	0,03	0,06	0,13	0.05	0,08	0,07	0,08	0,08	0,06	0,03	0,1	0,12	0,12	0,06	0,19	0.12	0,10	0,13	0,09	0,13	0,14	0,06	0,03	0,08	0.06	
SCHR	TR04		TR02	TR04	TRAE	SPIE	TR03		TR02		TR12	SARCL	SCHR	SIRI	TRO4	SE SE	SPIE	TR04	TRAE		TR04	SARCL	TRO4		FORE	LAPE	TR09	TRO3	SLCN		MONTM		TR04	TRO1	DON'S	TRO4	SPINS	GRUE	SPIE		SPINS	GRUE	TR05	
0,0000191	0,000534	NaN	0,0000335	0,00137		0,0000967	0,000617	NaN	0,000222	NaN						16 15	0,0000315	0,000944	178	NaN		91	0,0000403		21	0,000277	9	0.000756	5 2		0,00000506 CHN	NaN		0.0000362			326		0,0000878		∞		64	-,
Æ	EHN		EE	EHN	EHN	EHN	EHN		표		EHN	CHN	EHN	Ŧ	Ŧ :	E H	Ŧ	E.	EHE		田 :	유 !	F S	!	EHN	EHN	T I		]		CHN		E			3 %	CHN	EHN	FH.		SHE	T I	Ξ	
ORI	TR04		TR02	TR04	TRAE	LAPE	TR03		GRUME		TR12	SARCL	LAPE	SIRI	TRO4	ACER R	MIGL	LAPE	TRAE		TR04	SARCL	TRO4		FORE	LAPE	ARMEN	TRO3	TRAE		MONTM		TR04	TRO1	DCN3	TR04	SPINS	GRUE	SPIE		VIGGN	GRUE	MIGL	
0,000000436 ННЕ	0,00000263 EHN	NaN	0,000000705 EHE	0,00000832 EHN	0,00000453 EHE	0,00000698 EHE	0,00000334 EHN	NaN	0,00000196 CHN	NaN	0,00000159 EHE	0,000000522 CHN	0,00000758 EHN	0,000000376 ННЕ	0.00000337 EHN	0,000000429 HHE	0,00000198 HHN	0,0000141 EHE	0,00000528 EHN	NaN	0,0000169 EHE	0.000000417 CHN	0,000000621 CHN	NaN	0,00000456 EHN	0,0000489 EHN	0,000000336 CHE	0.00000044 FHN	0,00000306 EHN	NaN	0,000000471 CHN	NaN	0,00000283 EHN	0.000000573 EHE	0,000000367 HHE	0,0000589 EHE		0,0000117 EHN	0,00000147 EHE	NaN	0,000000452 CHN	0,00000595 EHN	0.0000038 HHE	

			cms-ingv2025ebrsm DI	cms-ingv2025ebrou DI		cms-ingv2025ebevi DI	cms-ingv2025ebeuj DE	cms-ingv2025ebdwg DE	cms-ingv2025eaywe DI	cms-ingv2025eapwl DI		cms-ingv2025eafpt DE	cms-ingv2025eaaer DE	cms-ingv2025dzfni DE			cms-ingv2025dxcuq DE		cms-ingv2025dxays DE	cms-ingv2025dwtke DE	cms-ingv2025dwpxa DE	cms-ingv2025dwpwl DE	cms-ingv2025dwpff DI	cms-ingv2025dwpfn DI		cms-ingv2025dvnai DE	cms-ingv2025dvkqu DE		cms-ingv2025dvfyk DE						cms-ingv2025duyea DE	cms-ingv2025duxtv DE	cms-ingv2025dutuc DE	cms-ingv2025dusav DI	cms-ingv2025durwz DE	cms-ingv2025duagm DE	cms-ingv2025duoam DI							cms-ingv2025dtpiu DE	cms-ingv2025dtdat DE
2025 2	2025 2	2025 2	2025 2	2025 2	2025 2	2025 2	2025 2	2025 2	2025 2	2025 2	2025 2	2025 2	2025 2	2025 2	2025 2	2025 2	2025 2	2025 2	2025 2	2025 2	2025 2	2025 2	2025 2	2025 2	2025 2	2025 2	2025 2	2025 2	2025 2	2025 2	2025 2	2025 2	2025 2	2025 2	2025 2	2025 2	2025 2	2025 2	2025 2	2025 2	2025 2	2025 2	2025 2	2025 2	2025 2	2025 2	2025 2	2025 2	2025 2
28 3 30	28 3 25	27 21 55	27 19 55	27 19 51	27 13 40	27 13 25	27 13 24	27 12 55	27 10 24	27 5 52	27 3 15	27 0 40	26 21 56	26 11 30	U	25 9 56	25 7 51	25 7 47	25 6 55	25 3 6	25 1 20	25 1 19	25 1 0	-	24 15 15	10	24 9 33	24 7 11	24 7 11	24 7 10	24 6 19	24 5 55	24 5 45	24 5 9	24 3 15	24 3 3	24 1 2	0	0	23 23 15	23 22 7	23 22 3		23 18 37	16	23 13 52	23 11 7	23 9 39	23 3 27
ω	16	37	50	28	23	26	0	50	16	4	57	54	31	ъ	11	10	44	59	52	46	32	47	15	15	10	45	46	14	9	57	0	2	31	17	9	16	21	40	7	33	55	54	16	44	46	9	36	56	9
15,9343	15,9317	15,9405	40,4468 15,6587 0,4	40,3452 15,7828 0,8	40,3447 16,0078 0,7	40,3163 15,983 0,2	40,1782 15,9313 0,6	40,2492 15,8742 0,2	40,4065 15,6993 0,3	40,3033 15,9735 0,2	40,3322 15,9945 0,3	40,1785 15,9442 0,4	40,1793 15,9318 0,5	40,215 15,8967 0,3	15,9357	15,9455		15,9405	15,9633	15,9363	15,945	7 15,9355	15,9062			15,9482	∞		15,9412	15,939	15,8567	15,938	15,9348	15,9337	15,9402	15,9275	15,9493	15.9157	15,9288		10	40,329 15,994 0,4	40,3178 15,985 0,2	40,3648 15,8288 0,2	40,1858 15,943 0,7	40,3285 15,9922 0,3	40,3173 15,9763 0,2	40,1787 15,9358 0,4	40,175 15,9395 0,5
-0,1 6,26	-0,3 7,27				-0,6 4,67	2 4,78	-0,2 5,91	0,1 4,23	0,5 1	0,4 11,3	-0,5 4,77	-0,3 5,46	0,3 6,48	0,6 3,22		-0,2 7,73				-0,1 6,47		-0,3 7,04		-0,4 3,91								-0,1 6,76										_	0,6 4,51			-0,5 5,04	2 4,66	-0,2 6,71	-0,4 6,21
0,4	0,7	0,5	0,5	0,6	0,7	0,3	0,6	0,4	0,4	0,3	0,3	0,5	0,5	0,4	0,4	8,0	8,0	0,9	0,9	0,6	0,6	0,7	0,2	0,2	1,2	0,5	0,4	0,7	0,5	0,5	1,1	0,5	0,6	0,6	0,4	0,5	0,6	0.8	0,4	1.1	0,4	0,4	0,4	0,4	0,6	0,3	0,3	0,5	0,6
0,14	0,14	0,15	0,17	0,09	0,13	0,22	0,14	0,12	0,16	0,12	0,07	0,12	0,17	0,18	0,11	0,14	0,11	0,18	0,1	0.16	0,12	0,18	0,13	0,14	0,15	0,06	0,1	0,12	0,1	0,12	0,11	0,14	0,17	0,16	0,12	0,16	0,14	0.18	0,15	0.17	0,1	0,12	0,19	0,11	0,11	0,11	0,23	0,15	0,12
PGN3	TR05	TR01	STN3	SPINS	ORI	MOMN			GRUME	TR04	TR09	TR06	SPIE	SARCL	TR06		MONTM	ANZE	ORI	TR09					GRUME					TR04	TRAE	TR04	TR10	MOLE	TR04	TR07		MANE	MANE	GRUME		TR04	MOMN	MCEL	MTSN	SALB	MOMN	CASE	TR12
7	_	05	0,00026	0,0000136	0,000562	xml-err I	NaN	NaN	0,000269	0,00000234 HNE		∞	0,	w	027	NaN	0,00000567 CHN	882	9	112	NaN	NaN	NaN		0145	NaN	NaN	NaN	NaN					∞		)376				0.00000473 CHN			xml-err I	0,0000459 ННЕ	0,00000354 HHE	0,00000265 HHN	xml-err I	0,000123	0,000313
H	NHT	EHN	띪	CHN	Ŧ	Ĭ			CHN	Η̈́	EE	EHN	EHN	CHN	E		H	Ä	Ŧ	田					CHN					ΞZ	표	ΨZ	田 :	E S	EZ.	田田	i	푺	H	Y		EHN	NH	盖	盖	불	H	띪	EHN
CRAC	TR05	TR09	STN3	SPINS	ORI	MOMN			GRUME	TR04	TR09	TR06	GRUE	SARCL	TR06		MONTM	MONTM	ORI	TR09					GRUME					TRO4	TRAE	TRO4	TR10	SARCL	TR04	TR07		MANE	MANE	MARCO		TR04	MOMN	MCEL	MTSN	SALB	MOMN	CASE	TR12
			0,00000967 EHN	0,00000109 CHN	0,00000662 HHE	xml-err HHE	NaN	NaN	0,0000048 CHN	0,000000035 HNN	0,00000761 EHE	0,00000152 EHN	0,00000164 EHN	0,0000213 CHE	0,00000182 EHE	NaN	0,000000286 CHE	0,00000036 CHE		0,00000685 EHE	NaN	NaN	NaN	NaN	0,00000174 CHE	NaN	NaN	NaN	NaN							0,00000283 EHE		0.0000177 HHF	0	0.0000003 HHE	NaN	0,00000478 EHN	xml-err HHN	0,000000742 HHE	0,000000224 HHE	0,000000147 HHE	xml-err HHE	0,000000515 EHE	0,00000194 EHN

cms-ingvzuzsetyom DE	cms-ingv2025etoco DI	cms-ingv2025etoap DE		cms-ingv2025espfu DE	cms-ingv2025esogu DE	cms-ingv2025esnbr DE	cms-ingv2025esbiv DI		cms-ingv2025erpnt DE	cms-ingv2025eropx DE		cms-ingv2025eqsns DE	cms-ingv2025eqifo DE	cms-ingv2025eqhuh DE					cms-ingv2025eozqo DE	cms-ingv2025eorxr DE		cms-ingv2025eoldx DE		cms-ingv2025enztx DE	cms-ingv2025enxrs DI					cms-ingv2025ekqxq DE	<			cms-ingv2025ejetp DE	cms-ingv2025ehmgz DI	cms-ingv2025ehgne DE	cms-ingv2025ehdeb DE	cms-ingv2025ehbkp DE	cms-ingv2025egvbc DE	cms-ingv2025egpkg DE	cms-ingv2025egpha DE	cms-ingv2025egpbg DE	cms-ingv2025efvww DE	cms-ingv2025efllw DE	cms-ingv2025efgyk DE	cms-ingv2025edvfz DE	cms-ingv2025edogr DE	cms-ingv2025ecuum DI	cms-ingv2025ecryc DI
2025 3	2025 3	2025 3	2025 3	2025 3	2025 3	2025 3	2025 3	2025 3	2025 3	2025 3	2025 3	2025 3	2025 3	2025 3	2025 3	2025 3	2025 3	2025 3	2025 3	2025 3	2025 3	2025 3	2025 3	2025 3	2025 3	2025 3	2025 3	2025 3	2025 3	2025 3	2025 3	2025 3	2025 3	2025 3	2025 3	2025 3	2025 3	2025 3	2025 3	2025 3	2025 3	2025 3	2025 3	2025 3	2025 3	2025 2	2025 2	2025 2	2025 2
9 19 4/	9 14 30	9 14 27	9 11 59	9 1 56	9 1 27	9 0 50	8 18 55	8 15 31	8 12 57	8 12 29	8 8 57	8 1 20	7 20 7	7 19 54	7 16 59	7 11 53	7 9 15	7 6 33	7 2 39	6 22 45	6 19 37	6 19 20	6 15 57	6 13 35	6 12 32	6 0 56	5 9 41	5 2 5	4 21 55	4 17 43	4 16 40	4 6 6	3 23 57	3 22 26	2 23 58	2 21 4		2 18 29	2 15 16	2 12 25	2 12 21	2 12 15	2 2 34	1 21 18	1 19 1	28 23 58	28 20 27	28 10 37	28 9 10
`	1 9	50	35	11	4	50	28	30	30	45	56	52	50	55	16	54	13	58	52	42	55	52	13	49	37	9	4	31	53	24	45	51	30	59	47	7	37	38	43	34	46	ω	ъ	10	15	27	6	0	28
40,1815 15,92/8 0,6	15,9023	40,2012 15,9342 1,4	40,1933 15,9418 0,6	40,1865 15,9362 0,8	40,1985 16,0507 0,4	40,1753 15,9433 0,8	40,4488 15,7993 0,7	40,1773 15,9408 1,3	40,185 15,9423 0,6	40,194 15,94 0,8	40,3705 15,8965 1,1	40,1802 15,9385 0,5	40,1828 15,9305 0,5	40,5035 15,6258 0,7	40,2378 15,8598 2,4	40,1795 15,9497 1,4	40,4275 15,7027 0,5	15,9288	40,1782 15,957 0,7	40,182 15,9433 0,6	40,3285 15,986 0,3	40,1765 15,9465 0,4	40,2205 16,0193 0,3	40,1718 15,9523 6,3	40,3767 15,8328 0,3	40,2435 15,9143 0,3	40,1878 15,9367 0,6	15,951	-	15,9435	15,9548	15,995	15,9432				15,9725	40,1803 15,94 0,7	40,1802 15,9402 0,4	40,1785 15,9435 1,4		40,1832 15,9415 0,5	40,172 15,9465 0,3	40,1728 15,9497 0,9	40,166 15,95 0,3	40,331 15,7118 0,5	40,1895 15,9203 0,4	40,4133 15,7137 0,3	40,518 15,7943 0,4
0 6,53	0,3 3	-0,5 5,31	-0,1 7,88	-0,3 5,95	-0,4 5,2	-0,3 7,39	0 5,31	-0,1 6,71	0,1 7,41	-0,1 7,57	0 8	-0,1 6,88	0,2 5,8	0,4 10,69	-0,5 5		0,7 4,49		-0,5 4,78	-0,1 6,98	-0,4 5	-0,3 6,34	-0,1 6	0,2 5,3628	0,5 7,45		0,5 7,6	-0,3 6,06	-0,6 3,08	-0,2 8		-0,2 4,65		~	0,1 2,41			0,2 6,7	0,1 6,42	-0,5 6,75	-0,2 7,43	0 7,02		-0,7 5,3	-0,3 4,43		-0,4 3,95	0,4 0,9	0,5 2
a'n	0,5	1,4	0,4	8,0	0,4	0,7	1,4	1,6	0,6	0,6	1,5	0,7	0,5	8,0	3,3	1,6	1	0,7	1,1	0,5	0,2	0,5	0,4	11,9089966	0,6	0,5	0,6	1,1	0,3	1,4	1,3	0,5	0,4	0,7	0,3	0,7	0,7	0,7	0,4	1	0,5	0,5	0,5	0,9	0,5	0,5	0,3	0,4	8,0
61,0	0,19	0,21	0,1	0,17	0,08	0,09	0,31	0,15	0,16	0,16	0,1	0,11	0,17	0,24	0,28	0,07	0,15	0,12	0,09	0,09	0,03	0,07	0,1	0,092	0,15	0,08	0,17	0,1	0,03	0,13	0,08	0,09	0,08	0,08	0,1	0,12	0,08	0,16	0,11	0,09	0,11	0,12	0,04	0,09	0,09	0,12	0,12	0,18	0,17
	GRUE	SIRI	SPIE		TR03		TR02	SCHR	SIRI	SIRI	ARMEN		SARCL	BRIN	PADE	ANZE	ANZE		VIGGN	SARCL		SPIE		0,0921 SIRI	SIRI	CRAC	GRUE	TR08	TR06	ACER	TRAE	ARME		SPINS	MANE	TR04	STN3	SPIE	CASE	STN3	ARMEN	SPIE	TR05	TR07	MIGL	TRAE			ABRE
NaN	0305	ŭ	0,0000884 EHN	NaN	0,000742	NaN	0,0000513	0,0000254	0,00112	0,000019	0,00000668 CHN	NaN	0,0000647	0,000204	0,0000922	_	0,00172		0,0000158	0,0000183 CHE	NaN	0,0000278	NaN		0,000579	0,00000769 EHN	0,000556	316	0,0124	$\infty$	7	)211		_				~			0,0000058	~		0,0000293	0,0000113	00722	NaN	NaN	0,0022
	EHN	Η̈́	EHN		EHN		Ħ	Ħ	NN	ΗĦ	CHN		CHN	EHN	HNE	EHN	EHN		CHE	SHE		Ŧ		NN	NN	EHN	EHN	E	EHN	Η̈́	EE	E.		CHN	H	FH.	E	ETN	EHN	EH	CHN	EHN	Ŧ	EHE	NHH	EH			Ħ
	GRUE	ARMEN	SPIE		TR03		TR02	MIGL	SIRI	SIRI	ARMEN		SARCL	STN3	PADE	ANZE	ANZE		VIGGN	MCEL		SARCL		SIRI	SIRI	ACER	GRUE	TR08	TR06	ACER	TRAE	ARME		SPINS	MANE	TR04	STN3	LAPE	VIGGN	STN3	ARMEN	SPINS	MONTM	ACER	MIGL	TRAE			ABRE
Nan	0,00000117 EHN	0,000000254 CHE	0,000000509 EHE	NaN	0,00000395 EHN	NaN	0,000000883 EHE	0,00000166 HHE	0,00000392 HNE	0,000000514 HHE	0,000000338 CHN	NaN	0,00000146 CHN	0,00000465 EHE	0,000000701 HNE	0,0000152 EHN	0,0000135 EHE	NaN	0,000000289 CHN	0,000000304 HHN	NaN	0,000000441 CHN	NaN	0,00000372 HNE	0,00000314 HNE	0,000000548 HHN	0,00000498 EHN		0,0000952 EHN	0,000000726 ННЕ	0,00000706 EHN	0,00000447 EHN			0,0000253 HHN	0,00000345 EHN	0,00000273 EHE	0,00000954 EHE	0,000000758 CHN	0,0000204 EHN	0,000000536 CHN	0,000000632 CHE	0,000000569 CHE	0,000000609 HHE	0,00000236 HHN	0,00000353 EHN	NaN	NaN	0,0000372 EHE

_			0	cms-ingv2025fxitl DE	cms-ingv2025fxinz DI	cms-ingv2025fxazz DI	cms-ingv2025fwibw DE	cms-ingv2025fvyxz DE	cms-ingv2025fvrmc DE	cms-ingv2025fuyzl DI	cms-ingv2025fuaqw DI	cms-ingv2025ftsry DE	cms-ingv2025ftilz DE	cms-ingv2025fteyj DE	cms-ingv2025fsohm DE	cms-ingv2025fslmg DI	cms-ingv2025frplt DE	cms-ingv2025fqpde DE	cms-ingv2025fqoib DE		cms-ingv2025fponf DI	cms-ingv2025fmhdn DE	cms-ingv2025fmfge DE	cms-ingv2025flrti DE	cms-ingv2025flqlm DE	cms-ingv2025fllqw DI	cms-ingv2025fkxfj DI			_	cms-ingv2025fiuxy DE				cms-ingv2025ffqxb DE		cms-ingv2025feveh DI	cms-ingv2025fegti DE	cms-ingv2025fbviu DE	cms-ingv2025fbqhp DI	cms-ingv2025fauiy DE	cms-ingv2025fantb DI	cms-ingv2025fablu DE	cms-ingv2025eysei DE	cms-ingv2025eyraq DI	cms-ingv2025exikf DE			cms-ingv2025euojl DI
2025 3	2025 3	2025 3	2025 3	2025 3	2025 3	2025 3	2025 3	2025 3	2025 3	2025 3	2025 3	2025 3	2025 3	2025 3	2025 3	2025 3	2025 3	2025 3	2025 3	2025 3	2025 3	2025 3	2025 3	2025 3	2025 3	2025 3	2025 3	2025 3	2025 3	2025 3	2025 3	2025 3	2025 3	2025 3	2025 3	2025 3	2025 3	2025 3	2025 3	2025 3	2025 3	2025 3	2025 3	2025 3	2025 3	2025 3	2025 3	2025 3	2025 3
26 8		26 2			25 21	25 17	25 8	25 3	24 23	24 14	24 2	23 22	23 17	23 15	23 6	23 5	22 18	22 5	22 4	21 17	21 15	19 20	19 19	19 12	19 12	19 9	19 2	18 23	18 16	18 6	17 22	17 1	16 22	16 22	16 5	16 2	15 18	15 11	14 3	14 0	13 13	13 10	13 4	12 10	12 9	11 16	11 0	10 9	10 3
10	44	30	24	47	41	52	19	41	56	35	18	17	7	20	55	30	22	4	40	4	38	30	33	44	5	39	22	46	30	54	56	19	54	47	30	45	32	15	13	40	35	15	2	13	38	9	56	15	46
24	44	30	7	41	21	53	28	54	0	37	18	34	2	14	40	17	57	59	20	52	24	55	26	31	14	42	2	58	55	12	45	ū	4	7	31	2	13	7	28	33	21	11	50	23	44	25	22	1	11
	15,7972	15,9482	15,9347	40,1685 15,9487 0,5	40,4665 15,782 0,4	40,3315 15,7807 0,9	40,1918 15,9408 0,6	40,5585 15,8333 0,6	40,5738 15,7983 2,5	40,2743 16,0067 0,6	40,2193 15,9725 0,2	40,186 15,9492 1	40,1637 15,9548 0,2	15,9407	40,1715 15,943 0,6		40,537 15,6832 0,9	15,9398	40,1798 15,9472 0,8	40,3543 15,8392 0,2		40,1777 15,9448 0,6	40,1762 15,9422 0,9	40,2215 15,9402 0,3	40,1795 15,9475 0,7	40,4482 15,6832 1,1	40,2838 15,99 0,5	40,2675 15,915 0,1	5 15,9223		40,4497 15,9238 0,7	40,3553 15,7422 0,4	40,2778 15,8595 1,1	40,2707 15,8403 0,2	40,1882 15,9288 0,7	15,9285	15,8693	40,1798 15,9312 1,1	40,1775 15,9402 0,5	40,2197 15,9903 0,3	40,174 15,9373 1	40,4388 15,6747 1,6	40,1872 15,9308 0,4	40,1935 15,9597 0,7	40,4455 15,6895 1,9	40,1667 15,9817 0,4	40,2092 15,9502 1,4	40,184 15,9335 0,7	40,2052 16 0,2
1	0 6,33	-0,6 4,71		-0,6	1,2	-0,4	-0,4 7,55	0,3 11,28	-0,4 5	-0,5 2,71	-0,5 7,33	-0,3 7,47	-0,5 3,08		-0,1	-0,5	0,4	0,1	-0,3	0,4	_			0,1		0,6 9,13	0 12,52	-0,3 4,4	0,5 3,77			0,8 9,28		0,9 3,43	0,5 7	0,1 6,6	-0,3 4		0,2	0,3 2,39	0 1,28	0,6 7,45	0,2 3,63	-0,3 7,04	0,6 7,45	-0,2 1	0 9,64	0,1 7,58	-0,6 0,7
0,3	0,4	0,5	0,4	8,0	0,9	1,1	0,4	1,2	1,9	1,2	0,2	1,1	8,0	0,4	0,6	1,1	0,9	0,7	0,9	0,7	8,0	0,7	1	0,3	0,6	1,1	0,4	0,1	0,2	0,2	0,5	0,6	1,3	0,3	0,5	0,7	0,4	1,2	0,7	0,2	2,3	1,7	0,4	0,5	1,8	86,5	1,1	0,7	0,2
0,06	0,12	0,09	0,13	0,07	0,34	0,16	0,04	0,17	0,46	0,07	0,05	0,06	0,03	0,08	0,12	0,06	0,13	0,12	0,09	0,1	0,12	0,11	0,08	0,1	0,05	0,2	0,09	0,01	0,12	0,04	0,08	0,2	0,15	0,15	0,16	0,15	0,06	0,15	0,11	0,09	0,13	0,29	0,09	0,05	0,32	0,06	0,13	0,1	0,1
MOMN	MOMN	TR07	TR06	ARME	ABRE	CRAC	TR06	PGN3	PTRP		SPINS	SARCL		STN3	TR11		TITE	MCEL	TR06	TR04	TR04	SPIE	TITE	MARCO		TRO3	TRO3	MARE	GRUE		TR12	MARE	FORE	FORE	SPINS	STN3	FORE	LAPE	SIRI	SPIE	TR12	SIRI	SARCL	SIRI	STN3		STN3		SPIE
xml-err	xml-err	0,0000278	0,0000309	0,000403	0,00622	0,00000829 EHE	0,00486	0,000376	0,0000666	NaN	0,0000325	0,0000189 CHE	NaN	0,000454	0,0000414	NaN	0,000457	0,00000805 нне	0,0000291	0,000413	0,000248	0,0000221	0,000421	0,000525	NaN	0,00248	0,000703	0,00199	0,000426	NaN	0,0000318	0,000753	0,000042	0,00159	0,000149	0,000698	0,00019	0,00000193 HNN	0,000018	0,0032	0,000183	0,000862	0,00015	0,000385	0,000415	NaN	0,00036	NaN	0,000209
H				NN	Ŧ	9 EHE	E	Ħ	NHH		CHN	SHE			뜌		Ξ̈́	5 HHE	黑	Ë	Ξ̈́		품	NH		EHN	Ŧ	EHN	EHN			EHN	Æ	F	CHN	NNH	FN	3 HNN	NHH	EHN	Ŧ	NN	CHN	NN	Æ		HNE		EHN
ARME	MOMN	TR06	PTRP	ARME	ABRE	CRAC	TR06	TR06	PTRP		SPINS	PTRP		STN3	TR04		STN3	MCEL	TR06	MCEL	MCEL	SPIE	CRAC	LAPE		TR03	ARME	MARE	LAPE		TR06	MARE	ARMEN	FORE	SARCL	STN3	ACER	LAPE	CRAC	SPIE	TR12	SIRI	LAPE	SIRI	STN3		STN3		SPIE
696		0,0000021 EHE		01	0,0000917 EHN	0,00000214 EHN	0,000033 EHN	0,0000031 EHN	0,00000267 HHE	NaN	0,000000996 CHE	0,00000195 HHE	NaN		0,00000316 EHN	NaN	0,0000401 EHN	0,000000559 HHN	0,000000569 EHN	0,00000354 HHN	0,00000225 HHN	0,000000357 EHE	0,00000117 EHE	0,00000737 EHE	NaN	0,000014 EHN	0,00000322 EHE		0,0000237 EHE	NaN	0,000000939 EHN	0,00000755 EHN	0,000000927 CHE	0,0000265 EHE	0,00000154 CHE	0,00000525 HNN	0,00000201 HHE	0,000000032 HNE	0,00000144 EHE	0,0000118 EHN	0,00000175 EHE	0,00000221 HNE	0,00000918 EHN	0,00000129 HNE	0,000014 EHN	NaN	0,00000289 HNE	NaN	0,000000791 EHN

		1		2	-1-1-	1	-1 -1					1		0
	TR12	E Z	0.000207	TR12	0.05	0.7	-0.4 6.48	15.9573 0.8	7	43	55 5	2 1	2025 4	cms-ingv2025gmdai DE
	[ :		NaN C		0 04	0,0	~	7		40	~ 6	۱ د	2025 4	
	I APF	HHN	vml-err HHN	NON N	0,1	03	0,4 2,21	15,9612 U,6 15,991 0.3	40,1/05	40	5 36	<b>&gt;</b>	2025 4	cms-ingv2025gkeuj DE
	GUPE	HNE	0,000694	GUPE	0,08	9,0				21	21 23	. 1	2025 4	
	GUPE	HNE	0,000694	GUPE	0,14	9,0	-0,1 6,22	15,9413 1,1	40,1793	21	21 23	1	2025 4	
	SLCN	HH	0,0003	SLCN	0,16	1,4	-0,3 7,9		40,199	48	21 15	1	2025 4	cms-ingv2025gkchn DE
	ARME	EHN	0,00043	GRUE	0,08	0,3	0,1 4,14	15,9933 0,3	40,3208	30	19 54	1	2025 4	
	GRUE	EHN	0,000513	MARE	0,04	0,4	_	-	40,3347	∞		1	2025 4	
	PADH	HNE	0,00123	SLCN	0,19	0,3	0,7 3,94	15,9862 0,3	40,3193	51	19 33	1	2025 4	
	SARCL	SHE	0,000148	SPINS	0,12	9,0	0,2 6,67			56	7 33	1	2025 4	
	SPINS	Ŧ	0,0000397 EHE	TR07	0,14	0,7	0,1 6,06	15,9422 0,6	40,1828	49	20 49	31	2025 3	-
	SPINS	CHN	0,0000317 CHN	SPINS	0,13	9,0	-0,1 6,51		40,1772 15,9382	23	20 3	31	2025 3	
	MTSN	NHH	0,00000394 HHN	MTSN	0,05	0,7	-0,4 7,71	15,9437 0,9	40,1837	50	19 56	31	2025 3	
			NaN		0,16	9,0	0,4 7,06	15,9335 0,6	40,18	1	19 40	31	2025 3	
	PTRP	CHN	0,00000661 CHN	ARMEN	0,06	0,7		15,9877 0,4	40,2053	39	3	31	2025 3	_
	CRAC	Ŧ	0,0000072 EHE	CRAC	0,12	0,7	-0,4 7,16	15,943 0,7	40,1832	37	4 37	31 .	2025 3	cms-ingv2025ggzvv DE
	TR06	HNE	0,000128	TR06	0,09	0,4	-0,3 8,95	15,9495 0,4	40,2487	48	3 28	31	2025 3	cms-ingv2025ggxos DI
	SIRI	ΗĦ	0,0000171	SIRI	0,11	2,0	-0,1 5,79	15,9383 0,6	40,1762	21	3 18	31	2025 3	cms-ingv2025ggxfv DE
	MARCO	NHH	0,0000104	SRN3	0,03	0,2	-0,5 4	15,991 0,3	40,3307	54	2 54	31	2025 3	cms-ingv2025ggwls DI
	GUPE	HNE	0,000958	GUPE	0,09	0,6	-0,2 6,87	15,949 0,9	40,1932 15,949	48	0 56	31	2025 3	cms-ingv2025ggsok DE
			NaN		0,06	1,5	-0,5 4,87	15,9875 1,5	40,339	42	22 8	30	2025 3	cms-ingv2025ggnae DI
	SLCN	Ŧ	0,000058	SLCN	0,1	0,7	-0,2 6,25	15,9537 1	40,2297 15,9537	0	11 42	30	2025 3	
			NaN		0,03	0,4	-0,3 4,67		40,1665 15,9503	27	6 43	30	2025 3	
	TR02	Ŧ	0,0000261	TR02	0,19	ω	-0,5 13	2,6	40,3147 15,6935	52	1 50	30	2025 3	
	TR11	EHN	0,0000347	TR11	0,08	0,7		0,5	40,1685 15,9487	∞	22 54	29	2025 3	cms-ingv2025geszv DE
	MOMN	ΗE	xml-err	MOMN	0,19	0,4	0,5 4,14	0,3	40,3195 15,9873	34		29	2025 3	cms-ingv2025geabu DI
	LAPE	Ħ	xml-err	MOMN	0,06	0,3	-0,1 4,69		40,3268 15,9923	16	12 38	29	2025 3	cms-ingv2025gdyrm DI
	TR08	ΕĦ	0,00302	TR08	0,1	0,4		0,4	40,1695 15,9435	39	5 15	29	2025 3	
	LAPE	ΞN	0,00013	ABRE	0,11	0,4	0,2 9,75	0,4	40,2765 15,7797	37	3	29	2025 3	
	MOLE	EHN	0,000123	MOLE	0,11	0,4	-0,4 2,35		40,249	ω	0 51	29	2025 3	cms-ingv2025gdbit DE
	TRAE	EHN	0,000292	FORE	0,18	0,4	0,7 9,37	15,782 0,4	40,2718	27	23 7	28	2025 3	cms-ingv2025gcxxw DE
	TR02	Ŧ	0,0000663	TR09	0,16	0,7	-0,3 11,48	15,7748 1	40,2783	53	23 6	28	2025 3	
	SIRI	Ŧ	xml-err	MOMN	0,08	0,3	-0,6 4,91		40,2103 15,9418	16	22 36	28	2025 3	
	VIGGN	SE	0,0000154	VIGGN	0,11	0,5	-0,8 5,09	15,94 0,8	40,2105	2	22 33	28	2025 3	cms-ingv2025gcwuj DE
	TR09	EHN	0,0000418	TR06	0,08	0,4	-0,9 4,27	15,995 0,5	40,3322	22	22 10	28	2025 3	cms-ingv2025gcway DI
0,00000247 HNN	ABRE	HNE	0,000522	ABRE	0,16	0,6	-0,1 6,3	15,937 0,5	40,1762 15,937	17	19 19	28	2025 3	
			NaN		0,08	0,6	-0,5 6,24	15,9487 0,6	40,1792 15,9487	57	18 47	28	2025 3	cms-ingv2025gcpjg DE
0,0000212 EHN	LAPE	NHH	0,00562	MANE	0,05	0,2	-0,2 4,31	15,9928 0,3	40,3317 15,9928	33	11 15	28	2025 3	cms-ingv2025gcale DI
	TR04	품	0,0000779 EHE	TR04	0,12	0,5	-0,4 5,48	15,8378 0,3	40,3497	28	5	28	2025 3	cms-ingv2025gbmgf DI
	MARCO	H	0,0000719	MANE	0,08	0,5	-0,3 5,4	15,9508 0,4	40,1693 15,9508	51	3 45	28	2025 3	cms-ingv2025gbloz DE
	TR12	Æ	0,000301	TR12	0,08	0,5	-0,2 5,94	15,9478 0,4	40,176	∞	3 33	28	2025 3	cms-ingv2025gblej DE
			NaN		0,09	1,1	-0,3 8,41	15,6752 0,6	40,329	42	22 28	26	2025 3	cms-ingv2025fzfpq DE
	MONTM	CHN	0,00000564 CHN	MONTM	0,09	1,1	-0,1 11	15,6707 0,7	40,3328	42	22 28	26	2025 3	cms-ingv2025fzfpy DE
	VIGGN	EHN	0,0000514 EHN	MOLE	0,15	9,0	-0,6 4,15	15,8943 0,5	40,2405	59	21 3	26	2025 3	_
	MONTM	Ŧ	0,0000318 ННЕ	SIRI	0,15	0,5	0 6,42	15,9342 0,5	40,1797	ω	16 58	26	2025 3	cms-ingv2025fyusi DE
	FORE	EHN	0,000222 EHN	FORE	0,08	0,3	-0,2 3,83	15,8425 0,3	40,2793	22	15 4	26	2025 3	cms-ingv2025fyqyu DI
	CRAC	HA	0,00000759 EHN	CRAC	0,19	2,8	-0,6 6,44	15,9537 2,2	40,18/3	ú		į	1010	CITIS III 6 V CO CO I Y J HILL OF
								•	2,010	S S	11 22	26	2025 3	

		cms-ingv2025gzcrq DE	cms-ingv2025gywsz DE	cms-ingv2025gyrmv DE	cms-ingv2025gymde DE	cms-ingv2025gyjjj DE	cms-ingv2025gyimg DE	cms-ingv2025gyfwr DE	cms-ingv2025gxrot DE	cms-ingv2025gxqqy DE		cms-ingv2025gxogu DI	cms-ingv2025gxnqy DE	cms-ingv2025gwudj DE	cms-ingv2025gwqml DI	cms-ingv2025gwpuv DE	cms-ingv2025gvzkv DE	cms-ingv2025gvimk DE	cms-ingv2025gvglt DE	cms-ingv2025gvetf DE	cms-ingv2025gtnsx DE	cms-ingv2025gtlqe DI	cms-ingv2025gtiad DE	cms-ingv2025gteyx DI	cms-ingv2025gtets DE	cms-ingv2025gtcnf DI	cms-ingv2025gtbll DE	cms-ingv2025gstck DI		7	cms-ingv2025grtzi DI	cms-ingv2025grodv DE	cms-ingv2025grnqa DE	cms-ingv2025grndf DI	cms-ingv2025gqxiw DE	cms-ingv2025gqugw DE	cms-ingv2025gqjgw DI	cms-ingv2025gpyuz DI	cms-ingv2025gpxle DE	cms-ingv2025gpwhk DI	cms-ingv2025gpuwp DI	cms-ingv2025gpgeu DE	cms-ingv2025gospy DI	cms-ingv2025gogto DI	cms-ingv2025gnpwa DI	cms-ingv2025gnouk DI	cms-ingv2025gnfqd DI	cms-ingv2025gmyde DI	cms-ingv2025gmhsz DE
2025 4	2025 4	2025 4	2025 4	2025 4	2025 4	2025 4	2025 4	2025 4	2025 4	2025 4	2025 4	2025 4	2025 4	2025 4	2025 4	2025 4	2025 4	2025 4	2025 4	2025 4	2025 4	2025 4	2025 4	2025 4	2025 4	2025 4	2025 4	2025 4	2025 4	2025 4	2025 4	2025 4	2025 4	2025 4	2025 4	2025 4	2025 4	2025 4	2025 4	2025 4	2025 4	2025 4	2025 4	2025 4	2025 4	2025 4	2025 4	2025 4	2025 4
	10 6	10 2	9 23	9 20	9 18	9 16	9 16	9 14	9 7	9 7	9 6	9 6	9 5	8 19	8 18	8 17	8 9	8 0	7 23	7 22	7 1	7 0	6 22	6 20	6 20	6 19	6 19	6 14	6 11	6 2	6 2	5 23	5 22	5 22	5 14	5 13	5 7	5 2	5 1	5 1	5 0	4 16	4 10	4 4	3 19	3 18	3 14	3 10	3 2
0	58	27	27	48	U	41	15	56	42	14	4	2	4	52	1	41	24	51	49	57	14	10	20	48	42	34	2	49	40	4	7	11	55	40	41	∞	35	18	36	1	19	53	2	ω	30	58	20	33	16
34	33	30	13	29	41	58	4	20	42	57	27	34	6	25	19	17	39	15	52	55	28	37	56	41	35	24	7	<b>L</b>	48	45	45	12	7	10	47	34	9	28	29	48	10	52	33	<b>∞</b>	46	29	45	35	40
	2	40,181 15,936 1	40,1837 15,9333 0,9	15,9332	40,1677 15,9548 1,1	40,1757 15,954 1	40,1762 15,94 0,7	40,1743 15,9525 1,2	40,1858 15,942 1,1	40,1782 15,9312 0,6	40,4237 15,6592 0,6	40,436 15,6438 0,9	40,1772 15,9392 0,6	40,3828 15,6265 0,9		15,9508	40,1798 15,9378 0,6	40,1732 15,9482 0,4	40,2113 15,9358 0,7	40,1785 15,9608 0,7	40,1833 15,938 0,7	40,247 15,9008 0,3	40,1838 15,9593 1	40,3588 15,7707 0,5	40,1795 15,9302 0,5	40,2692 16,0152 0,3		40,2427 16,0098 0,2	40,3293 15,9912 0,2	40,1692 15,9623 0,6	15,913	40,1823 15,9452 0,6	ω	40,361 15,832 0,4	••	40,1707 15,9435 0,5	15,9103	40,3057 15,8238 0,2	40,51 15,6485 1	40,3285 15,9923 0,4	40,3202 15,9903 0,2	40,2043 15,9642 2	40,415 15,663 1,4	40,3208 15,9955 0,4		40,2342 15,9927 0,3	40,3225 15,9915 0,3	40,437 15,6963 0,4	40,1745 15,9462 0,9
		-0,7 3,81	-0,4 7	-0,7 6,25	-0,6 3,41	-0,3 5	-0,1 5,39	-0,3 5	-0,3 6,28	0,1 6,31	0,3 2,24	0,1 3	-0,1 6		0,2 3,11	-0,3 4,05	0,1 5,2	-0,4 4,94	-0,6 8,18	-0,6 5,01	-0,3 5,66	-0,4 1,73	-0,7 5	-0,6 3,53	0,4 6,79	-0,3 4,28	-0,5 6,48	-0,4 3,2		0,1 3,05	-0,7 4,68	-0,3 5,91		0,4 4,58	-0,2 4,21	-0,2 5,48	-0,5 2,59	-0,3 4,45	0 12,4	-0,6 4,66	0,3 3,97	-0,6 7	0,4 0,43	-0,1 4	1,2 5	-0,4 8,5	0,1 4,61	-0,2 9,98	-0,6 6,77
0,6	0,6	1,3	0,7	0,7	3,7	1,1	8,0	1,5	1	8,0	1	2,3	0,5	0,9	0,5	8,0	0,7	0,4	0,5	0,9	8,0	0,4	1,8	0,3	0,5	0,4	0,7	0,3	0,3	1,5	0,6	1	0,9	9,0	0,6	0,7	0,5	0,3	0,6	0,2	0,2	1,7	1	0,4	0,7	0,2	0,4	0,4	8,0
0,14	0,1	0,1	0,21	0,11	0,18	0,07	0,14	0,2	0,15	0,19	0,21	0,16	0,13	0,23	0,15	0,06	0,15	0,1	0,09	0,07	0,18	0,14	0,05	0,03	0,16	0,08	0,13	0,05	0,03	0,13	0,07	0,1	0,14	0,17	0,03	0,09	0,06	0,03	0,07	0,03	0,1	0,13	0,2	0,07	0,25	0,04	0,07	0,04	0,05
STN3	SIRI	MCEL	LAUE	TR12	LAUE	LAUE	LAUE		CASE	PGN3				MOLE	MOLE	MONTM	SIRI	PTRP			TR12	SARCL	TR05	ABRE	SPIE	TR06	GRUME	SIRI	RAPE	SPIE	VIGGN	MANE	SPINS	MCEL	MOLE		SIRI		STN3	TR12	MOMN	PTRP	CRAC		MCEL	SPINS	MOMN	SIRI	TR06
0,000594	0,000495	0,00000594	0,000132	0,0000792	0,000513	0,000909	0,00135	NaN	0,00283	0,0033	NaN	NaN	NaN	0,000907	0,00195	0,0000056	0,000345	0,0000201	NaN	NaN	0,000292	0,0000216	0,000066	0,000701	0,000138	0,000105	0,0000125	0,000642	0,000335	0,0000658	0,0000122	0,0000585	0,0000262	0,000408	0,000944	NaN	0,000906	NaN	0,000038	0,000173	xml-err	0,00000757 HHN	0,00108	NaN	0,00212	0,0000249	xml-err	0,000762	0,000195
黑	H N N		FH.	EHN	EHN	EHN	EHN		HNE	ΗH				HNE	HNE	CHN	HNE	H			띪	CHE	NHH	HNE	EHN	EHN	CHE	HNN	HNE	표		NH	CHN	NH	Ψ		HNN		표	FH.	NHH	7 HHN	EHN		Ħ	CHN	H	NNN	뛺
STN3	SIRI	MCEL	LAUE	TR12	LAUE	TR12	LAUE		CASE	PGN3				SLCN	LAPE	MONTM	SIRI	PTRP			TRAE	VIGGN	CRAC	ABRE	LAPE	TR09	GRUME	SIRI	RAPE	SPIE	VIGGN	MANE	SARCL	TRAE	STN3		SIRI		STN3	ARME	LAPE	PTRP	STN3		MCEL	GRUME	LAPE	TR07	TR06
0,0000119 EHN	0,00000144 HNN	0,000000189 HHN	0,000000658 EHE	0,000000608 EHE	0,00000202 EHE	0,00000428 EHN	0,00000225 EHE	NaN	0,00000328 HNE	0,00000993 ННЕ	NaN	NaN	NaN	0,00000261 HHE	0,00000734 EHN	0,000000388 CHN	0,00000154 HNE	0,000000868 HHE	NaN	NaN	0,00000748 EHE	0,00000079 CHN	0,00000197 EHN	0,00000483 HNE	0,00000903 EHN	0,00000153 EHN	0,000000635 CHN	0,00000237 HNE	0,00000264 HNE	0,00000112 EHE	0,000000229 CHE	0,000000428 HHN	0,000000448 CHE	_	0,0000479 EHE	NaN	0,00000218 HNE	NaN	0,00000196 EHE	0,00000526 EHE	0,00000766 EHN	0,000000255 HHE	0,0000376 EHE	NaN	0,0000369 ННЕ	0,000000415 CHN	0,0000242 EHN	0,0000021 EHE	62

DE	D	DE	DE	O D	□	DE	DE	DE	cms-ingv2025hhzfl DE 2	cms-ingv2025hhcpn DI 2	cms-ingv2025hgphb DI 2	cms-ingv2025hgitr DE 2	cms-ingv2025hgipq DE 2	cms-ingv2025hgilf DE 2	cms-ingv2025hgeap DE 2	DE		cms-ingv2025heqad DE 2	× DE	□	DE	DE			DE	q DE	DE	DE	ם	cms-ingv2025hcjtl DE 2	cms-ingv2025hcitv DE 2	cms-ingv2025hbtzx DE 2	DE	₫	cms-ingvzuzsnaiev DE 2
2025 4	2025 4	2025 4	2025 4	2025 4	2025 4	2025 4	2025 4	2025 4	2025 4	2025 4	2025 4	2025 4	2025 4	2025 4	2025 4	2025 4	2025 4	2025 4	2025 4	2025 4	2025 4	2025 4	2025 4	2025 4	2025 4	2025 4	2025 4	2025 4	2025 4	2025 4	2025 4	2025 4	2025 4	2025 4	2025 4
15 22	15 18	15 17	15 17	15 16	15 14	15 10	15 9	15 9	14 22	14 11	14 4	14 1	14 1	14 1	13 23	13 12	13 9	13 2	13 2	13 0	12 23	12 23	12 19	12 18	12 12	12 7	12 5	12 4	12 4	11 21	11 20	11 13	11 6	10 19	TO TS
49	39	56	18	1	54	17	51	46	54	28	45	27	22	17	4	46	35	51	49	40	42	29	49	41	23	41	7	48	27	25	56	28	27	18	22
59	ū	23	56	12	45	23	49	39	16	57	6	38	56	46	12	45	10	20	53	14	9	29	35	27	40	24	56	54	56	42	1	26	36	59	23
40,1837 15,9383 0,8	40,3112 15,9905 0,6	40,1897 15,9413 0,7	40,1747 15,9472 1,4	40,3073 16,0418 2,3	40,246 15,9103 0,4	40,1885 15,9307 0,6	40,1812 15,94 0,5	40,1817 15,9503 1,2	40,2043 15,9427 0,5	40,3157 15,9928 0,4	40,2555 15,8997 0,9	40,188 15,9512 0,6	40,1788 15,9495 0,3	40,4467 15,9713 0,7	40,1818 15,9338 0,6	40,1815 15,9437 0,6	40,1768 15,977 1,2	40,1823 15,9392 0,9	40,1682 15,9587 1,1	40,3622 15,7063 1,1	40,1745 15,9407 0,5	40,1822 15,9327 0,8	40,1825 15,9263 0,7	40,3428 15,9978 0,4	40,1873 15,9292 0,5	40,1727 15,9503 1,2	3 15,9505	40,176 15,9383 0,7	40,3237 15,9963 0,4	40,1812 15,9405 0,7	40,1852 15,94 1	40,1752 15,9405 0,7	40,4625 15,9913 1,1	40,3518 15,8225 0,3	40,1072 15,545 0,0
-0,2 7,96	-0,4 3,28	-0,1 6,4	-0,2 6	-0,5 2,07	0,3 2,66	0,2 5,72	0,3 4,28	-0,1 4,72	0 6,26	0 3,85	-0,3 5	-0,3 4,62	-0,4 4	-0,1 5	0,2 6,25	-0,4 5	-0,5 1,77	-0,4 7,26	-0,6 5,46	-0,1 3,23	-0,6 6,4	-0,8 4,92	-0,1 6,22	-0,6 1,41	0,1 5,39	-0,3 5	-0,6 3,34	-0,1 5,38	-0,4 3,72	-0,5 5,82	-0,3 7,73	0 7	0,1 8,83	0,2 6,02	-0,4 5,00
8,0	1,3	8,0	1,6	0,9	0,5	0,7	0,7	1,6	0,5	0,4	1,1	0,7	97	8,0	0,7	0,6	1,4	8,0	2,7	3,4	0,5	0,9	0,6	0,7	0,5	1,6	8,0	0,9	0,5	8,0	8,0	8,0	1	0,6	0,0
0,19	0,15	0,17	0,2	0,04	0,17	0,21	0,17	0,22	0,09	0,07	0,19	0,14	0,07	0,2	0,21	0,15	0,23	0,19	0,08	0,34	0,07	0,15	0,19	0,1	0,16	0,16	0,16	0,15	0,13	0,18	0,15	0,13	0,24	0,15	0,00
SARCL		TR04		MOLE	MOLE	SIRI	SIRI	SIRI	ABRE	MOMN	SARCL	VIGGN	TR06	TR02	STN3	SIRI	SIRI	TRO3	TR05	TRAE	TR04	SARCL	SCHR		TRAE	SIRI		TR01	ORI	MANE		MANE	TR01	MCEL	
0,0000187	NaN	0,001	NaN	0,011	0,00223	0,000858	0,000646	0,000622	0,000768	xml-err	0,0000209	0,0000128	0,0000529	0,000118	0,00163	0,00101	0,000679	0,0000197	0,000431	0,0000422	0,000028	0,0000168	0,000047	NaN	0,000385	0,00042	NaN	0,000032	0,00144	0,00315	NaN	0,000996	0,0000548	0,000112	0,00000074 EDIN
유		Æ		EHN	EHN	HNE	NNN	NNN	Æ	Ħ				EH	EHN	NNN	NN	EHN	NHH	Æ	띪		EHN		HNE	NN		띪	Ħ	NHH		NNH		Ħ	1
CRAC		TRAE		MOLE	MOLE	CRAC	CRAC	SIRI	ABRE	LAPE	SARCL	PTRP	TR06	CRAC	STN3	SIRI	ABRE	SARCL	TR05	TRAE	TR04	MARCO	SCHR		TRAE	SIRI		TRO1	LAPE	MANE		ANZE	TR01	MCEL	
0,00000271 EHE	NaN	0,0000128 E	NaN	0,0000171 E	0,00000653 E	0,00000276 E	0,00000287 E	0,00000157 HNE	0,00000407 EHE	0,0000151 EHE	0,000000861 CHE	0,000000673 HHN	0,00000111 EHN	0,0000015 E	0,0000603 E	0,0000018 +	0,00000927 HNE	0,000000184 CHE	0,000000619 HHN	0,0000015 E	0,000000385 EHE	0,000000211 нне	0,000000701 EHN	NaN	0,00000186 HNE	0,00000116 HNE	NaN	0,000000354 EHN	0,0000818 EHE	0,00000626 H	NaN		0,00000121 E	0,00000168 H	0,000000
Ħ		Ŧ		田田	EHN	EHZ	Ŧ	Ė	Ħ	Ħ	Ħ	Ŧ	Ä	EH	Ë	NN	Ė	Ħ	Ħ	EHN	Ħ	Ė	N		Ė	Ė		Ä	Ħ	NHH		품	EHE	표	-

# Allegato\_A\_Gorgoglione\_Dom\_DI\_DE\_Zmax\_15km\_from\_15-Oct-2024\_to\_15-Apr-2025\_allData.xlsx

	₽	₽	DE	₽	₽	₽	₽		cms-ingv2025eemnc DI	cms-ingv2025edwwl DI	cms-ingv2025ebfik DE		DE	◘				DE				□						cms-ingv2025czfhy DF	2 1		₽	₽		)DI	a D		₽	₽	₽	₽	₽	□ !		⊒ 9		2
2025 3	2025 3	2025 3	2025 3	2025 3	2025 3	2025 3	2025 3	2025 3	2025 3	2025 3	2025 2	2025 2	2025 2	2025 2	2025 2	2025 2	2025 2	2025 2	2025 2	2025 2	2025 2	2025 2	2025 2	2025 2	2025 2	2025 2	2025 2	2025 2	2025 2	2025 2	2025 2	2025 2	2025 2	2025 2	2025 2	2025 2	2025 2	2025 2	2025 2	2025 2	2025 2	2025 2	2025 1	2025 1	2025 1	2025 1
24 0	24 0	22 0	17 22	16 22	0	5 4	5 3	5 2	1 8	1 0	27 13	27 3	24 0	22 4	22 3	21 7	20 18		18 5	14 4					13 3		13 0	12 5	9 21	9 5	6 2	5 7	5 7	5 4	5 4	5 4	<b>σ</b>	2 0	1 19	1 11	1 10	5   5	31 21	31 20	31 17	х л
35	25	2	56	11	40	∞	57	20	42	47	40	15	9	44	4	45	45	57	47	41	27	0	50	52	40	46	55 0	2 2	л 4	18	7	51	22	48	45	44	58	48	31	43	59	17	26	л (	26 1	49
1	28	20	45	42	40	59	36	12	0	50	23	57	40	43	42	46	42	37	26	52	22	5	20	52	24	43	34	22 0	2 4	48	27	15	ω	50	31	47	20	45	σ.	31	33	41	46	2 6	18	12
40,4758 16,1255 1,4	40,465 16,1282 0,7	40,4688 16,0953 1	40,4497 15,9238 0,7	40,4432 16,0478 0,4	40,4427 16,1088 0,5	40,4367 16,1505 0,5	40,4482 16,1187 0,6	40,454 16,1133 0,8	40,4498 16,1138 0,8	40,4508 16,1193 0,4	40,3447 16,0078 0,7	40,3322 15,9945 0,3	40,4357 15,9157 0,6	40,407 16,0588 0,9	40,4687 16,0707 0,4	40,4437 16,1318 0,5	40,4363 15,9227 0,5	16,0043		16,1123						16,1337	ω	40,3322 15,994 0.7			40,4627 16,1173 1	40,4627 16,1048 1,5	40,4507 16,1063 0,4	40,4592 16,1185 0,8	40,4675 16,1078 0,6						_			16 132		40 4448 16 1228 05
	0,3 13,77	0,8 10	0,1 6,98	0,2 7,13	0,9 11,26	0,9 15	0,7 12,04	0,6 14,01	0,4 13,61	0,1 8,99	-0,6 4,67	-0,5 4,77	-0,3 7,32	0,4 8	0,5 9,78	1,4 13,99	0,2 6,66			0,9 15	0,2 13,02			0,4 14,74				-0.3 4.62		0,4 12,1	0,6 11,54	0,6 10,82			0,5 11,47		1,2 13,57		0,6 11,2	2 11,97		ы		01 11 77	1,1 11	11 13
8,0	0,4	1,1	2,0	0,2	2,0	0,5	0,6	0,7	0,6	0,3	0,7	0,3	8,0	0,7	0,3	0,5	0,6	0,4	8,0	8,0	1,2	1,1	1,2	1,2	8,0	0,9	0.9	0,6	9,0	0,4	9,0	1,1	9,0	0,9	0,5	0,7	0,7	1,1	0,8	0,4	0,7	0.7	8,0	0,0	0 80	O ,
0,14 GRUME	0,11 TR02	0,23 TR04	0,08 TR12	0,04 TR12	0,33 TR11	0,28 TR04	0,25 TR11	0,23 TR03	0,2 SIRI	0,22 TR07	0,13 ORI	0,07 TR09	0,18 MANE	0,09 TR12	0,1 TR05	0,19 GRUE	0,19 TR04			0,32 TR11		0,28 TR04		0,18 TR11			0.22 LAPE	0.07		0,14 TR04	0,15 TR09	0,19 CRAC	0,24 TR11	0,24 TR04	0,11	0,12 TR04	0,24 LAPE	0,21 TR11	0.25 TR11	0,29 TR06	0,29 TR04	0.29 TR10	0,14 MANE			0 33 I ADF
0,0000106	0,0000387	0,000662	0,0000318	0,0000545	0,00043	0,00109	0,000223	0,000632	0,00125	0,000437	0,000562	0,000971	0,00803	0,000352	0,000366	0,00141	0,000568	NaN	0,0000519	0,000362	0,000579	0,00152	0,000294	0,0000778	0,00101	0,00169	0.000318	NaN	0,000152	0,00014	0,000581	0,00233	0,00649	0,00015	NaN	0,000214	0,000581	0,0000718	0,00013	0,00312	0,00119	0.00038	0,00149	NaN	0.000546	0.000541
	E	EHN	EE	E	EHN	EHN	EHN	EE	NN	EE	Ħ	EHE	Ħ	EHN	NHN	EHN	EHN			EHN	EHN	Æ	Ŧ		EHN	<b>田</b>	E E	Ē	E E	E	EHN	EHN	EHN	EHN		EHN	Ŧ		EHZ	Ŧ	E I	F :	H	:	FI F	T T
GRUME	MIGL	TR04	TR06	TR12	LAPE	TRO4	TR11	TR03	TRAE	TRAE	ORI	TR09	MANE	TR12	TR01	TR10	TR04		TR10	TR11	CRAC	TRO4	TR03	TR11	TR11	TR04	LAPE	<u> </u>	SPINS	TR02	TR09	CRAC	TR11	TR04		TR04	LAPE	TR11	TR11	MOMN	TR11	LAPE	MANE		TR10	I APF
0,00000107 CHN	0,00000848 HHE	0,0000054 EHE	0,000000939 EHN	0,00000127 EHN	0,0000062 EHE	0,00000552 EHN	0,00000229 EHN	0,00000368 EHE	0,00000367 EHN		0,00000662 HHE		0,0000177 HHE	0,00000159 EHE	0,00000238 EHE	0,0000167 EHE	0,00000283 EHN							9		0	0.0000113 EHE	NaN	0,00000543 EHE		0,00000461 EHN	0,0000109 EHN	0,000241 EHN	0,00000192 EHE	NaN	01	0,0000207 EHE	0,000000829 EHN	184		01		0,00000475 HHE	NaN	0.00000916 FHN	0 00000728 FHN

# Allegato\_A\_Gorgoglione\_Dom\_DI\_DE\_Zmax\_15km\_from\_15-Oct-2024\_to\_15-Apr-2025\_allData.xlsx

cms-ingv2025hjhck DE	cms-ingv2025hjdyz DI	cms-ingv2025hgilf DI	cms-ingv2025hdzvw DE	cms-ingv2025hdehx DI	cms-ingv2025hcwiq DI	cms-ingv2025hcpfu DI	cms-ingv2025hcdfu DI	cms-ingv2025hcdfp DI	cms-ingv2025hcdcc DI	cms-ingv2025hbhsn DI	cms-ingv2025hbgcy DI	cms-ingv2025hbemc DI	cms-ingv2025glgaw DI	cms-ingv2025gjzaa DE	cms-ingv2025ggnae DE	cms-ingv2025gdlvj DI	cms-ingv2025gcway DE	cms-ingv2025fydhp DE	cms-ingv2025fvrum DI	cms-ingv2025fvrqp DI	cms-ingv2025fuiju DI	cms-ingv2025ftxve DI
2025 4	2025 4	2025 4	2025 4	2025 4	2025 4	2025 4	2025 4	2025 4	2025 4	2025 4	2025 4	2025 4	2025 4	2025 4	2025 3	2025 3	2025 3	2025 3	2025 3	2025 3	2025 3	2025 3
15 16 1	15 14 2	14 1 1	12 18 4	12 7 4	12 3 4	12 0 1	11 18 7	11 18 7	11 18 3	11 7 1	11 6 2	11 5 3	2 12 1	1 19 3	30 22 8	29 6 8	28 22 1	26 8 1	25 0 5	25 0 1	24 6 1	24 0 5
1	26 1	17 4	11 27	18 4	17 1	l1 42	7 53	7 45	3 40	16 2	27 36	38 1	17 18	36 8	3 42	8 4	10 22	10 24	4	L 14	12 28	52 29
2 40,3073 16,0418 2,3	5 40,424 16,0713 0,4	5 40,4467 15,9713 0,7	7 40,3428 15,9978 0,4	7 40,5068 15,9797 0,3	1 40,51 15,9838 0,5	2 40,5098 15,973 0,3	3 40,4955 15,9782 0,7	5 40,4818 16,0878 2,4	0 40,5055 15,9788 1	40,5088 15,972 0,7	5 40,4625 15,9913 1,1	5 40,5068 15,9792 0,4	3 40,4593 16,0613 0,5	40,3347 15,9967 0,5	2 40,339 15,9875 1,5	7 40,4338 16,1125 1,3	40,3322 15,995	4 40,3355 15,9973 0,3	2 40,4442 16,1233 0,5	4 40,4698 16,113 1	8 40,4513 16,1375 0,5	9 40,4487 16,1292 0,5
-0,5 2,07	0,7 6	-0,1 5	-0,6 1,41	1,2 14	0,2 14,58	1,9 13,67	0,4 12,62	0,2 12	0 13	0,2 14	0,1 8,83	0,7 14	0,4 8,88	-0,4 5,01	-0,5 4,87	0 7	-0,9 4,27	-0,1 4,9	1 13,44	0,4 13,04	-0,2 2,06	0,6 12,57
0,9	0,5	8,0	0,7	0,4	0,5	0,4	0,7	1,6	0,9	0,6	1	0,5	0,5	0,4	1,5	1	0,4	0,3	0,7	8,0	0,9	0,5
0,04 MOLE	0,24 SIRI	0,2 TR02	0,1	0,22 MANE	0,2 TR12	0,23 TR01	0,23	0,34 TR01	0,3 TR01	0,22 TR01	0,24 TR01	0,25 TR08	0,12 TR11	0,04 MARE	0,06	0,18 SARCL	0,08 TR06	0,06 MOMN	0,25 PTRP	0,16 TR04	0,09 TR09	0,24 TR11
0,011	0,0021	0,000118	NaN	0,00188	0,000115	0,00265	NaN	0,000145	0,000124	0,000145	0,0000548	0,00293	0,000201	0,000513	NaN	0,0000197	0,0000418	xml-err	0,000303	0,000079	0,0000462	0,000207
EHN	HNE	EHE				EHE															EHN	
MOLE	TR10	CRAC		ARME	TR01	TR01		TR01	TRO1	TRAE	TR01	TR08	TR11	GRUE		MIGL	TR09	ARME	LAPE	TR02	TR10	LAPE
0,0000171	0,0000128	0,0000015	NaN	0,0000218	0,0000016	0,0000897	NaN	0,00000259	0,00000159	0,0000291	0,00000121	0,0000116	0,00000195	0,0000038	NaN	0,00000354	0,00000138	0,00000696	0,00000927	0,00000485	0,00000307 EHE	0,0000106
EHE	EΗE	EHE		EHE	EHE	EHE			HE (							NHH 1	3 EHE	SHN	7 EHN	SEHE	7 EHE	EHZ